

الجمهورية الجزائرية الديمقراطية الشعبية
REPUBLIQUE ALGERIENNE DEMOCRATIQUE ET POPULAIRE

39/87

وزارة التعليم و البحث العلمي
MINISTERE DE L'ENSEIGNEMENT ET DE LA RECHERCHE SCIENTIFIQUE

ECOLE NATIONALE POLYTECHNIQUE

DEPARTEMENT :

G-C

المدرسة الوطنية المتعددة التقنيات
BIBLIOTHEQUE — المكتبة
Ecole Nationale Polytechnique

PROJET DE FIN D'ETUDES

SUJET

ETUDE D'UN PONT RAIL MIXTE
(Partie Hyperstatique)

Proposé Par : S.A.P.T.A

Etudié par : K. AOUN

Dirigé par : M. ZOUKH

N. TITOUCHE

PROMOTION : JUIN 1987

المدرسة الوطنية المتعددة التقنيات
BIBLIOTHEQUE — المكتبة
Ecole Nationale Polytechnique

بِسْمِ اللَّهِ الرَّحْمَنِ الرَّحِيمِ
أَشْهَدُ أَنْ لَا إِلَهَ إِلَّا اللَّهُ وَحْدَهُ لَا شَرِيكَ لَهُ
أَشْهَدُ أَنَّ مُحَمَّدًا عَبْدُهُ وَرَسُولُهُ
يَا أَيُّهَا الْمُسْلِمُونَ اتَّبِعُوا أَمْرَ اللَّهِ
وَأَمْرَ الرَّسُولِ وَأَطِيعُوا أَمْرَ
الْأَمِيرِ فَإِنَّكُمْ تَقِيبُونَ عَلَى
بِرِّ اللَّهِ وَالرَّحْمَةِ الْكَبِيرِ



مصلحة الهندسة المدنية

موجه الامتحان زوج

تلميذ مهندس : شتوش نصر الدين
عمون خالد

Matériaux : ... Genie - Civil ...

Année : ... 17^è ... Zoukh ...

Ingénieur : Φ Ti. Touche Nacer-eddine
AOUN KHALID.

- الموضوع : دراسة جسر للسكك الحديدية

- الملخص

ان معزى هذا الموضوع يرمى الى دراسة مقاومة وتوازن العناصر الحاء لجسر للسكك الحديدية الذي ينجر بين عين توتة ومسيلة . يعتبر الجسر من النوع 1 ، منطقة 2 حسب النظام الجوارثي للوزان . تتكون حاملة الجسر من مسلكين لكل 5,29 م . توضع الحاملة على 3 رؤس ~~التي~~ منها غير بسيطة ورافد بسيطة طول كل منها 27 م وتكافئ على عمدين ومستدين . يبلغ علو هذا الجسر حوالي 20 م .

Objet : ... Etude d'un Pont rail mixte ...

Summary : Cette étude a pour but le calcul de la résistance et la stabilité des éléments d'un pont rail mixte sis à la Wittayo de Batna entre Ain-touta et M'sila. Ce pont est constitué d'une partie hyperstatique présente dans ce polycopie et d'une seconde partie isostatique dans l'annexe. L'ensemble des travées sont appuyées sur deux piles et deux culées chacune composée de deux fûts, un chevêtre, un socle et une semelle. La longueur des travées est de 27 m, la hauteur du pont est pratiquement de 20m.

Subject : ... STUDY OF A RAILWAY BRIDGE ...

Abstract : This present study has for but to compute a resistance and stability for elements of a railway bridge between Ain-touta and M'sila. The bridge is of a group I, Zone II. The deck composite of two ways for 5,29 m wide, rest-ful on two hyperstatiques spans and a simple spans, on two piers and two abutements.

DEDICACES

المدرسة الوطنية المتعددة التقنيات
BIBLIOTHEQUE — المكتبة
Ecole Nationale Polytechnique

Je dédie ce modeste travail à :

- Mes parents
- Mes sœurs et mon frère
- Mounira
- Mes amis

Khalid - AOUN.

Je dédie cet ouvrage à :

- Mes parents.
- Ma sœur et mon frère.
- M. Lila.
- Mes amis.

Titouche - Nacer-eddine.

REMERCIEMENTS

Nous tenons à exprimer toute notre reconnaissance à notre promoteur M^r Zoukh pour son aide ainsi que pour son précieux cours qui nous a été d'un très grand secours pour l'élaboration de ce projet.

Nous remercions également, les ingénieurs ainsi que les dessinateurs de la S.A.P.T.A pour leur aide et en particulier MM^s Rachid et Hossein

Que l'ensemble des professeurs de l'école nationale polytechnique trouvent dans ce projet le témoignage de notre reconnaissance pour la formation qu'ils nous ont donnée.

SOMMAIRE



- I. Introduction
- II Etude de la poutre principale.
- III Les vérifications (voilement, deversement)
- IV Déformations
- V Joints boulonnés
- VI Etude des connecteurs
- VII Etude des entretoises
- VIII Dalle de couverture
- IX Appareils d'éprouis
- X Répartition des efforts horizontaux
- XI Etude de la pile
- XII Etude de la culée
- XIII Bibliographie.
- XIV

Présentation de l'ouvrage

L'ouvrage qui fera l'objet de notre étude est un pont rail, à poutre sous chaussée formé d'une partie hyperstatique à deux travées, d'une longueur de 27m pour chaque travée et d'une partie isostatique formé d'une travée de 27m de portée, rentrant dans le cadre d'une série d'ouvrages qui seront réalisés sur la ligne Ain truka - M'sila. Notre pont est droit et conçu en construction mixte dont les éléments porteurs sont en acier (P.R.S) et la dalle de couverture est en béton armé; le tablier repose sur deux piles et 2 culées enterrées qui permettent au remblai de se verser en avant, supportées par des fondations superficielles. Enfin pour rigidifier l'ensemble des poutres, nous avons prévus des entretoises qui auront pour fonction de répartir et de transmettre les efforts.

A noter que cet ouvrage est à double voie de circulation, chacune d'elle est portée par un tablier indépendant.

Notre étude se basera sur un tablier, les résultats obtenus seront identiques pour le 2^{ème} tablier, néanmoins pour la réalisation, la 2^{ème} voie est projetée pour l'avenir.

Etude du sol:

Par manque de rapport du sol, la S.A.P.T.A nous a donnée les caractéristiques d'un sol voisin et qui sont:

- Capacité portante à 4,00m: $\bar{\sigma}_3 = 50 \text{ t/m}^2$
- Module pressiométrique: $E_p = 240 \text{ bars}$
- Angle de frottement: $\varphi = 30^\circ$ ($27^\circ < \varphi < 32^\circ$)
(interne)

Nota: les tassements sont estimés négligeables

Caractéristiques mécaniques des matériaux

1. Béton armé:

1.1: Béton: Les caractéristiques du béton sont:

- ciment C.P.A 325.
- Dosage du béton: 400 kg/m^3 .
- Contrôle atténué.
- Diamètre du plus gros granulats: $c_g = 25 \text{ mm}$.

a) Contrainte admissible de compression: $\bar{\sigma}'_b = \alpha \beta \gamma \delta \epsilon \sigma'_{28}$.

$$\sigma'_{28} = 300 \text{ bars.}$$

$$\delta = \begin{cases} 0,30 & \text{compression simple.} \\ 0,60 & \text{flexion simple.} \end{cases}$$

$$\epsilon = \begin{cases} 4 & \text{flexion simple, section rectangulaire.} \\ 1 & \text{compression simple.} \end{cases}$$

$$\alpha = 4: \text{ ciment classe 325.}$$

$$\beta = \frac{5}{6}: \text{ contrôle atténué.}$$

$$\gamma = 1: f_{cm} > 4 c_g$$

b) Contrainte de référence en traction: $\bar{\sigma}_b = \alpha \cdot \beta \cdot \gamma \cdot \delta \cdot \sigma'_{28}$

$$\theta = 0,048 + \frac{2,1}{\sigma'_{28}} \quad \bar{\sigma}_b = 6,38 \text{ kg/cm}^2.$$

N.B: Pour les sollicitations du 2^{ème} genre, les contraintes sont majorées de 50%.

2. Acier:

2.1: les armatures:

a) Contrainte admissible de traction: $\bar{\sigma}_a = \rho_a \sigma_{en}$.

$$\rho_a = \begin{cases} 2/3 & \text{sollicitations du 1^{er} genre.} \\ 1 & \text{sollicitation du 2^{ème} genre.} \end{cases}$$

L'acier utilisé est le TOR type FE40A, caractérisé par:

$$\sigma_{en} \begin{cases} 4200 \text{ kg/cm}^2 & \text{pour } \phi \leq 20 \text{ mm.} \\ 4000 \text{ kg/cm}^2 & \text{pour } \phi > 20 \text{ mm.} \end{cases}$$

$$1) \phi \leq 20 \text{ mm} \Rightarrow \bar{\sigma}_a = \begin{cases} 2800 \text{ kg/cm}^2 & \text{pour le 1}^{\text{er}} \text{ genre.} \\ 4200 \text{ kg/cm}^2 & \text{pour le 2}^{\text{ème}} \text{ genre.} \end{cases}$$

$$2) \phi > 20 \text{ mm} \Rightarrow \bar{\sigma}_a = \begin{cases} 2667 \text{ kg/cm}^2 & \text{pour le 1}^{\text{er}} \text{ genre.} \\ 4000 \text{ kg/cm}^2 & \text{pour le 2}^{\text{ème}} \text{ genre.} \end{cases}$$

b) Contrainte imposée par la condition de non fissuration:

La vérification de la non fissuration est nécessaire pour toute section étudiée en flexion simple. La contrainte admissible à prendre en compte est:

$$\bar{\sigma}_a = \min \left\{ \frac{2}{3} \sigma_{en}; \max(\sigma_1, \sigma_2) \right\} \text{ où } \begin{cases} \sigma_1 = k \frac{\eta}{\phi} \frac{\tilde{w}_f}{1+10\tilde{w}_f} \\ \sigma_2 = 2,4 \left(k \frac{\eta}{\phi} \bar{\sigma}_b \right)^{1/2} \end{cases}$$

c) Contrainte admissible de traction pour les armatures transversales.

On doit vérifier:

$$\bar{\sigma}_b \leq 3,5 \bar{\sigma}'_{b0} \quad \text{si } \sigma'_b < \bar{\sigma}'_{b0}$$

$$\bar{\sigma}_b \leq \left(4,5 - \frac{\sigma'_b}{\bar{\sigma}'_{b0}} \right) \bar{\sigma}'_{b0} \quad \text{si } \bar{\sigma}'_{b0} < \sigma'_b < 2 \bar{\sigma}'_{b0}$$

$$\text{On prend: } \bar{\sigma}_{at} = \int_{at} \sigma_{en} \quad \text{avec: } \int_{at} = \begin{cases} \max \left[\left(1 - \frac{\sigma'_b}{9 \bar{\sigma}'_{b0}} \right); \frac{2}{3} \right] \\ \frac{2}{3} : \text{ si il y'a reprise de bétonnage.} \end{cases}$$

d) Contrainte d'adhérence admissible.

$$\bar{\tau}_h = \begin{cases} 2 \psi \bar{\sigma}_b = 3,00 \bar{\sigma}_b & \text{: pour les poutres.} \\ 2,5 \psi \bar{\sigma}_b = 3,75 \bar{\sigma}_b & \text{: pour les dalles.} \end{cases}$$

2.2 Poutres tôlées:

L'acier utilisé pour les profils reconstitués soudés

(P.R.S) est un E24

$$\text{Contraintes admissibles: } \bar{\sigma}_a = \bar{\sigma}'_a = 2400 \text{ kg/cm}^2$$

charges et Surcharges:

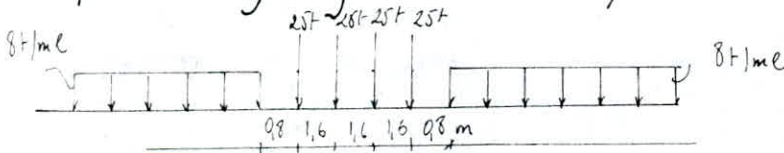
1. charges permanentes:

* Elements en béton armé	2500 kg/m ³	+ P. R. S	7850 kg/m ³ .
* -II- en gros béton	2400 kg/m ³	* Grande corps	100 kg/ml.
* -II- chape d'étanchéité	2200 kg/m ³	* Coffrage	70 kg/m ² .
* -II- Ballast	1600 kg/m ³		
* voie	150 kg/ml		
* sol	1800 kg/m ³		

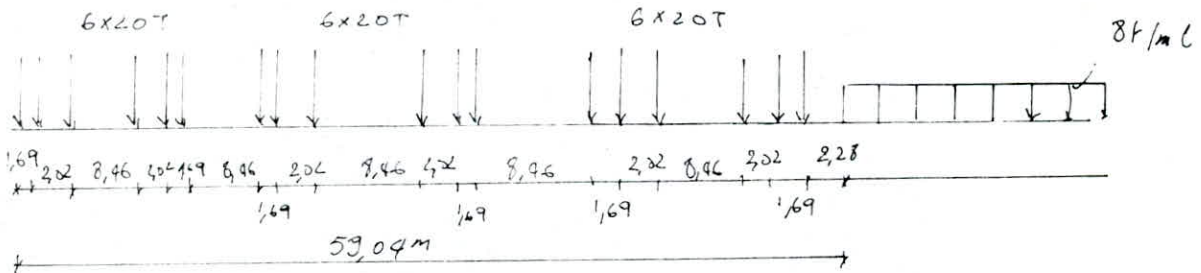
L'ossature métallique est estimée à $100 + 0,105 \times l^{1,6}$ (F. Ciolina)
 x étant la plus grande portée.

2. Surcharges:

a) celui défini par l'U.I.C et qui donne l'effet le plus défavorable.



b) celui du train marchandise réel futur de la S.N.T.F



c) -surcharges de trottoir: lors du calcul de la poterie principale la surcharge de trottoir n'est pas prise en considération, la surcharge de trottoir de service est évaluée à 0,4 t/m²

Évaluation des charges

charges permanentes

a/ Avant prise du béton (CP)

Ossature métallique _____ $0,130 \times 5,29 = 0,6877 \text{ t/ml.}$

Dalle en BA _____ $2,5 \times 0,25 \times 5,29 = 3,3063 \text{ t/ml.}$

Goussets _____ $2 \left(\frac{0,6+0,7}{2} \times 0,05 \times 2,5 \right) = 0,1625 \text{ t/ml.}$

Coffrage _____ $0,07 \times 5,29 = 0,3703 \text{ t/ml.}$

$$C.P = 4,5268 \text{ t/ml.}$$

b/ Après prise du béton (C.C.P)

Coffrage _____ = $-0,3703 \text{ t/ml.}$

Voie _____ = $0,15 \text{ t/ml.}$

chape et contre chape _____ $0,05 \times 4,24 \times 2,2 = 0,466 \text{ t/ml.}$

Dallettes _____ $0,07 \times 4,5 \times 2,2 = 0,68 \text{ t/ml.}$

Garde corps _____ = $0,100 \text{ t/ml.}$

Ballast _____ $4,5 \times 4,24 \times 16 = 3,392 \text{ t/ml.}$

Murettes garde ballast _____ $(2 \times 0,45 \times 0,15 + 0,45 \times 0,25) \times 2,5 = 0,6188 \text{ t/ml.}$

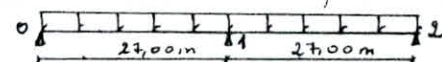
$$C.C.P = 5,4810 \text{ t/ml.}$$

- Calcul des efforts :

* On assimilera notre ouvrage à une seule poutre continue sur 03 appuis simples supportant toutes les charges appliquées au pont.

* Pour le calcul des éléments de réduction, M et T , on déterminera d'abord le moment sur appui intermédiaire et on calculera les réactions des appuis et tout cela par la méthode des trois moments. "Méthode de Clapeyron"

1/ Elements de réduction M et T du à l'ossature métallique plus coffrage:

$q = 0,6877 + 0,3703 = 1,058 \text{ t/ml}$.  $q = 1,058 \text{ t/ml}$

$M(x) = 0,375qlx - \frac{q}{2}x^2 \Rightarrow M(x) = 10,71x - 0,53x^2 \quad 0 \leq x \leq 27\text{m}$

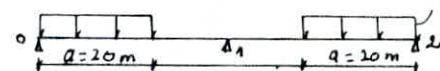
$T(x) = 0,375ql - qx \Rightarrow T(x) = 10,71 - 1,058x \quad 0 \leq x \leq 27\text{m}$

$R_0 = R_2 = 0,375ql \Rightarrow R_0 = R_2 = 10,71 \text{ t} \quad (\uparrow)$

$R_1 = 1,25ql \Rightarrow R_1 = 35,71 \text{ t} \quad (\uparrow)$

2/ Elements de réduction M et T du à la dalle en béton armé (1^{ère} phase):

On prendra le béton jusqu'au point de moment nul: $0,375 \times 27 \times x - \frac{x^2}{2} = 0$

d'où $x = 20 \text{ m}$.  $q = 3,4688 \text{ t/ml}$

$q = \text{dalle} + \text{Grossets} = 0,1628 + 3,3063 = 3,4688 \text{ t/ml}$

$M(x) = \frac{qa}{8l^3} (8l^3 - 6al^2 + a^2) x - \frac{q}{2}x^2 \Rightarrow M(x) = 34,36x - 1,73x^2 \quad 0 \leq x \leq 20\text{m}$

$T(x) = \frac{qa}{8l^3} (8l^3 - 6al^2 + a^2) - qx \Rightarrow T(x) = 34,36 - 3,46x \quad 0 \leq x \leq 20\text{m}$

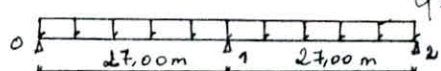
$M(x) = \frac{9a}{8l^3} (8l^3 - 6al^2 + a^2) x - \frac{9a}{2} (2x - a) \Rightarrow M(x) = -35,02x + 693,76 \quad 20 \leq x \leq 27\text{m}$

$T(x) = \frac{9a}{8l^3} (8l^3 - 6al^2 + a^2) - qa \Rightarrow T(x) = -35,02 \text{ t} \quad 20 \leq x \leq 27\text{m}$

$R_0 = R_2 = \frac{9a}{8l^3} (8l^3 - 6al^2 + a^2) \Rightarrow R_0 = R_2 = 34,36 \text{ t} \quad (\uparrow)$

$R_1 = 2qa - \frac{9a}{4l^3} (8l^3 - 6al^2 + a^2) \Rightarrow R_1 = 70,08 \text{ t} \quad (\uparrow)$

3/ Elements de réduction M et T du à la dalle en béton armé (2^{ème} phase):

bétonnage le long du front:  $q = 3,4688 \text{ t/ml}$

$M(x) = 35,12x - 1,73x^2 \quad 0 \leq x \leq 27\text{m}$

$T(x) = 35,12 - 3,46x \quad 0 \leq x \leq 27\text{m}$

$R_0 = R_2 = 35,12 \text{ t} \quad (\uparrow)$

$R_1 = 117,10 \text{ t} \quad (\uparrow)$

4/ Elements de reduction M et T dus aux complements de charges :

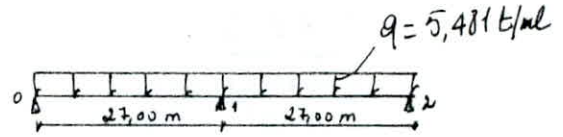
permanentes (C.C.P)

$$M(x) = 55,49x - 2,74x^2 \quad 0 \leq x \leq 27m$$

$$T(x) = 55,49 - 5,48x \quad 0 \leq x \leq 27m$$

$$R_0 = R_2 = 55,49t \quad (\uparrow)$$

$$R_1 = 184,95t \quad (\uparrow)$$



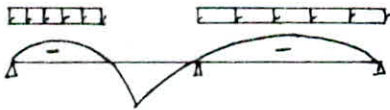
5/ Elements de reduction M et T dus aux surcharges mobiles U.I.C. :

Pour ce calcul, on utilise les lignes d'influences.

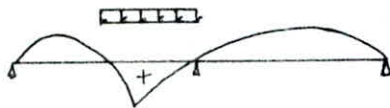
Procedé :

On assimile le pont à une poutre continue sur 03 appuis simples. On trace les lignes d'influence pour les différents sections, de M et T, puis on charge les travées de telle maniere à avoir les efforts maximums

ex :



Pour avoir l'effort maximum negatif, on chargera les parties du pont où la courbe est en dessous.

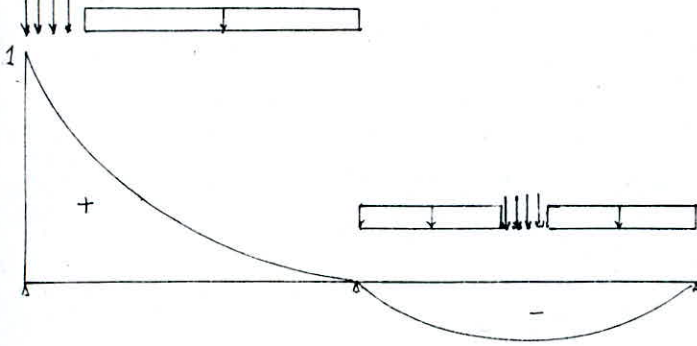


Pour avoir l'effort maximum positif, on chargera les parties du pont où la courbe est en dessous.

N.B : Les efforts M et T ainsi calculés reviennent à tout le pont.

Lignes d'influence des efforts tranchants.

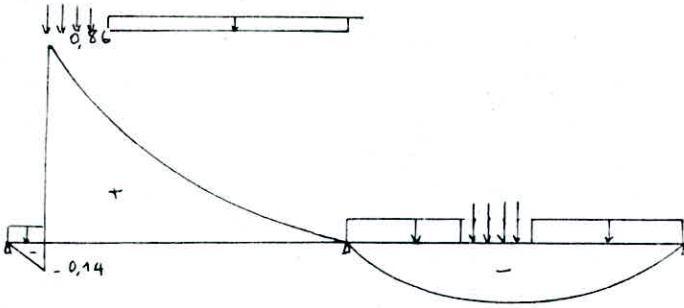
Section 1: $x = 0m$



$$T_1^+ = 144,08t$$

$$T_1^- = -18,26t$$

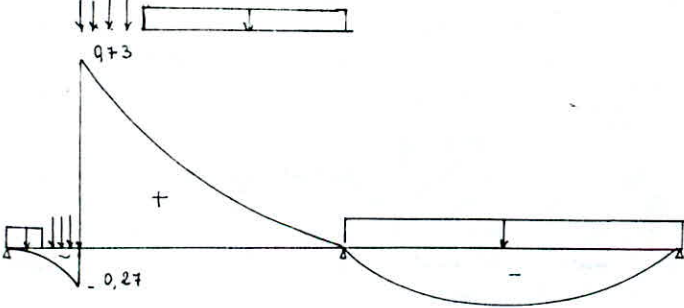
Section 2: $x = 3m$



$$T_2^+ = 114,13t$$

$$T_2^- = -19,89t$$

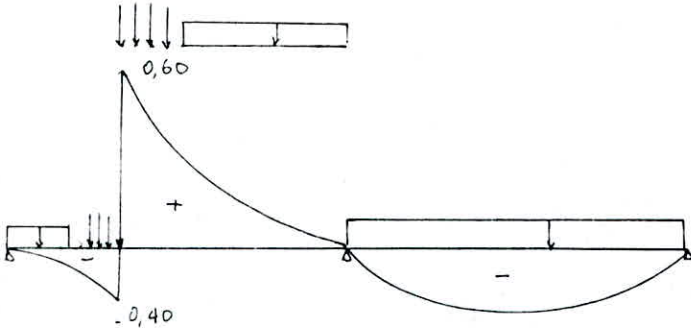
Section 3: $x = 6m$



$$T_3^+ = 88,67t$$

$$T_3^- = -29,34t$$

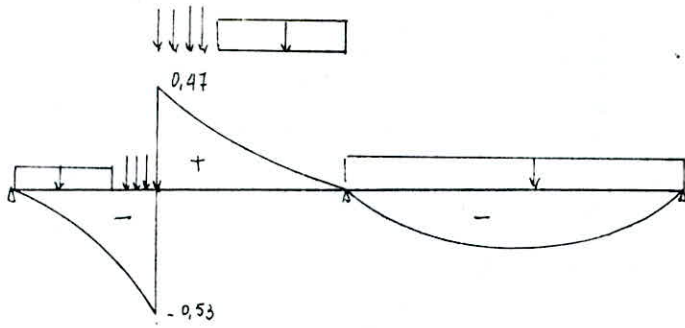
Section 4: $x = 9m$



$$T_4^+ = 65,75t$$

$$T_4^- = -45,51t$$

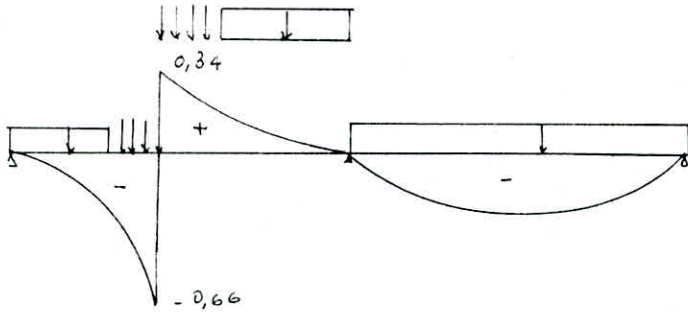
Section 5: $x = 12m$



$$T_5^+ = 46,196$$

$$T_5^- = -64,536$$

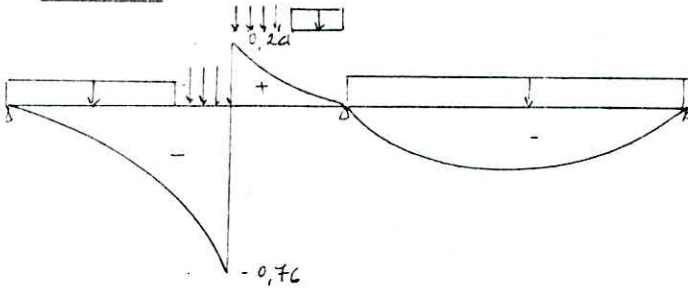
Section 6: $x = 15m$



$$T_6^- = 29,896$$

$$T_6^+ = -85,846$$

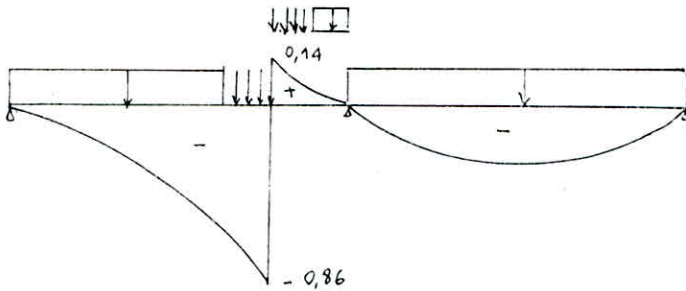
Section 7: $x = 18m$



$$T_7^+ = 15,546$$

$$T_7^- = -109,026$$

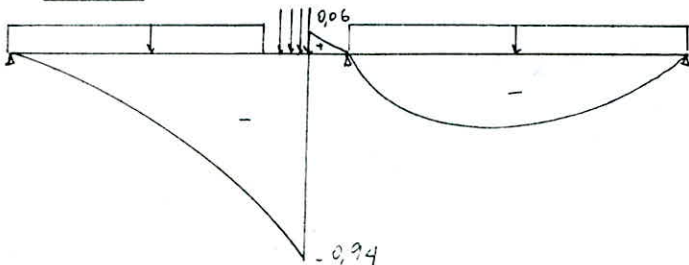
Section 8: $x = 21m$



$$T_8^+ = 8,016$$

$$T_8^- = -133,926$$

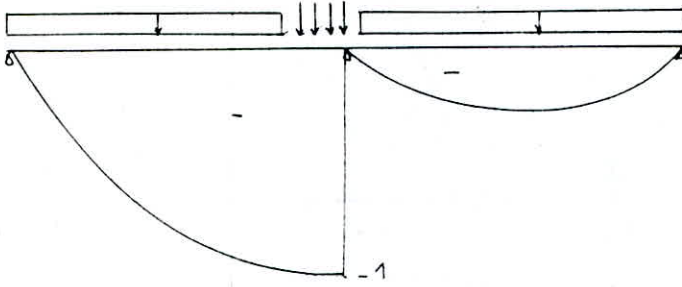
Section 9: $x = 24m$



$$T_9^+ = 0$$

$$T_9^- = -160,066$$

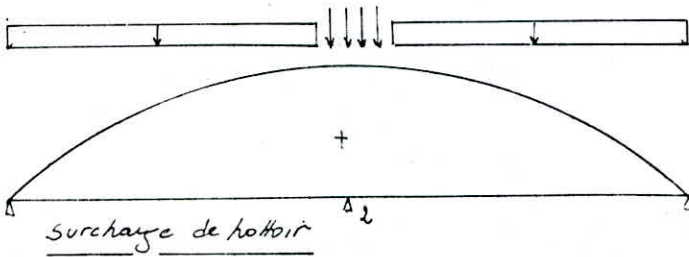
Section 10: $x = 27m$



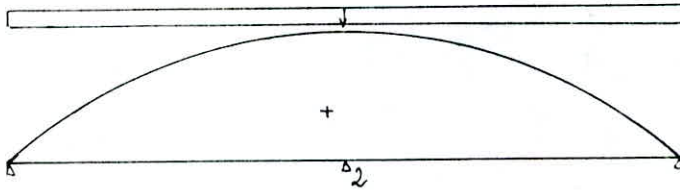
$$T_{10} = -187,15t.$$

Ligne d'influence de la réaction d'appui intermédiaire

Surcharge U.I.C



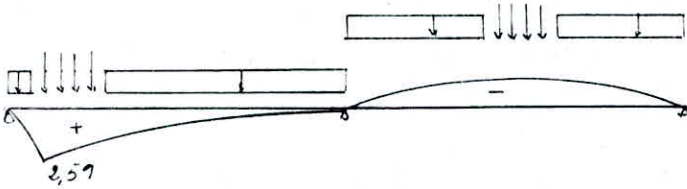
$$R_2 = 318,47t.$$



$$R_2 = 121,50t.$$

Lignes d'influences des moments fléchissants.

Section 1 : $x = 3m$



$$M_1^+ = 358,53 \text{ km}$$

$$M_1^- = -53,92 \text{ km}$$

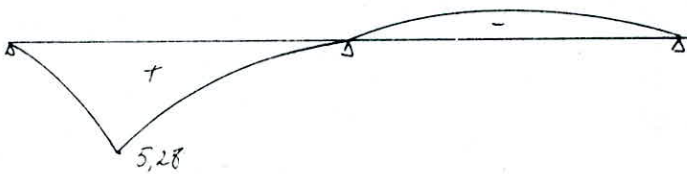
Section 2 : $x = 6m$



$$M_2^+ = 606,00 \text{ km}$$

$$M_2^- = -107,84 \text{ km}$$

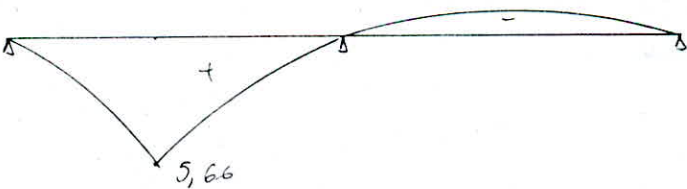
Section 3 : $x = 9m$



$$M_3^+ = 750,56 \text{ km}$$

$$M_3^- = -162,76 \text{ km}$$

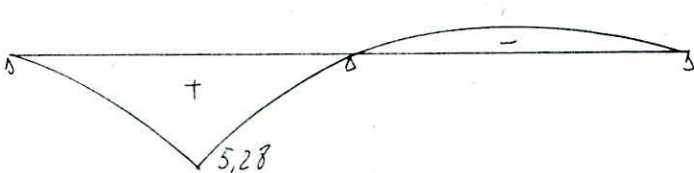
Section 4 : $x = 12m$



$$M_4^+ = 807,93 \text{ km}$$

$$M_4^- = -216,43 \text{ km}$$

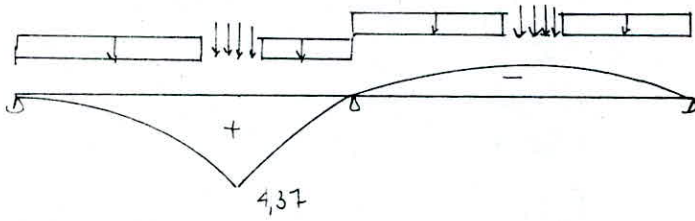
Section 5 : $x = 15m$



$$M_5^+ = 728,42 \text{ km}$$

$$M_5^- = -270,68 \text{ km}$$

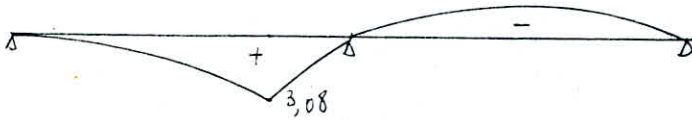
Section 6: $x = 18m$



$$M_6^+ = 585,41 \text{ km}$$

$$M_6^- = -324,77 \text{ km}$$

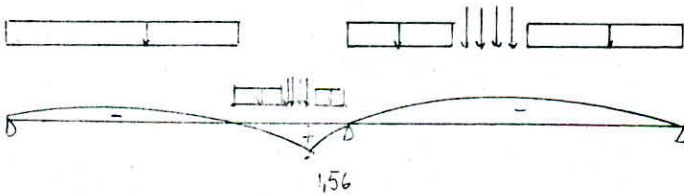
Section 7: $x = 21m$



$$M_7^+ = 387,88 \text{ km}$$

$$M_7^- = -376,69 \text{ km}$$

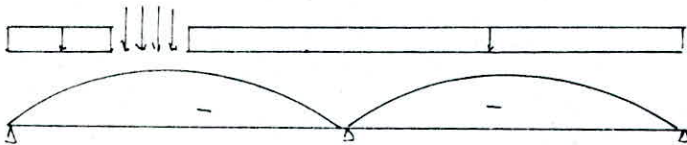
Section 8: $x = 24m$



$$M_8^+ = 90,63 \text{ km}$$

$$M_8^- = -513,93 \text{ km}$$

Section 9: $x = 27m$



$$M_9^+ = -851,52 \text{ km}$$

Efforts non pondérés, et non répartis : Ossature métallique + Coffrage.

Section	0	1	2	3	4	5	6	7	8	9
X (m)	0	3	6	9	12	15	18	21	24	27
M (t.m)	0	27,57	45,22	53,54	52,34	41,63	21,38	-8,38	-47,66	-96,47
T (t)	10,71	7,54	4,36	1,19	-1,99	-5,16	-8,33	-11,51	-14,68	-17,86

Efforts non pondérés et non répartis : Dalle en B.A + Goussets (1^{er} phase).

Section	0	1	2	3	4	5	6	7	8	9
M (t.m)	0	87,51	143,88	169,11	163,20	126,15	57,96	-41,66	-146,72	-251,78
X (m)	0	3	6	9	12	15	18	21	24	27
T (t)	34,36	23,35	13,54	3,13	-7,28	-17,69	-28,10	-35,02	-35,02	-35,02

Efforts non pondérés et non répartis : Dalle en B.A + Goussets (2^{ème} phase).

Section	0	1	2	3	4	5	6	7	8	9
X (m)	0	3	6	9	12	15	18	21	24	27
M (t.m)	0	89,79	148,44	175,95	172,32	137,55	71,64	-25,41	-156,10	-316,09
T (t)	35,12	24,71	14,30	3,89	-6,52	-16,93	-27,34	-37,75	-48,16	-58,57

Efforts non pondérés et non répartis : Compléments de charges permanentes (G.C.P).

Section	0	1	2	3	4	5	6	7	8	9
X (m)	0	3	6	9	12	15	18	21	24	27
M (t.m)	0	141,84	234,36	277,56	271,44	216,00	111,00	-43,16	-246,24	-498,96
T (t)	55,50	39,06	22,62	6,18	-10,26	-26,7	-43,14	-59,58	-76,02	-92,46

Calcul de la section mixte

Les hypothèses de calcul sont:

* tout déplacement relatif de l'un des matériaux par rapport à l'autre est rendu impossible par la présence des "connecteurs". (hypothèse de Navier-Bernoulli)

$$\left(\frac{\delta l}{l}\right)_a = \left(\frac{\delta l}{l}\right)_b$$

* L'acier et le béton sont supposés être des matériaux élastiques et par conséquent obéissent donc à la loi de Hooke.

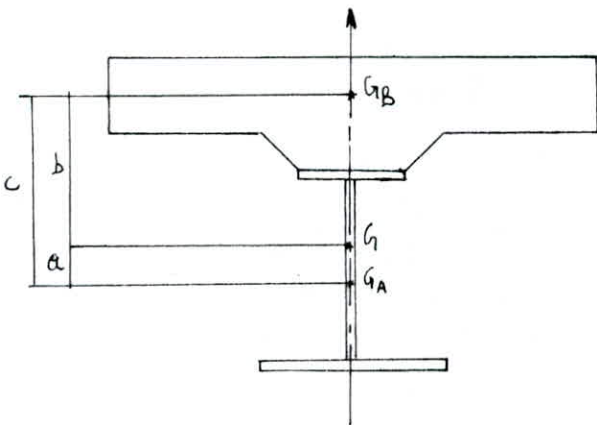
$$\left(\frac{\delta l}{l}\right) \times E = \sigma \quad \text{d'où} \quad \frac{\sigma_a}{\sigma_b} = \frac{E_a}{E_b} = n$$

Surcharges $n = 6$

charges permanentes $n = 18$

Rehalt, DT^0 $n = 15$

Nota: avant prise du béton $E_b = 0 \Rightarrow n = \infty$ (phase de coulage).



G_B : C.D.G de la section de béton. S_b

G_A : C.D.G de la section d'acier. S_a

G : C.D.G de la section mixte. S

$$a = \frac{S_b \cdot c}{n \cdot S} \quad ; \quad b = \frac{S_a \cdot c}{S} \quad ; \quad a + b = c$$

I_A : moment d'inertie de la section d'acier % G_A .

I_B : -||- -||- de béton % G_B

I_G : -||- -||- mixte % G

$$I_G = I_A + \frac{I_B}{n} + a \cdot b \cdot S.$$

Prédimensionnement de la poutre métallique:

M^r: Ciolina moyennant certaines hypothèses a construit la courbe donnant la hauteur optimale de notre poutre en fonction de la plus grande portée de l'ouvrage et a donné les formules pour le calcul des sections de la semelle supérieure, inférieure et la section de l'âme.

Pour le prédimensionnement nous étudierons la section d'appui où se développe un moment négatif et où le béton ne participe pas à la résistance de l'ensemble. Notre moment est supposé être réparti équitablement sur les deux poutres.

Pour $l = 27m$ on a $b = 1,7m$ (2^{ème} hypothèse de M^r Ciolina.)

Ω_1 : section de la semelle supérieure

Ω_2 : section de la semelle inférieure.

Ω_w : section de l'âme.

$$\Omega_1 \geq 1,125 \frac{M_1}{\sigma_c \cdot b}$$

$$M_1 = \text{oss métallique} + \text{coffrage} + \text{dalle en B.A} + \text{goussets}$$

$$\Omega_2 \geq \frac{5}{6} \frac{M_2}{\sigma_c \cdot b}$$

$$M_2 = M_1 + \text{c.c.P} + \text{Surcharges}$$

$$\Omega_w = 1,2 \Omega_2$$

A.N $M_1 = 0,5 \times 1,32 (-96,47 - 316,09) = -270,21 \cdot 10^5 \text{ kg} \cdot \text{cm}$

$$\Omega_1 \geq 1,125 \frac{270,21 \cdot 10^5}{2400 \times 170} = 74,51 \text{ cm}^2, \text{ on choisit, } \Omega_1 = 60 \times 20 = 1200 \text{ cm}^2 > 74,51 \text{ cm}^2$$

$$M_2 = 0,5 \times 1,32 (-96,47 - 316,09 - 498,96) + 1,03 \times 1,5 \times 0,5 \times -851,52 = -1254,32 \cdot 10^5 \text{ kg} \cdot \text{cm}$$

$$\Omega_2 \geq \frac{5}{6} \frac{1254,32 \cdot 10^5}{170 \times 2400} = 256,81 \text{ cm}^2, \text{ on choisit, } \Omega_2 = \begin{matrix} 80 \times 2 \\ 70 \times 2 \end{matrix} = 300 \text{ cm}^2 > 256,81 \text{ cm}^2$$

$$\Omega_w = 1,2 \Omega_2 = 1,2 \times 256,81 = 308,172 \text{ cm}^2, \text{ on choisit } \Omega_w = 170 \times 20 = 3400 \text{ cm}^2$$

Conclusion:

$$\Omega_1 = 600 \times 20 = 12000 \text{ mm}^2$$

$$\Omega_w = 1700 \times 20 = 34000 \text{ mm}^2$$

$$\Omega_2 = 800 \times 20 + 700 \times 20 = 30000 \text{ mm}^2$$

largeur de la dalle par-ci-ponte:

cette largeur est définie dans l'article 23.3 du CBA 68. La condition la plus stricte est qu'il ne faut pas attribuer la même zone à deux poutres différentes. L'entreaxe des deux poutres principales étant égale à 2,2 m - on prend $l = 2,10$ m.

Répartition des efforts sur les poutres principales:

La méthode utilisée est celle de M^{re} Courbon.

hypothèses de calcul:

- les poutres principales sont parallèles et placées dans un même plan horizontal.
- les charges appliquées sur le hourdis sont verticales.
- les entretoises sont perpendiculaires aux poutres principales.
- On néglige le concours de la dalle pour solidariser les poutres principales entre-elles, ainsi que la résistance à la torsion de ces poutres et des entretoises.
- On considère les entretoises infiniment rigides.
- la largeur du pont doit être nettement inférieure à la portée ($10,58 < 13,5$) m.
- les poutres sont à inertie constante, puisque le règlement nous autorisent à les considérer ainsi si elles sont de hauteur constante et d'inertie variable au maximum dans le rapport 1 à 2.
- On considère que notre pont est une poutre droite infiniment rigide sur appuis élastiques.

Etude de la méthode:

On calcule la réaction totale de l'appui considéré revenant au pont en entier.

la réaction de la poutre i sur le hourdis supportant une charge concentrée V à l'abscisse e

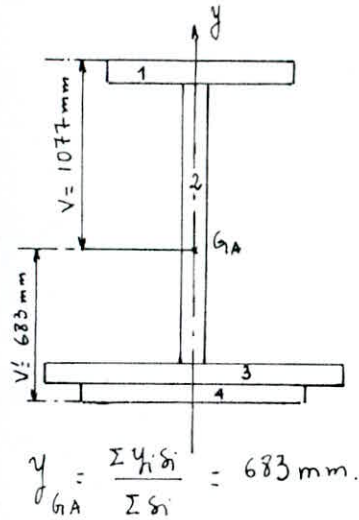
$$\text{est } R_i = \frac{V}{n} \left(1 + 6 \left(\frac{-n + 2i - 1}{n^2 - 1} \right) \frac{e}{l} \right)$$

Les efforts de réduction M et T revenant à chaque poutre sont donnés par:

$$M_i = \frac{M}{n} \Delta_i \quad ; \quad T_i = \frac{T}{n} \cdot \Delta_i \quad \Delta_i = 1 + 6 \left(\frac{-n + 2i - 1}{n^2 - 1} \right) \frac{e}{l} \quad n = \text{nbr de p. principales}$$

M et T , efforts revenant à tout le pont.

Caractéristiques géométriques du P.R.S.

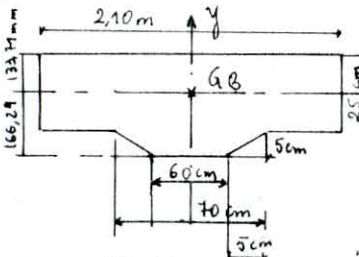


$$y_{G_A} = \frac{\sum y_i \cdot S_i}{\sum S_i} = 683 \text{ mm.}$$

$$I_{G_A} = \sum I = 3,648 \cdot 10^{10} \text{ mm}^4.$$

section	S_i (mm ²)	y_i (mm)	$y_i \cdot S_i$ (mm ³)	d_i (mm)	I_{S_i} / G_{S_i} (mm ⁴)	I_{S_i} / G_A (mm ⁴)
1	12000 ($2 \cdot 21$)	1750	$21 \cdot 10^6$	1067	$4 \cdot 10^5$	$1,566 \cdot 10^{10}$
2	34000 ($2 \cdot w$)	890	$30,26 \cdot 10^6$	207	$8,2 \cdot 10^9$	$9,657 \cdot 10^9$
3	16000	30	$0,48 \cdot 10^6$	653	$5,33 \cdot 10^5$	$6,826 \cdot 10^9$
4	14000	10	$0,14 \cdot 10^6$	673	$4,67 \cdot 10^5$	$6,342 \cdot 10^9$
Σ	76000	—	$51,88 \cdot 10^6$	—	—	$3,648 \cdot 10^{10}$

Caractéristiques géométriques de la section du béton.

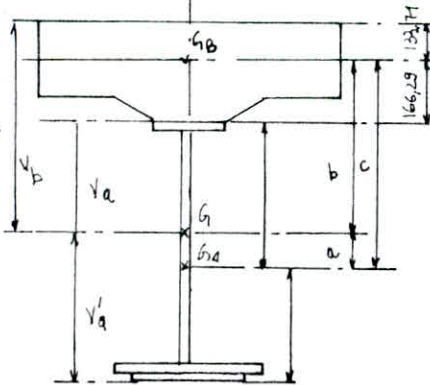


$$y_{G_B} = 133,71 \text{ mm}$$

$$I_{G_B} = 3,424 \cdot 10^9 \text{ mm}^4$$

section	S_i (mm ²)	y_i (mm)	$y_i \cdot S_i$ (mm ³)	d_i (mm)	I_{S_i} / G_{S_i} (mm ⁴)	I_{S_i} / G_B (mm ⁴)
Dalle	525000	125	$65,625 \cdot 10^6$	8,71	$2,734 \cdot 10^9$	$2,774 \cdot 10^9$
Armes	32500	274,36	$89,167 \cdot 10^5$	140,65	$6,76 \cdot 10^6$	$0,65 \cdot 10^9$
Σ	557500	—	$745,417 \cdot 10^5$	—	—	$3,424 \cdot 10^9$

Caractéristiques géométriques de la section mixte.



$$V_a = b - 166,29; V'_a = 683 + a$$

$$V_b = b + 133,71$$

$$S_a = 76000 \text{ mm}^2$$

$$S'_b = 557500 \text{ mm}^2$$

n	c (mm)	a (mm)	b (mm)	S (mm ²)	I (mm ⁴)	V_a (mm)	V'_a (mm)	V_b (mm)	$\frac{V_a \cdot I}{c \cdot S^2}$ (mm ³)	$\frac{V'_a \cdot I}{c \cdot S^2}$ (mm ³)	$\frac{V_b \cdot I}{c \cdot S^2}$ (mm ³)
8	1243,29	0	1243,29	76000	$3,648 \cdot 10^{10}$	1077	683	—	$3,4 \cdot 10^7$	$5,34 \cdot 10^7$	—
18	1243,29	359,98	883,31	106972,22	$7,07 \cdot 10^{10}$	717,02	1042,98	1077,02	$9,9 \cdot 10^7$	$6,78 \cdot 10^7$	$6,95 \cdot 10^7$
15	1243,29	408,33	834,96	113166,67	$7,53 \cdot 10^{10}$	668,67	1031,33	968,67	$11,3 \cdot 10^7$	$6,90 \cdot 10^7$	$7,78 \cdot 10^7$
6	1243,29	883,90	559,39	168916,67	$1,017 \cdot 10^{11}$	393,1	1366,9	693,1	$25,87 \cdot 10^7$	$7,44 \cdot 10^7$	$14,67 \cdot 10^7$

1) Charges permanentes (C.P)

Elements	P _i (kg/ml)	d _i (m)	P _i · d _i
Oss. métallique	687,7	0	0
2 goussets	162,5	0	0
Dalle	3506,3	-0,555	-1855
Coffrage	370,3	-0,555	-205,52
Total	4526,8		-2049,52

Coefficients de répartition:

$$\psi_i = \left(1 + 6 \frac{-n + 2i - 1}{n^2 - 1} \cdot \frac{e}{l} \right) \times \frac{1}{n}$$

Poutre ① : i=1 ; n=2 ; l=2,20m

$$\psi_1 = 0,5 - \frac{e}{2,20} ; e = \frac{\sum P_i \cdot d_i}{\sum P_i} = -0,451$$

$$\psi_1 = 0,5 + \frac{0,451}{2,20} = 0,71$$

Poutre ②

$$\psi_2 = 0,5 - \frac{0,451}{2,20} = 0,29$$

2) Complément de charges permanentes (C.C.P)

Elements	P _i (kg/ml)	d _i (m)	P _i · d _i
Décoffrage	-370,3	-0,555	205,52
Voie	150	0	0
Chape et contre chape	466	-0,18	-83,88
Boulette	80	-2,55	-204
Garde corps	100	-3,20	-320
Ballast	3332	-0,18	-610,56
Murettes	281,25	-3,075	-864,84
	168,75	-2,375	-400,78
	168,75	2,015	340,03
Total	4486,45		-1938,51

Poutre ② : i=2 ; n=2 ; l=2,20m

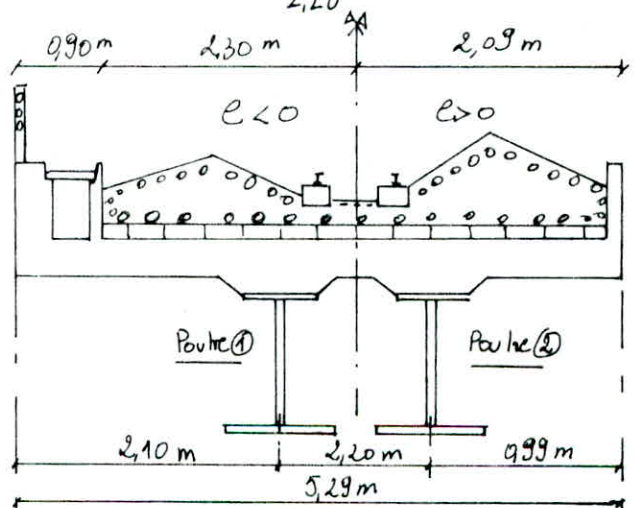
$$\psi_2 = 0,5 + \frac{e}{2,20} ; e = -0,44$$

$$\psi_2 = 0,30$$

Poutre ① : i=1 ; n=2 ; l=2,20m

$$\psi_1 = 0,5 - \frac{e}{2,20} ; e = -0,44$$

$$\psi_1 = 0,5 + \frac{0,44}{2,20} = 0,70$$



Pour les surcharges U.I.C $\psi_1 = \psi_2 = 0,5$

Coefficient de majoration dynamique:

$$\phi_M = \frac{2,16}{\sqrt{L\phi - 0,2}} + 0,73 \quad L\phi: \text{longueur chargeable.}$$

$$\phi_T = \frac{1,44}{\sqrt{L\phi - 0,2}} + 0,82$$

Coefficient de pondération:

$$\alpha = 1,32 \quad \text{CP, CCP, retrait}$$

$$\alpha = 1,50 \quad (\text{Surcharges, DT}^2)$$

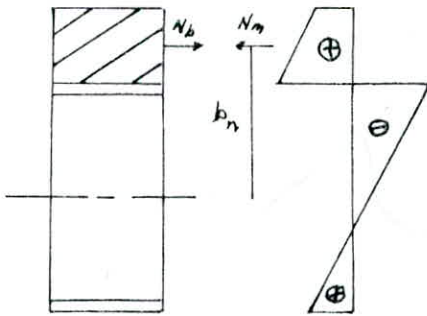
Étude du retrait et de la variation de température:

a. Effet du retrait:

Le retrait est le raccourcissement du béton non chargé au cours de son durcissement il est conditionné par les fissures, l'utilisation d'adjuvants, dosage en ciment, etc...

Dans notre cas le béton est freiné par les connecteurs, et donc ne peut effectuer son retrait librement il y a l'apparition de contraintes de traction dans le béton.

état de contraintes dans la section mixte:



$$N_b = \sigma_b \cdot S_B = \epsilon_r \cdot E_b \cdot S_B$$

$$M = N_m \cdot b_n = \epsilon_r \cdot E_b \cdot S_B \cdot b_n$$

finalement nous aurons les contraintes suivantes:

$$\text{béton: } \sigma_b = -\frac{N_b}{S_B} + \frac{N_m}{n \cdot S} + \frac{M}{n \cdot W_b}$$

$$\text{acier: } \sigma_{sr} = +\frac{N_m}{S} + \frac{M}{W_s} \quad \text{Semelle supérieure.}$$

$$\sigma_{ir} = -\frac{N_m}{S} + \frac{M}{W_i} \quad \text{Semelle inférieure.}$$

b. Effet de la différence de t°

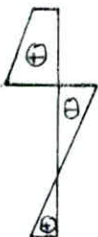
2 cas peuvent se présenter:

- Cas où la dalle est plus froide que les poutres ($\Delta T > 0$), la dalle est tendue. On a le même état de contraintes que celui dû au retrait.

- Cas où la dalle est plus chaude que les poutres ($\Delta T < 0$), la dalle est comprimée. On

a le même état de contraintes que celui dû au retrait.

$\Delta T > 0$



$\Delta T < 0$



Calcul du retrait et de la différence de température:

Nous admettons par hypothèse pour le retrait un raccourcissement: $\frac{\Delta l}{l} = \epsilon_r = 4 \cdot 10^{-4}$

Contrainte de retrait pondérée:

$$\sigma_r = \epsilon_r \times E_b \times 1,32 = 4 \cdot 10^{-4} \times 1,4 \cdot 10^5 \times 1,32 = 73,92 \text{ kg/cm}^2$$

Contrainte due à une ΔT° pondérée: $\epsilon_t = 10^{-5} \times 10 = 10^{-4}$

$$\sigma_t = \epsilon_t \times E_b \times 1,50 = 10^{-4} \times 1,4 \cdot 10^5 \times 1,5 = 21 \text{ kg/cm}^2$$

Calcul du couple M engendré par le retrait + ΔT° : (cas où $\Delta T > 0$)

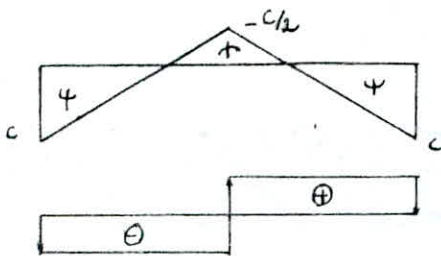
$$M = (\sigma_r + \sigma_t) \times B \times b_{1,5}$$

$$B = 5575 \text{ cm}^2 ; b_{1,5} = 83,436 \text{ cm pour } n=15$$

$$M = (73,92 + 21) \times 5575 \times 83,436 = 44184330 \text{ kg.cm} \Rightarrow M = 441,84 \text{ t.m} = C.$$



Le moment C est appliqué aux abouts de la poutre.



$$M_f \quad M(x) = 441,84 (1 - 0,056x) \quad 0 \leq x \leq 27 \text{ m.}$$

$$T(x) = -\frac{3C}{2l} = -24,55 \text{ t.} \quad 0 \leq x \leq 27 \text{ m.}$$

$$R_0 = R_2 = 24,55 \text{ t} (\downarrow)$$

$$R_1 =$$

Moment fléchissant et effort tranchant pondérés dû au retrait + ΔT° .

Section	0	1	2	3	4	5	6	7	8	9
x(m)	0	3	6	9	12	15	18	21	24	27
M (T.m)	441,84	367,27	293,11	218,95	144,79	70,63	-3,53	-77,69	-151,85	-226,92
T (t)	-24,55	-24,55	-24,55	-24,55	-24,55	-24,55	-24,55	-24,55	-24,55	-24,55

Calcul de la dénivellation d'appui:

Deux facteurs sont à l'origine de la dénivellation dans le béton:

- Les moments négatifs sur appui intermédiaire d'une travée continue.

- Les effets différés (retrait et température).

Or les prescriptions relatives à la limitation de la traction dans le béton disent que le béton ne doit pas être tendu à vide, c'est à dire sous l'effet combiné des charges permanentes et des effets linéaires différés. Pour compenser les tractions à vide dans le béton, on procède à une précompression de la dalle en faisant une déviation d'appuis.

Principe de calcul: $\sigma_p \geq \sigma_{ccp} + \sigma_r + \sigma_{t2}$ σ_p : contrainte dans le béton due à la précompression.

au niveau de l'appui ①:

- le moment dû à c.c.p $M = 0,70 \times 1,32 \times -438,96$

$$M = -461,04 \text{ t.m}$$

la contrainte de traction du béton engendré par le moment est:

$$\sigma_b = \frac{1}{n} \frac{M}{W_b} \quad n=18 ; W_b = 69500 \text{ cm}^3 ; M = -461,04 \text{ t.m}$$

$$\sigma_b = 36,85 \text{ kg/cm}^2.$$

- le moment engendré par le retrait + ΔT est: $M_r = -220,92 \text{ t.m}$

la contrainte de traction dans le béton engendré par cet effet hyperstatique est:

$$\sigma_b = \frac{1}{n} \frac{M}{W_b} \quad n=15 ; W_b = 77800 \text{ cm}^3 ; M = -220,92 \text{ t.m}$$

$$\sigma_b = 18,93 \text{ kg/cm}^2$$

- la contrainte de traction dans le béton engendré par l'effet isostatique est:

$$\sigma_b = \epsilon_r E_b \frac{A}{S} \left(1 - b \cdot \frac{a \cdot S}{I} \right) \quad n=15 ; A=760 \text{ cm}^2 ; I=75,3 \cdot 10^5 \text{ cm}^4$$

$$S=1131,67 \text{ cm}^2 ; a=40,83 \text{ cm} ; b=83,496 \text{ cm}$$

$$\epsilon_r = 4 \cdot 10^{-4} , E_b = 1,4 \cdot 10^5 \text{ kg/cm}^2.$$

$$\sigma_b = 18,34 \text{ kg/cm}^2$$

42- et le ΔT ? $\Rightarrow \sigma_b = 22,9 \text{ kg/cm}^2$

D'où la contrainte totale due au retrait plus ΔT° est:

$$\sigma_b = 18,34 + 18,93 = 37,27 \text{ kg/cm}^2.$$

La contrainte totale due à c.c.p + retrait + ΔT° (trachin) est:

$$\sigma_b = 37,27 + 36,85 = 74,12 \text{ kg/cm}^2$$

Calcul du moment qui peut engendrer cette contrainte due à c.c.p + retrait + ΔT° :

$$\sigma_b = \frac{-M}{n w_b} \Rightarrow M = -n w_b \sigma_b$$

$$n = 18 \text{ (Pour la dénivellation)}$$

$$w_b = 69500 \text{ cm}^3 ; \sigma_b = 74,12 \text{ kg/cm}^2.$$

$$M = -927,24 \text{ t.m}$$

1. Dénivellation retour:

$$\Delta = -\frac{M l^2}{3EI} \text{ (tiré de l'équation des 03 moments.)}$$

$$M = -927,24 \text{ t.m} ; l = 27 \text{ m}$$

$$E = 2,1 \cdot 10^6 \text{ kg/cm}^2 ; I = 7,07 \cdot 10^6 \text{ cm}^4.$$

$$\Delta = 15,17 \text{ cm} \text{ on prend } \Delta = 16 \text{ cm.}$$

Le moment induit par $\Delta = 16 \text{ cm}$ est:

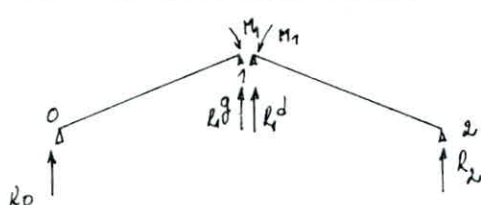
$$M = \frac{3 \Delta E I}{l^2} = \frac{3 \times 16 \times 2,1 \cdot 10^6 \times 7,07 \cdot 10^6}{2700^2} = 977,58 \text{ t.m}$$

2. Dénivellation aller: (seul l'acier travaille ; $n = \infty$).

Le moment sur appui due à la dénivellation d'appui (aller) est:

$$M = -\frac{3EI \cdot \Delta}{l^2} = -\frac{3 \times 2,1 \cdot 10^6 \times 16 \times 3,648 \cdot 10^6}{2700^2} = -504,42 \text{ t.m.}$$

Détermination des éléments de réduction Met T:



"Dénivellation aller"

$$M(x) = R_0 x ; R_0 l + M_1 = 0 \Rightarrow R_0 = -\frac{M_1}{l} \text{ d'où } M(x) = -\frac{M_1}{l} \cdot x$$

$$M(x) = -\frac{504,42}{27} \cdot x \Rightarrow M(x) = -18,68 x \quad 0 \leq x \leq 27 \text{ m.}$$

$$T(x) = R_0 = 0 \quad T(x) = -18,68 \text{ t} \quad 0 \leq x \leq 27 \text{ m.}$$

"Dénivellement retour"

$$M(x) = \frac{977,58}{27} \cdot x \quad \Rightarrow \quad M(x) = 36,21x \quad 0 \leq x \leq 27m.$$

$$T(x) = 36,21 \text{ t} \quad 0 \leq x \leq 27m.$$

Tableau récapitulatif: les efforts sont pondérés

Dénivellement aller:

Section	0	1	2	3	4	5	6	7	8	9
x (cm)	0	3	6	9	12	15	18	21	24	27
M (t.m)	0	-56,04	-112,08	-168,12	-224,16	-280,20	-336,24	-392,28	-448,32	-504,36
T (t)	-18,68	-18,68	-18,68	-18,68	-18,68	-18,68	-18,68	-18,68	-18,68	-18,68

$$R_1 = 2 \times 18,68 = 37,36 \text{ t} \quad (\uparrow)$$

$$R_0 = R_2 = 18,68 \text{ t} \quad (\downarrow)$$

Dénivellement retour:

Section	0	1	2	3	4	5	6	7	8	9
x (cm)	0	3	6	9	12	15	18	21	24	27
M (t.m)	0	108,62	217,24	325,86	434,48	543,10	651,72	760,34	868,96	977,58
T (t)	36,21	36,21	36,21	36,21	36,21	36,21	36,21	36,21	36,21	36,21

$$R_0 = R_2 = 36,21 \text{ t} \quad (\uparrow)$$

$$R_1 = 2 \times 36,21 = 72,42 \text{ t} \quad (\downarrow)$$

Nous dresserons le tableau des M_f et T pondérés, répartis et majorés pour la poutre n°1 qui est la plus sollicitée.

Designations	Coefficients			Sections									
	α	ψ	ϕ	0	1	2	3	4	5	6	7	8	9
1 ^{re} phase CP	1,32	0,71	/	0	107,67	177,23	208,67	202,00	157,24	74,36	-46,90	-182,17	-326,58
2 ^e phase CR	1,32	0,71	/	0	109,80	181,50	215,09	210,55	167,93	87,19	-31,67	-188,62	-383,69
C.C.P	1,32	0,70	/	0	132,93	219,64	260,16	254,39	202,44	104,06	-40,95	-230,78	-467,63
Réhaït ΔT^+	1,32	/	/	441,84	367,27	293,11	218,95	144,79	70,63	-3,53	-77,69	-151,85	-220,92
Réhaït ΔT^-	1,5	/	/	246,34	194,69	155,38	116,06	76,75	37,44	-1,87	-41,18	-80,50	-123,17
Demivellelton Ableu	/	/	/	0	-56,04	-112,08	-128,12	-224,16	-280,02	-336,24	-392,28	-448,32	-504,42
Demivellelton Rebour	/	/	/	0	108,62	217,24	325,86	434,48	543,1	651,72	760,34	868,96	977,58
Surcharge (Concr. U.I.C.)	1,5	0,5	M ⁺	0	311,92	527,22	652,99	702,90	653,75	509,31	357,46	106,04	0
			M ⁻	0	-46,91	-93,82	-141,60	-188,29	-235,49	-282,55	-328,46	-408,57	-557,80
			M ⁺	—	1,16	1,16	1,16	1,16	1,16	1,16	1,16	1,16	1,06
			M ⁻	—	1,16	1,16	1,16	1,16	1,16	1,16	1,16	1,06	1,05

Moments flechissants Ponderés, réparés et majorés :

Pouche N° 1.

Designation	Coefficients			0	1	2	3	4	5	6	7	8	9
	α	ϕ	ϕ										
1 ^{re} phase CP	1,32	0,71	/	42,24	29,51	16,78	4,05	-8,69	-21,42	-34,14	-43,61	-46,58	-49,56
2 ^{de} phase CP	1,32	0,71	/	32,91	23,16	13,40	3,65	-6,11	-15,64	-25,26	-35,38	-45,14	-54,89
C.C.P	1,32	0,70	/	52,02	36,61	21,20	5,79	-9,62	-25,02	-40,43	-55,84	-71,25	-86,65
Rehaut + DT ²	1,32 1,50	/	/	-24,55	-24,55	-24,55	-24,55	-24,55	-24,55	-24,55	-24,55	-24,55	-24,55
Derivellekhan celler	1	/	/	-18,68	-18,68	-18,68	-18,68	-18,68	-18,68	-18,68	-18,68	-18,68	-18,68
Derivellekhan rebour	1	/	/	36,21	36,21	36,21	36,21	36,21	36,21	36,21	36,21	36,21	36,21
Surcharges (U.I.C)	1,50 1,50	0,5	T+	121,03	96,73	76,48	58,19	41,87	28,25	15,50	8,77	0	0
			ϕ_T	4,12	4,13	4,15	4,18	4,21	4,26	4,33	4,46	-	-
	0,5	0,5	T-	-15,34	-16,26	-23,77	-36,52	-51,30	-67,60	-85,04	-103,45	-123,27	-143,53
			ϕ_T	4,12	4,09	4,08	4,07	4,06	4,05	4,04	4,03	4,03	4,02
			Max ± STC:	20980	16053	11492	7147	-101,97	-142,66	-185,13	-229,07	-274,06	-319,27

Efforts tranchants Ponderés, répartis et majorés:

Poutre N° 1.

Dimensionnement

Les poutres principales - étant prédimensionnées, on calcule les contraintes dans le béton ainsi que dans l'acier pour chaque phase de construction de notre ouvrage et on les compare aux contraintes admissibles du béton et de l'acier.

Phases de construction :

1^{er} étape : mise en place du tablier métallique et d'envellure seller ($n=00$).

verification des contraintes : dans le béton : traction $\sigma_b < \bar{\sigma}_b = 6,3 \text{ kg/cm}^2$.

compression $\sigma'_b < \bar{\sigma}'_b = 153 \text{ kg/cm}^2$.

dans l'acier : traction, compression $\sigma_a < \sigma_c = 24 \text{ kg/mm}^2$.

2^{ème} étape : Après durcissement du béton, on procède à la dénivelation de tout ($n=18$).

même verification des contraintes que pour la 1^{er} étape.

3^{ème} étape : On considère l'acier des C.C.P ($n=19$), du rebaut et de DT² ($n=15$).

même verification des contraintes que pour la 1^{er} étape.

4^{ème} étape : Dans cette dernière étape, on prend en compte l'effet des surcharges ($n=6$).

verification des contraintes : dans le béton : traction $\sigma_b < 30 \text{ bars}$

compression $\sigma'_b < 153 \text{ kg/cm}^2$

dans l'acier : traction, compression $\sigma_a < \sigma_c = 24 \text{ kg/mm}^2$.

N.B : Les fissures éventuelles dues aux surcharges sont instantanées et se referment à la décharge, néanmoins il faut assurer une bonne étanchéité. la contrainte de 30 bars est fixée par le maître de l'œuvre (S.A.P.T.A).

Calcul des contraintes dues au retrait :

soit $\epsilon_r = \frac{\Delta l}{l} = 4 \cdot 10^{-4}$ la variation relative de longueur du béton par rapport à l'acier.

- contrainte de traction moyenne dans le béton :

$$\sigma_b = \epsilon_r E_b \cdot \frac{S_a}{S} \cdot \frac{I_a}{I}$$

$$\epsilon_r = 4 \cdot 10^{-4} ; E_b = 1,4 \cdot 10^5 \text{ kg/cm}^2 ; n = 15.$$

$$S_a = 760 \text{ cm}^2 ; S = 1131,67 \text{ cm}^2 ; I_a = 3,648 \cdot 10^{10} \text{ mm}^2.$$

$$I = 7,530 \cdot 10^{10} \text{ mm}^2.$$

$$\sigma_b = 18,34 \text{ kg/cm}^2.$$

- contrainte de compression dans la fibre supérieure de l'acier :

$$\sigma_s = - \epsilon_r E_s \frac{S_b}{S} \frac{(I_a + b \cdot S \cdot d)}{I} = - 4 \cdot 10^{-4} \times 1,4 \cdot 10^5 \times \frac{5575}{1131,67} \times \frac{3,648 \cdot 10^{10} + 834,96 \times 1131,67 \cdot 10^2 \times 10^2}{7,53 \cdot 10^{10}}$$

$$\sigma_s = - 5,06 \text{ kg/mm}^2.$$

d : distance du C.D.G G_A de l'acier à la fibre sup^r de l'acier.

- contrainte de traction sur la fibre inférieure de l'acier :

$$\sigma_i = \epsilon_r E_b \frac{S_b}{S} \frac{b \cdot S \cdot d' - I_a}{I} = 50 \times \frac{5575}{1131,67} \times \frac{834,96 \times 1131,67 \times 10^2 \times 633 - 3,648 \cdot 10^{10}}{7,53 \cdot 10^{10}}$$

$$\sigma_i = 1,03 \text{ kg/mm}^2.$$

d' : distance du C.D.G G_A de l'acier à la fibre inf^r de l'acier.

Vérification des contraintes :

Au niveau de la section 0 : seul les effets différés provoquent des contraintes dans cette section.

type de sollicitation	Moment (t.m)	σ_b (kg/cm ²)	σ_s (kg/mm ²)	σ_i (kg/mm ²)
retrait isost		18,34	-5,06	+1,03
retrait hyp ^r + DT	441,84	-37,86	-3,91	6,40
retrait hyp ^r - DT	246,34	-21,11	-2,18	3,57
$\bar{\sigma}$	DT	-19,54	-8,97	7,43
	-DT	-2,79	-7,24	4,60

Section n° 1

Phase	type de sollicitation	Moment (E.m)	$\sigma_b \text{ (kg/cm}^2\text{)} = \frac{M}{n w_b}$		$\sigma_s \text{ (kg/mm}^2\text{)} = \frac{M}{w_s}$		$\sigma_c \text{ (kg/mm}^2\text{)} = \frac{M}{w_c}$	
n=∞ ①	C.P. D. Aller	1 ^{re} phase 107,67	/		(109,80 - 56,04) · 10 ⁶ / 3,4 · 10 ⁷		(109,80 - 56,04) · 10 ⁶ / 5,34 · 10 ⁷	
		2 ^{de} phase 109,80						
		-56,04						
σ_1			0		- 1,58		1,01	
n=18 ②	D. Retour	108,62	$108,62 \cdot 10^5 / 18 \times 6,95 \cdot 10^4$		$108,62 \cdot 10^6 / 9,9 \cdot 10^7 = -1,1$		$108,62 \cdot 10^6 / 6,78 \cdot 10^7 = 1,60$	
σ_2			- 8,68		- 2,68		2,61	
n=15	Retrait isost		18,34		- 5,06		1,03	
③	R. hypers ^T + ΔT ²	367,27	$367,27 \cdot 10^5 / 15 \times 7,78 \cdot 10^4 = -31,47$		$367,27 \cdot 10^6 / 11,3 \cdot 10^7 = -3,28$		$367,27 \cdot 10^6 / 6,9 \cdot 10^7 = 5,32$	
	R. hypers ^T - ΔT ²	194,69	$194,69 \cdot 10^5 / 15 \times 7,78 \cdot 10^4 = -16,68$		$194,69 \cdot 10^6 / 11,3 \cdot 10^7 = -1,72$		$194,69 \cdot 10^6 / 6,9 \cdot 10^7 = 2,82$	
n=18	C. C.P	132,93	$132,93 \cdot 10^5 / 18 \times 6,95 \cdot 10^4 = -10,63$		$132,93 \cdot 10^6 / 9,9 \cdot 10^7 = -1,34$		$132,93 \cdot 10^6 / 6,78 \cdot 10^7 = 1,96$	
σ_3		ΔT	- 32,46		- 12,33		10,92	
		- ΔT	- 17,67		- 10,80		8,42	
n=6 ④	Surcharges (U.I.C)	311,92	$311,92 \cdot 10^5 / 6 \times 14,67 \cdot 10^4 = -35,44$		$311,92 \cdot 10^6 / 25,87 \cdot 10^7 = -1,21$		$311,92 \cdot 10^6 / 7,44 \cdot 10^7 = 4,19$	
		-46,91	$46,91 \cdot 10^5 / 6 \times 14,67 \cdot 10^4 = 5,33$		$46,91 \cdot 10^6 / 25,87 \cdot 10^7 = 0,18$		$46,91 \cdot 10^6 / 7,44 \cdot 10^7 = -0,63$	
σ_4		ΔT	- 67,90	- 53,11	- 13,54	- 12,01	15,11	12,61
σ'_4		ΔT	- 27,13	- 12,34	- 12,15	- 10,62	10,29	7,79

Section n° 2

Phase	type de sollicitation	Moment (t.m)	$\bar{\sigma}_b$ (kg/cm ²)		$\bar{\sigma}_s$ (kg/mm ²)		$\bar{\sigma}_c$ (kg/mm ²)		
n=∞	CP	1 ^{re} phase	177,23	/	/	/	/	/	
		2 ^{de} phase	181,50						
①	D. Aller	-112,08							
$\bar{\sigma}_1$			0		-2,04		1,30		
n=18	D. Retour		217,24	$217,24 \cdot 10^5 / 18 \times 6,95 \cdot 10^4 = -17,36$	$217,24 \cdot 10^6 / 99 \cdot 10^7 = -2,16$	$217,24 \cdot 10^6 / 6,78 \cdot 10^7 = 3,20$			
②									
$\bar{\sigma}_2$			-17,36		-4,23		4,50		
n=15	retrait isoθ ^T	R. hypers ^T + ΔT	293,11	$293,11 \cdot 10^5 / 15 \times 7,78 \cdot 10^4 = -25,12$	$293,11 \cdot 10^6 / 11,3 \cdot 10^7 = -2,59$	$293,11 \cdot 10^6 / 6,9 \cdot 10^7 = 4,25$			
③		R. hypers ^T - ΔT	155,38	$155,38 \cdot 10^5 / 15 \times 7,78 \cdot 10^4 = -13,32$	$155,38 \cdot 10^6 / 11,3 \cdot 10^7 = -1,38$	$155,38 \cdot 10^6 / 6,9 \cdot 10^7 = 2,25$			
n=18	C.C.P		219,64	$219,64 \cdot 10^5 / 18 \times 6,95 \cdot 10^4 = -17,56$	$219,64 \cdot 10^6 / 99 \cdot 10^7 = -2,22$	$219,64 \cdot 10^6 / 6,78 \cdot 10^7 = 3,24$			
$\bar{\sigma}_3$		+ ΔT		-41,72	-14,1		13,02		
		- ΔT		-29,92	-12,89		11,02		
n=6	Surcharges		527,22	$527,22 \cdot 10^5 / 6 \times 14,67 \cdot 10^4 = -59,90$	$527,22 \cdot 10^6 / 25,87 \cdot 10^7 = -2,04$	$527,22 \cdot 10^6 / 7,44 \cdot 10^7 = 7,09$			
④			-93,82	$93,82 \cdot 10^5 / 6 \times 14,67 \cdot 10^4 = -10,66$	$93,82 \cdot 10^6 / 25,87 \cdot 10^7 = 0,36$	$93,82 \cdot 10^6 / 7,44 \cdot 10^7 = -1,26$			
		ΔT	-ΔT	-101,62	-83,82	-16,14	-14,93	20,11	18,11
		ΔT	-ΔT	-31,06	-19,26	-13,74	-12,53	11,76	9,76

Section n=3

Phase	type de sollicitation	Moment (t.m)	σ_b (kg/cm ²)		σ_s (kg/mm ²)		σ_c (kg/mm ²)		
n=∞	CP	1 ^{re} phase	208,67			$(215,09 - 168,12) \cdot 10^6 / 3,4 \cdot 10^7$		$(215,09 - 168,12) \cdot 10^6 / 5,34 \cdot 10^7$	
		2 ^{de} phase	215,09						
①	D. Aller	-168,12							
σ_1			0		-1,38		0,88		
n=18	D. retour	325,86	$325,86 \cdot 10^5 / 18 \times 6,95 \cdot 10^4 = -26,05$		$325,86 \cdot 10^6 / 9,9 \cdot 10^7 = -3,29$		$325,86 \cdot 10^6 / 6,78 \cdot 10^7 = 4,81$		
σ_2			-26,05		-4,67		5,47		
n=15	retrait crast		18,34		-5,06		1,03		
③	R. hypersT + ΔT	218,95	$218,95 \cdot 10^5 / 15 \times 7,78 \cdot 10^4 = -18,76$		$218,95 \cdot 10^6 / 11,3 \cdot 10^7 = -1,94$		$218,95 \cdot 10^6 / 6,90 \cdot 10^7 = 3,17$		
	R. hypersT - ΔT	116,06	$116,06 \cdot 10^5 / 15 \times 7,78 \cdot 10^4 = -9,95$		$116,06 \cdot 10^6 / 11,3 \cdot 10^7 = -1,03$		$116,06 \cdot 10^6 / 8,90 \cdot 10^7 = 1,68$		
n=18	C. C. P	260,13	$260,13 \cdot 10^5 / 18 \times 6,95 \cdot 10^4 = -20,79$		$260,13 \cdot 10^6 / 9,9 \cdot 10^7 = -2,63$		$260,13 \cdot 10^6 / 6,78 \cdot 10^7 = 3,84$		
σ_3		ΔT	-47,28		-14,30		13,51		
		-ΔT	-38,47		-13,39		12,02		
n=6	Surcharges	652,99	$652,99 \cdot 10^5 / 6 \times 14,67 \cdot 10^4 = -74,19$		$652,99 \cdot 10^6 / 25,87 \cdot 10^7 = -2,52$		$652,99 \cdot 10^6 / 7,44 \cdot 10^7 = 8,78$		
④		-141,60	$141,60 \cdot 10^5 / 6 \times 14,67 \cdot 10^4 = 16,09$		$141,60 \cdot 10^6 / 25,87 \cdot 10^7 = 0,55$		$141,60 \cdot 10^6 / 7,44 \cdot 10^7 = -1,90$		
σ_4		ΔT	-ΔT	-121,47	-112,66	-16,82	-15,91	22,29	20,8
σ_4		ΔT	-ΔT	-31,19	-22,38	-13,75	-12,84	11,61	10,12

Section n° 4

Phase	Type de sollicitation	Moment (t.m)	σ_b (kg/cm ²)		σ_s (kg/mm ²)		σ_c (kg/mm ²)	
①	CP	1 ^{re} phase	202,00		$(202,00 - 224,16) \cdot 10^6 / 3,4 \cdot 10^7$	$(202,00 - 224,16) \cdot 10^6 / 5,34 \cdot 10^7$		
		2 ^{de} phase	210,55					
	D. Allé	-224,16						
$\bar{\sigma}_1$			0		0,65		-0,41	
②	D. retour	434,48	$434,48 \cdot 10^5 / 18 \times 6,95 \cdot 10^9 = -34,73$	$434,48 \cdot 10^6 / 9,9 \cdot 10^7 = -4,39$	$434,48 \cdot 10^6 / 6,78 \cdot 10^7 = 6,41$			
			-34,73	-3,74	6,00			
③	R. inst ^T		18,34	-5,06	1,03			
	R. hypers ^T + ΔT	144,79	$144,79 \cdot 10^5 / 15 \times 7,78 \cdot 10^9 = -12,41$	$144,79 \cdot 10^6 / 11,3 \cdot 10^7 = -1,28$	$144,79 \cdot 10^6 / 6,3 \cdot 10^7 = 2,10$			
	R. hypers ^T - ΔT	76,75	$76,75 \cdot 10^5 / 15 \times 7,78 \cdot 10^9 = -6,58$	$76,75 \cdot 10^6 / 11,3 \cdot 10^7 = -0,68$	$76,75 \cdot 10^6 / 6,3 \cdot 10^7 = 1,11$			
④	C. C. P	254,39	$254,39 \cdot 10^5 / 18 \times 6,95 \cdot 10^9 = -20,34$	$254,39 \cdot 10^6 / 9,9 \cdot 10^7 = -2,57$	$254,39 \cdot 10^6 / 6,78 \cdot 10^7 = 3,75$			
		ΔT	-49,16	-12,65	12,88			
		$-\Delta T$	-43,33	-12,05	11,83			
⑤	Surcharges	702,90	$702,90 \cdot 10^5 / 6 \times 14,67 \cdot 10^9 = -79,86$	$702,90 \cdot 10^6 / 25,87 \cdot 10^7 = -2,72$	$702,90 \cdot 10^6 / 7,44 \cdot 10^7 = 9,45$			
		-188,29	$188,29 \cdot 10^5 / 6 \times 14,67 \cdot 10^9 = 21,39$	$188,29 \cdot 10^6 / 25,87 \cdot 10^7 = 0,73$	$188,29 \cdot 10^6 / 7,44 \cdot 10^7 = -2,53$			
$\bar{\sigma}_4$		ΔT	-129,02	-123,19	-15,37	-14,77	22,33	21,34
		$-\Delta T$	-27,77	-21,94	-11,92	-11,32	10,35	9,36

Section n° 5

Phase	Type de sollicitation	Moment (t.m)	σ_b (kg/cm ²)		σ_s (kg/mm ²)		σ_c (kg/mm ²)		
n = ∞ ①	CP D. Aller	1 ^{re} phase 157,24	/		(157,24 - 280,02) · 10 ⁶ / 3,4 · 10 ⁷		(157,24 - 280,02) · 10 ⁶ / 5,34 · 10 ⁷		
		2 ^{de} phase 167,93							
		-280,02							
σ_1			0		3,61		-2,30		
n = 18 ②	D. Retour	543,10	$543,1 \cdot 10^5 / 18 \times 6,95 \cdot 10^4$		$543,10 \cdot 10^6 / 9,9 \cdot 10^7 = -5,49$		$543,10 \cdot 10^6 / 6,78 \cdot 10^7 = 8,01$		
σ_2			-43,41		-1,88		5,71		
n = 15 ③	R. isot		18,34		-5,06		1,03		
	R. hyper ^T + ΔT	70,63	$70,63 \cdot 10^5 / 15 \times 7,78 \cdot 10^4 = -6,05$		$70,63 \cdot 10^6 / 11,3 \cdot 10^7 = -0,63$		$70,63 \cdot 10^6 / 6,9 \cdot 10^7 = 1,02$		
	R. hyper ^T - ΔT	37,44	$37,44 \cdot 10^5 / 15 \times 7,78 \cdot 10^4 = -3,21$		$37,44 \cdot 10^6 / 11,3 \cdot 10^7 = -0,33$		$37,44 \cdot 10^6 / 6,9 \cdot 10^7 = 0,54$		
n = 18	C.C.P	202,44	$202,44 \cdot 10^5 / 18 \times 6,95 \cdot 10^4 = -16,18$		$202,44 \cdot 10^6 / 9,9 \cdot 10^7 = -2,04$		$202,44 \cdot 10^6 / 6,78 \cdot 10^7 = 2,99$		
σ_3		ΔT	-47,32		-9,67		10,75		
		-ΔT	-44,48		-9,31		10,27		
n = 6 ④	Surcharges	633,73	$633,73 \cdot 10^5 / 6 \times 14,67 \cdot 10^4 = -72,00$		$633,73 \cdot 10^6 / 25,87 \cdot 10^7 = -2,45$		$633,73 \cdot 10^6 / 7,44 \cdot 10^7 = 8,52$		
		-235,49	$235,49 \cdot 10^5 / 6 \times 14,67 \cdot 10^4 = 26,75$		$235,49 \cdot 10^6 / 25,87 \cdot 10^7 = 0,91$		$235,49 \cdot 10^6 / 7,44 \cdot 10^7 = -3,17$		
σ_4		ΔT	-ΔT	-119,32	-116,48	-12,06	-11,76	19,27	18,79
σ_4		ΔT	-ΔT	-20,57	-17,73	-8,70	-8,40	7,58	7,10

Section n°6

Phase	type de sollicitations	Moment (t.m)	σ_b (kg/cm ²)		σ_s (kg/mm ²)		σ_c (kg/mm ²)		
①	CP } 1 ^{er} phase 2 ^{em} phase D. Aller	74,36			$(-336,24 + 74,36) \cdot 10^6 / 3,4 \cdot 10^7$		$(-336,24 + 74,36) \cdot 10^6 / 5,34 \cdot 10^7$		
		87,19							
		-336,24							
$\bar{\sigma}_1$			0		7,70		-4,90		
n=18 ②	D. Retour	651,72	$651,72 \cdot 10^5 / 18 \times 6,95 \cdot 10^4$		$651,72 \cdot 10^6 / 9,9 \cdot 10^7 = -6,58$		$651,72 \cdot 10^6 / 6,78 \cdot 10^7 = 9,61$		
$\bar{\sigma}_2$			-52,10		1,12		4,71		
n=15 ③	Retrait: isostr		18,34		-5,06		7,03		
	R. hyper ^{tr} + DT	-3,53	$3,53 \cdot 10^5 / 15 \times 7,78 \cdot 10^4 = 0,30$		$3,53 \cdot 10^6 / 11,3 \cdot 10^7 = 0,03$		$3,53 \cdot 10^6 / 6,9 \cdot 10^7 = -0,05$		
	R. hyper ^{tr} - DT	-1,87	$1,87 \cdot 10^5 / 15 \times 7,78 \cdot 10^4 = 0,16$		$1,87 \cdot 10^6 / 11,3 \cdot 10^7 = 0,02$		$1,87 \cdot 10^6 / 6,9 \cdot 10^7 = -0,03$		
n=18	C.C.P	104,03	$104,03 \cdot 10^5 / 18 \times 6,95 \cdot 10^4 = -8,32$		$104,03 \cdot 10^6 / 9,9 \cdot 10^7 = -1,05$		$104,03 \cdot 10^6 / 6,78 \cdot 10^7 = 1,53$		
$\bar{\sigma}_3$		DT	-41,80		-4,96		7,22		
		-DT	-41,94		-4,97		7,24		
n=6 ④	Surcharges	509,31	$509,31 \cdot 10^5 / 6 \times 14,67 \cdot 10^4 = -57,86$		$509,31 \cdot 10^6 / 25,87 \cdot 10^7 = -1,97$		$509,31 \cdot 10^6 / 7,44 \cdot 10^7 = 6,85$		
		-282,55	$+282,55 \cdot 10^5 / 6 \times 14,67 \cdot 10^4 = 32,1$		$282,55 \cdot 10^6 / 25,87 \cdot 10^7 = 1,09$		$282,55 \cdot 10^6 / 7,44 \cdot 10^7 = -3,80$		
$\bar{\sigma}_4$		DT	-DT	-99,66	-99,80	-6,93	-6,94	14,07	14,09
$\bar{\sigma}'_4$		DT	-DT	-9,70	-9,84	-3,87	-3,88	3,42	3,44

Section n° = 7

Phase	type de sollicitation	Moment (t.m)		σ_b (kg/cm ²)		σ_b (kg/mm ²)		σ_c (kg/mm ²)		
n = ∞ ①	CP D. Aller	1 ^{re} phase	-46,90		$(-332,28 - 46,30) \cdot 10^6 / 3,4 \cdot 10^4$	$(-392,28 - 46,30) \cdot 10^6 / 5,34 \cdot 10^7$				
2 ^{de} phase		-31,67								
		-392,28								
σ_1				0		12,92		-3,27		
n = 18 ②	D. Retour		760,34	$760,34 \cdot 10^5 / 18 \times 6,95 \cdot 10^4$	$760,34 \cdot 10^6 / 99 \cdot 10^7 = -7,68$	$760,34 \cdot 10^6 / 6,78 \cdot 10^7 = 11,21$				
σ_2				-60,78		5,24		2,94		
n = 15 ③	Retroit isost			18,34		-5,06		1,03		
	R.hypost + ΔT	-77,69	$77,69 \cdot 10^5 / 15 \times 7,78 \cdot 10^4 = 6,66$	$77,69 \cdot 10^6 / 11,3 \cdot 10^7 = 0,69$	$77,69 \cdot 10^6 / 6,9 \cdot 10^7 = -1,13$					
	R.hypost - ΔT	-41,18	$41,18 \cdot 10^5 / 15 \times 7,78 \cdot 10^4 = 3,53$	$41,18 \cdot 10^6 / 11,3 \cdot 10^7 = 0,36$	$41,18 \cdot 10^6 / 6,9 \cdot 10^7 = -0,60$					
n = 18	C.C.P	-40,45	$40,45 \cdot 10^5 / 18 \times 6,95 \cdot 10^4 = 3,23$	$40,45 \cdot 10^6 / 99 \cdot 10^7 = 0,41$	$40,45 \cdot 10^6 / 6,78 \cdot 10^7 = -0,60$					
σ_3		ΔT		-32,57		1,28		2,24		
		-ΔT		-35,70		0,95		2,77		
n = 6 ④	Surcharges		337,46	$337,46 \cdot 10^5 / 6 \times 14,67 \cdot 10^4 = -38,34$	$337,46 \cdot 10^6 / 25,87 \cdot 10^7 = -1,30$	$337,46 \cdot 10^6 / 7,44 \cdot 10^7 = 4,54$				
			-329,46	$329,46 \cdot 10^5 / 6 \times 14,67 \cdot 10^4 = 37,43$	$329,46 \cdot 10^6 / 25,87 \cdot 10^7 = 1,27$	$329,46 \cdot 10^6 / 7,44 \cdot 10^7 = -4,43$				
σ_4		ΔT	-ΔT	-70,91	-74,04	-0,02	-0,35	6,78	7,31	
σ'_4		ΔT	-ΔT	4,86	1,73	2,55	2,22	-2,19	-1,66	

Section n° 8

Phase	type de sollicitation	Moment (t.m)	σ_b (kg/cm ²)		σ_s (kg/mm ²)		σ_c (kg/mm ²)	
n=∞ ①	CP 1 ^{re} phase 2 ^{de} phase D. Aller	-182,17 -188,72 -448,22			$(-448,22 - 188,72) \cdot 10^6 / 3,4 \cdot 10^7$		$(-448,22 - 188,72) \cdot 10^6 / 5,34 \cdot 10^7$	
σ_1		0						
n=18 ②	D. Retour	868,96	$868,96 \cdot 10^5 / 18 \times 6,95 \cdot 10^4$		$868,96 \cdot 10^6 / 9,9 \cdot 10^7 = -8,78$		$868,96 \cdot 10^6 / 6,78 \cdot 10^7 = 12,82$	
σ_2			-69,46		9,96		0,89	
n=15 ③	Refract isost R. hyperT + ΔT R. hyperT - ΔT	-151,85 -80,50	$151,85 \cdot 10^5 / 15 \times 7,78 \cdot 10^4 = 13,01$		$151,85 \cdot 10^6 / 11,3 \cdot 10^7 = 1,34$		$151,85 \cdot 10^6 / 6,9 \cdot 10^7 = -2,20$	
			$80,50 \cdot 10^5 / 15 \times 7,78 \cdot 10^4 = 6,90$		$80,50 \cdot 10^6 / 11,3 \cdot 10^7 = 0,71$		$80,50 \cdot 10^6 / 6,9 \cdot 10^7 = -1,17$	
n=18 ④	C.C.P	-230,78	$230,78 \cdot 10^5 / 18 \times 6,95 \cdot 10^4 = 18,45$		$230,78 \cdot 10^6 / 9,9 \cdot 10^7 = 2,33$		$230,78 \cdot 10^6 / 6,78 \cdot 10^7 = -3,40$	
σ_3		ΔT	-19,68		8,57		-3,68	
		-ΔT	-25,78		7,94		-2,65	
n=6 ⑤	Surcharges	106,04 -408,57	$106,04 \cdot 10^5 / 6 \times 14,67 \cdot 10^4 = -12,05$		$106,04 \cdot 10^6 / 25,87 \cdot 10^7 = -0,41$		$106,04 \cdot 10^6 / 7,44 \cdot 10^7 = 1,43$	
			$408,57 \cdot 10^5 / 6 \times 14,67 \cdot 10^4 = 46,42$		$408,57 \cdot 10^6 / 25,87 \cdot 10^7 = 1,58$		$408,57 \cdot 10^6 / 7,44 \cdot 10^7 = -5,49$	
σ_4		ΔT	-31,73	-37,83	8,16	4,53	-2,25	-1,22
σ_4'		ΔT	26,74	20,64	10,15	9,52	-9,17	-8,14

Section n° 9

Phase	type de sollicitation	Moment (t.m)	σ_b (kg/cm ²)	σ_s (kg/mm ²)	σ_c (kg/mm ²)
n=∞ ①	CP $\begin{cases} 1^{\text{re}} \text{ phase} \\ 2^{\text{ie}} \text{ phase} \end{cases}$ C.C.P	-326,38 -383,69 -504,42		$(-504,42 - 383,69) \cdot 10^6 / 3,4 \cdot 10^7$	$(-504,42 - 383,69) \cdot 10^6 / 5,34 \cdot 10^7$
σ_1			0	26,12 ; 17,52*	-16,63 ; -15,16*
n=18 ②	D. Retour	977,58	$977,58 \cdot 10^5 / 18 \times 6,95 \cdot 10^4$	$977,58 \cdot 10^6 / 9,9 \cdot 10^7 = -9,87$ -8,36*	$977,58 \cdot 10^6 / 6,78 \cdot 10^7 = 14,42$ 14,15*
σ_2			-78,14 ; -67,55*	16,25 ; 9,16*	-2,21 ; -1,01*
n=15 ③	Retrait: 800T R. hypurs ^T + ΔT R. hypurs ^T - ΔT	-220,92 -123,17	$220,92 \cdot 10^5 / 15 \times 7,78 \cdot 10^4 = 18,93$; 16,64* $123,17 \cdot 10^5 / 15 \times 7,78 \cdot 10^4 = 10,55$; 9,28*	$220,92 \cdot 10^6 / 11,3 \cdot 10^7 = 1,96$; 1,68* $123,17 \cdot 10^6 / 11,3 \cdot 10^7 = 1,09$; 0,94*	$220,92 \cdot 10^6 / 6,9 \cdot 10^7 = -3,20$; -3,15* $123,17 \cdot 10^6 / 6,9 \cdot 10^7 = -1,73$; -1,75*
n=18 ④	C.C.P	-467,63	$467,63 \cdot 10^5 / 18 \times 6,95 \cdot 10^4 = 37,38$; 32,31*	$467,63 \cdot 10^6 / 9,9 \cdot 10^7 = 4,72$; 4,00*	$467,63 \cdot 10^6 / 6,78 \cdot 10^7 = -6,90$; -6,77*
σ_3		0T	-3,51 ; -0,28*	17,87 ; 9,78*	-11,28 ; -9,90*
		-0T	-11,89 ; -7,64*	17,00 ; 9,04*	-9,87 ; -8,50*
n=6 ⑤	Surcharges	-657,80	$657,80 \cdot 10^5 / 6 \times 14,67 \cdot 10^4 = 74,73$	$657,80 \cdot 10^6 / 25,87 \cdot 10^7 = 2,54$ =12,97*	$657,80 \cdot 10^6 / 7,44 \cdot 10^7 = -8,84$ =-11,25*
σ_4		0T -0T	—	—	—
σ_4		0T -0T	71,22 ; -0,28* 02,84 ; -7,64*	20,41 ; 22,75* 19,54 ; 22,01*	-20,12 ; -22,51* -18,71 ; -21,10*

Interprétation des résultats obtenus

Au niveau de la section 9, on a observé une contrainte maximale de traction égale à $71,22 \text{ kg/cm}^2$ qui dépasse les 30 bars, cela nous a amené à rajouter une tôle additionnelle à ce niveau et on a refais les vérifications en supposant que l'effort à ce niveau est repris seulement par le P.R.S ($n = \infty$), les valeurs en astérisque (*) dans le tableau 9 sont les valeurs trouvées après addition d'une tôle de $580 \times 20 \text{ mm}^2$

1. Dalle en béton armé:

Les contraintes de compression par flexion sont toutes inférieures à la contrainte admissible les contraintes de traction à vide sont nulles.

En charge, on admet des tractions dans le béton qui ne doivent pas dépasser la limite fixer dans le C.P.S qui est de 30 bars. néanmoins, le béton sera alors supposé fissuré, ce qui implique une vérification de la section tendue, en ne prenant en compte que l'acier pour section résistante.

Section 7: En charge nous avons des contraintes de traction dans le béton de 416 kg/cm^2 .

Nous vérifierons la semelle supérieure et la semelle inférieure pour $n = \infty$

$$\bar{w}_s = 3,4 \cdot 10^7 \text{ mm}^3 \quad \text{Pour } n = \infty \quad \sigma'_4 (\Delta T) = 329,46 \cdot 10^6 / 3,4 \cdot 10^7 + 1,28 = 10,97 \text{ kg/cm}^2$$

$$w_i = 5,34 \cdot 10^7 \text{ mm}^3 \quad \text{Pour } n = \infty \quad \sigma'_4 (-\Delta T) = 329,46 \cdot 10^6 / 5,34 \cdot 10^7 + 0,95 = 10,64 \text{ kg/cm}^2$$

* Pour la semelle inférieure:

$$\sigma'_4 (\Delta T) = -329,46 \cdot 10^6 / 5,34 \cdot 10^7 + 2,24 = -3,93 \text{ kg/cm}^2$$

$$\sigma'_4 (-\Delta T) = -329,46 \cdot 10^6 / 5,34 \cdot 10^7 + 2,77 = -3,40 \text{ kg/cm}^2$$

Section 8: En charge on a une contrainte de traction de $26,74 \text{ kg/cm}^2$ et de $20,64 \text{ kg/cm}^2$.

Nous vérifierons la semelle supérieure et inférieure pour $n = \infty$.

$$\sigma'_4 (\sigma T) = 408,57 \cdot 10^6 / 3,4 \cdot 10^7 + 8,57 = 20,59 \text{ kg/cm}^2$$

semelle supérieure.

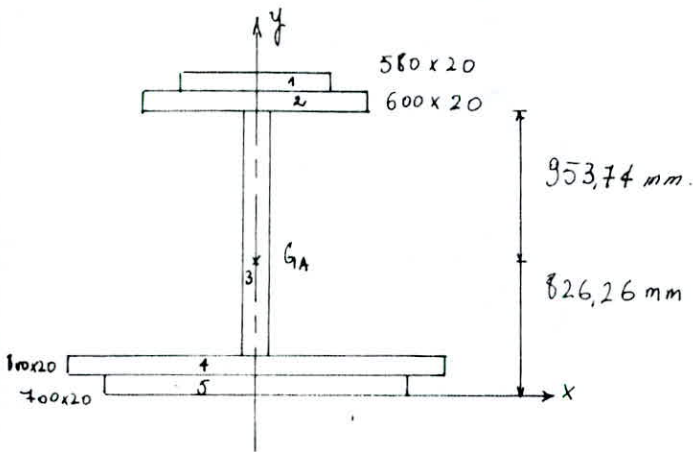
$$\sigma'_4 (-\sigma T) = 408,57 \cdot 10^6 / 3,4 \cdot 10^7 + 7,94 = 19,96 \text{ kg/cm}^2$$

$$\sigma'_4 (\sigma T) = -408,57 \cdot 10^6 / 5,34 \cdot 10^7 - 3,68 = -11,33 \text{ kg/cm}^2$$

semelle inférieure.

$$\sigma'_4 (-\sigma T) = -408,57 \cdot 10^6 / 5,34 \cdot 10^7 - 2,65 = -10,30 \text{ kg/cm}^2$$

Caractéristiques de la section au niveau de l'appui 9:

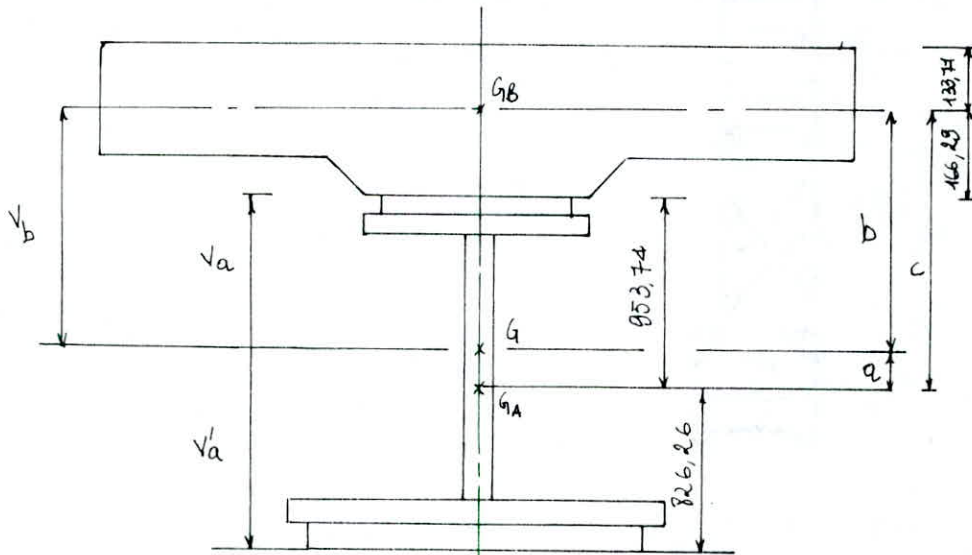


Section	$S_i \text{ (mm}^2\text{)}$	$y_i \text{ (mm)}$	$y_i S_i \text{ (mm}^3\text{)}$	$d_i \text{ (mm)}$	$I_{Si} / G_{Si} \text{ (mm}^4\text{)}$	$I_{Si} / G_A \text{ (mm}^4\text{)}$
1	11600	1770	$20,5 \cdot 10^6$	943,74	$3,87 \cdot 10^5$	$1,03 \cdot 10^{10}$
2	12000	1750	$21 \cdot 10^6$	923,74	$4 \cdot 10^5$	$1,02 \cdot 10^{10}$
3	34000	830	$30,26 \cdot 10^6$	63,74	$8,2 \cdot 10^9$	$8,34 \cdot 10^9$
4	16000	30	$0,48 \cdot 10^6$	736,26	$5,33 \cdot 10^5$	$1,02 \cdot 10^{10}$
5	14000	10	$0,14 \cdot 10^6$	816,26	$4,67 \cdot 10^5$	$9,33 \cdot 10^9$
Σ	87600	—	$72,38 \cdot 10^6$	—	—	$4,84 \cdot 10^{10}$

$$y_{G_A} = \frac{\sum y_i S_i}{\sum S_i} = \frac{72,38 \cdot 10^6}{87600} = 826,26 \text{ mm.}$$

$$I_{G_A} = 4,84 \cdot 10^{10} \text{ mm}^4.$$

Caractéristiques géométriques de la section mixte.



$$V_a = b \cdot a \quad ; \quad V_a' = a + 826,26 \quad ; \quad V_b = b + 133,71 \quad ; \quad a + b = c$$

$$a = \frac{S_b \cdot c}{n \cdot S} \quad ; \quad b = \frac{S_a \cdot c}{S} \quad ; \quad c = 953,74 + 166,29 = 1120,03 \text{ mm.}$$

$$S_a = 87600 \text{ mm}^2 \quad ; \quad S_b = 557500 \text{ mm}^2 \quad ; \quad S = S_a + \frac{S_b}{n} = 876 \cdot 10^2 + \frac{5575 \cdot 10^2}{n}$$

$$I = 494 \cdot 10^{10} + \frac{3,424 \cdot 10^9}{n} + a \cdot b \cdot S$$

n	c (mm)	a (mm)	b (mm)	S (mm ²)	I (mm ⁴)	Y _a (mm)	Y _a ' (mm)	Y _b (mm)	W _a (mm ³)	W _a ' (mm ³)	W _b (mm ³)
8	1120,03	0	1120,03	87600	989,10 ¹⁰	953,74	826,26	—	507,10 ³	506,10 ³	—
18	1120,03	292,58	827,47	110572,22	770,10 ¹⁰	661,21	1118,02	961,48	116810 ³	691,10 ³	804,10 ³
15	1120,03	333,65	786,38	124766,67	814,10 ¹⁰	620,12	115994	920,09	1313,10 ³	702,10 ³	885,10 ³
6	1120,03	576,57	543,52	180566,67	106,10 ¹¹	377,26	1402,77	677,23	28,10 ¹⁰	756,10 ³	1565,10 ³

Etude au voilement

Une plaque mince et de grande surface telle que l'âme de la poutre d'un pont mixte doit présenter une vérification vis à vis du voilement.

Principe de calcul :

cette vérification est basée sur la méthode des "raidisseurs rigides" qui suppose que chaque panneau est bordé par des lignes indéformables, ces lignes sont constituées dans notre cas par les semelles des poutres principales et les montants d'entretoises.

Les panneaux sont supposés simplement appuyés sur leurs bords. La stabilité sera justifiée par l'inégalité suivante: $(\sigma_c \frac{b}{b^*})^2 + (\frac{\tau}{\tau^*})^2 \leq 1,8$ Art 18.3 de l'E.V du C.P.C.

σ_c : contrainte de compression dans l'acier

évaluée à mi-distance entre les raidisseurs principaux (les entretoises).

τ : contrainte de cisaillement dans l'acier évaluée à mi-distance entre les entretoises (raidisseurs principaux).

σ^* : contrainte normale critique du panneau.

son calcul dépend de la position des raidisseurs ($d = \frac{a}{b}$), de la variation des contraintes normales.

$$\sigma^* = \sigma_c \cdot k_\sigma \quad \sigma_c: \text{contrainte critique d'Euler} = \frac{\pi^2 E}{12(1-\nu^2)} \left(\frac{c}{b}\right)^2$$

$$k_\sigma \text{ dépend de } \psi = \frac{\sigma_1}{\sigma_3} \text{ et de } d = \frac{a}{b} \quad b: \text{ hauteur du panneau}$$

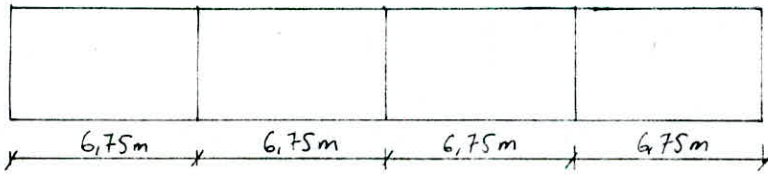
a : distance entre deux entretoises consécutives.

τ^* : contrainte critique de cisaillement du voilement.

son calcul dépend seulement de la position des raidisseurs ($d = \frac{a}{b}$).

$$\tau^* = \sigma_c \cdot k_\tau \quad k_\tau \text{ dépend de } d.$$

Calcul au voilement



$$\sigma_c = \frac{\pi^2 E}{12(1 - \nu^2)} \left(\frac{e}{b}\right)^2$$

$$b = 1,7m$$

$$e = 2cm$$

$$\sigma_c = 2,63 \text{ kg/mm}^2$$

$$\nu = 0,3$$

$$\alpha = \frac{a}{b} = \frac{6,75}{1,7} = 3,97$$

Panneaux	1	2	3	4
τ (kg/mm ²)	4,35	2,10	5,54	7,40
σ_c (kg/mm ²)	2,63	2,63	2,63	2,63
$\alpha = \frac{a}{b}$	3,97	3,97	3,97	3,97
k_τ	5,59	5,59	5,59	5,59
$\tau^* = \sigma_c k_\tau$	14,70	14,70	14,70	14,70
τ/τ^*	0,29	0,14	0,36	0,50
$(\tau/\tau^*)^2$	0,08	0,02	0,13	0,25
σ_s (kg/mm ²)	-13,54	-6,82	-14,06	10,15
σ_i (kg/mm ²)	15,11	22,29	19,27	-9,17
$\psi = \sigma_i/\sigma_s$	-1,12	-1,33	-1,60	-0,90
S_σ	1,00	1,00	1,00	1,04
k_σ	23,90	23,90	23,90	21,37
$\sigma^* = \sigma_c k_\sigma$	62,86	62,86	62,86	56,20
$\sigma_{\text{compression}}/\sigma^*$	0,22	0,27	0,19	0,16
$(S_\sigma \frac{\sigma_{\text{comp}}}{\sigma^*})^2$	0,048	0,073	0,036	0,035
$(S_\sigma \frac{\sigma_{\text{comp}}}{\sigma^*})^2 + (\frac{\tau}{\tau^*})^2$	0,13	0,09	0,17	0,28

Conclusion: Le voilement est vérifié pour tous les panneaux considérés.

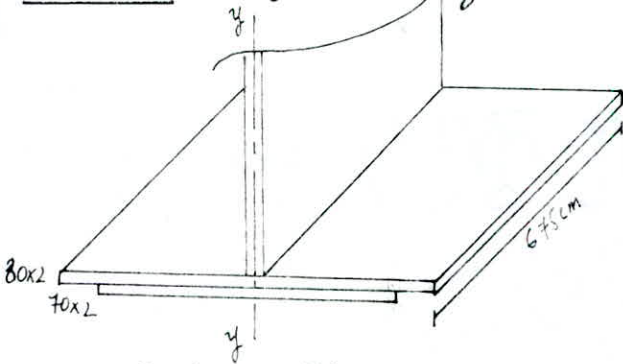
-d-

Verification de la semelle inferieure au deversement

La verification se fera selon l'article 16.23 du titre V du C.P.C.

On choisira le porteur où se developpe les contraintes de compression les plus grandes pour verifier le flambement local de notre semelle inferieure.

Section 9 : $\sigma_c = -15,16 \text{ kg/mm}^2$.



$$I_{yy} = (70^3 \times 2 + 80^3 \times 2) / 12 = 142500 \text{ cm}^4$$

$$S = 70 \times 2 + 80 \times 2 = 300 \text{ cm}^2$$

$$i = \sqrt{\frac{I}{S}} = 21,79 \text{ cm}$$

$$\lambda = \frac{l}{i} \quad l = 675 \text{ cm} \Rightarrow \lambda = 30,98 > 20 \text{ (Pièce longue).}$$

$$\sigma^* = \frac{\lambda^2 E}{\lambda^2} = 215,95 \text{ kg/mm}^2 > 0,75 \times 24 = 18 \text{ kg/mm}^2$$

$$\bar{\sigma}_m = 24 \left(1 - 0,375 \frac{24}{215,95} \right) = 23 \text{ kg/mm}^2$$

$$\sigma_m = 15,16 \text{ kg/mm}^2 \text{ (contrainte due a CP (2^{ème} phase) + oss metalurgique + D. Aller).}$$

$$\sigma_m < \bar{\sigma}_m \quad (15,16 \text{ kg/mm}^2 < 23 \text{ kg/mm}^2) \quad \text{le deversement est verifie.}$$

- 22 -

Divers vérifications

Vérification de l'âme au cisaillement:

Cette vérification se fera conformément à l'article 14.1 de l'Art. V du C.P.C. L'effort tranchant est supposé repris par l'âme de la poutre et comme l'âme a une hauteur constante le long de notre ouvrage ainsi que l'épaisseur, notre vérification se fera seulement pour la section où se développe le plus grand effort tranchant.

Contrainte de cisaillement maximale:

Au niveau de la section 9 (section d'appui)

$$T_{max} = \sum T_i = -319,27 \text{ t} \quad (\text{CP (2^{ème} phase)} + \text{D. Aller} + \text{D. Retour} + \text{c.c.P.} + \text{retent} + \text{DT} + \text{Sur}^{(9)})$$

La hauteur de l'âme au niveau de l'appui est $b = 1700 \text{ mm}$, l'épaisseur $e = 20 \text{ mm}$.

$$\tau_{max} = \frac{T_{max}}{b \times e} = \frac{319,27 \cdot 10^3}{1700 \times 20} = 9,39 \text{ kg/mm}^2$$

$$\bar{\tau} = 0,66e = 0,6 \times 24 = 14,4 \text{ kg/mm}^2$$

on a bien $\tau_{max} = 9,39 \text{ kg/mm}^2 < \bar{\tau} = 14,4 \text{ kg/mm}^2$.

le cisaillement maximal au niveau de la section la plus sollicitée est vérifié.

Vérification de la condition $\sigma^2 + 3\tau^2 \leq \sigma_e^2$ Art. 14.2 de l'Art. V du C.P.C

Pour un état de contrainte qui ne se réduit pas à une contrainte normale ou une contrainte de cisaillement. Seule en un point il y'a lieu de vérifier:

$$\sigma_x^2 + \sigma_y^2 + \sigma_z^2 - \sigma_x \sigma_y - \sigma_y \sigma_z - \sigma_z \sigma_x + 3\tau_x^2 + 3\tau_y^2 + 3\tau_z^2 \leq (\sigma_e)^2$$

Cas d'une flexion simple: $\sigma^2 + 3\tau^2 \leq (\sigma_e)^2$.

section	0	1	2	3	4	5	6	7	8	9
σ (kg/mm ²)	8,97	13,54	16,14	16,82	15,37	14,06	6,93	2,19	9,17	22,51
τ (kg/mm ²)	6,17	4,72	3,38	2,10	3,00	4,20	5,45	6,74	8,06	9,39
$(\sigma^2 + 3\tau^2)^{1/2}$	13,95	15,82	17,17	17,21	16,23	14,08	11,71	11,95	16,70	27,77

N.B: Pour les poutres flechées à âme pleine, on peut tenir compte de la mise en flexion de des différentes fibres de la poutre (commentaire de l'art 14.2).

Calcul des déformations de la poutre.

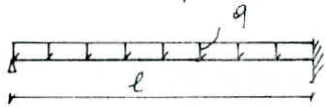
Pour assurer l'esthétique du pont et le confort des usagers ainsi que pour des raisons de rigidité (risque d'oscillation), les déformations doivent être les plus faibles possibles. On calculera les flèches maximales sous l'effet des différentes charges et on comparera la flèche totale à la flèche admissible donnée par la norme N.G.E.F N°1, si cette flèche dépasse cette flèche admissible, on donnera une autre flèche aux poutres lors de l'usinage.

1. Flèche:

$$c_p: 4526,80 \text{ kg/ml.}$$

$$c.c.p: 5481,00 \text{ kg/ml.}$$

On n'étudiera qu'une seule travée du fait de la symétrie. Cette travée sera considérée comme une poutre simplement appuyée à une extrémité et encastée à l'autre.



La flèche maximale est obtenue pour $x = 0,421 \cdot l = 11,37 \text{ m.}$

$$y_{\max} = \frac{q l^4}{185 \cdot EI}$$

$$* \text{ C.P : } y_{\max} = \frac{45,268 \times 2700^4}{185 \times 2,1 \cdot 10^6 \times 3,648 \cdot 10^6} = 4,70 \text{ cm.} \quad n = \infty, \quad I = 3,648 \cdot 10^6 \text{ cm}^4$$

$$* \text{ C.C.P : } y_{\max} = \frac{54,81 \times 2700^4}{185 \times 2,1 \cdot 10^6 \times 7,07 \cdot 10^6} = 1,06 \text{ cm.} \quad n = 18, \quad I = 7,07 \cdot 10^6 \text{ cm}^4$$

$$\text{d'où } y_{\max} = \sum y_i = 4,70 + 1,06 = 5,76 \text{ cm.}$$

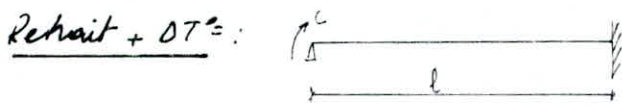
Surcharges:

$$* \text{ surcharges trottoir : } q = 400 \times 0,9 = 360 \text{ kg/ml ; } n = 6, \quad I = 19,17 \cdot 10^6 \text{ cm}^4$$

$$y_{\max} = \frac{3,6 \times 2700^4}{185 \times 2,1 \cdot 10^6 \times 19,17 \cdot 10^6} = 0,048 \text{ cm.}$$

$$* \text{ Convoi U.I.C : au niveau de la section } x = 11,37 \text{ m, on a } M = 403,97 \text{ t.m}$$

$$y = \frac{Ml^2}{8EI} = \frac{403,97 \cdot 10^5 \times 2700^2}{8 \times 2,1 \cdot 10^6 \times 10,17 \cdot 10^6} = 1,72 \text{ cm.}$$



$$n=15, \quad I = 7,53 \cdot 10^6 \text{ cm}^4.$$

$$c = 441,84 \text{ t.m.}, \quad l = 27,00 \text{ m}$$

$$y_{\max} = \frac{cl^2}{32EI_m} = \frac{441,84 \cdot 10^5 \times 2700^2}{32 \times 2,1 \cdot 10^6 \times 7,53 \cdot 10^6} = 0,64 \text{ cm.}$$

Flèche admissible: (NGEF N°1)

$$\bar{f}/l \leq 0,8 \text{ min} \left(\frac{0,8l}{10000}, \frac{1}{500} \right) \quad l: \text{longueur de la poutre.}$$

$$\frac{0,8 \times 27}{10000} = 2,16 \cdot 10^{-3}; \quad \frac{1}{500} = 2 \cdot 10^{-3} \quad \text{d'où } \bar{f}/l \leq 2 \cdot 10^{-3} \times 0,8$$

$$\bar{f} \leq 27 \cdot 0,8 \cdot 2 \cdot 10^{-3} = 4,32 \text{ cm.}$$

Flèche totale: (Σy_{\max})

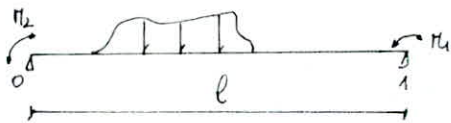
$$y_{\text{Totale}} = 2,76 + 0,048 + 1,72 + 0,64 = 5,168 \text{ cm} \approx 5,17 \text{ cm.}$$

Conclusion: $y_{\text{Totale}} = 5,17 \text{ cm} > \bar{f} = 4,32 \text{ cm}$, donc on prévoit une contre flèche:

$$f = 0,66 \cdot y_{\text{Totale}} = 0,66 \times 5,17 = 3,41 \text{ cm} \quad \text{contre flèche} = 3,41 \text{ cm.}$$

2. Rotation:

Les rotations dans une travée quelconque pour une poutre sont données par:



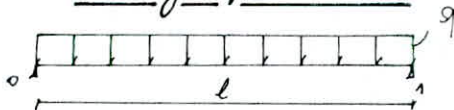
$$\theta_0 = \theta_0^* - \frac{l}{6EI} (2M_0 + M_1)$$

θ_0^* et θ_1^* rotations des appuis 0 et 1

$$\theta_1 = \theta_1^* + \frac{l}{6EI} (M_0 + 2M_1)$$

d'une poutre isostatique.

a/ charges permanentes:



$$\theta_0^* = -\frac{ql^3}{24EI}; \quad \theta_1^* = -\theta_0^*$$

* c.p.: $q = 452,90 \text{ kg/ml}$; $n = \infty$; $I = 3,648 \cdot 10^6 \text{ cm}^4$ appui 0.

$I = 4,84 \cdot 10^6 \text{ cm}^4$ appui 1.

$$\theta_0^* = \frac{-45,268 \times 2700^3}{24 \times 2,1 \cdot 10^6 \times 3,648 \cdot 10^6} = -4,85 \cdot 10^{-3} \text{ rad}$$

$$\theta_0 = \theta_0^* - \frac{l}{6EI} M_1 = -4,85 \cdot 10^{-3} + \frac{2700 \times 45,268 \times 2700^2}{48 \times 2,1 \cdot 10^6 \times 3,648 \cdot 10^6} = -4,85 \cdot 10^{-3} + 2,42 \cdot 10^{-3}$$

$$\theta_0 = -2,43 \cdot 10^{-3} \text{ rad.}$$

$$\theta_1 = \frac{ql^3}{24EI} - \frac{ql^3}{24EI} = 0 \text{ rad.}$$

* c.c.P : $q = 54,81 \text{ kg/cm}$; $n = 18$; $I = 7,07 \cdot 10^6 \text{ cm}^4$ appui 0

$I = 7,73 \cdot 10^6 \text{ cm}^4$ appui 1

$$\theta_0 = \frac{-ql^3}{24EI} + \frac{ql^3}{48EI} = -\frac{ql^3}{48EI}$$

$$\theta_0 = -\frac{54,81 \times 2700^3}{48 \times 2,1 \cdot 10^6 \times 7,07 \cdot 10^6} = -1,51 \cdot 10^{-3} \text{ rad.}$$

$$\theta_1 = 0 \text{ rad.}$$

b/ Denivellement:

$$M_1 = M_1 \text{ aller} + M_1 \text{ retour} = -504,42 + 977,58 = 473,16 \text{ t.m}$$

$n = 18$; $I = 7,07 \cdot 10^6 \text{ cm}^4$ appui 0

$I = 7,73 \cdot 10^6 \text{ cm}^4$ appui 1

$$\theta_0^* = \theta_1^* = 0$$

$$\theta_0 = -\frac{M_1}{6EI} \times l = -\frac{473,16 \cdot 10^5 \times 2700}{6 \times 2,1 \cdot 10^6 \times 7,07 \cdot 10^6}$$

$$\theta_0 = -1,43 \cdot 10^{-3} \text{ rad.}$$

$$\theta_1 = \frac{M_1}{3EI} \times l = \frac{473,16 \cdot 10^5 \times 2700}{3 \times 2,1 \cdot 10^6 \times 7,73 \cdot 10^6}$$

$$\theta_1 = 2,62 \cdot 10^{-3} \text{ rad.}$$

c/ Retrait + ΔT° :

$M_0 = 441,84 \text{ t.m}$; $\theta_0^* = \theta_1^* = 0$; $n = 15$; $I = 8,14 \cdot 10^6 \text{ cm}^4$ appui 1.

$M_1 = -220,92 \text{ t.m}$; $I = 7,53 \cdot 10^6 \text{ cm}^4$ appui 0.

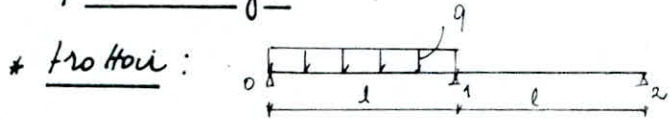
$$\theta_0 = -\frac{l}{6EI} (2M_0 + M_1) = -\frac{2700 (2 \times 441,84 - 220,92) \cdot 10^5}{6 \times 2,1 \cdot 10^6 \times 7,53 \cdot 10^6}$$

$$\theta_0 = -1,83 \cdot 10^{-3} \text{ rad.}$$

$$\theta_1 = \frac{l}{6EI} (M_0 + 2M_1) = \frac{2700}{6 \times 2,1 \cdot 10^6 \times 8,14 \cdot 10^6} (441,84 - 2 \times 220,92) \cdot 10^5$$

$$\theta_1 = 0 \text{ rad.}$$

d/ Surcharges:



$$q = 400 \times 0,90 = 360 \text{ kg/ml. ; } n = 6 ; I = 10,17 \cdot 10^6 \text{ cm}^4 \text{ appui 0.}$$

$$I = 10,60 \cdot 10^6 \text{ cm}^4 \text{ appui 1.}$$

$$\theta_0^* = -\frac{ql^3}{24EI} = -\frac{3,6 \times 2700^3}{24 \times 2,1 \cdot 10^6 \times 10,17 \cdot 10^6}$$

$$\theta_0^* = -1,382 \cdot 10^{-4} \text{ rad.}$$

$$M_1 = -\frac{ql^2}{16} = -\frac{3,6 \times 2700^2}{16} = -1640250 \text{ kg.cm ; } M_0 = 0.$$

$$\theta_0 = \theta_0^* - \frac{l \times M_1}{6EI} = -1,38 \cdot 10^{-4} + \frac{2700 \times 1640250}{6 \times 2,1 \cdot 10^6 \times 10,17 \cdot 10^6}$$

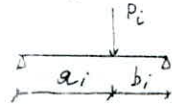
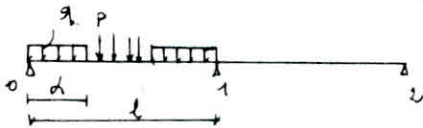
$$\theta_0 = -1,03 \cdot 10^{-4} \text{ rad.}$$

$$\theta_1 = \theta_1^* + \frac{l M_1}{3EI} = 1,38 \cdot 10^{-4} - \frac{2700 \times 1640250}{3 \times 2,1 \cdot 10^6 \times 10,60 \cdot 10^6}$$

$$\theta_1 = 7,17 \cdot 10^{-5} \text{ rad.}$$

* Convoy U.I.C

$$M_1 = -425,76 \text{ t.m (non pondérée, non majorée) ; } n = 6 ; I = 10,17 \cdot 10^6 \text{ cm}^4 \text{ appui 0.}$$



$$I = 10,60 \cdot 10^6 \text{ cm}^4 \text{ appui 1.}$$

$$\theta_0 = -\theta_1^* = - \left\{ \frac{q\alpha^2 (3l - 2\alpha)}{12EI} + \frac{P \sum_{i=1}^n a_i b_i (l + b_i)}{6EI \cdot l} \right\}$$

$$\sum_{i=1}^n a_i b_i (l + b_i) = 11,1 \times 15,9 (27 + 15,9) + 12,7 \times 14,3 (27 + 14,3) + 14,3 \times 12,7 (27 + 12,7) + 15,9 \times 11,1 (27 + 11,1) = 28863,243 \text{ m.}$$

$$P \sum a_i b_i (l + b_i) = 25 \times 28863,243 = 721581,08 \text{ t.m.}$$

$$\theta_0^* = - \left\{ \frac{8 \times 19,3 \cdot 10^4 \times 10 \times (3 \times 2700 - 2 \times 19,6 \cdot 10^2)}{12 \times 2,1 \cdot 10^6 \times 10,17 \cdot 10^6} + \frac{721581,08 \cdot 10^5}{6 \times 2,1 \cdot 10^6 \times 10,17 \cdot 10^6 \times 2700} \right\}$$

$$\theta_0^* = -2,00 \cdot 10^{-3} \text{ rad.}$$

$$\theta_0 = \theta_0^* - l \frac{M_1}{6EI} = -2,00 \cdot 10^{-3} - 2700 \times \frac{(-425,76 \cdot 10^5)}{6 \times 2,1 \cdot 10^6 \times 10,17 \cdot 10^6}$$

$$\theta_0 = -2,06 \cdot 10^{-4} \text{ rad.}$$

$$\theta_1 = \theta_1^* + l \frac{M_1}{3EI} = 2,00 \cdot 10^{-3} - 2700 \times \frac{425,76 \cdot 10^5}{3 \times 2,1 \cdot 10^6 \times 10,17 \cdot 10^6}$$

$$\theta_1 = 2,79 \cdot 10^{-4} \text{ rad.}$$

tableau récapitulatif:

chargement	$\theta_0 (10^{-3} \text{ rad})$	$\theta_1 (10^{-3} \text{ rad})$
C.P	-2,43	0
C.C.P	-1,51	0
Dénivellation	-1,43	2,62
Rétrait + DT ²	-1,89	0
frottement	-0,103	0,072
Convoi U.I.C	-0,21	0,28



Jointts boulonnés

Vu les problèmes rencontrés pour la manipulation des pièces de très grandes dimensions soit sur chantier, soit lors de leur transport ou de leur fabrication, il est plus pratique de prévoir des poutres de faibles portées (longueur $\leq 25m$). Ces poutres seront assemblées en dehors du niveau des entretoises et des appuis.

Notre choix s'est porté sur un assemblage au niveau de la section B, donc nous aurons à assembler trois (03) portions de poutres préfabriquées de longueur chacune 18m.

Au niveau de la section B :

semelle supérieure	$\Omega_s = 20 \times 600 = 12000 \text{ mm}^2$	$G_s = 1,70 \text{ kg/mm}^2$
semelle inférieure	$\Omega_i = 20 \times 800 + 20 \times 700 = 30000 \text{ mm}^2$	$G_i = 14,05 \text{ kg/mm}^2$
âme	$\Omega_w = 20 \times 1700 = 34000 \text{ mm}^2$	$T = 5,45 \text{ kg/mm}^2$

Boulons :

Nous utiliserons des boulons à haute résistance de diamètre $\phi = 20 \text{ mm}$.

Leur limite d'élasticité est $G_e = 90 \text{ kg/mm}^2$.

Calcul de l'effort résistant du boulon : Art 29.11 Aite V. C.P.C.

$$F_T = 0,8 \cdot \mu \cdot G_e \cdot \Omega$$

μ : coefficient de frottement des surfaces en contact.

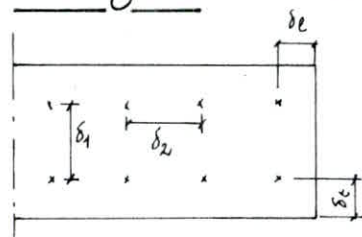
$\mu = 0,30$ (brossage à la brosse métallique).

G_e : contrainte limite élastique du vis, $G_e = 90 \text{ kg/mm}^2$.

Ω : section résistante de la vis $\phi = 20 \text{ mm} \rightarrow \Omega = 245 \text{ mm}^2$.

$$F_T = (90 \times 0,30 \times 0,90 \times 245) \times 2 = 10584 \text{ kg} \quad (\text{on a 2 plans de frottement par boulon}).$$

Couvre joint : Art 35.2 Aite V. C.P.C.



$$\delta_1 \approx \delta_2 = \delta$$

$$3\delta \leq \delta_e \leq 5\delta$$

$$\delta = \phi + 2 \text{ mm} = 22 \text{ mm}$$

$$1,5\delta \leq \delta_t \leq 2,5\delta$$

$$2\delta \leq \delta_e \leq 2,5\delta$$

Verification de la semelle supérieure: Art 13.12 titre V, C.P.C

F_3 : effort au niveau de la semelle supérieure.

$$F_3 = b_3 \times \sigma_3 = 7,70 \times 12000 = 92400 \text{ kg.}$$

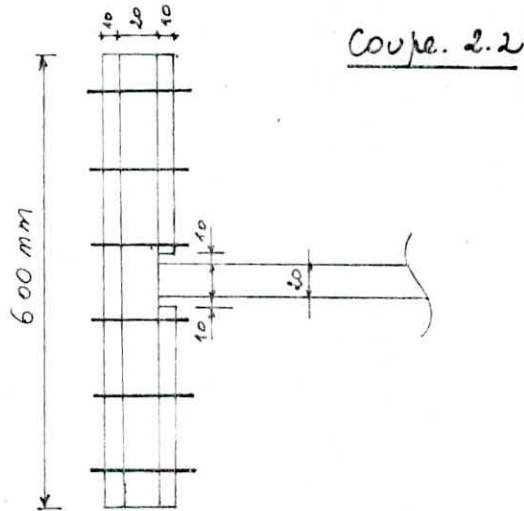
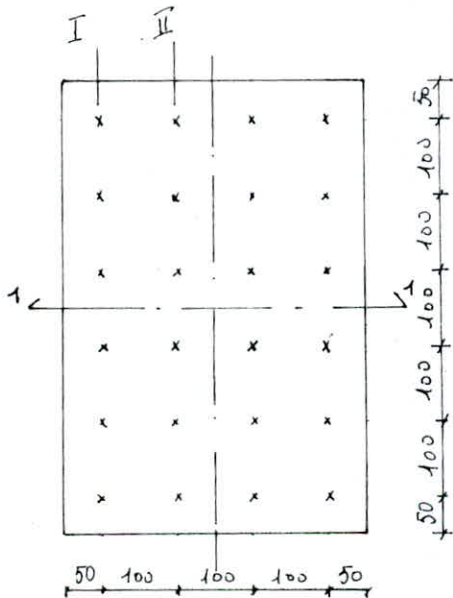
n : nombre de boulons nécessaire au niveau de cette semelle pour reprendre l'effort F_3 .

$$n \geq \frac{F_3}{F_r} = \frac{92400}{10584} = 8,73 \quad \text{on choisira 12 boulons.}$$

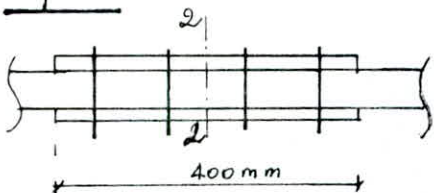
Effort par boulon:

$$F_b = \frac{92400}{12} = 7700 \text{ kg} < F_r = 10584 \text{ kg.}$$

Disposition: Pour des raisons de commodité on prend généralement la longueur du couvre joint égale à celle de la semelle destinée à recevoir le couvre joint.



Coupe 1.1



Verifications des contraintes: Art 13.12 du titre V du C.P.C

les contraintes normales de compression seront calculées en section brute sous $F_A + F_B$

les contraintes normales de traction et les contraintes de cisaillement seront calculées en:

* Section brute sous $F_A + F_B$

* Section nette sous $F_A + 96 F_B$

F_A : partie de l'effort transmise par les boulons situés avant la section considérée.

F_B : partie de l'effort transmise par les boulons situés au droit de la section considérée.

Pièces assemblées : $S_b = 600 \times 20 = 12000 \text{ mm}^2$.

Couvre joint supérieur : $S_b = 600 \times 10 = 6000 \text{ mm}^2$.

Couvre joint inférieur : $S_b = (600 - 40) \cdot 10 = 5600 \text{ mm}^2$.

Section I : $F_3 = 92400 \text{ kg}$

Pièce assemblée :

$$F_A (\text{kg}) = \frac{6F_3}{12}$$

$$F_B (\text{kg}) = \frac{6F_3}{12}$$

$$0,6F_B = \frac{3,6F_3}{12}$$

$$F_A + F_B = F_3$$

$$F_A + 0,6F_B = 9,6F_3/12$$

$$S_b = 12000 \text{ mm}^2$$

$$S_n = S_b - n.d.e = 9480 \text{ mm}^2$$

$$\bar{\sigma} = 7,81 \text{ kg/mm}^2$$

Couvre joint sup^r :

$$F_A = 0 \text{ kg}$$

$$F_B = 6F_3/12$$

$$0,6F_B = 3,6F_3/12$$

$$\frac{F_A + F_B}{2} = 6F_3/24$$

$$\frac{F_A + 0,6F_B}{2} = 3,6F_3/24$$

$$S_b = 6000 \text{ mm}^2$$

$$S_n = 4740 \text{ mm}^2$$

$$\bar{\sigma} = 3,85 \text{ kg/mm}^2$$

Couvre joint inf^r :

$$F_A = 0 \text{ kg}$$

$$F_B = 6F_3/12$$

$$0,6F_B = 3,6F_3/12$$

$$\frac{F_A + F_B}{2} = 6F_3/24$$

$$\frac{F_A + 0,6F_B}{2} = 3,6F_3/24$$

$$S_b = 5600 \text{ mm}^2$$

$$S_n = 4340 \text{ mm}^2$$

$$\bar{\sigma} = 4,13 \text{ kg/mm}^2$$

Section II :

Pièce assemblée :

$$F_A (\text{kg}) = 0$$

$$F_B = 6F_3/12$$

$$0,6F_B = 3,6F_3/12$$

$$F_A + F_B = 6F_3/12$$

$$F_A + 0,6F_B = 3,6F_3/12$$

$$S_b = 12000 \text{ mm}^2$$

$$S_n = 9480 \text{ mm}^2$$

$$\bar{\sigma} = 3,85 \text{ kg/mm}^2$$

Couvre joint sup^r :

$$F_A = 4F_3/12 (\text{kg})$$

$$F_B = 6F_3/12$$

$$0,6F_B = 3,6F_3/12$$

$$\frac{F_A + F_B}{2} = 10F_3/24$$

$$\frac{F_A + 0,6F_B}{2} = 7,6F_3/24$$

$$S_b = 6000 \text{ mm}^2$$

$$S_n = 4740 \text{ mm}^2$$

$$\bar{\sigma} = 6,42 \text{ kg/mm}^2$$

Couvre joint inf^r :

$$F_A = 4F_3/12 (\text{kg})$$

$$F_B = 6F_3/12$$

$$0,6F_B = 3,6F_3/12$$

$$\frac{F_A + F_B}{2} = 10F_3/24$$

$$\frac{F_A + 0,6F_B}{2} = 7,6F_3/24$$

$$S_b = 5600 \text{ mm}^2$$

$$S_n = 4340 \text{ mm}^2$$

$$\bar{\sigma} = 6,88 \text{ kg/mm}^2$$

Contrainte dans le couvre joint supérieur: $\sigma = \frac{F_s}{2 S_b} = \frac{92400}{2 \times 6000} = 7,7 \text{ kg/mm}^2 < 22 \text{ kg/mm}^2$

Contrainte dans le couvre joint inférieur: $\sigma = \frac{F_s}{2 S_b} = \frac{92400}{2 \times 5600} = 8,25 \text{ kg/mm}^2 < 22 \text{ kg/mm}^2$

Conclusion: la pièce assemblée, le couvre joint supérieur et inférieur sont vérifiés.

Vérification de la semelle inférieure: Art 13.12 h.t.e.V du C.P.C

$F_r = (0,80 \times 0,30 \times 0,90 \times 245) \times 4 = 21168 \text{ kg}$ (on a 4 plans de frottement).
par boulon.

F_i : effort au niveau de la semelle inférieure.

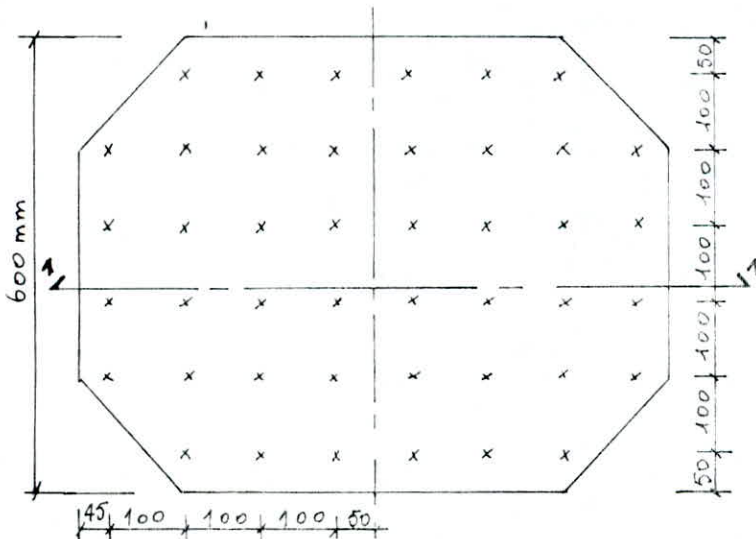
$F_i = \sigma_i \cdot S_i = 14,09 \times 30000 = 422700 \text{ kg}$.

$n \geq \frac{F_i}{F_r} = \frac{422700}{21168} = 19,97$ on choisit $n = 22$ boulons.

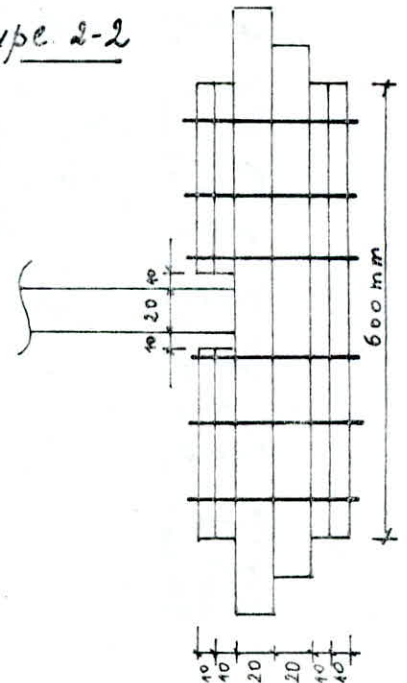
Effort par boulon:

$F_b = \frac{422700}{22} = 19213,64 \text{ kg} < F_r = 21168 \text{ kg}$.

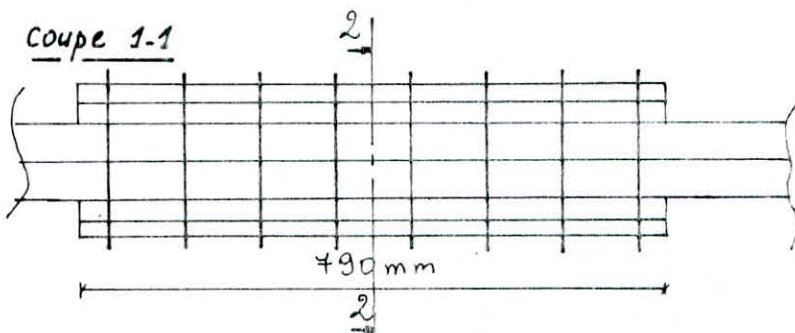
Disposition:



Coupe 2-2



Coupe 1-1



Vérification des contraintes:

Pièces assemblées: $S_b = (700 + 800) \times 20 = 30\,000 \text{ mm}^2$.

Couvre joint supérieur: $S_b = (600 - 40) \times 20 = 11\,200 \text{ mm}^2$.

Couvre joint inférieur: $S_b = 600 \times 20 = 12\,000 \text{ mm}^2$.

* les résultats obtenus ont été résumés dans le tableau suivant:

	Section Effort	I	II	III	IV
Pièces assemblées:	F_A	$18F_i/22$	$12F_i/22$	$6F_i/22$	0
	F_B	$4F_i/22$	$6F_i/22$	$6F_i/22$	$6F_i/22$
	$0,6F_B$	$2,4F_i/22$	$3,6F_i/22$	$3,6F_i/22$	$3,6F_i/22$
	$F_A + F_B$	F_i	$18F_i/22$	$12F_i/22$	$6F_i/22$
	$F_A + 0,6F_B$	$20,4F_i/22$	$15,6F_i/22$	$9,6F_i/22$	$3,6F_i/22$
	S_b	30 000	30 000	30 000	30 000
	S_n	26640	24960	24960	24960
	σ	14,7	12,01	7,69	2,77
Couvre joint supérieur	F_A	0	$4F_i/22$	$10F_i/22$	$16F_i/22$
	F_B	$4F_i/22$	$6F_i/22$	$6F_i/22$	$6F_i/22$
	$\frac{F_A + F_B}{2}$	$\frac{4F_i}{22}$	$5F_i/22$	$8F_i/22$	$11F_i/22$
	$\frac{F_A + 0,6F_B}{2}$	$2,4F_i/44$	$7,6F_i/44$	$13,6F_i/44$	$19,6F_i/44$
	S_b	11 200	11 200	11 200	11 200
	S_n	9520	8680	8680	8680
	σ	3,43	8,58	15,05	21,69
Couvre joint inférieur	S_b	12000	12000	12000	12000
	S_n	10320	9480	9480	9480
	σ	3,20	8,01	13,78	19,86

$F_i = 422\,700 \text{ kg}$.

N.B: les efforts F_A et F_B pour le couvre joint inférieur sont les mêmes que ceux du couvre joint supérieur.

Contrainte dans le couvre joint supérieur:

$$\sigma = \frac{F_i}{2 \times S_b} = \frac{422\,700}{2 \times 11\,200} = 18,87 \text{ kg/mm}^2 < 24 \text{ kg/mm}^2$$

Contrainte dans le couvre joint inférieur:

$$\sigma = \frac{F_i}{2 \times S_b} = \frac{422\,700}{2 \times 12\,000} = 17,61 \text{ kg/mm}^2 < 24 \text{ kg/mm}^2$$

Verification de l'âme :

$$F_a = T \cdot \Omega_w = 5,45 \times 34000 = 185300 \text{ kg.}$$

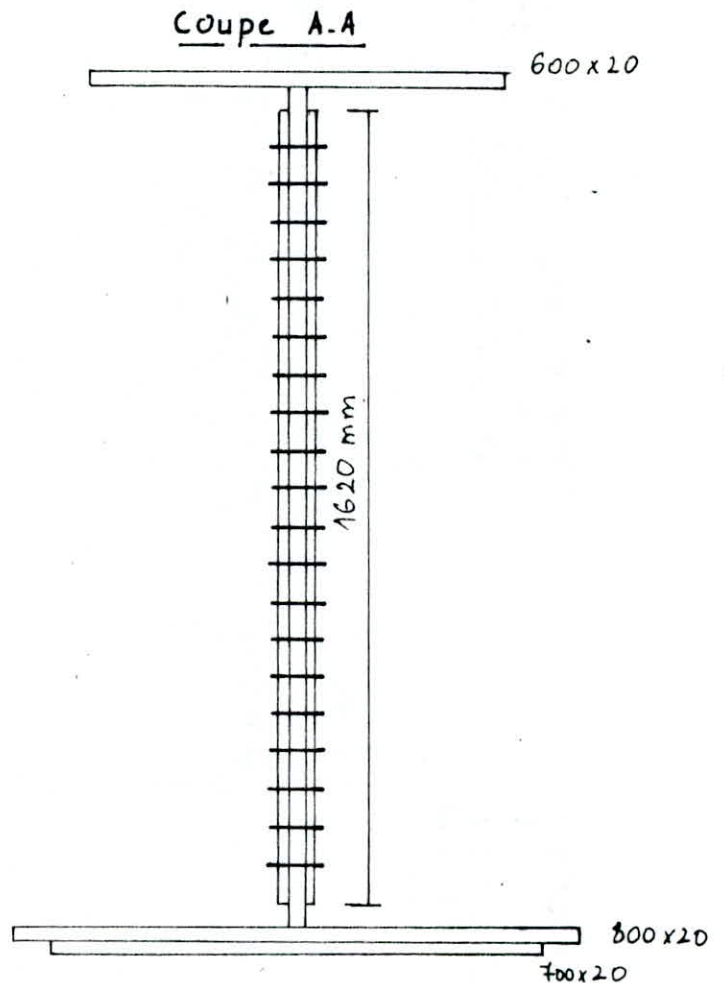
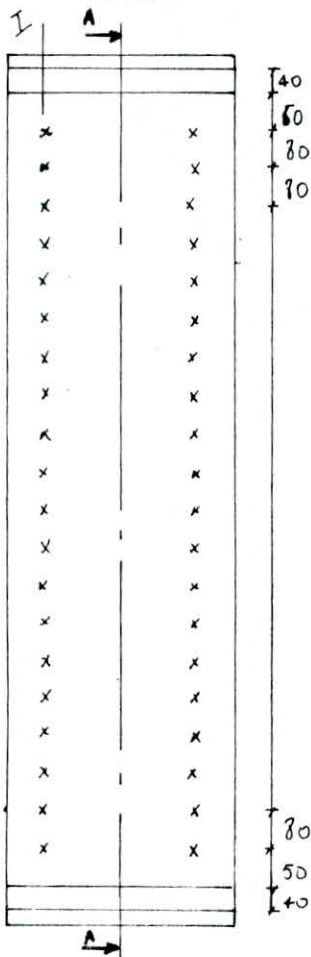
Nombre de boulons résistants :

$$n \geq \frac{F_a}{F_r} = \frac{185300}{10584} = 17,51 \text{ on prend 20 boulons.}$$

Effort par boulon :

$$F_b = \frac{185300}{20} = 9265 \text{ kg} < F_r = 10584 \text{ kg.}$$

Disposition :



Verifications des contraintes : Art 13.12 titre V C.P.C

$$T = \frac{F}{S_n} \leq 0,6 \sigma_c$$

Pièce assemblée :

$$S_b = 1700 \times 20 = 34000 \text{ mm}^2.$$

$$S_{\text{trous}} = 20 \times 22 \times 20 = 8800 \text{ mm}^2.$$

$$S_n = S_b - S_{trous} = 34000 - 8800 = 25200 \text{ mm}^2$$

$$\tau = \frac{185300}{25200} = 7,35 \text{ kg/mm}^2 < \bar{\tau} = 14,4 \text{ kg/mm}^2$$

Couvre joint: On a 2 couvre joints d'épaisseur chacun 15 mm.

$$S_b = 1620 \times 15 \times 2 = 48600 \text{ mm}^2$$

$$S_{trous} = 20 \times 22 \times 15 \times 2 = 13200 \text{ mm}^2$$

$$S_n = S_b - S_{trous} = 48600 - 13200 = 35400 \text{ mm}^2$$

$$\tau = \frac{185300}{35400} = 5,23 \text{ kg/mm}^2 < \bar{\tau} = 14,4 \text{ kg/mm}^2$$

Section I: $F_a = 185300 \text{ kg}$.

Pièce assemblée:

$$F_A (\text{kg}) = 0$$

$$F_B (\text{kg}) = F_a$$

$$0,6 F_B = 0,6 F_a$$

$$F_A + F_B = F_a$$

$$F_A + 0,6 F_B = 0,6 F_a$$

$$S_b = 48600 \text{ mm}^2$$

$$S_n = 25200 \text{ mm}^2$$

$$\bar{\sigma} = 4,41 \text{ kg/mm}^2$$

Couvre joint

$$F_A = 0 \text{ kg}$$

$$F_B = F_a$$

$$0,6 F_B = 0,6 F_a$$

$$\frac{F_A + F_B}{2} = \frac{F_a}{2}$$

$$\frac{F_A + 0,6 F_B}{2} = \frac{0,6 F_a}{2}$$

$$S_b = 24300 \text{ mm}^2$$

$$S_n = 17700 \text{ mm}^2$$

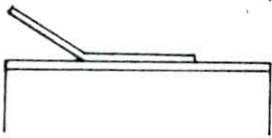
$$\bar{\sigma} = 3,81 \text{ kg/mm}^2$$

Conclusion: la pièce assemblée et le couvre joint sont vérifiés.

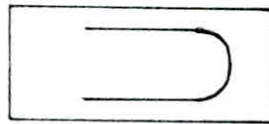
Les Connecteurs

L'adhérence du béton sur les poches métalliques ne peut être considérée comme un moyen de liaison car elle est non seulement trop faible mais encore peu durable (fatigue des matériaux), c'est pourquoi il est nécessaire de prévoir des organes de liaison appelés connecteurs. Nous avons optés pour des connecteurs à ancrages. Les connecteurs sont des organes simples qui permettent un certain glissement relatif des deux matériaux au contact dans le sens horizontal et qui s'opposent par adhérence au soulèvement relatif acier-béton, ils travaillent à la manière des étriers en béton armé.

Vue de profil



Vue de dessus



Vérification de la condition de non écrasement du béton: Art 3062 du C.C.B.A 68

$$\Gamma \geq 0,10 \phi \bar{\sigma}_a / \bar{\sigma}'_{b0} \left(1 + \frac{\phi}{I}\right) \sqrt{}$$

ϕ : diamètre de la barre

$$\phi = 20 \text{ mm} ; \bar{\sigma}_a = 24 \text{ kg/cm}^2 \text{ (FcE24)}$$

$\bar{\sigma}_a$: contrainte admissible de traction de la barre

$$\bar{\sigma}'_{b0} = 46,5 \text{ kg/cm}^2 ; d = 30 - (8 + 2) = 20 \text{ cm}$$

$\bar{\sigma}'_{b0}$: contrainte admissible de compression du béton.

$$\sqrt{=} = 1 \text{ barre isolée.}$$

d : distance du centre de courbure de la barre

$$\Gamma \geq 0,10 \times 20 \times \frac{2d}{46,5 \cdot 10^{-2}} \left(1 + \frac{20}{200}\right) \times 1$$

à la paroi dont l'approximation augmente le danger d'écrasement.

$$\Gamma \geq 69,02 \text{ mm} \text{ on prend } \Gamma = 80 \text{ mm.}$$

$$\Gamma = 80 \text{ mm.}$$

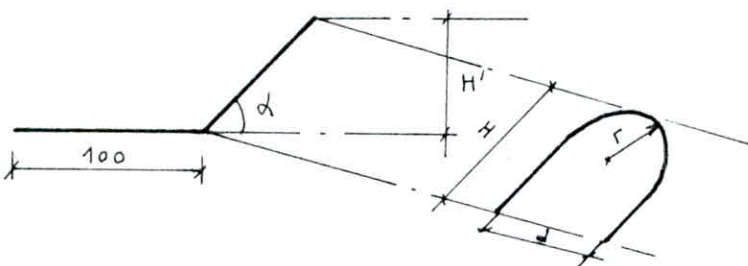
$$\alpha = 45^\circ$$

$$d = 2\Gamma = 160 \text{ mm.}$$

$$H' = H \sin \alpha.$$

$$H = 280 \text{ mm.}$$

$$H' = 200 \text{ mm.}$$



Dimensionnement des connecteurs :

Pour le dimensionnement des connecteurs, on considère les 3 combinaisons suivantes :

1. CCP + surcharges + retrait partiel.
2. CCP + retrait total.
3. CCP + retrait total + surcharges.

N.B : On ne tient pas compte des CP dans les 3 combinaisons car le montage des poutres principales se fait dans -étais, donc l'action des CP ne développe pas de contraintes de cisaillement au niveau des connecteurs, mais cette action sera absorbée par une flexion de la dalle, c'est la réponse de la dalle.

Effort admissible qui peut être transmis au connecteur :

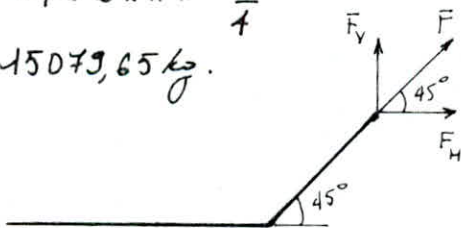
$$\bar{F} = \bar{\sigma}_a \cdot S_T \quad S_T: \text{section totale du connecteur}$$

$\bar{\sigma}_a$: on fait travailler le connecteur à la contrainte admissible, car la condition de non-écrasement est vérifiée.

$$S_T = 2\pi \frac{d^2}{4}; \quad \bar{\sigma}_a = 24 \text{ kg/mm}^2.$$

$$\bar{F} = 24 \times 2 \times \pi \times \frac{20^2}{4}$$

$$\bar{F} = 15079,65 \text{ kg.}$$



Effort de glissement total que peut reprendre un connecteur :

$$F_H = \bar{F} \cdot \cos \alpha = \bar{F} \cdot \frac{\sqrt{2}}{2}$$

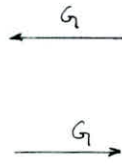
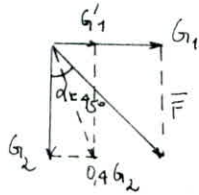
$$F_v = \bar{F} \cdot \sin \alpha = \bar{F} \cdot \frac{\sqrt{2}}{2}$$

L'effort vertical F_v peut équilibrer un effort horizontal tel que :

$$F'_H = \varphi F_v \quad \varphi: \text{coefficient de frottement acier-béton.}$$

$$F'_H = 0,4 F_v = 0,2 \cdot \sqrt{2} \cdot \bar{F}$$

Dans le cas d'une traction:



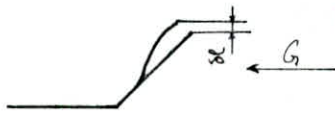
G_1 : effort de glissement.

\bar{F} : effort de traction supporté par le connecteur.

$$\bar{G} = G_1 + G_1' = \bar{F} \cdot \cos \alpha + 0,4 G_2 = \bar{F} \times \sqrt{2} \times 0,7 = 15079,65 \times \sqrt{2} \times 0,7$$

$$\bar{G} = 14928,1 \text{ kg.}$$

Dans le cas d'une compression:



le connecteur tend à fléchir.

Pour éviter un soulèvement de la dalle qui sera égale à δl à cause de l'adhérence béton-connecteur supposée parfaite.

On limite le taux de travail du connecteur à $\bar{G}_1 = 0,5 \bar{G}$.

Calcul des efforts unitaires maximaux de glissement:

1. Retrait: Le retrait est supposé repris aux deux extrémités de la poutre sur une longueur $\frac{l}{5}$ de la portée de la travée considérée.

$$l_r = \frac{l}{5} = \frac{27}{5} = 5,40 \text{ m} \quad \text{on prend } l_r = 9 \text{ m pour des raisons d'étude.}$$

soit G_R l'effort de glissement dû aux contraintes de retrait total.

$$G_R = - \frac{F_R}{l_r} = - \frac{\sigma_{br} \times S}{l_r} = - \frac{\epsilon_r \cdot E_a \times S}{n \cdot l_r} = 4 \cdot 10^{-4} \cdot \frac{21 \cdot 10^5}{15} \times \frac{8325}{9}$$

$$G_R = - 51800 \text{ kg/ml.} \quad \text{retrait total}$$

soit G_{Rp} l'effort de glissement dû aux contraintes de retrait partiel.

$$G_{Rp} = - \frac{F_{Rp}}{l_r} = - \frac{\sigma_{brp} \times S}{l_r} = - \frac{\epsilon_{rp} \cdot E_a \times S}{n \cdot l_r} = - 1,5 \cdot 10^{-4} \cdot \frac{21 \cdot 10^5}{15} \times \frac{8325}{9}$$

$$G_{Rp} = - 19425 \text{ kg/ml.} \quad \text{retrait partiel}$$

2. C.C.P et Surcharges: On divise notre poutre en trois (03) zones:

zone 1 section 0 - section 3

zone 2 section 3 - section 6

zone 3 section 6 - section 9

Soit F , l'effort de glissement dû soit a C.C.P soit aux surcharges.

$$F: T. \frac{m}{I}$$

$$m = \frac{B \cdot b}{n}$$

B : section du béton

b : bras de levier entre la s^{te} du béton et la s^{te} mixte = $f(n)$

I : inertie de la s^{te} mixte.

T : effort tranchant dans la s^{te} considérée.

Remarque importante:

lorsque nous aurons l'éventualité d'un renversement d'efforts, (cas des surcharges) il faudra vérifier ce connecteur en fonctionnement inverse, en particulier pour qu'il n'occasionne pas de soulèvement de la dalle.

Détermination du nombre de connecteurs:

$$n: \text{nombre de connecteurs par ml} ; n = \frac{F}{\bar{G}}$$

e : espacement des connecteurs, il doit être supérieur à trois (03) fois la largeur de la dalle.

$$e = \frac{100}{n} < 3 \times 25 = 75 \text{ cm.}$$

N : nombre de connecteurs par zone ; $N = n \cdot d$ d : étendue de la zone = 3m.

Rmq: Dans les zones 1 et 2, on a comparé $F = -19244,89 \text{ kg/ml}$ et $F = 15098,67 \text{ kg/ml}$ au glissement admissible $\bar{G}_1 = 0,5 \times \bar{G} = 7464,05 \text{ kg/ml}$ et comme ils sont supérieurs à \bar{G}_1 , les connecteurs calculés pour $F = 82989,67 \text{ kg/ml}$ et $F = -79783,83 \text{ kg/ml}$ ne pouvant reprendre ces efforts, d'où la nécessité de calculer des connecteurs placés dans un sens contraire.

Tableau des Efforts de Glissement

n	Designation		1	2	3
18	C. C. P	T_{ccp} (kg)	52020	- 40430	- 86650
	Dénivellations retour	$T_{D. retour}$ (kg)	36210	36210	36210
	Moment statique	$m = \frac{B \times b}{n}$ (cm ³)	27358,07	27358,07	25628,53
	Moment d'inertie	I (cm ⁴)	$7,07 \cdot 10^6$	$7,07 \cdot 10^6$	$7,73 \cdot 10^6$
	F_{ccp}	$F = T \cdot \frac{m}{I}$ (kg/ml)	20130	- 15645	- 28729
	$F_{D. retour}$	$F = T \cdot \frac{m}{I}$ (kg/ml)	44012	44012	12005
6	Surcharges	T_s (kg) (-)	- 36520	- 85040	- 143330
		T_s (kg) (+)	121030	58490	15500
	Moment statique	$m = \frac{B \times b}{n}$ (cm ³)	51976,65	51976,65	50502,07
	Moment d'inertie	I (cm ⁴)	$10,17 \cdot 10^6$	$10,17 \cdot 10^6$	$10,60 \cdot 10^6$
	$F_{Surcharges}$	$F = T \cdot \frac{m}{I}$ (-)	- 18665	- 43462	- 68287
$F = T \cdot \frac{m}{I}$ (+)		61856	29740	7385	

Tableau des Combinaisons

Zone	C.C.P	D. retour	Rehaut partiel	Rehaut total	Surcharges
1	20130	14012	-13008,33	-34688,89	61856
					-18665
2	-15645	14012	-13008,33	-34688,89	29740
					-43462
3	-28729	12005	0	0	7385
					-68287

Zone	1 ^{ère} Combinaison	2 ^{ème} Combinaison	3 ^{ème} Combinaison	Cas défavorable	
				Positif	négatif
1	82989,67	-546,89	61309,11	82989,67	-19211,89
	2468,67		-19211,89		
2	15098,67	-36321,89	-6584,89	15098,67	-79783,89
	-58103,33		-79783,89		
3	-9339,00	-16724	-9339,00	/	-85041,00
	-85041,00		-85041,00		

Les connecteurs

Zone	F	G	n/ml	e (cm)	N	schéma
1	82989,67	14928,10	6	16,67	54	
	-19211,89	14928,10	2	50	18	
2	15098,67	14928,10	2	50	18	
	-79783,89	14928,10	6	16,67	54	
3	-85041,00	14928,10	6	16,67	54	

L = 27m, on a 198 connecteurs
L = 54m, on a 396 connecteurs

calcul des entretoises

Rôle:

d'entretoisement joue deux rôles essentiels:

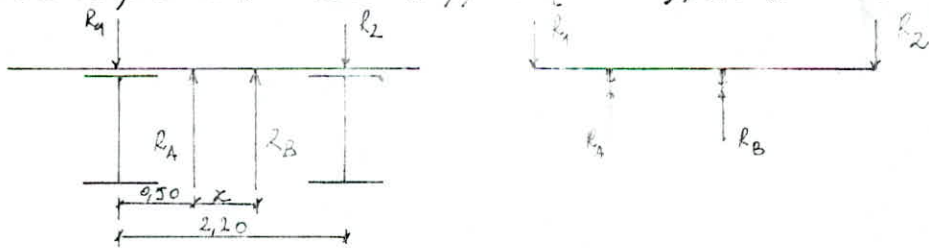
- En liaisonnant les poutres principales entre elles, les entretoises assurent la bonne tenue de la section droite et permettent une répartition des charges entre les poutres principales.
- En supportant les éléments de la couverture (dalle en béton armé), l'entretoisement reprend les charges locales et les transmet aux poutres.

Dans un même ouvrage, il convient de différencier, l'entretoisement courant de l'entretoisement sur appui, ce dernier doit en plus de la fonction courante, être spécialement dimensionné pour transmettre les effets de vent transversal aux appuis et reprendre les effets de voisinage de l'ouvrage lors des phases de servitudes d'appuis.

I. Entretoises d'about (d'appui):

C'est une poutre reposant sur deux appuis (verins), son schéma de calcul est le

suivant:



A. Entretoises sur pile 1:

1. Calcul des réactions R1 et R2:

a. charge permanente: (cp)

$$R_{1cp} = (35,71 + 117,10) \times 1,32 \times 0,71 = 143,21 \text{ t.}$$

$$R_{2cp} = R_{1cp} \times \frac{0,29}{0,71} = 58,50 \text{ t.}$$

b. Complément des charges permanentes: (c.c.p)

$$R_{1ccp} = 170,89 \text{ t.}$$

$$R_{2ccp} = 73,24 \text{ t.}$$

c. retrait + différence de t° (DT):

$$R_{1e-DT} = R_{2e+DT} = 49,10 \text{ t.}$$

d. Derivellazioni d'appoggio: $R_{1,DA} = R_{2,DA} = 37,36 \text{ t.}$

$R_{1,DR} = R_{2,DR} = 72,42 \text{ t.}$

D'où:

$R_1 = R_{1cp} + R_{1ccp} + R_{1R+DT} + R_{1DA} - R_{1DR} = 328,14 \text{ t.}$

$R_2 = R_{2cp} + R_{2ccp} + R_{2R+DT} + R_{2DR} - R_{2DR} = 145,78 \text{ t.}$

2. Calcul des RA et RB: (reactions des verins)

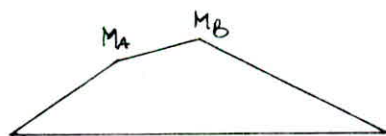
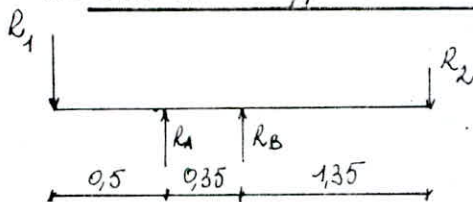
On disposera les verins de telle façon que $R_A = R_B$.

$R_A = R_B = \frac{R_1 + R_2}{2} = \frac{328,14 + 145,78}{2} = 236,96 \text{ t.}$

$\sum M|_B = 0 \Rightarrow R_A x - R_1 (0,5 + x) + R_2 (2,20 - 0,5 - x) = 0$

d'où $x = \frac{0,5 R_1 - 1,7 R_2}{R_A - R_1 - R_2} = \frac{0,5 \times 328,14 - 1,7 \times 145,78}{236,96 - 328,14 - 145,78} = 0,35 \text{ m}$

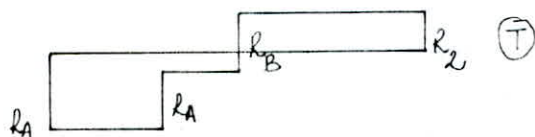
3. Calcul des efforts M et T:



(M+)

$M_A = - 328,14 \times 0,5 = - 164,07 \text{ t.m}$

$M_B = - 145,78 \times 1,35 = - 196,80 \text{ t.m}$



(T)

4. choix du profilé:

On choisit un P.R.S à âme pleine doublement symétrique de hauteur d'âme h

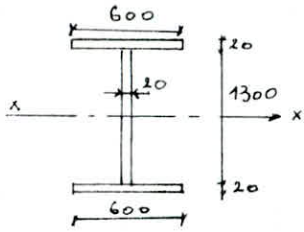
$h = 1300 \text{ mm.}$

$M_{max} = - 196,80 \text{ t.m}$

$M = F \cdot h$, $F = \sigma \cdot S_a$ avec σ : déformé de la section.

d'où $\sigma \geq \frac{F}{S_a} = \frac{M}{h \cdot S_a} = \frac{196,80 \cdot 10^6}{1300 \times 24} = 6307,69 \text{ mm}^2$

Solr $\Omega = 600 \times 20 = 12000 \text{ mm}^2 \gg 6307,69 \text{ mm}^2$.



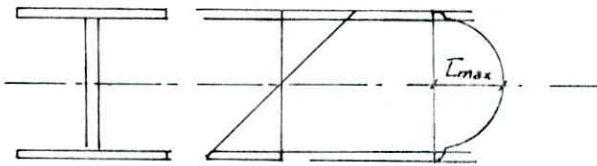
$$I_x = \frac{2 \times 130^3}{12} + 2 \left[\frac{60 \times 2^3}{12} + 2 \times 60 \times 66^2 \right] = 1411686,7 \text{ cm}^4$$

$$W = W_s = W_i = \frac{I}{Y} = \frac{I}{Y_i} = \frac{I}{Y_s} = \frac{1411686,7}{67} = 21069,95 \text{ cm}^3$$

d'où $\sigma_f = \frac{M}{W} = \frac{196,80 \cdot 10^5}{21069,95} = 934,03 \text{ kg/cm}^2 < \sigma_c = 2400 \text{ kg/cm}^2$.

$$\tau_{\max} = \frac{T_{\max}}{k \cdot e} = \frac{328,14 \cdot 10^3}{130 \times 2} = 1262,08 \text{ kg/cm}^2 < 0,6 \sigma_c = 1440 \text{ kg/cm}^2$$

Diagramme des contraintes



au niveau de la fibre neutre $\sigma_y = 0$

$$(\sigma_y^2 + 3\tau^2)^{1/2} = (0 + 3 \times 1262,08^2)^{1/2} = 2185,99 \text{ kg/cm}^2 < \sigma_c = 2400 \text{ kg/cm}^2$$

5. Vérification au voilement :

Panneau 1.

$$\tau (\text{milieu}) = 1262,08 \text{ kg/cm}^2 ; \sigma (\text{milieu}) = 389,37 \text{ kg/cm}^2$$

$$\alpha = \frac{a}{b} = \frac{0,5}{1,3} = 0,38 ; \psi = \frac{\sigma_i}{\sigma_s} = -1 ; S_f = 1$$

$$\sigma_c = \frac{\pi \cdot E}{12(1-\nu^2)} \left(\frac{e}{b}\right)^2 = \frac{\pi \cdot 21 \cdot 10^4}{12(1-0,3^2)} \left(\frac{2}{130}\right)^2$$

$$\sigma_c = 142,99 \text{ kg/cm}^2 ; k_f = 2,39$$

$$\sigma^* = k_f \cdot \sigma_c = 2,39 \times 142,99 = 3417,46 \text{ kg/cm}^2$$

$$\tau^* = k_\tau \cdot \sigma_c = \left(4 + \frac{5,34}{(0,58)^2}\right) \times 142,99 = 5859,72 \text{ kg/cm}^2$$

$$\left(S_f \frac{\sigma}{\sigma^*}\right)^2 + \left(\frac{\tau}{\tau^*}\right)^2 = 0,06 < 1,8$$

Pas de risque de voilement.

Panneau 2

$$\tau (\text{milieu}) = 560,69 \text{ kg/cm}^2$$

$$\sigma (\text{milieu}) = 467,02 \text{ kg/cm}^2$$

$$\sigma_c = 142,99 \text{ kg/cm}^2 ; k_f = 2,39$$

$$\alpha = 1,04 ; \psi = -1 ; S_f = 1$$

$$\sigma^* = 3417,46 \text{ kg/cm}^2$$

$$\tau^* = \left(5,34 + \frac{4}{(1,04)^2}\right) \times 142,99 = 1292,58 \text{ kg/cm}^2$$

$$\left(S_f \frac{\sigma}{\sigma^*}\right)^2 + \left(\frac{\tau}{\tau^*}\right)^2 = 0,21 < 1,8$$

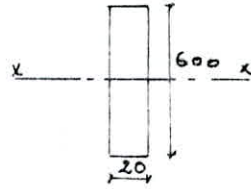
Pas de risque de voilement.

6. Vérification au déversement de la semelle :

$$l = 350 \text{ mm}$$

$$\sigma_m = 934,03 \text{ kg/cm}^2$$

$$I = \frac{60^3 \times 2}{12} = 36000 \text{ cm}^4$$



$$i = \left(\frac{I}{S}\right)^{1/2} = \frac{36000}{2 \times 60} = 17,32 \text{ cm}$$

$$\lambda = \frac{l}{i} = \frac{35}{17,32} = 2,02 < 20 \text{ donc on a une pièce courte : on vérifie } \sigma_m < \sigma_c$$

$$\sigma_m = 934,03 \text{ kg/cm}^2 < 2400 \text{ kg/cm}^2$$

7. Raidisseurs :

D'après le fascicule 61 titre V article 18, nous prévoyons des raidisseurs au niveau des verins.

$$\bar{\sigma} = \text{inertie relative} = \frac{EJ}{b \cdot D} \quad \text{ou} \quad J = 0,092 b t^3 \bar{\sigma} \quad \text{avec}$$

$$\delta = \text{section relative} = \frac{\alpha}{b \cdot t}, \quad D = \frac{E t^3}{12(1 - \nu^2)}$$

J: inertie du raidisseur

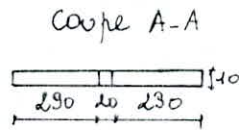
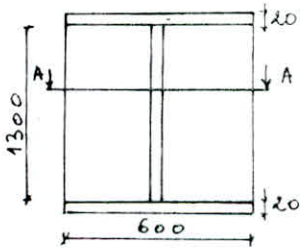
D: inertie de la plaque

α : section du raidisseur

ν : coefficient de poisson (acier: $\nu = 0,3$)

t: épaisseur de la plaque

b: hauteur de la plaque.



$$\delta = \frac{29 \times 1}{130 \times 2} = 0,12 \quad ; \quad J = \frac{1 \times 29^3}{12} \times 2 = 4064,833 \text{ cm}^4$$

$$\bar{\sigma} = \frac{4064,833}{0,092 \times 130 \times 2^3} = 42,48$$

D'après le fascicule 61 titre V

$$\delta_{\min} = 0,66 \cdot 10^{-3} \frac{b}{t} = 0,66 \cdot 10^{-3} \frac{130}{2} = 0,043$$

$$\text{on a bien } \delta = 0,12 > \delta_{\min} = 0,043$$

$$\bar{\sigma}_{\min} = 0,33 \left(\frac{b}{50t}\right)^3 = 0,33 \left(\frac{130}{50 \times 2}\right)^3 = 0,73$$

$$\text{on a bien } \bar{\sigma} = 42,48 > \bar{\sigma}_{\min} = 0,73$$

La solution choisie pour les raidisseurs vérifie bien les conditions limites imposées.

Assemblage de l'âme de l'entête (d'après OT66 3.4)

la section à assembler est soumise à un effort tranchant T tel que :

$$T = 328,14 \text{ t.}$$

soit F_R , l'effort par boulon

$$F_R = (0,84 \text{ ba. r.}) \times 2 = 10584 \text{ kg (calculé au ch.}$$

soit F_a , l'effort dans l'âme

$$F_a = \bar{\tau} \cdot a, \quad \bar{\tau} = \frac{T}{h.e} = \frac{328,14 \cdot 10^3}{130.2} = 1262,08 \text{ kg/cm}^2$$

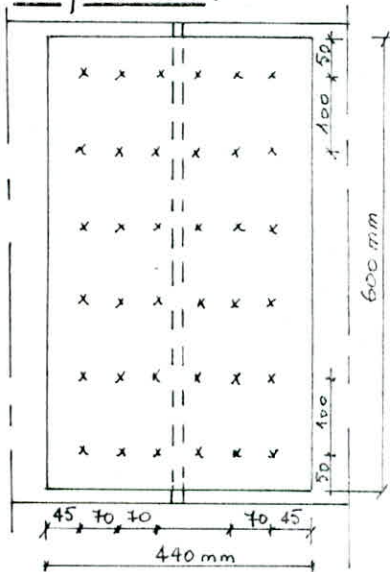
le nombre de boulons est :

$$n \geq \frac{\bar{\tau} \cdot a}{F_R} = \frac{F_a}{F_R} = \frac{328,14 \cdot 10^3}{10584} = 31,00$$

on prendra $n = 36$

l'effort par boulon est : $f_r = \frac{328,14 \cdot 10^3}{36} = 9115 \text{ kg} < 10584 \text{ kg.}$

Disposition :



Pièces assemblées :

$$S_b = 1300 \times 20 = 26000 \text{ mm}^2 \text{ section brute.}$$

$$S_T = n \cdot d \cdot e = 6 \times 21 \times 20 = 2520 \text{ mm}^2$$

$$S_n = S_b - S_T = 23480 \text{ mm}^2$$

$$\tau = \frac{T}{S_n} = \frac{328,14 \cdot 10^3}{23480} = 13,98 \text{ kg/mm}^2 < 0,6 \text{ fe} = 14,4 \text{ kg/mm}^2$$

Couvre Joint :

$$S_b = (1300 - 2 \times 25) \times 15 \times 2 = 37500 \text{ mm}^2$$

$$S_T = 6 \times 21 \times 15 \times 2 = 3780 \text{ mm}^2$$

$$S_n = S_b - S_T = 33720 \text{ mm}^2$$

$$\tau = \frac{T}{S_n} = \frac{328,14 \cdot 10^3}{33720} = 9,73 \text{ kg/mm}^2 < 0,6 \text{ fe} = 14,4 \text{ kg/mm}^2$$

B. Entêtes sur culée 2 et pile 0 :

1. Calcul des réactions R_1 et R_2 :

$$R_{1cp} = 42,95 \text{ t} \quad ; \quad R_{1ccp} = 51,27 \text{ t} \quad ; \quad R_{1R+OT} = R_{2R+OT} = 24,55 \text{ t}$$

$$R_{2cp} = 17,54 \text{ t} \quad ; \quad R_{2ccp} = 21,97 \text{ t} \quad ; \quad R_{1DA} = R_{2DA} = 18,68 \text{ t}$$

$$R_{DR} = R_{2DR} = 36,21 \text{ t.}$$

$$R_1 = 101,24 \text{ t} ; R_2 = 46,53 \text{ t}$$

On garde la même position des verins pour éviter l'apparition des moments de torsion parasites.

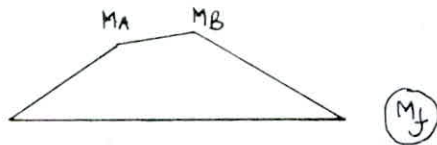
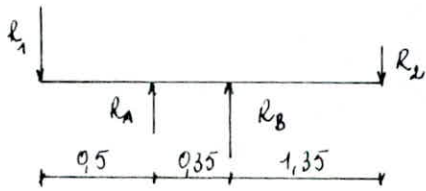
2. Calcul de R_A et R_B :

$$R_A + R_B = 101,24 + 46,53 = 147,77 \text{ t}$$

$$\sum M/B = 0 \Rightarrow R_A = \frac{-46,53 \times 1,35 + 101,24 \times 0,85}{0,35} = 66,40 \text{ t}$$

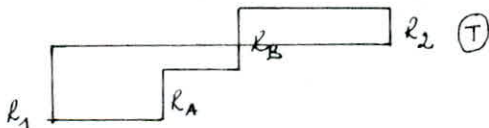
$$R_A = 66,40 \text{ t} ; R_B = 81,37 \text{ t}$$

3. Calcul des efforts M et T :



$$M_A = -101,24 \times 0,5 = -50,62 \text{ t.m}$$

$$M_B = -46,53 \times 1,35 = -62,82 \text{ t.m}$$



4. choix du profilé:

On choisit un P.R.S à âme pleine doublement symétrique de hauteur d'âme

$$h = 900 \text{ mm}$$

$$M_{\max} = -62,82 \text{ t.m} \quad \text{d'où} \quad \Omega \geq \frac{M}{h \cdot b_e} = \frac{62,82 \cdot 10^6}{900 \times 24} = 2908,33 \text{ mm}^2$$

$$\Omega = 600 \times 10 = 6000 \text{ mm}^2 > 2908,33 \text{ mm}^2$$

$$I_x = \frac{1 \times 90^3}{12} + 2 \left[\frac{60^3 \times 1}{12} + 60 \times 1 \times 45,5^2 \right] = 309190 \text{ cm}^4$$

$$w_f = w_{f1} = w_{f3} = \frac{I}{v_i} = \frac{I}{v_s} = \frac{I}{v} = \frac{309190}{46} = 6721,52 \text{ cm}^3$$

$$\sigma_f = \frac{M}{w} = \frac{62,82 \cdot 10^5}{6721,52} = 934,61 \text{ kg/cm}^2 < 2400 \text{ kg/cm}^2$$

$$\tau_{max} = \frac{T}{h \cdot e} = \frac{101,24 \cdot 10^3}{90 \times 1} = 1124,89 \text{ kg/cm}^2 < 0,6 \sigma_c = 1440 \text{ kg/cm}^2.$$

au niveau de la fibre neutre: $(\bar{\sigma}_f^2 + 3\bar{\tau}^2)^{1/2} = (0 + 3 \times 1124,89^2)^{1/2} = 1948,37 \text{ kg/cm}^2$
 $1948,37 \text{ kg/cm}^2 < 2400 \text{ kg/cm}^2.$

5. Vérification au voilement:

Panneau 1

$$\bar{\sigma} (\text{milieu}) = 376,55 \text{ kg/cm}^2$$

$$\bar{\tau} (\text{milieu}) = 1124,89 \text{ kg/cm}^2$$

$$\alpha = \frac{0,5}{0,90} = 0,56 ; \quad \psi = -1 ; \quad S_f = 1$$

$$\bar{\sigma}_c = \frac{\pi \cdot 2,1 \cdot 10^5}{12(1 - 0,5^2)} \left(\frac{10}{300} \right) = 74,59 \text{ kg/cm}^2$$

$$\bar{\sigma}^* = k_f \cdot \bar{\sigma}_c = 23,9 \times 74,59 = 1782,70 \text{ kg/cm}^2$$

$$\bar{\tau}^* = \left(4 + \frac{5,34}{0,5^2} \right) \times 74,59 = 1568,48 \text{ kg/cm}^2$$

$$\left(S_f \cdot \frac{\bar{\sigma}}{\bar{\sigma}^*} \right)^2 + \left(\frac{\bar{\tau}}{\bar{\tau}^*} \right)^2 = 0,56 < 1,8$$

Pas de risque de voilement du panneau 1.

Panneau 2

$$\bar{\sigma} (\text{milieu}) = 467,31 \text{ kg/cm}^2$$

$$\bar{\tau} (\text{milieu}) = 517,00 \text{ kg/cm}^2$$

$$\alpha = \frac{1,35}{0,90} = 1,5 ; \quad \psi = -1 ; \quad S_f = 1.$$

$$\bar{\sigma}_c = 74,59 \text{ kg/cm}^2$$

$$\bar{\sigma}^* = k_f \cdot \bar{\sigma}_c = 23,9 \times 74,59 = 1782,70 \text{ kg/cm}^2$$

$$\bar{\tau}^* = \left(5,34 + \frac{4}{1,5^2} \right) \times 74,59 = 530,92 \text{ kg/cm}^2$$

$$\left(S_f \cdot \frac{\bar{\sigma}}{\bar{\sigma}^*} \right)^2 + \left(\frac{\bar{\tau}}{\bar{\tau}^*} \right)^2 = 1,02 < 1,8$$

Pas de risque de voilement de notre panneau.

6. Vérification de la semelle au flambement:

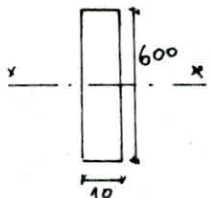
$$l = 350 \text{ mm}$$

$$i = \left(\frac{I}{S} \right)^{1/4} = 17,32 \text{ cm}$$

$$\bar{\sigma}_m = 934,61 \text{ kg/cm}^2$$

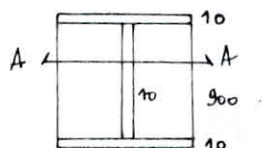
$$\lambda = \frac{l}{i} = \frac{35}{17,32} = 2,02 < 20 \text{ on a une poutre courte}$$

$$I_x = \frac{1 \times 60^3}{12} = 18000 \text{ cm}^4$$

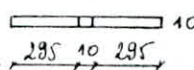


On vérifie $\bar{\sigma}_m < \bar{\sigma}_c \Rightarrow 934,61 \text{ kg/cm}^2 < 2400 \text{ kg/cm}^2$. pas de risque de flambement.

7. Raidissage:



Coupe A-A.



$$\delta = \frac{r}{b \cdot t} = \frac{29,5 \times 1}{90 \times 1} = 0,328 \quad ; \quad J = \frac{1 \times 29,5^3}{12} \times 2 = 4278,73 \text{ cm}^4$$

$$f = \frac{4278,73}{0,092 \times 90 \times 1} = 516,75$$

$$\delta_{\min} = 0,66 \cdot 10^{-3} \frac{b}{t} = 0,66 \cdot 10^{-3} \frac{90}{1} = 0,06 < \delta = 0,328$$

$$f_{\min} = 0,33 \left(\frac{b}{50t} \right)^3 = 0,33 \left(\frac{90}{50 \times 1} \right)^3 = 1,92 < f = 516,75.$$

La section choisie pour les raidisseurs vérifie bien les limites imposées.

II. Entretôises intermédiaires:

Les entretôises intermédiaires ne portent pas la dalle de couverture, elles sont en treillis et sont considérées comme infiniment rigides. Transversalement, l'entretôise sera considérée comme une poutre sur deux appuis (la dalle ne repose pas dessus).

La portion de la poutre comprise entre deux entretôises successives est considérée comme une poutre sur appuis simples. La dalle est supposée articulée au droit de chaque entretôise, les charges qui lui sont appliquées sont transmises intégralement aux entretôises. Les efforts dans divers points de l'entretôise sont déterminés suivant la méthode de M^r Courbon.

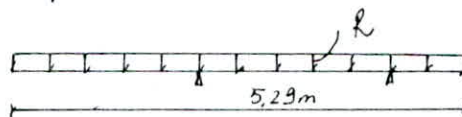
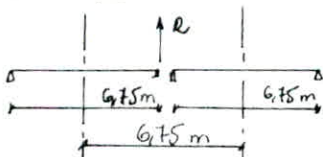
Rq: Les entretôises non chargées ne reçoivent aucune répartition de charge dans leurs nœuds.

Calcul des sollicitations

$$G = q_{cp} + q_{ccp} = 4526,8 + 5481,00 = 10007,8 \text{ kg/ml.}$$

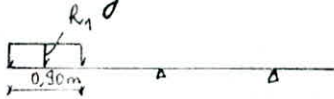
La largeur du pont est: $l = 5,29 \text{ m}$

L'entre-axe des entretôises est: $l' = 6,75 \text{ m}$



$$R = \frac{G \cdot l'}{l} = \frac{10007,8 \times 6,75}{5,29} = 12769,88 \text{ kg/ml.}$$

Surcharge de toiture: $q = 400 \text{ kg/m}^2$, $l = 0,90 \text{ m}$.

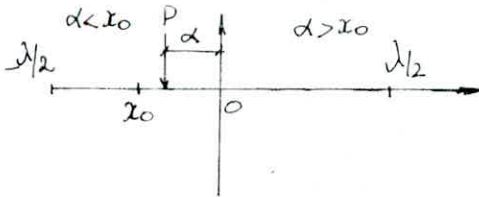


$$R_1 = q \times l = 400 \times 0,90 = 360 \text{ kg/ml.}$$

Calcul des efforts M et T dans l'entretoise.

L'entretoise étant désolidarisée du toit, elle n'est chargée qu'au droit des nœuds.

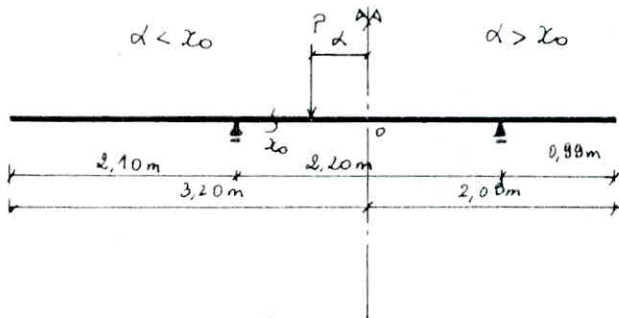
a) Effort tranchant:



$$T(x_0, \alpha) = \sum \frac{1}{n} \left(1 + 6 \frac{-n+2i-1}{n^2-1} \frac{\alpha}{\lambda} \right) \quad \alpha > x_0$$

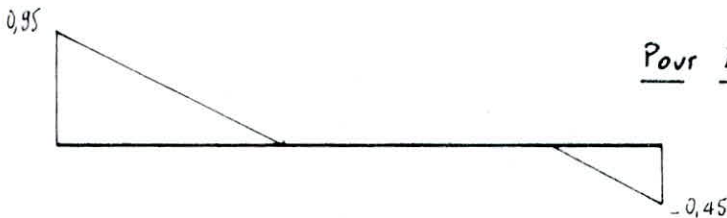
$$T(x_0, \alpha) = - \sum \frac{1}{n} \left(1 + 6 \frac{-n+2i-1}{n^2-1} \frac{\alpha}{\lambda} \right) \quad \alpha < x_0$$

$$n = 2; \quad i = 1; \quad \lambda = 2,20 \text{ m}$$



$$T(x_0, \alpha) = - \frac{1}{2} - \frac{\alpha}{2,2} \quad \alpha < x_0 \quad \text{Pour } \alpha = -3,20 \text{ m}, T(x_0, \alpha) = 0,95 \text{ t.}$$

$$T(x_0, \alpha) = \frac{1}{2} - \frac{\alpha}{2,2} \quad \alpha > x_0 \quad \text{Pour } \alpha = 2,09 \text{ m}, T(x_0, \alpha) = -0,45 \text{ t.}$$



Pour P = 1 t.

b/ Moment flechissant:

Section 1: $x_0 = 0$

$$M(x_0=0, d) = -\frac{1}{2} \left[1 + \frac{4}{\sqrt{2}} \times \frac{\sqrt{2}}{2} \times d \right] \left(-\frac{\sqrt{2}}{2} \right) \quad d < x_0$$

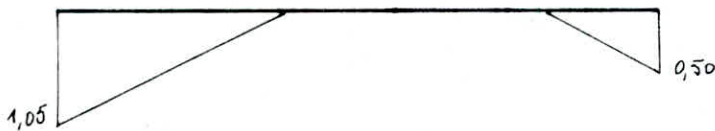
Pour $d = -\frac{\sqrt{2}}{2}$, $M(0, -\frac{\sqrt{2}}{2}) = 0$

Pour $d = -3,20\text{m}$, $M(0, -3,20) = -1,05 \text{ t.m}$

$$M(x_0=0, d) = \frac{1}{2} \left[1 + \frac{4}{\sqrt{2}} \times -\frac{\sqrt{2}}{2} \times d \right] \left(\frac{\sqrt{2}}{2} \right) \quad d > x_0$$

Pour $d = \frac{\sqrt{2}}{2}$, $M(0, \frac{\sqrt{2}}{2}) = 0$

Pour $d = 2,09$, $M(0, 2,09) = -0,50 \text{ t.m}$



Section 2: $x_0 = \frac{\sqrt{2}}{4}$

$$M(x_0 = \frac{\sqrt{2}}{4}; d) = -\frac{1}{2} \left[1 + \frac{4}{\sqrt{2}} \times \frac{\sqrt{2}}{2} \times d \right] \left(\frac{\sqrt{2}}{4} - \frac{\sqrt{2}}{2} \right) \quad d < x_0$$

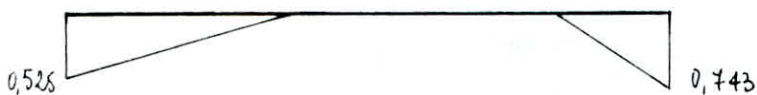
Pour $d = -\frac{\sqrt{2}}{2}$, $M = (\frac{\sqrt{2}}{4}, -\frac{\sqrt{2}}{2}) = 0$

Pour $d = -3,20\text{m}$, $M(\frac{\sqrt{2}}{4}, -3,20) = -0,525 \text{ t.m}$

$$M(x_0 = \frac{\sqrt{2}}{4}, d) = \frac{1}{2} \left[1 + \frac{4}{\sqrt{2}} \times -\frac{\sqrt{2}}{2} \times d \right] \left(\frac{\sqrt{2}}{4} + \frac{\sqrt{2}}{2} \right) \quad d > x_0$$

Pour $d = \frac{\sqrt{2}}{2}$, $M(\frac{\sqrt{2}}{4}, \frac{\sqrt{2}}{2}) = 0$

Pour $d = 2,09\text{m}$, $M(\frac{\sqrt{2}}{4}, 2,09\text{m}) = -0,743 \text{ t.m}$



Section 3: $x_0 = -\frac{d}{4}$

$$M(x_0 = -\frac{d}{4}, \alpha) = -\frac{1}{2} \left[1 + \frac{4}{d^2} \times \frac{d}{2} \times \alpha \right] \left(-\frac{d}{4} - \frac{d}{2} \right) \quad \alpha < 20$$

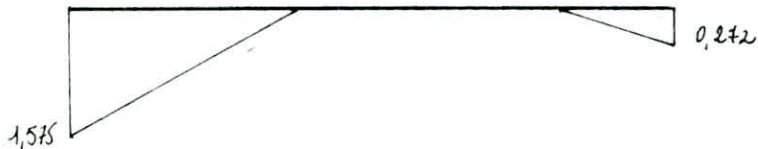
Pour $\alpha = -\frac{d}{2}$, $M(-\frac{d}{4}, \frac{d}{2}) = 0$

Pour $\alpha = -3,20\text{m}$, $M(-\frac{d}{4}, -3,20) = -1,575 \text{ t.m}$

$$M(x_0 = -\frac{d}{4}, \alpha) = \frac{1}{2} \left[1 + \frac{4}{d^2} \times -\frac{d}{2} \times \alpha \right] \left(-\frac{d}{4} + \frac{d}{2} \right) \quad \alpha > 20$$

Pour $\alpha = \frac{d}{2}$, $M(-\frac{d}{4}, \frac{d}{2}) = 0$

Pour $\alpha = +2,09\text{m}$, $M(-\frac{d}{4}, 2,09) = -0,272 \text{ t.m}$



Remarque: Seul les charges ou surcharges placées sur les deux porte-à-faux engendrent des efforts sur les entretoises.

Tableau récapitulatif des efforts tranchants et moments fléchissants

Effort	charge	$q = \text{t/ml}$	$q = \text{charge réel (t/ml)}$	α	Effort réel
Effort tranchant	charges permanentes	0,775	12,770	1,32	13,06 t
	surcharge trottoir	0,672	2,700	1,50	2,72 t
Moment fléchissant max	charge permanentes	+2,223	12,770	1,32	+37,47 t.m
	surcharge trottoir	+1,485	2,700	1,50	+6,01 t.m

Equations des moments fléchissants:

* C.P : $y = -0,7904x + 1,3537$

* trottoir: $y = -0,6750x + 0,7425$

Dimensionnement:

Pratiquement on peut 10 à 20% du moment sur la poutre principale la plus sollicitée par les surcharges du Concré (U.I.C). Soit:

$$0,10 M_{\max} = 0,10 \times 702,90 = 70,29 \text{ t.m} \quad ; \quad 0,10 T_{\max} = 0,10 \times 143,33 = 14,33 \text{ t.}$$

d'où le moment maximum avec lequel on dimensionnera notre entraitée:

$$M_{\max} = 37,47 + 6,01 + 70,29 = 113,77 \text{ t.m}$$

$$T_{\max} = 13,06 + 2,72 + 14,33 = 30,11 \text{ t.m}$$

a. Membre supérieure:

$$M_{\max} = 113,77 \text{ t.m}$$

z = bras de levier (entre axe des membre supérieure et inférieure).

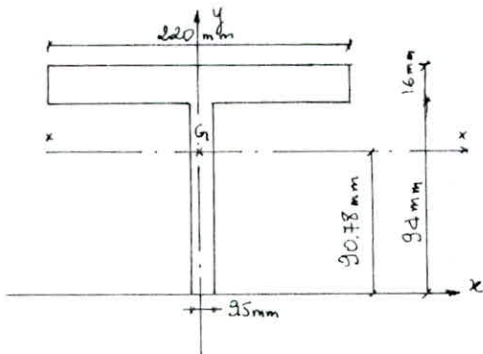
$$z = 1,50 \text{ m.}$$

$$F = \frac{M}{z} = \frac{113,77}{1,5} = 75,85 \text{ t}$$

N.B: La membre supérieure est comprimée tandis que la membre inférieure est tendue par conséquent la vérification au flambement ne sera faite que pour la membre comprimée.

choix du profilé:

On choisit un demi HEB 220 dont les caractéristiques géométriques sont:



$$A = 45,50 \text{ cm}^2 \quad ; \quad y_G = 90,87 \text{ mm.}$$

$$I_{x_G} = 2187336,86 \text{ mm}^4 \quad ; \quad I_{y_G} = 14204049,44 \text{ mm}^4$$

$$i_x = 25,19 \text{ mm} \quad ; \quad i_y = 55,87 \text{ mm}$$

Elancement λ :

$$\lambda = \frac{l}{i}$$

on suppose que la membre supérieure est articulée à ses deux extrémités. $l_f = 2,20 \text{ m}$

Dans notre cas on a deux diagonales qui sont attachées au milieu de notre membre supérieure d'où: $l_f = 1,10 \text{ m}$.

$$I_x = \frac{1,1 \cdot 10^3}{25,19} = 43,67 \quad ; \quad I_y = \frac{1,1 \cdot 10^3}{55,87} = 19,69$$

$I_x > I_y \Rightarrow$ seul le flambement dans le plan de la membre sera vérifié.

Vérification au flambement de la membre supérieure:

Contrainte critique d'Euler: $\sigma_c = \frac{\pi^2 E}{\lambda^2} = \frac{\pi^2 \times 21 \cdot 10^6}{43,67^2} = 10868,08 \text{ kg/cm}^2$

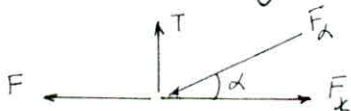
Contrainte moyenne admissible de compression: $\bar{\sigma}_m = \sigma_c (1 - 0,375 \frac{\sigma_c}{\sigma_c})$

$$\bar{\sigma}_m = 2400 (1 - 0,375 \frac{2400}{10868,08}) = 2201,25 \text{ kg/cm}^2$$

Contrainte de service: $\sigma = \frac{F}{A} = \frac{45,85 \cdot 10^3}{45,5} = 1007,91 \text{ kg/cm}^2 < \bar{\sigma}_m = 2201,25 \text{ kg/cm}^2$

b. Membre inférieure:

La membre inférieure est tendue et soumise à une force F_x .



F_x : effort ramené par la diagonale.

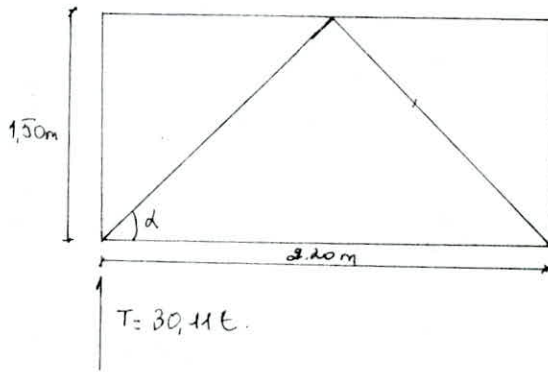
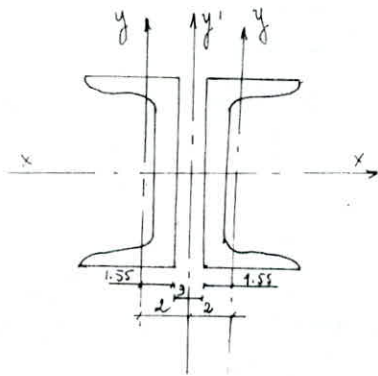
$$\alpha = \arctg \frac{1,5}{1,1} = 53,75^\circ$$

$$F_x = \frac{T}{\sin \alpha} = 37,34 \text{ t} \quad ; \quad F_x = T \cdot \cotg \alpha + F = 97,93 \text{ t}$$

d'où $\sigma = \frac{F_x}{A} = \frac{97,93 \cdot 10^3}{45,5} = 2152,25 \text{ kg/cm}^2 < 2400 \text{ kg/cm}^2$

c. Les diagonales:

Les diagonales sont soumises à la compression d'une force égale à F_x . On a choisi 2 U.P.N 100 associées l'une à l'autre et disposées de telle façon à être sollicité en compression seulement.



- Caractéristiques géométriques de UPN 100 :

UPN 100

$$I_x = 206 \text{ cm}^4$$

$$A = 40,5 \text{ cm}^2$$

$$I_y = 29,3 \text{ cm}^4$$

$$i_x = 3,91 \text{ cm}$$

$$i_y = 1,47 \text{ cm}$$

2 UPN 100

$$I_x = 412 \text{ cm}^4$$

$$A = 27 \text{ cm}^2$$

$$I_y' = 166,60 \text{ cm}^4 = 2 (29,3 + 13,5 \times 2^2)$$

$$i_x = 3,91 \text{ cm}$$

$$i_y = 2,48 \text{ cm}$$

longueur de la diagonale :

$$l_d = (\sqrt{1,5^2 + 1,1^2})^{1/2} = 1,86 \text{ m}$$

calcul de l'éclatement :

$$\lambda_x = \frac{l_d}{i_x} = \frac{186}{3,91} = 47,57$$

$\Rightarrow \lambda_y > \lambda_x$, le flambement est hors plan.

$$\lambda_y = \frac{l_d}{i_y} = \frac{186}{2,48} = 75,21$$

contrainte critique d'Euler :

$$\bar{\sigma}_c = \frac{\pi^2 E}{\lambda^2} = \frac{\pi^2 \times 2,1 \cdot 10^6}{(75,21)^2} = 3568,58 \text{ kg/cm}^2$$

$$\frac{\bar{\sigma}_c}{\bar{\sigma}_a} = \frac{3568,58}{2400} = 1,49 > 0,75 \Rightarrow \bar{\sigma}_m = \bar{\sigma}_a (1 - 0,375 \frac{\bar{\sigma}_c}{\bar{\sigma}_a})$$

$$\bar{\sigma}_m = 1794,72 \text{ kg/cm}^2$$

$$\bar{\sigma} = \frac{\bar{F}_d}{A} = \frac{37,34 \cdot 10^3}{27} = 1382,96 \text{ kg/cm}^2 < \bar{\sigma}_m$$

Assemblage de l'entretoise intermédiaire:

Les assemblages sont exécutés à l'aide des boulons à haute résistance (H.R.).

1. Attache des membrures: (supérieure).

L'effort F à considérer (de traction ou de compression) est:

$$F = \frac{M}{x} = \frac{113,77}{1,5} = 75,85 \text{ t}$$

* L'effort admissible par boulon est $\bar{F} = 10584 \text{ kg}$ (calculé chp. Assemblages boulonnés).

nombre de boulons:

$$n = \frac{\bar{F}}{F} = \frac{75850}{10584} = 7,166 \text{ on prend } n = 8 \text{ boulons.}$$

Les espacements à respecter: Art 35.2 titre V. C.P.C

$$\phi = 20 \text{ mm} \quad d = 22 \text{ mm} \quad 66 \leq s \leq 110.$$

$$33 \leq s_e \leq 55.$$

$$44 \leq s_e \leq 55.$$

2. Attache des membrures: (inférieure)

L'effort F_c à considérer est: $F_c = 97,93 \text{ t}$.

nombre de boulons:

$$n = \frac{F_c}{\bar{F}} = \frac{97,93 \cdot 10^3}{10584} = 9,25 \text{ on prend } n = 10 \text{ boulons.}$$

3. Attache de l'âme: (supérieur et inférieur).

L'effort d'axe T égale à: $T = 30,11 \text{ t}$.

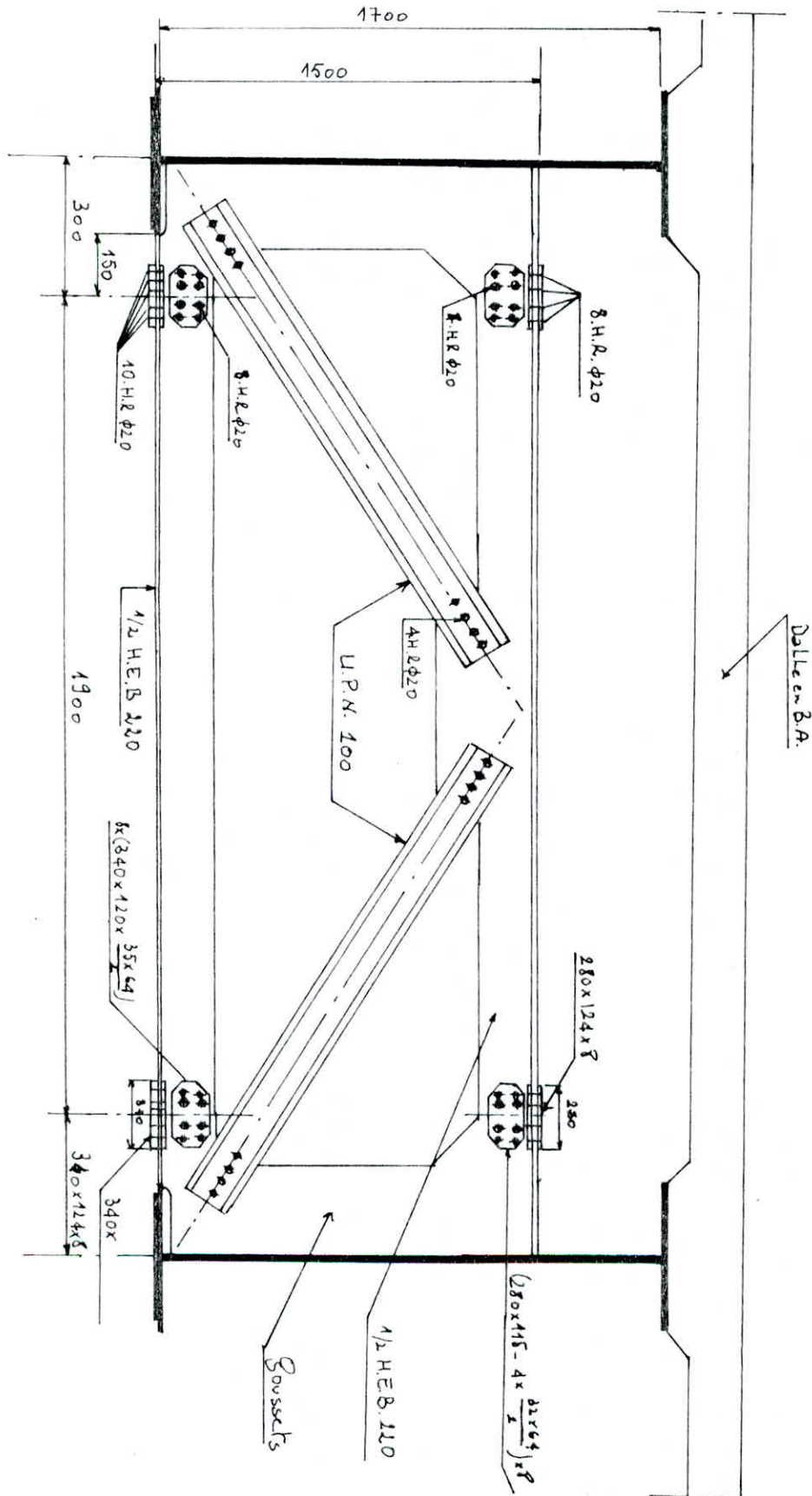
nombre de boulons:

$$n = \frac{T}{\bar{F}} = \frac{30,11 \cdot 10^3}{10584} = 2,84 \text{ on prend } n = 4 \text{ boulons.}$$

4. Attache des diagonales:

L'effort de compression dans les diagonales doit être majoré de 10% pour tenir compte des effets secondaires dus à la rigidité des attaches sur les membrures ou à un défaut de convergence des pièces dans le plan moyen des poutres (art 7 du titre V du C.P.C.).

Le nombre de boulon est: $n = \frac{1,10 \bar{F}_d}{F} = \frac{1,10 \times 37,3410^3}{10584} = 3,88 \Rightarrow n = 4$



Entretoise Intermediaire.

Dalle de Couverture

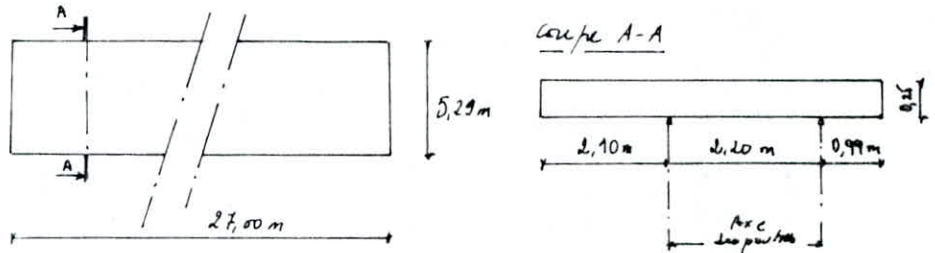
Rôle:

Elle joue un double rôle :
 - reprend les efforts locaux des surcharges.
 - constitue un élément de la section résistante.

Dimensionnement:

la dalle sera dimensionnée en flexion locale, et son ferrailage se fera conformément aux règles du C.C.B.A 68.

Schéma de la dalle:



I- Calcul des efforts internes sous l'effet des C.P et C.C.P:

I.1) Dalle centrale:

I.1.a) Evaluation des charges:

$$\text{Dalle} : 0,25 \times 2500 = 625 \text{ kg/m}^2$$

$$\text{Ballast} : 0,50 \times 1600 = 800 \text{ kg/m}^2$$

$$\text{Vie} : 150 / 2,20 = 68,18 \text{ kg/m}^2$$

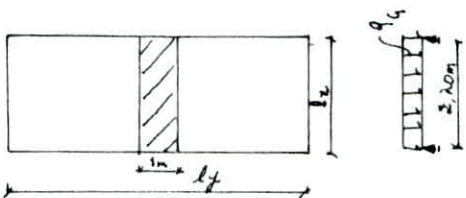
$$\text{chape et Centre} : 0,05 \times 2200 = 110 \text{ kg/m}^2$$

chape

$$\Sigma = 1603,18 \text{ kg/m}^2$$

I.1.b) Méthode de calcul:

$$j = \frac{l_x}{l_y} = \frac{2,2}{27} = 0,08 < 0,4, \text{ la dalle se calculera comme une poutre simple dans le sens de la petite portée. On choisira une bande de 1 m au milieu de notre dalle.}$$



$$q_G = 1,6 \times 1 = 1,6 \text{ t/ml}$$

Le moment isostatique: $M_{0x} = \frac{q_u \times l_x^2}{8} = \frac{1,6 \times 2,2^2}{8} = 0,968 \text{ tm/ml.}$

Moment sur appui: $M_{ax} = -0,5 M_{0x}$

Moment au travée: $M_{tx} = 0,75 M_{0x}$

l'égalité $M_t + \frac{M_w + M_c}{2} \geq 1,25 M_0$ est vérifiée.

$M_{ax} = -0,484 \text{ tm/ml}$

$M_{tx} = 0,726 \text{ tm/ml.}$

Effort tranchant:

au milieu de l_x : $T_x = \frac{1}{3} q_u l_x = 1,17 \text{ t/ml.}$

au milieu de l_y : $T_y = \frac{q_u l_x l_y}{2 l_y + l_x} = 1,69 \text{ t/ml.}$

$l_x < l_y$ ($2,20 < 2,7 \text{ m}$)

I.2) Encorbellement de 2,10 m de large:

I.2.a) Evacuation des charges:

Dalle: $2500 \times 0,25 = 625 \text{ kg/m}^2.$

Murres en B.A: $\frac{0,45(9,15+9,25)}{0,90} \times 2500 = 500 \text{ kg/m}^2$

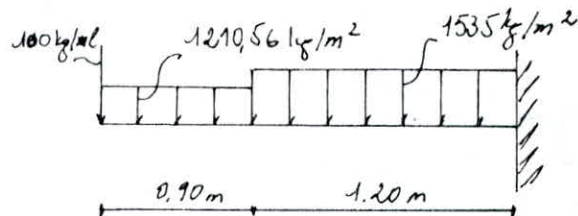
Balette en B: $\frac{0,07 \times 9,5}{0,90} \times 2200 = 85,56 \text{ kg/m}^2.$

garde corps: $= 100 \text{ kg/ml.}$

ballast: $0,5 \times 1600 = 800 \text{ kg/m}^2.$

chape et entre chape: $0,05 \times 2200 = 110 \text{ kg/m}^2.$

I.2.b) schéma de calcul:



Moment au droit de la partie ①:

$M_c = 3112,88 \text{ kg. m/ml}$ pour une bande de 1 m.

Effort tranchant:

$T_c = 3081,504 \text{ kg/ml}$

I.3) Encorbellement de 0,99m de large:

I.3-a) Évaluation des charges:

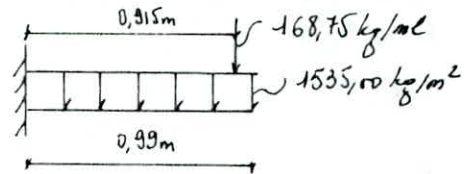
Dalle : = 625 kg/m^2 .

Murette : $0,15 \times 0,45 \times 2500 = 168,75 \text{ kg/ml}$.

chape et contre chape = 110 kg/m^2 .

Ballast : = 800 kg/m^2 .

I.3-b) schéma de calcul:



Moment au droit de la poutre (2) :

$M_{e2} = 906,63 \text{ kg.m/ml}$ pour 1 bande de 1m

Effort tranchant :

$T_{e2} = 1688,4 \text{ kg/ml}$.

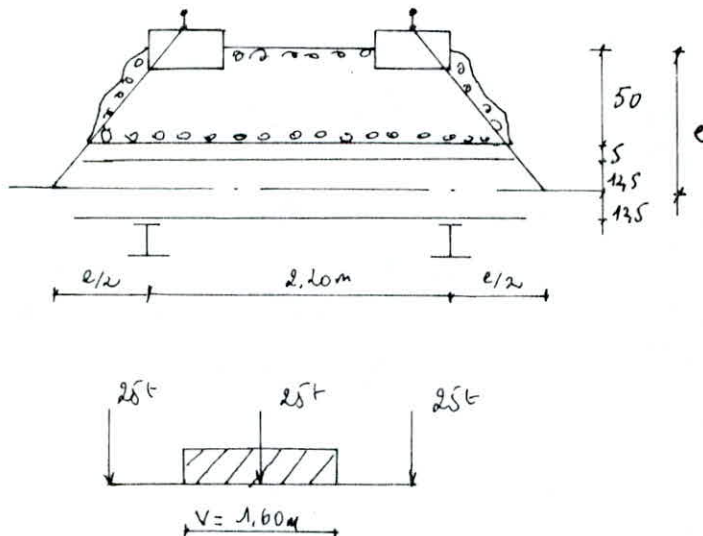
II Calcul des efforts internes sous l'effet des surcharges: (Notice SNCF EFG C1 N°1)

Le calcul de fer suivant 2 hypothèses de répartition des surcharges.

1^{re} hypothèse:

On suppose que la surcharge $P = 25t$ d'un essieu se répartit sur

une bande de $(2,20 + e)$ de largeur, transversalement et sur 1,60m longitudinalement.

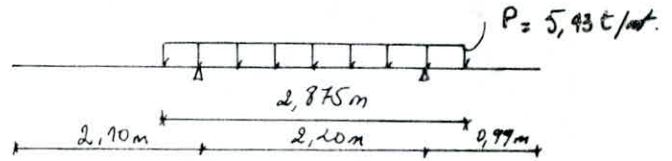


calcul de e : $e = 0,50 + 0,05 + \frac{0,25}{2} = 0,675 \text{ m}$ d'où $l = 2,20 + e = 2,875 \text{ m}$.

II-1) Évaluation de la surcharge P:

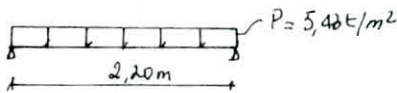
$$P = 25 / (1,6 \times 2,875) = 5,43 \text{ t/m}^2$$

II-2) schéma de calcul:



II-3) Méthode de calcul:

II-3.a) Dalle centrale: la même méthode que pour C.P et C.C.P



$$\text{Moment au travée} : M_{tx} = \frac{P l_x^2}{8} = 3,29 \text{ t.m/ml.}$$

Moment sur appui: négligeable, - c'est pour cette raison

que le moment en travée n'a pas été réduit.

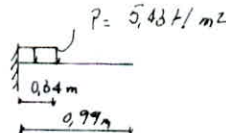
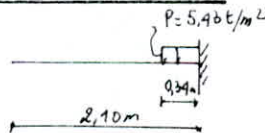
$$\text{Effort tranchant: au milieu de } l_x : T_x = \frac{P l_x}{2 l_x + v} = \frac{5,43 \times 1,6 \times 32}{2 \times 220 + 1,60} = 3,19 \text{ t/ml.}$$

$$\text{au milieu de } v : T_v = \frac{P v}{3v} = 3,98 \text{ t/ml.}$$

On majora l'effort tranchant de 25% d'où $T_x = 3,99 \text{ t/ml}$; $T_y = 4,98 \text{ t/ml}$.

II-3.b) Les encorbellements:

Schéma de calcul:



$$M_{ex} = \frac{5,43 \times 0,34^2}{2} = 0,31 \text{ tm/ml.}$$

$$T_{ex} = 5,43 \times 0,34 = 1,85 \text{ t/ml.}$$

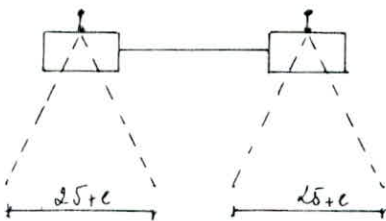
$$M_{ex} = 0,31 \text{ tm/ml}$$

$$T_{ex} = 1,85 \text{ t/ml.}$$

2^{ème} hypothèse:

On suppose que la charge d'un essai de 25 t se répartit

sur deux (02) bandes longitudinales de largeur $e + 25 \text{ cm}$. et de longueur 1,60 m.



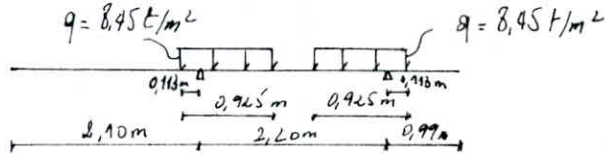
$$e = 0,675 \text{ m (calculé précédemment)}$$

$$L_1 = 25 + e = 0,925 \text{ m}$$

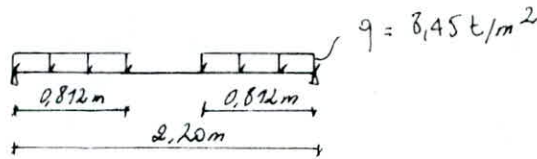
$$V = 1,600 \text{ m.}$$

Évaluation de la charge: $q = \frac{P/2}{4 \times v} = \frac{25}{2 \times 16 \times 0,925} = 8,45 \text{ t/m}^2$

Schéma de calcul:



Dalle centrale:



Remarque: Étant donné que la charge est répartie sur une faible longueur des encastements, on néglige les moments d'encastement partiels, on calculera donc uniquement la dalle centrale sous réduction du moment isostatique.

Moment en travée: $M_{tx} = q \cdot \frac{l^2}{2} = 8,45 \times \frac{0,812^2}{2} = 2,79 \text{ t.m/ml}$

Effort tranchant: On utilisera la méthode des superpositions.



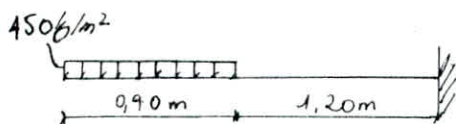
au milieu de l_x : $T_{u'} = \frac{8,45 \times 2,2 \times 1,60}{2 \times 2,2 + 1,60} - \frac{8,45 \times 0,575 \times 1,60}{3 \times 1,60} = 3,34 \text{ t/ml}$

au milieu de l_y : $T_{v'} = \frac{8,45 \times 2,2 \times 1,60}{3 \times 2,2} - \frac{8,45 \times 0,575 \times 1,60}{2 \times 1,60 + 0,575} = 2,45 \text{ t/ml}$

finalemment $T_z = 1,25 T_{u'} = 4,17 \text{ t/ml}$.

$T_y = 1,25 T_{v'} = 3,06 \text{ t/ml}$.

Calcul du moment dû à la surcharge horizontale:



Moment d'encastement: $M_c = 0,45 \times 0,90 (0,90/2 + 1,20)$

$M_c = 0,67 \text{ tm/ml}$

Effort tranchant: $T_c = 0,45 \times 0,90 = 0,405 \text{ t/ml}$.

- Calcul des coefficients de majoration dynamique :

Le fascicule 61 titre I modifié présente deux coefficients de majoration dynamique pour tenir compte des effets des oscillations résultant du passage des trains sur les ponts.

Effort tranchant: $\phi_2 = \frac{1,44}{\sqrt{5,29 - 0,2}} + 0,72 = 1,51$

Moment flechissant: $\phi_3 = \frac{2,16}{\sqrt{5,29 - 0,2}} + 0,73 = 1,76$

- Coefficient de pondération :

- Les C.P et C.C.P ne sont pas pondérées
- Les surcharges sont pondérées par $\alpha = 1,2$

Les effets pris en compte :

Moment flechissant en travée : suivant l_x : $M_{tx} = M_{cp} + 1,2 \phi_3 M_s$

suivant l_y : $M_{ty} = M_{tx} \times \frac{1}{3}$

Effort tranchant : $T = T_{cp} + 1,2 \phi_2 T_s$

Moment flechissant sur appui : suivant l_x : $M_{ax} = M_{cp} + 1,2 \phi_3 M_s$

suivant l_y : $M_{ay} = M_{ax} \times \frac{1}{3}$

Ferraillage :

1. Dalle centrale : suivant l_x $M_{tx} = 0,726 + 1,2 \times 1,76 \times 3,29 = 7,67 \text{ kNm}$

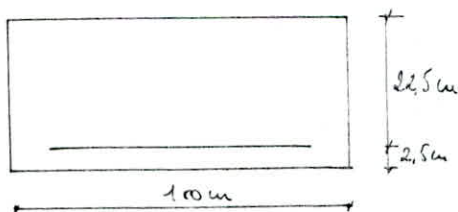
Section de calcul :

enrobage : $d = b - \frac{\phi}{2}$; $\phi \leq \frac{h_c}{10} = 2,5 \text{ cm} \rightarrow \phi = 16 \text{ mm}$

$b = \max(\phi, a) \rightarrow b = \phi = 16 \text{ cm}$

$d = 1,6 + \frac{1,6}{2} = 2,4 \text{ cm}$ ou prend $d = 2,5 \text{ cm}$

d'axe $h = 22,5 \text{ cm}$



- calcul du moment résistant de béton :

$$\bar{M}_{r_b} = \alpha \cdot \bar{\sigma}_b \cdot \bar{b}_b \cdot \frac{1}{2} \cdot b \cdot h^2 = 0,45 \times 0,85 \times 150 \times 0,5 \times 10 \times 22,5^2 = 14,81 \text{ tm/ml}$$

$$\bar{M}_{r_b} > M_{ax} = 7,67 \text{ tm/ml} \Rightarrow A' = 0.$$

- calcul de la section d'acier tendue :

$$A_s = \frac{M_{ax}}{z \cdot \bar{\sigma}_s} = \frac{7,67 \cdot 10^5}{\frac{7}{8} \times 22,5 \times 280} = 13,91 \text{ cm}^2/\text{ml} \quad \text{soit : } 7 \text{ HA } 16 = 14,07 \text{ cm}^2/\text{ml}$$

- Vérification à la nm fissuration :

$$\sigma_1 = \frac{1,5 \cdot 10^6 \times 1,6}{16} \times \frac{0,028}{1+0,28} = 3294 \text{ kg/cm}^2$$

$$\sigma_{2x}(\sigma_1, \sigma_2) = \sigma_1 = 3294 \text{ kg/cm}^2$$

$$\sigma_2 = 2,4 \left(\frac{E_c}{E_s} \bar{\sigma}_b \right)^{1/2} = 2333,07 \text{ kg/cm}^2$$

$\sigma_1 > \bar{\sigma}_2 = 2800 \text{ kg/cm}^2$ la condition est vérifiée.

- Vérification à la nm fragilité :

$$A_s \geq B_f \frac{\bar{\sigma}_{28}}{\bar{\sigma}_{su}} = 500 \times \frac{25,5}{420} = 3,04 \text{ cm}^2 \quad A_s = 14,07 \text{ cm}^2 > 3,04 \text{ cm}^2$$

la condition de nm fragilité est vérifiée.

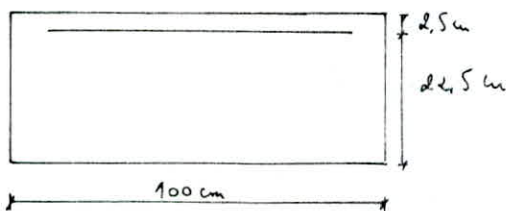
Remarque :

Les armatures suivant le sens y sont prises égales à $\frac{A_x}{3}$
 soit : $A_y = \frac{A_x}{3}$ on prend : $A_y = 5 \text{ HA } 12 = 5,65 \text{ cm}^2/\text{ml}$.

2. dalle en encorbellement (console) appui (A) :

$$\text{suivant } l_x : M_{2x} = 3,11 + 1,2 \times 1,76 (0,31 + 0,67) = 5,18 \text{ tm/ml}$$

section de calcul :



$$\bar{M}_{r_b} = 14,81 \text{ tm/ml (déjà calculé)}$$

$$M_{ax} = 5,18 \text{ tm/ml} \quad \text{donc } \bar{M}_{r_b} > M_{ax}$$

donc les armatures comprimées ne sont pas nécessaires $A' = 0$.

- Calcul des armatures tendues:

$$A_x = \frac{M_{\max}}{f_y \bar{\sigma}_s} = \frac{5,18 \cdot 10^5}{7/8 \times 22,5 \times 280} = 9,40 \text{ cm}^2/\text{ml} \text{ soit } 5 \text{ HA16/ml} = 10,05 \text{ cm}^2/\text{ml}$$

- Vérification de la non fissuration:

$$\bar{\sigma}_1 = \frac{k_x \bar{\omega} t}{1 + 10 \bar{\omega} t} = \frac{1,5 \cdot 10^6 \times 1,6}{16} \times \frac{0,02}{1 + 0,2} = 2500 \text{ kg/cm}^2$$

$$\bar{\sigma}_2 = 2333,07 \text{ kg/cm}^2 \quad f_{\text{ex}}(\bar{\sigma}_1, \bar{\sigma}_2) = \bar{\sigma}_1 = 2500 \text{ kg/cm}^2 < \bar{\sigma}_s = 2800 \text{ kg/cm}^2$$

la condition n'est pas vérifiée. soit $\bar{\sigma}_s = 2500 \text{ kg/cm}^2$.

- Nouvelle section d'armatures: $A_x = \frac{5,18 \cdot 10^5}{7/8 \times 22,5 \times 2500} = 10,52 \text{ cm}^2/\text{ml}$
soit 6 HA16/ml = 12,06 cm²/ml.

$$\bar{\sigma}_1 = \frac{1,5 \cdot 10^6 \times 1,6}{16} \times \frac{0,024}{1,24} = 2917,74 \text{ kg/cm}^2 > 2500 \text{ kg/cm}^2, \text{ la condition}$$

de non fissuration est vérifiée.

- Vérification de la non fragilité:

$$B_f \frac{G_{2T}}{G_{en}} = 500 \times \frac{25,5}{4200} = 3,04 \text{ cm}^2/\text{ml} \quad A = 12,06 \text{ cm}^2/\text{ml} > 3,04 \text{ cm}^2/\text{ml}$$

la condition de non fragilité est vérifiée.

Remarque:

les armatures suivant le sens fy sont prises égales à $\frac{A_x}{3}$

soit 3 HA16/ml = 4,02 cm²/ml.

En Résumé:

① Dalle centrale: Armatures transversales: 7 HA16 /ml.

Armatures longitudinales: 5 HA12 /ml.

② Dalle en encorbellement: (Affini ①) Armatures transversales: 6 HA16 /ml

Armatures longitudinales: 3 HA16 /ml.

Rmq: Pour des raisons de commodité et d'exécution sur chantier la dalle en encorbellement de longueur 0,99m (affini ②) sera ferrailée identiquement que celle de l'affini ①.

- Verification au poinçonnement:

On vérifie la condition suivante:

$$1,5 \frac{P}{P_c \cdot h_e} \leq 1,2 \bar{\sigma}_b \quad \text{Art 39.54 CCBA68 (révisé)}$$

avec: P : la charge concentrée appliquée ayant la plus petite surface d'impact.

P_c : périmètre du contour de la zone d'influence.

h_e : épaisseur totale de la dalle.

$\bar{\sigma}_b$: contrainte de traction de référence du béton $\bar{\sigma}_b = 6,6 \text{ kg/cm}^2$.

N.B: Il n'y a risque de poinçonnement lors du renouvellement de la voie où celle-ci peut se passer sur l'hourdis par l'intermédiaire de blocket de $0,28 \times 0,40 \text{ m}^2$.

$$P = 25^2 \times 9,5 = 12,5^t$$

$$h_e = 25 \text{ cm}$$

$$P_c = p + 4h_e = 2(28 + 40) + 4 \times 25 = 2300 \text{ cm}^2$$

$$\bar{\sigma}_b = 6,3 \text{ kg/cm}^2$$

$$1,5 \frac{12,5 \cdot 10^3}{25 \times 230} = 3,26 \text{ kg/cm}^2 < 1,2 \times 6,3 = 7,56 \text{ kg/cm}^2 \quad \text{vérifié.}$$

Pas de risque de poinçonnement

- Verification de la résistance au cisaillement:

$$T = T_{cp} + 1,2 \psi T_s \quad \text{d'où } T_x = 3,03 + 1,2 \times 1,51 \times (4,17 + 0,405) = 11,32 \text{ t/m}^2$$

$$T_y = 3,03 + 1,2 \times 1,51 \times (4,98 + 0,405) = 12,79 \text{ t/m}^2$$

$$\text{On vérifie } \bar{\tau}_b = \frac{T}{b \cdot z} \leq 1,15 \bar{\sigma}_b \quad \text{Art. 27.2 CCBA68}$$

$$\text{Suivant } l_x: \quad \bar{\tau}_b^x = \frac{11,32 \cdot 10^3}{100 \times \frac{7}{8} \times 225} = 5,74 \text{ kg/cm}^2 < 1,15 \bar{\sigma}_b = 7,245 \text{ kg/cm}^2$$

$$\text{suivant } l_y: \quad \bar{\tau}_b^y = \frac{12,79 \cdot 10^3}{100 \times \frac{7}{8} \times 211} = 6,93 \text{ kg/cm}^2 < 1,15 \bar{\sigma}_b = 7,245 \text{ kg/cm}^2$$

Conclusion: Pas de risque de cisaillement.

- Vérifier la limite de la flèche:

selon l'art 61.22 des règles CCBAG8:

si la condition suivante est vérifiée, il n'y a pas lieu de faire le calcul de la

flèche: $\frac{h_0}{l_x} > \frac{1}{20} \frac{M_t}{M_x}$

$h_0 = 25 \text{ cm}$ épaisseur de l'hourdis.

$l_x = 220 \text{ cm}$

$M_t = 0,75 M_x$

M_x = moment au travée suivant l_x .

$\frac{h_0}{l_x} = \frac{25}{220} = 0,114$

$\frac{1}{20} \frac{M_t}{M_x} = \frac{1}{20} \times 0,75 = 0,0375$

} $\Rightarrow \frac{h_0}{l_x} > \frac{1}{20} \frac{M_t}{M_x}$ vérifiée.

- Vérifier la limite de la sollicitation du 2^{ème} genre:

les sollicitations sont: $Sp_2 = G + 1,5P$ et $Sp_2'' = G + P + SI$

avec $SI = 10\%$ ($C_p + c_c p$) (document SETRA).

Il faut vérifier que $\bar{\sigma}_2 \leq \bar{\sigma}_{2u}$ art 10.42 CCBAG8.

$\bar{\sigma}'_b \leq 1,5 \bar{\sigma}'_b$ art 9.47 CCBAG8.

En travée: $Sp_2 : M = 0,726 + 1,5 \times 1,76 \times 3,29 = 9,41 \text{ tm/ml}$

$Sp_2'' : M = 0,726 + 1,76 \times 3,29 + 10\% \times 0,726 = 6,59 \text{ tm/ml}$

d'où $M_{max} = 9,41 \text{ tm/ml}$

Déterminer l'axe neutre: $\frac{bx^2}{2} - nA(h-x) = 0$ $\left\{ \begin{array}{l} b = 100 \text{ cm} \\ n = 15 \\ A = 14,07 \text{ cm}^2 \end{array} \right. \Rightarrow x = 7,86 \text{ cm}$

$\bar{\sigma}_a = n \frac{M_{max}}{I} (h-x)$

$I = \frac{bx^3}{3} + nA(h-x)^2 = 61420,52 \text{ cm}^4$

$\bar{\sigma}_a = 15 \frac{9,41 \cdot 10^5}{61420,52} (22,5 - 7,86) = 3386 \text{ kg/cm}^2 < \bar{\sigma}_{2u} = 4200 \text{ kg/cm}^2$ vérifiée

$\bar{\sigma}'_b = \frac{M_{max}}{I} x = \frac{9,41 \cdot 10^5}{61420,52} \times 7,86 = 121,19 \text{ kg/cm}^2 < 1,5 \bar{\sigma}'_b = 229,5 \text{ kg/cm}^2$ vérifiée

sur appui: $S_2^P: M = 3,11 + 15 \times 1,76 (0,31 + 0,67) = 5,70 \text{ tm/ml.}$

$S_2^{P''}: M = 3,11 + 176 (0,31 + 0,67) + 0,311 = 5,15 \text{ tm/ml.}$

donc $M_{\max} = 5,70 \text{ tm/ml.}$

- calcul de l'axe neutre: $\frac{bx^2}{2} - nA(h-x) = 0$ $\left\{ \begin{array}{l} b = 100 \text{ cm} \\ n = 15 \\ A = 12,06 \text{ cm}^2 \end{array} \right. \Rightarrow x = 8,39 \text{ cm}$

$\bar{\sigma}_a = n \frac{M_{\max}}{I} (h-x)$; $I = 54754,43 \text{ cm}^4$

$\bar{\sigma}_a = 2359,45 \text{ kg/cm}^2 < \bar{\sigma}_{ca} = 4200 \text{ kg/cm}^2$ vérifiée

$\bar{\sigma}'_a = \frac{M_{\max}}{I} x = 76,93 \text{ kg/cm}^2 < 1,5 \bar{\sigma}_s = 229,5 \text{ kg/cm}^2$ vérifiée.

- vérification de l'adhérence:

On vérifie $\tau_b = \frac{T}{P_{23}} < \bar{\tau}_d$

$\bar{\tau}_d = 1,25 \bar{\sigma}_s^2 \bar{\sigma}_s = 17,72 \text{ kg/cm}^2.$

T: effort tranchant max: 12,79 t/ml.

$\tau_b = \frac{12,79 \cdot 10^3}{50,27 \times \frac{\pi}{4} \cdot 16^2} = 12,92 \text{ kg/cm}^2$

P_{23} : périmètre utile des barres tendues:

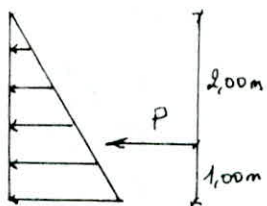
$\phi 16 \rightarrow P_{23} = 50,27 \text{ cm.}$

$\tau_b = 12,92 \text{ kg/cm}^2 < \bar{\tau}_d = 17,72 \text{ kg/cm}^2$

l'adhérence est vérifiée.

- calcul de la muraille garde ballast:

on suppose une hauteur fictive de 3,00 m de ballast sollicitant la muraille et cela pour tenir compte des pressions supplémentaires sur la muraille lors du passage des trains.



$\sigma_H = k_a \sigma_v$; $k_a = \tan^2 \left(\frac{\pi}{4} - \frac{\phi}{2} \right)$; $\sigma_v = \gamma \cdot z$

$\phi = 40^\circ$; $\gamma = 1,6 \text{ t/m}^3$

donc $\sigma_H = 4,04 \text{ t/m}^2$

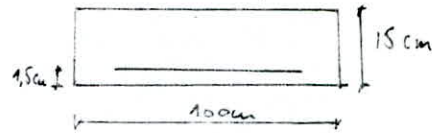
$c = 0$; $h = 3,00 \text{ m}$

$P = \frac{1}{2} \sigma_H \cdot h = \frac{1}{2} \times 4,04 \times 3 = 6,06 \text{ t/ml.}$

soit M le moment à la base de la muraille: $M = P \times 1 \text{ m} = 6,06 \text{ tm/ml.}$

Fermeture:

Section de calcul:



- Calcul des armatures tendues:

$$A = \frac{M}{\sigma_s \times k \times \bar{\sigma}_s} = \frac{1,56 \cdot 10^5}{\frac{7}{8} \times 135 \times 270} = 9,7 \text{ cm}^2/\text{ml} \quad \text{soit } 7T10 = 5,49 \text{ cm}^2/\text{ml}.$$

$$\bar{M}_{rb} = k \bar{b} h^2 = 23,26 \times 10 \times 13,5^2 = 5,33 \text{ tm/ml} > M = 1,56 \text{ tm/ml}$$

donc pas besoin d'armatures comprimées.

- Vérification à la non fissuration:

$$\sigma_1 = \frac{k \eta}{\phi} \frac{\bar{\omega}_f}{1 + 10 \bar{\omega}_f} \quad \bar{\omega}_f = \frac{A}{B_f} = \frac{5,49}{300} = 0,018$$

$$k = 1,5 \cdot 10^6; \quad \eta = 1,6; \quad \phi = 10 \text{ mm}$$

$$\sigma_1 = 3712,595 \text{ kg/cm}^2 > \bar{\sigma}_a = 2800 \text{ kg/cm}^2 \quad \text{la non fissuration est vérifiée}$$

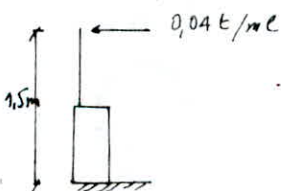
- Vérification à la non fragilité:

$$A = 5,49 \text{ cm}^2; \quad B_f \frac{\bar{\sigma}_s}{\bar{\sigma}_{ac}} = 300 \times \frac{28,5}{420} = 4,82 \text{ cm}^2$$

$$A = 5,49 \text{ cm}^2 > 4,82 \text{ cm}^2 \quad \text{la condition est vérifiée.}$$

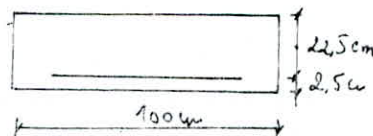
- Calcul du mur garde corps:

Les gardes corps de trottoir de service sont à calculer sous une charge horizontale de 40 kg/ml appliquée à la hauteur de la main courante (art. 4-24 du classement des charges UIC 476-1)



$$\text{Moment à la base: } M = 0,04 \times 1,5 = 0,06 \text{ tm/ml}$$

Section de calcul:



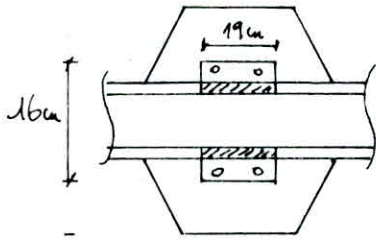
$$\text{Armatures tendues: } A = \frac{0,06 \cdot 10^5}{\frac{7}{8} \times 22,5 \times 270} = 9,11 \text{ cm}^2/\text{ml},$$

on fera notre mur avec la condition de non fragilité soit 2T16/ml.

Pour le mur gauche corps, on releva de 90° les barres transversales de l'entier -
- bellement.

- Ferraillage des dalles: Le ferraillage des dalles est composé d'un maillage
soué de T6 ou T8 posé forfaitairement vu les faibles dimensions des dalles.

- Vérification du bloc de béton sous rail à la compression:



La charge reprise par le bloc est:

$$P = \frac{2S}{2} = 12,5 \text{ t.}$$

$$\sigma' = \frac{12,5 \cdot 10^3}{16 \cdot 19} = 41,12 \text{ kg/cm}^2 < \bar{\sigma}_{20} = 70,5 \text{ kg/cm}^2.$$

Répartition des efforts horizontaux

Sur les appuis.

L'effort horizontal se distribue sur les appuis proportionnellement aux rigidités.

Soit k la rigidité de la pile ou de la culée : $k = \frac{1}{\sum f_i}$

f_i : déplacement "i" dû à un effort $H = 1t$.

Rigidité de la pile :

$$k_p = \frac{1}{f_{ap} + f_{fut} + f_{semelle}}$$

avec $\left\{ \begin{array}{l} f_{ap} : \text{déplacement de l'appareil d'appui} \\ \text{dû à } H=1t. \\ f_{fut} : \text{déplacement du fût dû à } H=1t. \\ f_{semelle} : \text{déplacement de la semelle dû à } H=1t. \end{array} \right.$

L'effort reçu par la pile est :

$$H_{p_i} = \frac{H \cdot k_{p_i}}{k_c + \sum_{i=1}^n k_p}$$

Rigidité de la culée :

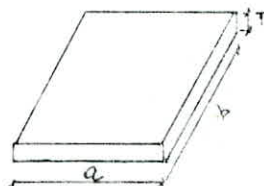
$$k_c = \frac{1}{f_{ap} + f_{fut} + f_{semelle}}$$

L'effort reçu par la culée est :

$$H_c = \frac{H \cdot k_c}{k_c + \sum_{i=1}^n k_p}$$

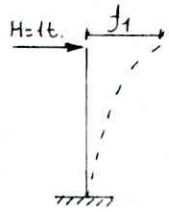
- Calcul de la rigidité de la pile 1 :

1. appareil d'appui : soit f_0 le déplacement engendré par un effort horizontal unitaire de l'appareil d'appui.



$$f_0 = \frac{T}{6 \times a \times b} = \frac{8}{11,23 \times 50 \times 80} = 4,7809 \cdot 10^{-4} \text{ cm/kg}$$

2. Le fût: Le fût est supposé encasturé d'un côté et libre de l'autre côté.



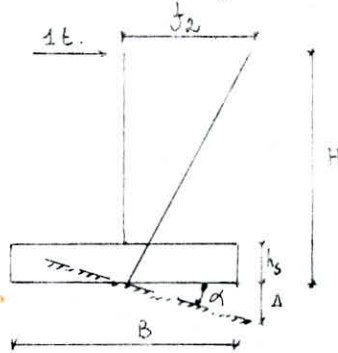
$$f_1 = \frac{l^3}{3EI}$$

$$l = 17,00 + 1,80 = 18,8 \text{ m} ; I = \frac{\pi(D^4 - d^4)}{64}$$

$$D = 2,50 \text{ m} ; d = 2,00 \text{ m} \Rightarrow I = 1,13 \cdot 10^8 \text{ cm}^4$$

$$E = 21000 \sqrt{\sigma_y} = 4,40 \cdot 10^5 \text{ kg/cm}^2$$

d'où $f_1 = 44,47 \cdot 10^{-6} \text{ cm/kg}$.



3. La Semelle:

σ_s : contrainte dans le sol.

c : coefficient de réaction du sol.

$$\Delta = \frac{\sigma_s}{c} ; \sigma_s = \frac{M}{W} ; W = \frac{B^2 \cdot h_s}{6} ; h_s \alpha \approx \alpha = \frac{\Delta}{B/2} \Rightarrow \Delta = \frac{B \cdot \alpha}{2} = \frac{\sigma_s}{c} = \frac{M}{c \cdot W}$$

d'où $\alpha = \frac{2M}{c \cdot B \cdot W} \quad M = 1 \times H \Rightarrow \alpha = \frac{12H}{h_s \cdot B^3 \cdot c}$

$$f_2 = \alpha \cdot H \Rightarrow f_2 = \frac{12 \cdot H^2}{h_s \cdot B^3 \cdot c}$$

A.N $h_s = 150 \text{ cm} ; b = 830 \text{ cm} ; H = 2230 \text{ cm} ; c = E_p \cdot \lambda$

$E_p = \text{modèle pressiométrique} = 2400 \text{ T/m}^2$

$$\lambda = \frac{1}{4 \cdot d \cdot R_0} \left(\frac{2R + 0,3}{4R} \right)^2$$

$l_0 = \text{rayon de référence} = 0,16 \text{ m}$

$\alpha = \text{coefficient de structure} = \frac{1}{2}$ pour limons, argiles sableuses et sables argileux.

$R = \text{demi-largeur de la semelle} = 4,15 \text{ m}$.

$\lambda = 0,84 \text{ m}^{-1} \Rightarrow c = 2400 \times 0,84 = 2016 \text{ t/m}^3 \Rightarrow c = 2,02 \text{ kg/cm}^3$

finalement $f_2 = \frac{12 \times 2230^2}{150 \times 830^3 \times 2,02} \Rightarrow f_2 = 345,12 \cdot 10^{-6} \text{ cm/kg}$

Rigidité de la pile : $k_{p1} = \frac{1}{f_0 + f_1 + f_2} = \frac{1}{(178,09 + 44,47 + 345,12) \cdot 10^{-6}}$

$k_{p1} = 1761,54 \text{ kg/cm}$

Calcul de la rigidité de la culée 2:

Nous supposons que la culée est beaucoup plus rigide que la pile.

$$\text{d'où } f_{\text{tête}} = 0 \text{ et } f_{\text{semelle}} = 0 \Rightarrow k_c = \frac{1}{f_{\text{app}}}$$

$$f_{\text{app}} = \frac{T.H}{G.a.b} = \frac{8 \times 1}{11,23 \times 40 \times 60} = 296,82 \cdot 10^{-6} \text{ cm/kg.}$$

$$k_c = \frac{1}{296,82 \cdot 10^{-6}} \Rightarrow k_c = 3369,00 \text{ kg/cm.}$$

Calcul de la rigidité de la pile 0:

Seul le déplacement de l'appareil d'appui change par rapport à celui de la pile numéro 1.

$$f_0 = \frac{T.H}{G.a.b} = \frac{8 \times 1}{11,23 \times 40 \times 60} \Rightarrow f_0 = 296,82 \cdot 10^{-6} \text{ cm/kg.}$$

$$\text{d'où } k_{p_0} = \frac{1}{(296,82 + 44,47 + 345,12) \cdot 10^{-6}} \Rightarrow k_{p_0} = 1456,86 \text{ kg/cm.}$$

Répartition des efforts statiques sur les appuis:

$$\text{- sur la pile 1 : } H_{p_1} = \frac{H \cdot k_{p_1}}{k_{p_1} + k_{p_0} + k_c} = \frac{H \times 1761,54}{1761,54 + 1456,86 + 3369} = 27\% H.$$

$$\text{- sur la pile 0 : } H_{p_2} = \frac{H \cdot k_{p_0}}{k_{p_1} + k_{p_0} + k_c} = \frac{H \times 1456,86}{1761,54 + 1456,86 + 3369} = 22\% H.$$

$$\text{- sur la culée 2 : } H_c = \frac{H \cdot k_c}{k_{p_1} + k_{p_0} + k_c} = \frac{H \times 3369}{1761,54 + 1456,86 + 3369} = 51\% H.$$

Répartition des efforts dynamiques sur les appuis:

La répartition des efforts dynamiques diffère de celle des efforts statiques à cause du module transversal de l'appareil d'appui qui double sa valeur "2G".

$$\text{d'où } f_{\text{app}} = \frac{H \times T}{2 \times G \times a \times b}$$

- Calcul de la rigidité de la pile 1 :

$$f_0 = \frac{H \cdot T}{2 \cdot G \cdot a \cdot b} = \frac{1 \times 8}{2 \times 11,23 \times 50 \times 80} = 89,05 \cdot 10^{-6} \text{ cm/kg.}$$

$$f_1 = 44,47 \cdot 10^{-6} \text{ cm/kg} \quad ; \quad f_2 = 345,12 \cdot 10^{-6} \text{ cm/kg.}$$

$$k_{p_1} = 2089,25 \text{ kg/cm.}$$

- Calcul de la rigidité de la pile 0 :

$$f_0 = 148,41 \cdot 10^{-6} \text{ cm/kg} \quad ; \quad f_1 = 14,47 \cdot 10^{-6} \text{ cm/kg} \quad ; \quad f_2 = 345,12 \cdot 10^{-6} \text{ cm/kg.}$$

$$k_{p_0} = 1858,74 \text{ kg/cm.}$$

- Calcul de la rigidité de la culée 2 :

$$f_0 = 148,41 \cdot 10^{-6} \text{ cm/kg.}$$

$$k_c = 6738,09 \text{ kg/cm.}$$

Distribution des efforts dynamiques sur les éléments :

$$\text{- sur la pile 1 : } H_{p_1} = \frac{H \times 2089,25}{2089,25 + 1858,74 + 6738,09} = 20\% H.$$

$$\text{- sur la pile 0 : } H_{p_0} = \frac{H \times 1858,74}{2089,25 + 1858,74 + 6738,09} = 17\% H.$$

$$\text{- sur la culée 2 : } H_c = \frac{H \times 6738,09}{2089,25 + 1858,74 + 6738,09} = 63\% H.$$

Etude des appareils d'appui

Introduction :

Il existe plusieurs types d'appareils d'appui, les plus couramment utilisés sont ceux en élastomère fretté ou non du fait qu'ils présentent une résistance aux charges normales importantes tout en permettant des déplacements tangentiels et des rotations notables.

Choix de l'appareil d'appui :

On a opté pour les appareils d'appui en élastomère fretté, car ils sont utilisés pour des charges concentrées importantes et leur déformabilité n'a que peu d'influence sur l'excentricité des charges normales, même lorsqu'il y a rotation.

Rôle de l'appareil d'appui :

Les appareils d'appui sont placés entre la structure et ses supports, ils sont destinés à transmettre les charges normales à leur plan et à absorber respectivement par rotation et distorsion, les déformations et les translations du tablier. Dans notre cas ils sont utilisés comme appuis semi-mobiles, de ce fait on a opté pour le type S.T.U.P dont la partie en contact avec la structure est une frette métallique.

Matériaux constituant l'appareil d'appui :

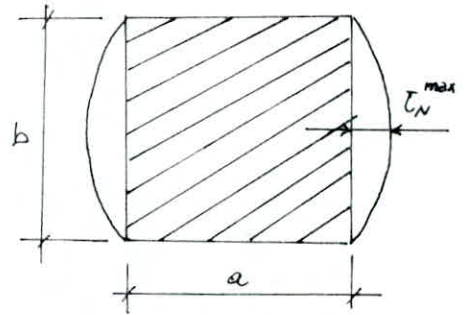
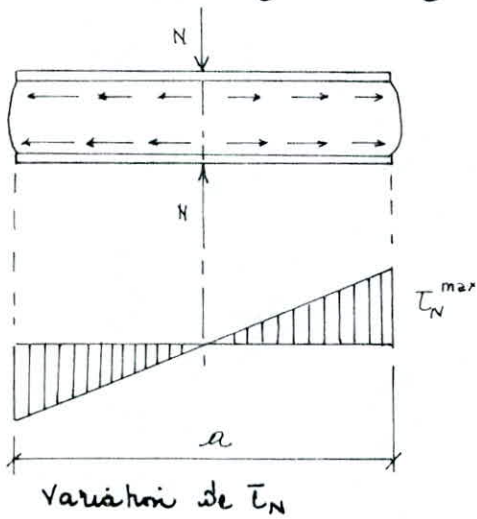
- Elastomère : L'élastomère utilisé pour la fabrication d'appareils d'appui peut être d'origine synthétique ou végétale, généralement celui d'origine synthétique est préférable pour ses qualités de résistance au vieillissement, à l'ozone de l'atmosphère et à la combustion, sa inertie chimique lui permet de résister à la dégradation dues aux matières organiques et chimiques sans perdre son pouvoir d'élasticité.

- Frettes : Les frettes sont en acier doux de qualité E24, ils sont solidarisés au neoprène par vulcanisation, le collage n'étant pas admis.

- Dimensionnement : basé sur la limitation des contraintes de cisaillement qui se développent dans l'élastomère au niveau des plans de frettage.

Compression:

Sous un effort normal, les contraintes de cisaillement τ_N apparaissent au niveau du plan de frottement et atteignent leur maximum au milieu des grands côté.



Distribution des contraintes τ_N le long du côté b .

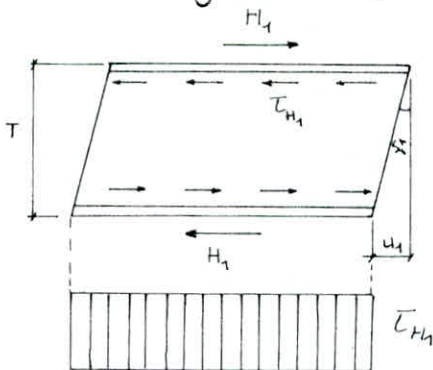
$$\tau_N = \frac{1,5 \beta m}{\beta} ; \quad \beta = \frac{a \times b}{2(a+b)t} ; \quad \beta m = \frac{N}{a \times b}$$
 au milieu du côté b , dans le cas général où $a < b$.

Distorsion:

Dans le cas d'une distorsion, la distribution des contraintes au niveau du plan de frottement est uniforme.

Deux cas se présentent:

1. la déformation u_1 de l'appareil est lente (dilatation, retrait, fluage) et connue.

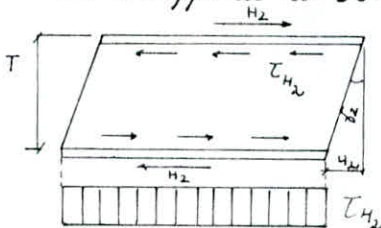


$tg \delta_1 = \frac{u_1}{T}$

$\tau_{H_1} = G \cdot tg \delta_1 = G \cdot \frac{u_1}{T}$

$H_1 = a \times b \times \tau_{H_1} = G \cdot a \cdot b \cdot \frac{u_1}{T}$

2. L'appareil est soumis à un effort dynamique H_2 (freinage, vent, force centrifuge).



$\tau_{H_2} = \frac{H_2}{a \times b}$

; or pour un effort dynamique, le module d'élasticité vaut deux fois G correspondant à un effort statique.

$\log \delta_2 = \frac{E_{H_2}}{2 \times G}$, la déformation est la moitié de celle que créerait un effort statique de même valeur:

$$\frac{U_2}{T} = \log \delta_2 = \frac{H_2}{2 G a \times b}$$

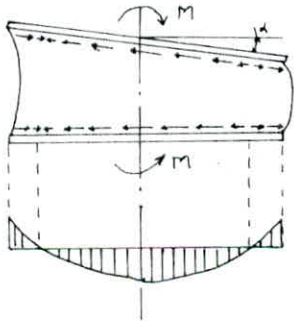
C'est pourquoi dans les spécifications concernant les appareils d'effort on introduit une contrainte conventionnelle de calcul qui, sous effort statique seul, correspondrait à la même déformation totale: $U = U_1 + U_2$.

Cette contrainte conventionnelle de calcul vaut:

$$\bar{T}_H = G \cdot \log \delta = \bar{T}_{H_1} + 0,5 \bar{T}_{H_2} = G \cdot \frac{U_1}{T} + \frac{H_2}{a \times b \times 2}$$

Rotation:

lorsqu'une frette, solidaire d'un feuillet, accomplit une rotation par rapport à l'autre frette solidaire du même feuillet, la répartition des contraintes de cisaillement s'établit comme suit.



variation de τ_d

$$\tau_d = \frac{G}{2} \left(\frac{a}{t} \right)^2 \alpha t \quad ; \quad \alpha t = \frac{\alpha_T}{n} \rightarrow \text{angle de rotation exprimé en rad, d'un feuillet élémentaire.}$$

$$\alpha_T = \alpha_0 + \alpha \quad \alpha: \text{rotation calculée.}$$

α_0 : tient compte des défauts de pose.

Prescriptions:

1) limitation de la contrainte de cisaillement:

$$\tau = \bar{\tau}_N + \bar{\tau}_H + \tau_d < 0,5 G \quad \bar{\tau}_{H_1} \leq 0,5 G \quad \text{et} \quad \bar{\tau}_H \leq 0,7 G$$

2) limitation de la contrainte moyenne:

$$\bar{\sigma}_m = \frac{N}{a \times b} \leq \bar{\sigma} \quad \bar{\sigma}: \text{fixé par le maître d'œuvre} = 153 \text{ kg/cm}^2$$

3) Condition de non-cheminement et de non-glissement:

Les 2 conditions suivantes doivent être remplies, pour les combinaisons d'actions les plus défavorables:

$$\sigma_{m, \text{mini}} = \frac{N}{a \times b} \geq 2 \text{ MPa} = 20 \text{ bars.}$$

$$H < f \cdot N \quad H \text{ et } N \text{ sont concomitants}$$

N: Valeur minimale de l'effort normal.

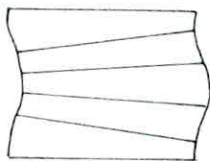
$$f: \text{Coefficient de frottement} : f = 0,12 + \frac{0,20}{\sigma_m}$$

lorsque les faces de l'appareil, en contact avec la structure, sont des frettes métalliques. (notre cas).

N.B: Lorsque $10 \leq \sigma_{m, \text{mini}} \leq 20$ bars ou $H > f \cdot N$, il convient d'éviter le déplacement de l'appareil, en l'équipant de dispositifs appropriés tels que des butées.

4) Conditions de non-flambement:

En fonction de leurs dimensions les appareils d'appui peuvent se déformer par instabilité élastique. Il faut vérifier les deux conditions suivantes:



$$T \leq \frac{a}{5}$$

$$a/10 \leq T \leq a/5$$

Déformation par instabilité élastique.

5) Condition de non-travail:

Dans tous les cas de sollicitation, on doit avoir:

$$\alpha_t \leq \frac{3}{\beta} \frac{t^2}{a^2} \frac{\sigma_m}{G}$$

6) Dimensionnement des frettes:

$$t_s \geq \frac{a}{\beta} \frac{\sigma_m}{\sigma_e} \quad ; \quad t_s \geq 2 \text{ mm.}$$

Sollicitations :

Pour la détermination des appareils d'appui, on considère les sollicitations de calcul vis à vis des états limites d'utilisation : $G + 1,2 P$.

Inventaire des réactions d'appui (au niveau des appuis 0, 1 et 2) respective-

-ment pile, pile et culée :

- charges	- Coefficients				Réactions non Pondérées		Réactions Pondérées	
	ψ	ϕ	α	α'	$R_0 = R_2 (t)$	$R_1 (t)$	$R_0 = R_2 (t)$	$R_1 (t)$
Balle + oss métallique	0,71	/	/	/	45,83	152,81	32,54	108,50
C. C. P	0,70	/	/	/	55,49	184,95	38,84	123,47
Dénivellatin aller	/	/	/	/	-18,68	37,36	-18,68	37,36
Dénivellatin retour	/	/	/	/	36,21	-72,42	36,21	-72,42
Retrait + ΔT^2	/	/	/	/	-24,55	49,10	-24,55	49,10
Surcharges de halloin	1,75	/	1,2	/	6,38	18,23	13,40	38,28
Surcharges $_{max}$	0,50	$\begin{matrix} 1,11 \\ 1,02 \end{matrix}$	1,2	1,5	$\begin{matrix} 1,11 \\ 144,08 \end{matrix}$	$\begin{matrix} 1,02 \\ 318,47 \end{matrix}$	143,94	232,36
U. I. C $_{min}$	0,50	$\begin{matrix} 1,11 \\ - \end{matrix}$	1,2	1,5	$\begin{matrix} 1,11 \\ - 18,26 \end{matrix}$	0	-18,24	0
N max							221,70	582,65
N min							59,52	290,29

ψ : - coefficient de répartition

ϕ : " de majoration dynamique

α : " de pondération des surcharges

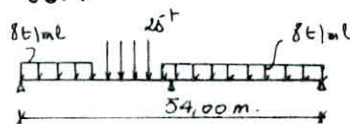
α' : " tenant compte du phénomène de fatigue.

Effort de freinage:

D'après le titre I du C.P.C, l'effort de freinage est égal à $\frac{1}{7}$ de la force verticale du schéma de charges rattachées sur l'ensemble de la travée chargée.

La charge verticale due aux convois u.I.c est:

$$P = 25 \times 4 + 8 (54 - 4 \times 4,6) = 480,8 \text{ t}$$



d'où $F = \frac{1}{7} \cdot P = 68,69 \text{ t}$.

L'effort revenant à chaque appui:

Pile: $20\% \times 68,69 = 13,74 \text{ t} = F_p$

Culée: $60\% \times 68,69 = 41,21 \text{ t} = F_c$

L'effort revenant à chaque appareil d'appui:

Pile: $F_{pa} = \frac{F_p}{2} = 6,87 \text{ t}$.

Culée: $F_{ca} = \frac{F_c}{2} = 20,61 \text{ t}$.

Dilatation:

Recherche du point fixe:

Le point fixe est un point quelconque sur le tablier qui ne subit pas de déformation (causés essentiellement au retrait, ΔT°)

soit x_0 , l'abscisse de ce point par rapport à la pile 0

$$x_0 = \frac{\sum k_i x_i}{\sum k_i} = \frac{0 + 1761,54 \times 270 + 3369 \times 540}{1761,54 + 3369 + 145696} = 35 \text{ m}$$

Calcul des déplacements horizontaux dus au retrait et ΔT° :

1. Action du retrait:

$$\epsilon_r = \frac{\Delta l}{l} = 4 \cdot 10^{-4}$$

-culée (2):

$$\Delta l_c = 4 \cdot 10^{-4} \times 49 \cdot 10^3 = \Delta l_c = 7,6 \text{ mm}$$

Pile 0 :

$$\Delta l_0 = 4 \cdot 10^{-4} \times 35 \cdot 10^3 = 14 \text{ mm.}$$

Pile 1 :

$$\Delta l_1 = 4 \cdot 10^{-4} \times 8 \cdot 10^3 = 3,2 \text{ mm.}$$

2. Difference de température :

$$\epsilon_T = \frac{\Delta l}{l} = \pm 10^{-4}$$

Case 2 :

$$\Delta l_2 = \pm 10^{-4} \times 19 \cdot 10^3 = \pm 1,9 \text{ mm.}$$

Pile 0 :

$$\Delta l_0 = \pm 10^{-4} \times 35 \cdot 10^3 = 3,5 \text{ mm.}$$

Pile 1 :

$$\Delta l_1 = \pm 10^{-4} \times 8 \cdot 10^3 = \pm 0,8 \text{ mm.}$$

Rotation :

-charges	ψ	ϕ	α	α'	non pondérées, non réparties		Pondérées et réparties	
					$\theta_0 = \theta_a \cdot 10^{-3}$	$\theta_1 \cdot 10^{-3}$	$\theta_0 = \frac{\theta_a}{10}$	$\theta_1 \cdot 10^{-2}$
C.P	0,71	/	/	/	-2,43	0	-1,73	0
C.C.P	0,70	/	/	/	-1,51	0	-1,06	0
Dénivellement	/	/	/	/	-1,43	2,62	-1,43	2,62
retrait + ΔT	/	/	/	/	-1,89	0	-1,89	0
houille	1,75	/	1,2	/	-0,103	0,072	-2,16	0,15
concr. U.I.C	0,5	1,03	1,2	1,5	-0,21	0,28	-0,19	0,26
Totaux							-8,46	3,03

Dimensionnement:

Nous utilisons les appareils d'appui en élastomère fretté de type S.T.U.P.

avec $G = 11,23 \text{ kg/cm}^2$. Les faces de l'appareil en contact avec la structure sont des facettes métalliques.

Appareil d'appui sur axe 2:

Aire de l'appareil d'appui:

$$\bar{\sigma}_m = \frac{N_{\max}}{a \times b} \leq \bar{\sigma} \quad \text{d'où} \quad a \times b \geq \frac{N_{\max}}{\bar{\sigma}} = \frac{221,70 \cdot 10^3}{153} = 1449,02 \text{ cm}^2.$$

On choisit $a \times b = 40 \times 60 \text{ cm}^2$.

Dimensions en hauteur:

$$\frac{a}{10} \leq T \leq \frac{a}{5} \quad \text{d'où} \quad 4 \leq T \leq 8 \quad T = n t \quad t: \text{épaisseur d'un feuillet d'élastomère.}$$

On prend $t = 20 \text{ mm}$ d'où $4 \leq n \times 2 \leq 8$

On choisit $n = 4$.

Conclusion:

$$a \times b = 2400 \text{ cm}^2.$$

$$t = 20 \text{ mm.}$$

$$T = 80 \text{ mm}$$

$$n = 4$$

Vérifications:

$$\bar{\sigma}_m^{\max} = \frac{N_{\max}}{a \times b} = \frac{221,70 \cdot 10^3}{2400} = 92,38 \text{ kg/cm}^2 < \bar{\sigma} = 153 \text{ kg/cm}^2.$$

Contrainte de cisaillement due à l'effort normal (τ_N):

$$\tau_N = \frac{1,5 \bar{\sigma}_m}{\beta} \quad ; \quad \beta = \frac{a \times b}{2t(a+b)}$$

$$\beta = \frac{2400}{2 \times 20 (40+60)} = 6 \quad \text{d'où} \quad \tau_N = \frac{1,5 \times 92,38}{6} = 23,10 \text{ kg/cm}^2$$

- Contrainte de cisaillement due à l'effort horizontal (τ_H):

- Contrainte de cisaillement due au retrait, ΔT° :

$$\tau_{H_1} = 11,23 (1,9 + 7,6) \times \frac{1}{60} = 1,33 \text{ kg/cm}^2 < 0,5 \times G = 5,62 \text{ kg/cm}^2$$

- Contrainte de cisaillement due au freinage:

$$\tau_{H_2} = \frac{20,61 \cdot 10^3}{2 \times 40 \times 60} = 4,29 \text{ kg/cm}^2$$

finalement: $\tau_H = \tau_{H_1} + \tau_{H_2} = 1,33 + 4,29 = 5,62 \text{ kg/cm}^2 < 0,7 G = 7,86 \text{ kg/cm}^2$

- Contrainte de cisaillement due à la rotation de l'appareil d'appui (τ_d):

$$\tau_d = \frac{G}{2} \times \frac{a^2}{l^2} \times \alpha_t \quad : \quad \alpha_t = \frac{d_T}{n} \quad d_T = \alpha_0 + \alpha$$

$$\alpha_T = (3 + 8,46) \cdot 10^{-4} \text{ rad} = 11,46 \cdot 10^{-3} \text{ rad} \quad \text{d'où } \alpha_t = 2,87 \cdot 10^{-3} \text{ rad}$$

$$\tau_d = \frac{11,23}{2} \times \frac{40^2}{4} \times 2,87 \cdot 10^{-3} \text{ rad} = 6,43 \text{ kg/cm}^2$$

- Contrainte de cisaillement due à la distorsion de l'appareil d'appui (τ_r):

$$\tau_r = G \cdot \gamma \delta \quad \text{avec } \gamma \delta = \frac{u}{T} \quad \text{et } u = \vartheta \cdot \theta \quad \theta: \text{rotation de l'appui.}$$

ϑ : distance entre le C.D.G. et la

S^e mixte et la fibre inférieure

la plus éloignée de la S^e mé-

- tallique.

charges	n	θ_2 (10^{-3} rad)	V_1 (cm)	$V\theta$	T (cm)	G (kg/cm ²)	τ_r (kg/cm ²)
C.P	∞	-1,73	68,30	0,118	8	11,23	0,17
C.C.P	18	-1,06	104,30	0,111	8	11,23	0,16
Denivellement	18	-1,43	104,30	0,149	8	11,23	0,21
Retrait + ΔT°	15	-1,89	109,13	0,206	8	11,23	0,289
Burch. holti	6	-2,16	136,69	0,295	8	11,23	0,41
Surcharges u.i.c	6	-0,19	136,69	0,026	8	11,23	0,036
Total							1,203

$$\tau_r = \sum \tau_{r_i} = 1,203 \text{ kg/cm}^2$$

Verification : $\tau = \tau_N + \tau_H + \tau_r + \tau_d < 5.6$

$$\tau = 23,10 + 5,62 + 4,203 + 6,43 = 36,35 \text{ kg/cm}^2 < 56 = 56,15 \text{ kg/cm}^2.$$

Condition de non-cheminement et de non glissement :

$$\sigma_m, \text{ mini} = \frac{N_{\text{min}}}{a \times b} = \frac{59,52 \cdot 10^3}{40 \times 60} = 24,80 \text{ kg/cm}^2 > 20,42 \text{ kg/cm}^2.$$

$$H < f \cdot N \quad f = 0,12 + \frac{0,20}{24,80} = 0,128.$$

On considère N_{min} , c'est à dire $N = 59,52 \text{ t.}$; $H = 20,61 \text{ t.}$

on a $20,61 > 0,128 \times 59,53 = 7,62 \text{ t.}$ on prévoit des butées au niveau des obés d'appui.

Condition de non soulèvement :

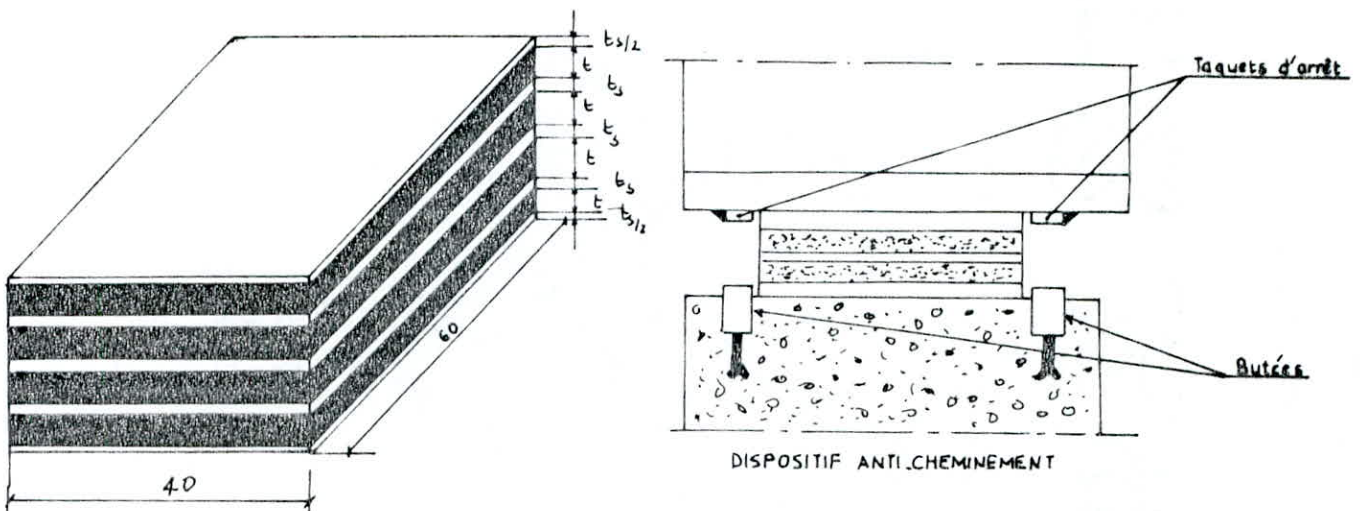
$$\alpha_f \leq \frac{3}{\beta} \frac{t^2}{a^2} \frac{\sigma_m}{G} \quad \text{on a : } \frac{3}{6} \times \frac{4}{40^2} \times \frac{92,38}{11,23} = 4,03 \cdot 10^{-2} \text{ rad.}$$

$$\alpha_f = 2,87 \cdot 10^{-3} \text{ rad} < 4,03 \cdot 10^{-2} \text{ rad.}$$

Dimensionnement des frettes :

$$t_s \geq \frac{\alpha}{\beta} \frac{\sigma_m}{\sigma_c} ; \quad t_s \geq 2 \text{ mm} \quad \text{on a } t_s \geq \frac{40}{6} \frac{92,38}{2400} = 2,60 \text{ mm.}$$

soit donc : $t_s = 3 \text{ mm.}$



Appareil d'appui sur pile 1 :

Aire de l'appareil d'appui :

$$\bar{\sigma}_m = \frac{N_{\max}}{a \times b} = \frac{582,65 \cdot 10^3}{a \times b} \leq \bar{\sigma} = 153 \text{ kg/cm}^2 \text{ d'où } a \times b \geq \frac{582,65 \cdot 10^3}{153} = 3808,17 \text{ cm}^2.$$

On prend $a \times b = 50 \times 80 \text{ cm}^2$.

Dimensions en hauteur :

$$\frac{a}{10} \leq T \leq \frac{a}{5} \quad \text{d'où} \quad \bar{\sigma} \leq T \leq 10 \quad T = n t \quad t = 2 \text{ cm}$$

$$\bar{\sigma} \leq 2 \times n \leq 10 \quad \text{on prend } n = 4$$

Conclusion : $a \times b = 4000 \text{ cm}^2$

$$t = 20 \text{ mm}$$

$$T = 80 \text{ mm}$$

$$n = 4$$

Vérifications :

Contrainte de compression : $\bar{\sigma}_m^{\max} = \frac{582,65 \cdot 10^3}{4000} = 145,66 \text{ kg/cm}^2 < 153 \text{ kg/cm}^2$

Contrainte de cisaillement ($\bar{\tau}_N$) : $\bar{\tau}_N = \frac{1,5 \times 145,66}{7,69} = 28,40 \text{ kg/cm}^2$

Contrainte de cisaillement $\bar{\tau}_{H_1}$: $\bar{\tau}_{H_1} = 11,23 \times (3,2 + 0,8) \times \frac{1}{80} = 0,56 \text{ kg/cm}^2 < 0,56$

Contrainte de cisaillement $\bar{\tau}_{H_2}$: $\bar{\tau}_{H_2} = \frac{6,87 \cdot 10^3}{2 \times 50 \times 80} = 0,86 \text{ kg/cm}^2$

finalemment $\bar{\tau}_H = 0,86 + 0,56 = 1,42 \text{ kg/cm}^2 < 7,86 \text{ kg/cm}^2$.

Contrainte de cisaillement $\bar{\tau}_T$:

charges δ	n	θ_1 (10^{-3}rd)	V (cm)	V θ ()	T (cm)	G (kg/cm^2)	\bar{T}_r (kg/cm^2)
C.P	∞	0	68,30	0	8	11,23	0
C.C.P	18	0	104,30	0	8	11,23	0
Derivellabri	18	2,62	104,30	0,274	8	11,23	0,385
débit + ΔT^2	15	0	109,13	0	8	11,23	0
surch-holtri	6	0,15	136,69	0,021	8	11,23	0,030
surcharges u.I.C	6	0,26	136,69	0,036	8	11,23	0,051
Total							0,466

$$\bar{T}_r = \sum \bar{T}_{r_i} = 0,466 \text{ kg/cm}^2$$

Contrainte de cisaillement T_d :

$$T_d = \frac{11,23}{2} \times \frac{50^2}{4} \times 1,51 \cdot 10^{-3} = 5,30 \text{ kg/cm}^2$$

Contrainte de cisaillement totale \bar{T}

$$\bar{T} = 28,40 + 1,42 + 0,466 + 5,30 = 35,59 \text{ kg/cm}^2$$

$$\bar{T} = 35,59 \text{ kg/cm}^2 < \bar{T}_G = 56,15 \text{ kg/cm}^2$$

Condition de non cheminement et de non glissement:

$$F_m, \text{ mini} = \frac{252,01 \cdot 10^3}{50 \times 80} = 63,00 \text{ kg/cm}^2 > 20,42 \text{ kg/cm}^2$$

$$H < f \cdot N \quad \text{d'où} \quad 6,87 < 0,123 \times 252,01 \Rightarrow 6,87 < 31,00 \text{ t vérifié.}$$

Condition de non soulèvement:

$$d_t \leq \frac{3}{7,69} \times \frac{4}{50^2} \times \frac{145,66}{11,23} = 1,62 \cdot 10^{-2} \text{ rd.}$$

$$d_t = 1,51 \cdot 10^{-3} \text{ rd} < 1,62 \cdot 10^{-2} \text{ rd.}$$

Dimension des gâches:

$$t_s \geq \frac{50}{7,69} \times \frac{145,66}{2400} = 3,95 \text{ mm} ; \quad t_b \geq 2 \text{ mm.}$$

$$\text{d'où} \quad t_s = 4 \text{ mm.}$$

Appareil d'appui sur pile 0:

On adoptera les mêmes appareils d'appui que ceux de la culée 2, les seuls vérifi-
-cations à faire sont:

$$\bar{T}_{H_1} = 11,23 (3,5 + 14) \times \frac{1}{80} = 2,46 \text{ kg/cm}^2 < 0,5 G = 5,62 \text{ kg/cm}^2$$

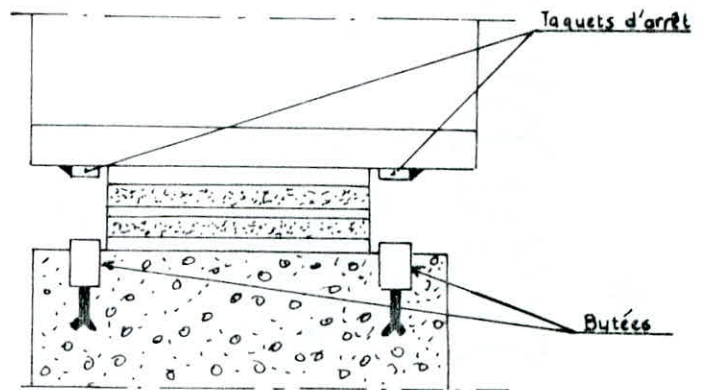
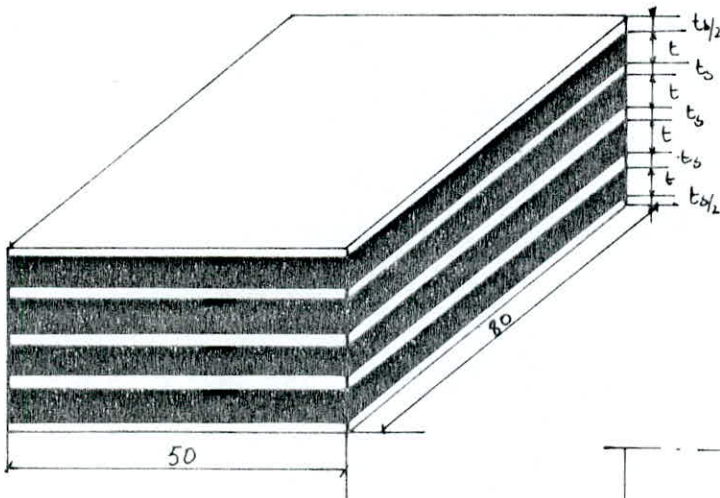
$$\bar{T}_{H_2} = \frac{6,97 \cdot 10^3}{2 \times 40 \times 60} = 4,43 \text{ kg/cm}^2$$

$$\bar{T}_H = \bar{T}_{H_1} + \bar{T}_{H_2} = 3,89 \text{ kg/cm}^2 < 0,7 G = 7,86 \text{ kg/cm}^2$$

$$\bar{T}_A = 6,43 \text{ kg/cm}^2; \quad \bar{T}_R = 1,203 \text{ kg/cm}^2; \quad \bar{T}_N = 23,10 \text{ kg/cm}^2$$

$$\text{d'où } \bar{T} = 6,43 + 1,203 + 23,10 + 3,89 = 34,62 \text{ kg/cm}^2 < 5G = 56,15 \text{ kg/cm}^2$$

Appareil sur pile 1:



DISPOSITIF ANTI-CHEMINEMENT

Vérification au séisme:

Les effets du séisme sont assimilés à des forces d'inertie ayant une direction quelconque et une intensité proportionnelle à la valeur des forces de pesanteur. Dans les tabliers de pont, les effets du séisme sont en général négligeables, le supplément de charge verticale positive ou négative (dont le maximum est de l'ordre de 20% des charges verticales appliquées aux tabliers) est généralement largement compensé par l'augmentation des contraintes admissibles du II^{eu} genre, par contre, dans les effuis les effets du séisme sont très importants, d'où la nécessité de la vérification au séisme pour les effuis.

Efforts dus au séisme:

$$E_H = 10\% \quad ; \quad E_V = 7\%$$

Composante horizontale: $H = 10\% G$

Composante verticale: $V = \pm 7\% (G + 0,5P)$

Sollicitation du II^{eu} genre: $S_2'' = G + P + T + SI$

T: négligeable car les propriétés chimiques et mécaniques de l'élastomère lui permettent de bien résister à ces fortes sollicitations.

Calcul des efforts:

1. Pile 1:

Composante horizontale:

$$H = 0,1 \times G \quad ; \quad G = CP + CCP = 108,50 + 129,47 = 237,97 \text{ t.}$$

$$H = 23,797 \text{ t.}$$

Composante verticale:

$$V = \pm 0,07 (G + 0,5P) \quad ; \quad P = S_{u.r.c} + S_{tr} = 243,63 + 31,90 = 275,53 \text{ t.}$$

$$V = \pm 26,30 \text{ t.}$$

Efforts horizontaux:

$$H_{SI} = 23,797 \text{ t}$$

$$H_{fr} = 6,87 \text{ t}$$

$$H_{dét} = a \times b \times \bar{U}_{H_1} = 50 \times 80 \times 0,56 = 2240 \text{ kg}$$

$$H_T = H_{SI} + H_{fr} + H_{dét} = 23,797 + 6,87 + 2,24 = 32,907 \text{ t}$$

Efforts normal: $S_2'' = G + P + SI \quad T \approx 0.$

$$N_{max} = G + P + SI \downarrow = 237,97 + 275,53 + 26,30 = 539,80 \text{ t}$$

$$N_{min} = G - 0,1G = 0,9G = 0,9 \times 237,97 = 214,173 \text{ t}$$

Vérifications:

- Contrainte de compression: $\sigma_m^{max} = \frac{N_{max}}{a \times b} = \frac{539,8 \cdot 10^3}{50 \times 80} = 134,95 \text{ kg/cm}^2 < 153 \text{ kg/cm}^2$

- Contrainte de cisaillement $\bar{\tau}$:

$$\bar{\tau}_N = \frac{1,5 \times 134,95}{7,69} = 26,32 \text{ kg/cm}^2 \quad ; \quad \bar{\tau}_H = 1,42 + \frac{23,797 \cdot 10^3}{2 \times 50 \times 80} = 4,39 \text{ kg/cm}^2$$

$$\bar{\tau}_d = 5,30 \text{ kg/cm}^2 \quad ; \quad \bar{\tau}_r = 0,466 \text{ kg/cm}^2$$

$$\bar{\tau}_H = 4,39 \text{ kg/cm}^2 < 7,86 \text{ kg/cm}^2 \quad \text{vérifiée.}$$

$$\bar{\tau} = \Sigma \bar{\tau} = 36,48 \text{ kg/cm}^2 < 5G = 56,15 \text{ kg/cm}^2$$

- Condition de non cheminement et de non glissement:

$$\sigma_m, \text{ mini} = \frac{214,173 \cdot 10^3}{50 \times 80} = 53,54 \text{ kg/cm}^2 > 20,42 \text{ kg/cm}^2$$

$$H < f \cdot N \quad H = 32,907 \text{ t} \quad f = 0,121 \quad N = 214,173 \text{ t}$$

$$32,907 > 25,91 \text{ t} \quad \text{il faut prévoir des butées.}$$

- Condition de non soulèvement:

$$\alpha_t \leq \frac{3}{7,69} \times \frac{4}{50^2} \times \frac{134}{11,23} = 7,501 \cdot 10^{-3} \text{ rad}$$

$$\alpha_t = 1,51 \cdot 10^{-3} \text{ rad} < 7,501 \cdot 10^{-3} \text{ rad} \quad \text{vérifiée.}$$

2. Culée 2 et pile 0:

$$G = 32,54 + 38,84 = 71,38 \text{ t.}$$

$$H = 0,1 G = 7,138 \text{ t}$$

$$P = 11,17 + 119,95 = 131,12 \text{ t.}$$

$$V = \pm 0,07 (71,38 + 0,5 \times 131,12) = \pm 9,59 \text{ t.}$$

on a:

$$H_{SI} = 7,138 \text{ t}$$

$$H_{jr} = 20,61 \text{ t} \quad \text{- cas de la culée (le plus défavorable).}$$

$$H_{diff} = a \times b \times \bar{H}_1 = 40 \times 60 \times 1,33 \cdot 10^{-3} = 3,19 \text{ t.}$$

$$H_T = \sum H = 30,94 \text{ t.}$$

$$N_{max} = 71,38 + 131,12 + 9,59 = 212,09 \text{ t.}$$

$$N_{min} = 0,9 G = 0,9 \times 71,38 = 64,24 \text{ t.}$$

Verifications:

- Contrainte de Compression: $\sigma_m^{max} = \frac{212,09 \cdot 10^3}{40 \times 60} = 88,37 \text{ kg/cm}^2 < 153 \text{ kg/cm}^2$.

- Contrainte de cisaillement:

$$\tau_N = \frac{1,5 \times 88,37}{6} = 22,09 \text{ kg/cm}^2 ; \quad \tau_H = 5,62 + \frac{7,138 \cdot 10^3}{2 \times 40 \times 60} = 7,11 \text{ kg/cm}^2$$

$$\tau_r = 1,203 \text{ kg/cm}^2 ; \quad \tau_d = 6,43 \text{ kg/cm}^2 ; \quad \tau_H = 7,11 \text{ kg/cm}^2 < 7,86 \text{ kg/cm}^2$$

$$\text{d'où } \tau = \sum \tau = 36,83 \text{ kg/cm}^2 < 56 = 56,15 \text{ kg/cm}^2$$

- Condition de non cheminement et de non glissement:

$$G_{m, \text{ mini}} = \frac{64,24 \cdot 10^3}{40 \times 60} = 26,77 \text{ kg/cm}^2 > 20,42 \text{ kg/cm}^2$$

$$H < f \cdot N \quad H = 30,94 \text{ t} ; \quad f = 0,122 ; \quad N = 64,24 \text{ t}$$

$$30,94 > 7,84 \text{ t} \quad \text{il faut prévoir des butées.}$$

- Condition de non soulèvement:

$$\alpha_L = 2,87 \cdot 10^{-3} \text{ rad} < \frac{3}{6} \times \frac{4}{45^2} \times \frac{88,37}{11,23} = 9,84 \cdot 10^{-3} \text{ rad.}$$

Dé d'appui: Art 40 du C.C.B.A 68

$$N_{max} = C.P + C.C.P + \text{Surcharges Koltai} + \text{Surcharges U.I.C} + \text{Dénivellement} \\ + \text{reliaut} + \Delta T^{\circ}$$

$$N_{max} = 108,5 + 129,47 + 37,36 - 72,42 + 49,10 + \frac{292,36}{1,5} + 38,28 = 485,20 \text{ t.}$$

Les dimensions du dé d'appui sont: $a \times b \times e = 100 \times 80 \times 20$

Le dé est soumis à une compression simple dont la valeur moyenne est égale:

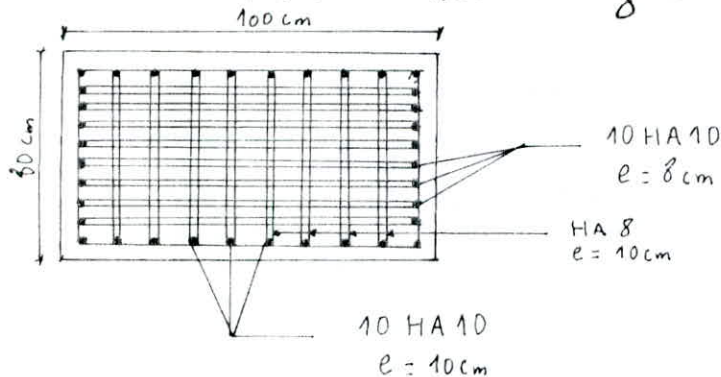
$$\bar{\sigma}'_m = \frac{N'}{S} = \frac{485,20 \cdot 10^3}{100 \times 80} = 60,65 \text{ kg/cm}^2 < \bar{\sigma}'_{b0} = 76,5 \text{ kg/cm}^2$$

donc le béton seul peut résister à l'effort transmis par le tablier, mais d'après les recommandations de l'art. 40.2 du C.C.B.A 68, la poutre doit être armée parallèlement à cette face et jusqu'à la profondeur voulue d'une manière suffisante pour éviter la rupture locale du béton sous la charge.

Une fente supérieure (de surface), dont la section totale (dans chaque direction s'il s'agit d'armatures croisées) est capable de supporter un effort égale à $0,04 R_{max}$.

$$A = \frac{0,04 R_{max}}{\bar{\sigma}_a} = \frac{0,045 \cdot 485,20 \cdot 10^3}{2800} = 6,93 \text{ cm}^2$$

On choisit 10 HA 10 = $7,85 \text{ cm}^2$ long et trans.



Vérification des prescriptions de l'art 41. du C.C.B.A 68:

$$21) \frac{90}{80} = 1,125 < 2.$$

$$22) \sigma'_m = \frac{N}{S} = \frac{485,20 \cdot 10^5}{90 \times 72} = 74,88 \text{ kg/cm}^2$$

- calcul de la contrainte admissible de ferraillage : ($\bar{\sigma}'_f$)

$$\frac{\bar{\sigma}'_f}{\sigma'_{bo}} = 1 + \vartheta_t \bar{\omega}_t \left(1 - \frac{2t}{a}\right) \frac{\sigma_{cu}}{\sigma'_n}$$

$$\vartheta_t = 3 \text{ (quadrillages)}$$

$$t = 8 \text{ cm}$$

$$a = 18 \text{ cm}$$

$$\sigma_{cu} = 4200 \text{ kg/cm}^2$$

$$\sigma'_n = 270 \text{ kg/cm}^2$$

$$\bar{\omega}_t = \frac{\text{Volume des ferraillages}}{\text{Volume du béton du noyau ferraillé}} = \frac{3258}{20 \times 80 \times 100} = 0,02 = 2\%$$

$$\frac{\bar{\sigma}'_f}{\sigma'_{bo}} = 1 + 3 \times 0,02 \left(1 - \frac{2 \times 8}{18}\right) \frac{4200}{270} = 1,104 \text{ d'où } \bar{\sigma}'_f = 1,104 \times 76,5 \text{ kg/cm}^2$$

$$\text{on a bien } \sigma'_m = 74,88 \text{ kg/cm}^2 < \bar{\sigma}'_f = 84,46 \text{ kg/cm}^2.$$

23) on a des quadrillages, formés de nappes de barres repliées en « épingle à cheveux ».

$$24) 80 > 25 \text{ cm.}$$

$$26) 14,5 \sqrt{\bar{\sigma}'_f} = 14,5 \sqrt{76,5} = 126,82 \text{ kg/cm}^2 > 84,46 \text{ kg/cm}^2.$$

$$27) 0,02 > 0,006$$

Conclusion: toutes les prescriptions de l'art 41. du C.C.B.A 68 sont vérifiées.

Etude de La Pile.

- Conception :

une pile est un appui intermédiaire, constituée d'une superstructure (fût dans notre cas) visible en grande partie et d'une fondation. Dans notre cas on a opté pour des piles à 2 fûts évidés (pour éviter le flambement), surmontées d'un cheville. Vu la nature du sol qui se présente à quelques mètres (bonne portance à partir de 2,00m), notre pile sera fondée sur une fondation superficielle ; la semelle étant rectangulaire, elle sera carrée à 4,00m (portance du sol à 4,00m est de l'ordre de 50t/m²).

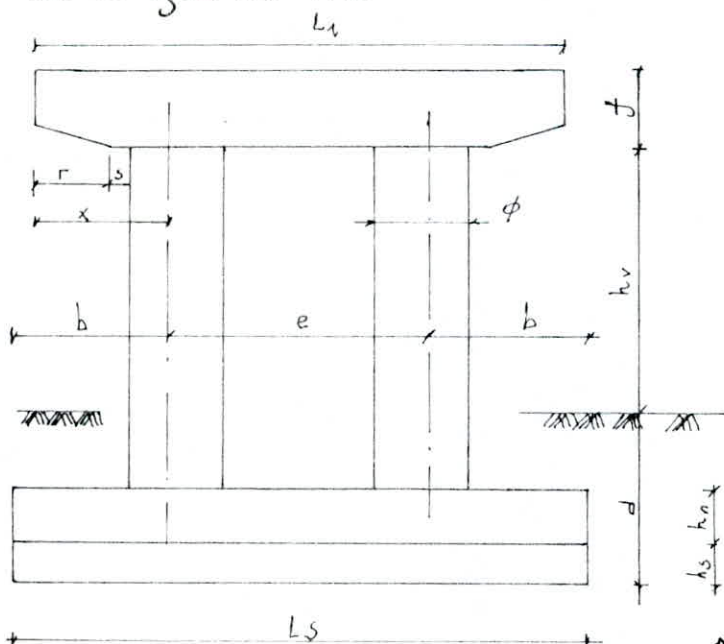
Prédimensionnement de la pile :

Soit L_1 : longueur du cheville prise égale à 9,60m dont la largeur au centre est imposé à ne pas dépasser 10,60m qui est la largeur du pont.

ϕ : diamètre du fût prise égale à 2,50m afin de résister aux différentes sollicitations importantes.

h_v : hauteur du fût, est imposé par les caractéristiques géométriques du franchissement

Elle est égale à 17m.



$$e: \text{entre axe des fûts} = \frac{L_1 \sqrt{2}}{1 + \sqrt{2}} = 5,6 \text{ m}$$

$$x = \frac{L_1}{2(1 + \sqrt{2})} = 2 \text{ m}$$

$$L_2 \geq (n - 0,2) e ; n = 2 ; e = 5,6 \text{ m}$$

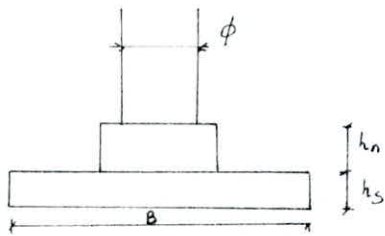
$$L_2 = 9,60 \text{ m}$$

$$f = 1,80 \text{ m}$$

$$r = 0,50 \text{ m} ; s = 0,25 \text{ m}$$

$$h_n = 2 \text{ m (pour diminuer la longueur de flambement)}$$

Iny longitudinalement :



$$Q = R + \bar{\sigma}_2 B_0 D L_s + P_2 = \bar{\sigma}_3 \cdot B_0 \cdot L_s$$

$$B_0 = \frac{R + P_2}{(\bar{\sigma}_3 - \bar{\sigma}_2 D) L_s}$$

$$\bar{\sigma}_3 = 30 \text{ t/m}^2 \text{ (en moyenne)}$$

R : résultante des charges verticales

B_0 : largeur apparente de la semelle.

D : distance d'ancrage ($D = 4,60 \text{ m}$)

$\bar{\sigma}_2$: est prise égale à $2,1 \text{ t/m}^2$.

L_s : largeur de la semelle = $14,80 \text{ m}$

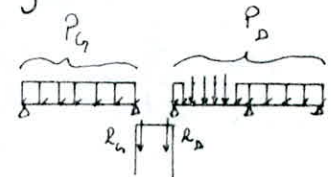
P_2 : poids de la pile

N.B: On augmentera la valeur de B_0 de 3 fois,

pour tenir compte de l'effet d'une force horizontale en tête de pile, soit:

$$B = B_0 + 3 \frac{F \cdot H}{Q} \quad \bar{F}: \text{force horizontale prise forfaitairement}$$

$$\bar{F} = 0,20 \times \frac{1}{7} \times P_D + 0,50 \times \frac{1}{7} \times P_G = 13,74 + 15,43 = 29,17 \text{ t.}$$



$$H = \text{hauteur de la pile} = H = 20,8 \text{ m.}$$

$$R = R_D + R_G = (285,28 + 264,74) \times 2 = 1100,03 \text{ t.}$$

$$P_2 = \left[2 \left(17 \cdot \pi \frac{(2,5^2 - 2^2)}{4} \right) + 2 \times 3 \times 16,80 + 1,8 \times 3 \times 9,60 \right] \times 2,5 = 531,81 \text{ t.}$$

$$Q = R + P_2 = 1100,03 + 531,81 = 1631,84 \text{ t.}$$

$$B_0 = \frac{1631,84}{(30 - 2,1 \times 4) 14,80} = 4,50 \text{ m} \quad \text{d'où } B = 4,50 + 3 \frac{29,17 \times 20,8}{1631,84} = 5,62 \text{ m}$$

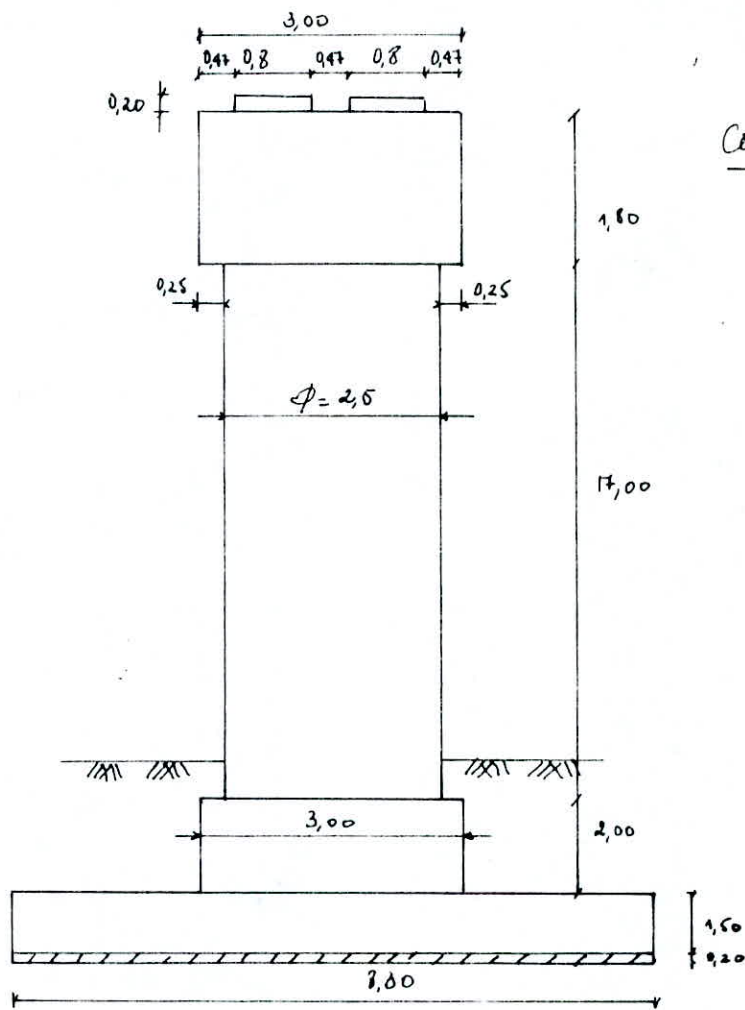
Pour des raisons de stabilité, on prend $B = 8,30 \text{ m}$.

-calcul de h_s :

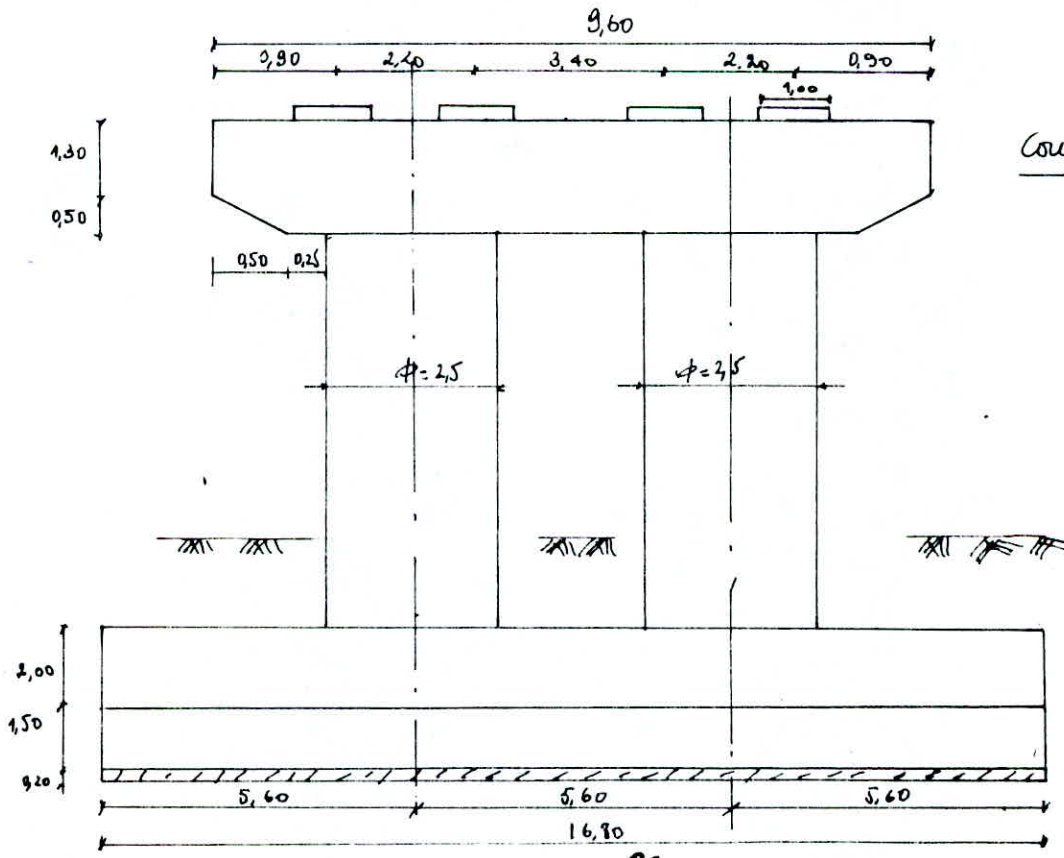
$$0,60 \leq h_s \leq 1,00 \text{ m} \quad \text{et} \quad h_s \geq \frac{c}{2} \quad \text{où } c = \frac{B - \phi}{2} = 2,90 \text{ m}$$

d'où $h_s \geq 1,45 \text{ m}$, on prend $h_s = 1,50 \text{ m}$.

Schématiquement on aura:



Coupe transversale
long

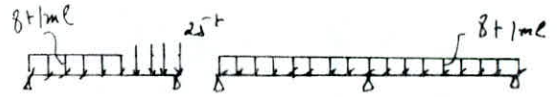


Coupe longitudinale
transverse

- Calcul de La Pile

Evaluation des efforts:

1. Efforts ramenés par le tablier:



- travée hyperstatique:

$$T(0) N = CP + CCP = \underline{109,32 \text{ t.}}$$

non pondée, non appuyé
(2nd plus)

schéma de calcul pour les reactions
sous U.I.C.

- travée isostatique:

$$N = CP + CCP = \underline{135,14 \text{ t.}}$$

2. Efforts ramenés par les surcharges U.I.C.:

- travée hyperstatique:

$$N_{max} = \underline{94,50 \text{ t}} \quad ; \quad N_{min} = \underline{-13,50 \text{ t.}}$$

- travée isostatique:

$$N_{max} = \underline{158,85 \text{ t}} \quad ;$$

3. Efforts ramenés par les surcharges de trottoir:

- travée hyperstatique:

Poutre ① $N_T = \underline{13,40 \text{ t.}}$

Poutre ② $N_T = \underline{-4,75 \text{ t.}}$

- travée isostatique:

Poutre ① $N_T = \underline{9,57 \text{ t.}}$

Poutre ② $N_T = \underline{-4,10 \text{ t.}}$

4. Efforts ramenés par la pile:

* dé d'appui: $1,00 \times 0,80 \times 0,20 \times 2,5 = \underline{0,40 \text{ t.}}$

* côté de la

$$N_{ile} = \left[(1,20 + \frac{950}{2}) \times 0,50 \times 3,00 + 0,25 \times 1,80 \times 3,00 \right] \times 2,5 = \underline{9,19 \text{ t.}}$$

Partie centrale: $1,80 \times 3,00 \times 8,10 \times 2,5 = \underline{109,35 \text{ t.}}$

* fût: $\pi (2,5^2 - 2^2) \times \frac{1}{4} \times 17 \times 2,5 = \underline{75,10 \text{ t.}}$

Poids de la pile:

$$P = \underline{284,13 \text{ t.}}$$

5. Efforts ramenés par le socle:

$$N = 3,00 \times 16,80 \times 2,00 \times 2,5 = \underline{252,00 \text{ t.}}$$

6. Efforts ramené par la semelle: $N = 1,5 \times 8,50 \times 16,80 \times 2,5 = \underline{522,90 \text{ t}}$

7. Freinage:
 sur pile (partie isostatique): $H_{p_1} = 0,27 \times \frac{1}{7} \times 2648 = \underline{10,21 \text{ t}}$
 sur pile (partie hyperstatique): $H_{p_2} = 0,20 \times \frac{1}{7} \times 54 \times 8 = \underline{12,34 \text{ t}}$

8. Efforts dus au remblai:
 $N = [8,30 \times 16,80 \times 2,50 - 3,00 \times 16,80 \times 2,00 - 1,9817] \times 1,8$
 $N = \underline{437,20 \text{ t}}$

9. Effet du vent:
 Conformément au fascicule CPC titre I, le vent est supposé souffler horizontalement, dans une direction normale à l'axe longitudinal de la chaussée avec une pression de $0,25 \text{ t/m}^2$. Le vent ne se cumule pas avec le séisme.

* vent sur la dalle et la superstructure:

$$H_{v_d} = (0,25 + 0,45) \times 27 \times 0,25 = \underline{4,73 \text{ t}}$$

$$H_{v_p} = 1,78 \times 27 \times 0,25 = \underline{12,02 \text{ t}}$$

* vent sur les appareils d'appui:

$$H_{v_{ap}} = 0,40 \times 0,06 \times 0,25 + 0,50 \times 0,08 \times 0,25 = \underline{0,08 \text{ t}}$$

* vent sur les dés d'appui:

$$H_{v_d} = 2 (0,80 \times 0,20 \times 0,25) = \underline{0,08 \text{ t}}$$

* vent sur le chevéte:

$$H_{v_c} = 3,00 \times 1,80 \times 0,25 = \underline{1,35 \text{ t}}$$

* vent sur le fût:

$$H_{v_f} = (17,00 - 0,50) \times 2,5 \times 0,25 = \underline{10,31 \text{ t}}$$

finalement: $H_v = \sum H_{i,v} = \underline{28,52 \text{ t}}$

NOTA: D'après les documents SETRA, on ramène la force du vent au niveau des dés d'appui, car il n'y a pas de liaisons rigides entre la table et la pile:

10. Effet des déplacements lents:

$$H_L = G \cdot a \cdot b \cdot \frac{U}{T}$$

* partie hyperstatique: $H_{L_1} = [11,23 \times 50 \times 80 \cdot \frac{0,27 + 1,08}{8}] \times 2 = \underline{15,16 \text{ t}}$

* partie isostatique: $H_{L_2} = [11,23 \times 40 \times 60 \cdot \frac{(0,54 + 0,185)}{6}] \times 2 = \underline{6,06 \text{ t}}$

En somme: $H_L = H_{L_2} - H_{L_1} = \underline{-9,10t.}$

11. Effet des crues:

En suppose que la poussée ne s'exerce que sur un fût, c'est

à dire que ce dernier masque le second fût.

$$F = c \cdot \bar{w} \cdot S \cdot \frac{\bar{V}^2}{2g}$$

c: coefficient de forme : section circulaire = 0,75

\bar{w} : $\rho \cdot g = 10t/m^3.$

S: section du fût exposée = $2,5 \times 2 = 5m^2$

V: vitesse moyenne d'écoulement: 4 m/s.

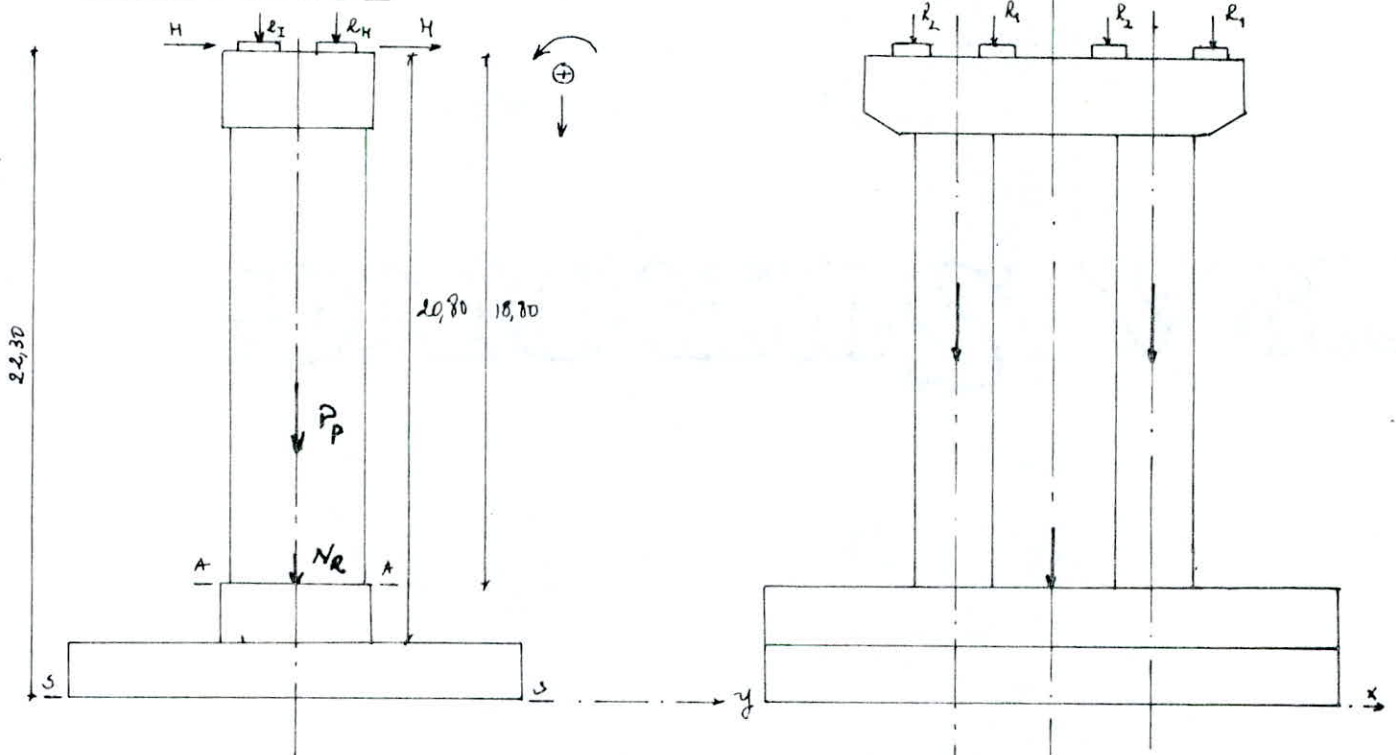
d'où $F = 0,75 \times 10 \times 5 \times \frac{16}{2 \times 10} \Rightarrow \underline{F = 30t.}$

12. Effet du démarrage:

Partie hyperstatique: $H_1 = (3,3 \times 54) \times 20\% = \underline{35,64t}$

Partie isostatique: $H_2 = (3,3 \times 27) \times 27\% = \underline{24,06t}$

Schema de charge:



Pour le sol du fût et de la pile, on considère respectivement les sections A-A et S-S (le calcul se fera sous la combinaison la plus défavorable).

Section A-A

A _i	Designation	N (t)	E _y (m)	M _y (tm)	H (t)	E _x (m)	M _x (tm)
A ₁	Tableau isostatique (2 voies)	270,28				0,64	172,98
A ₂	Tableau hyperstatique (2 voies)	202,64				-0,64	-129,69
A ₃	Poids de la table	281,13					
A ₄	Surcharges U.I.C (1 voie) isostatique	158,85	2,80	444,78		0,64	101,66
A ₅	Surcharges U.I.C (1 voie) hyperstatique	94,50	2,80	264,60		-0,64	-60,48
A ₆	Surcharges U.I.C (2 voies) isostatique	317,62				0,64	203,28
A ₇	Surcharges U.I.C (2 voies) hyperstatique	189,00				-0,64	-120,96
A ₈	Surcharges hortic (1 voie) isostatique	R ₁ 9,57	3,90	37,32		0,64	6,12
		R ₂ -4,10	1,70	-6,97		0,64	-2,62
A ₉	Surcharges hortic (1 voie) hyperstatique	R ₁ 13,90	3,90	52,26		-0,64	-8,58
		R ₂ -4,79	1,70	-8,14		-0,64	3,07
A ₁₀	Surcharges hortic (2 voies) isostatique	R ₁ 19,14				0,64	12,25
		R ₂ -8,20				0,64	-5,25
A ₁₁	Surcharges hortic (2 voies) hyperstatique	R ₁ 26,80				-0,64	-17,15
		R ₂ -9,58				-0,64	+6,13
A ₁₂	Denivellement aller (2 voies)	74,72				-0,64	-47,82
A ₁₃	Denivellement retour (2 voies)	-144,84				-0,64	92,70
A ₁₄	Rehaut + DT ² (2 voies)	-98,20				-0,64	62,85
A ₁₅	Freinage (1 voie)				22,55	18,80	423,94
A ₁₆	Demarrage (1 voie)				59,70	18,80	1122,30
A ₁₇	Déformations lentes (2 voies)				-18,20	18,80	-342,16
A ₁₈	Vent		18,80	536,18	28,52		
A ₁₉	Crues		1,00	30,00	30,00		

Section S-S

S_i	Designation	$N(t)$	$E_y(m)$	$M_y(tm)$	$H(t)$	$E_x(m)$	$M_x(tm)$
S_1	Tableau isostatique (2 voies)	270,28				0,64	172,98
S_2	Tableau hyperstatique (2 voies)	202,64				-0,64	-129,63
S_3	Poids de la pile	281,13					
S_4	Surcharges U.T.C (1 voie) isostatique	158,85	2,80	444,78		0,64	101,66
S_5	Surcharges U.T.C (1 voie) hyperstatique	94,50	2,80	264,60		-0,64	-60,48
S_6	Surcharges U.T.C (2 voies) isostatique	317,62				0,64	203,28
S_7	Surcharges U.T.C (2 voies) hyperstatique	189,00				-0,64	-120,96
S_8	Surcharges trottoir (1 voie) isostatique	R_1 9,57	3,30	37,32		0,64	6,12
		R_2 -4,10	1,70	-6,97		0,64	-2,62
S_9	Surcharges trottoir (1 voie) hyperstatique	R_1 13,40	3,90	52,26		-0,64	-8,58
		R_2 -4,79	1,70	-8,14		-0,64	3,07
S_{10}	Surcharges trottoir (2 voies) isostatique	R_1 49,14				0,64	12,25
		R_2 -8,20				0,64	-5,25
S_{11}	Surcharges trottoir (2 voies) hyperstatique	R_1 26,80				-0,64	-17,15
		R_2 -9,58				-0,64	6,13
S_{12}	Denivellement aller (2 voies)	74,72				-0,64	-47,82
S_{13}	Denivellement retour (2 voies)	-144,84				-0,64	92,70
S_{14}	Rehaut + DT ² (2 voies)	-98,20				-0,64	62,85
S_{15}	Freinage (1 voie)				22,55	22,30	502,87
S_{16}	Démarrage (1 voie)				59,70	22,30	1331,31
S_{17}	Déformations Pontes (2 voies)				-18,20	22,30	-405,86
S_{18}	Vent		22,30	636,00	28,52		
S_{19}	Effort de lacet <small>C Ad 4.13 du classement des chgs</small>		22,30	223,00	10,00		
S_{20}	Poids du remblai	437,20					
S_{21}	Poids du socle	252,00					
S_{22}	Poids de la semelle	524,90					

Combinaison:

Section A-A :

On utilise la combinaison G + 1,2 P₁T (1^{er} genre)

$$G = A_1 + A_2 + A_3 + A_{12} + A_{13} + A_{14} = 585,73 \text{ t.}$$

N°	Combinaisons	N (t)	H (t)	M _x (tm)	M _y (tm)
1	G ₁ = G + 1,2 (A ₄ + A ₅ + A ₈ + A ₉) + A ₁₆ + A ₁₇	906,65	41,50	978,16	940,62
2	G ₂ = G + 1,2 (A ₄ + A ₅ + A ₁₀ + A ₁₁) + A ₁₆ + A ₁₇	923,54	41,50	975,75	851,26
3	G ₃ = G + 1,2 (A ₆ + A ₇ + A ₈ + A ₉) + A ₁₆ + A ₁₇	1210,57	41,50	1027,53	89,36
4	G ₄ = G + 1,2 (A ₆ + A ₇ + A ₁₀ + A ₁₁) + A ₁₅ + A ₁₆ + A ₁₇	1227,47	64,05	1449,06	0
5	G ₅ = G + 1,2 (A ₄ + A ₅ + A ₈ + A ₉) + A ₁₈	906,65	28,52	198,02	1476,80
6	G ₆ = G + 1,2 (A ₄ + A ₅ + A ₈ + A ₉) + A ₁₉ + A ₁₆	906,65	89,70	1320,32	970,62

la combinaison la plus défavorable, qui correspond à un effort normal minimum et un moment maximum est la 6^{ème} combinaison :

les efforts sont :

$$N = 906,65 \text{ t}$$

$$H = 89,70 \text{ t.}$$

$$H = 89,70 \text{ t}$$

; Pour 1 fût ma: N = 453,33 t.

$$M_x = 1320,32 \text{ t.m}$$

$$M_x = 660,16 \text{ t.m.}$$

$$M_y = 970,62 \text{ t.m}$$

$$M_y = 485,31 \text{ t.m.}$$

Section S-S :

$$G'_1 = G_T + S_{21} + S_{20} + S_{22} = 585,73 + 1212,10 = 1797,83 \text{ t.}$$

N°	Combinaisons	N (t)	H (t)	M _x (tm)	M _y (tm)
1	G' ₁ = G' + 1,2 (S ₄ + S ₅ + S ₈ + S ₉) + S ₁₆ + S ₁₇	2118,75	41,50	1123,47	940,62
2	G' ₂ = G' + 1,2 (S ₄ + S ₅ + S ₁₀ + S ₁₁) + S ₁₆ + S ₁₇	2135,64	41,50	1121,06	851,26
3	G' ₃ = G' + 1,2 (S ₆ + S ₇ + S ₁₀ + S ₁₁) + S ₁₇ + S ₁₆ + S ₁₁	2439,57	64,05	1673,30	0
4	G' ₄ = G' + 1,2 (S ₆ + S ₇ + S ₈ + S ₉) + S ₁₆ + S ₁₇	2422,67	41,50	1172,84	89,36
5	G' ₅ = G' + 1,2 (S ₄ + S ₅ + S ₈ + S ₉) + S ₁₈	2118,75	28,52	198,02	1576,62
6	G' ₆ = G' + 1,2 (S ₄ + S ₅ + S ₈ + S ₉) + S ₁₈ + S ₁₆	2118,75	89,70	1529,33	1090,62

Les efforts donnés par la combinaison la plus défavorable sont:

$$N = 2118,75 \text{ t.}$$

$$H = 89,70 \text{ t.}$$

$$M_x = 1529,33 \text{ t.m.}$$

$$M_y = 1090,62 \text{ t.m.}$$

Vérifications:

1. Vérification au glissement:

On doit vérifier : $\mu \frac{\Sigma V}{\Sigma H} > 1$; $\mu = \tan \alpha = \tan 30^\circ$

$$\frac{\Sigma V}{\Sigma H} > \frac{1}{\mu} = 1,73$$

$$\frac{\Sigma V}{\Sigma H} = \frac{2118,75}{89,70} = 23,62 \gg 1,73 \quad , \quad \text{la stabilité au glissement est vérifiée.}$$

2. Calcul des contraintes:

$$\sigma = \frac{N}{S} \pm \frac{M_x}{W_x} \pm \frac{M_y}{W_y} \quad ; \quad I_x = \frac{L_s \cdot B^3}{12} \quad ; \quad v = \frac{B}{2} \Rightarrow W_x = \frac{L_s \cdot B^2}{6}$$

$$I_y = \frac{B \cdot L_s^3}{12} \quad ; \quad v = \frac{L_s}{2} \Rightarrow W_y = \frac{B \cdot L_s^2}{6}$$

$$\sigma_{\max} = \frac{N}{S} + \frac{6}{L_s B} \left[\frac{M_x}{B} + \frac{M_y}{L_s} \right] = \frac{2118,75}{139,44} + \frac{6}{16,80 \times 8,30} \left[\frac{1529,33}{8,30} + \frac{1090,62}{16,80} \right] = 25,92 \text{ t/m}^2$$

$$\sigma_{\min} = \frac{N}{S} - \frac{6}{L_s B} \left[\frac{M_x}{B} + \frac{M_y}{L_s} \right] = \frac{2118,75}{139,44} - \frac{6}{16,80 \times 8,30} \left[\frac{1529,33}{8,30} + \frac{1090,62}{16,80} \right] = 4,47 \text{ t/m}^2$$

D'où $\sigma_{\max} = 25,92 \text{ t/m}^2 < \bar{\sigma}_s = 50 \text{ t/m}^2$ et $\sigma_{\min} = 4,47 \text{ t/m}^2 \geq 0$

les contraintes sont vérifiées.

3. Vérification au séisme:

Données : $E_H = 10\%$; $E_V = 7\%$

1. Composante horizontale: $H = E_H \cdot G$

Designation	G (t)	E_H	H (t)	d (m) S-S	M (kn) S-S	d _{A-A} (m)	M _{A-A} (kn)
tablier	472,92	10%	47,29	22,30	1054,57	18,80	889,05
Dé d'appui (nbre 8)	3,20	"	0,32	22,20	7,11	18,70	5,98
chevêche	127,73	"	12,77	21,40	273,28	17,90	228,58
jût	150,20	"	15,02	12,00	180,24	8,5	127,67
Remblai	437,20	"	43,72	2,75	120,23	0,25	10,93
Total	1191,25	"	119,13				1262,22
Socte	252,00	"	25,20	2,50	63,00		
Semelke	522,90	"	52,29	0,75	39,22		
Total.	1966,15	"	196,62		1737,55		

2. Composante verticale:

$$V = \pm 0,07 (G + 0,5P)$$

$$P = 317,62 + 189,00 + 19,14 - 8,20 + 26,80 - 9,58 = 534,78 \text{ t.}$$

$$G = 1966,15 \text{ t}$$

$$V = \pm 0,07 (1966,15 + 0,5 \times 534,78)$$

$$\underline{V = \pm 156,35 \text{ t}}$$

Combinaisons:

On utilise la combinaison du 2^{ème} genre donnée par:

$$S_2'' = G + P + T + SI$$

G: sollicitation due à la charge permanente.

P: " " aux surcharges u.i.c

T: " " " effets de la température et du retrait.

SI: " " au séisme.

	Combinaisons	N(T)	H(T)	M (t.m)
1	$G = G + T + SI \downarrow$	2024,30	214,82	1437,83
2	$C_2 = G + P_{max} + T + SI \downarrow$	2576,86	214,82	1521,02
3	$C_3 = G + P_{max} + T + SI \uparrow$	2264,16	214,82	1509,48
4	$C_4 = G + P_{max} + SI \uparrow$	2362,36	196,62	1852,49
5	$C_5 = G + P_{min} + SI \downarrow + T$	1970,00	214,82	1467,85
6	$C_6 = G + P_{min} + SI \uparrow + T$	1657,30	214,82	1456,31

La combinaison qui donne l'effet le plus défavorable est:

$$G + P_{min} + SI \uparrow + T$$

$$N = 1657,30 \text{ t}$$

$$H = 214,82 \text{ t}$$

$$M = 1456,31 \text{ t}$$

1. Vérification de la stabilité au glissement:

$$\lg \frac{\sum N}{\sum H} > 1,5 \quad ; \quad 0,58 \times \frac{1657,30}{214,82} = 4,47 > 1,5$$

Pas risque de glissement.

2. Calcul des contraintes:

$$e = \frac{M}{N} = \frac{1456,31}{1657,30} = 0,88 \quad ; \quad \text{sachant que l'm a: } \bar{\sigma} = \frac{N}{S} \pm \frac{M}{W_x} \quad \text{avec } W_x = \frac{I_x}{S}$$

$$\bar{\sigma}_{max} = \frac{N}{S} \left(1 + \frac{6 \cdot e}{B} \right) = \frac{1657,30}{139,44} \left(1 + \frac{6 \times 0,88}{8,30} \right) = 19,45 \text{ t/m}^2$$

$$\bar{\sigma}_{min} = \frac{N}{S} \left(1 - \frac{6 \cdot e}{B} \right) = \frac{1657,30}{139,44} \left(1 - \frac{6 \times 0,88}{8,30} \right) = 4,32 \text{ t/m}^2$$

Conclusion:

$$\bar{\sigma}_{max} = 19,45 \text{ t/m}^2 < 1,5 \bar{\sigma}_s \quad \text{vérifié}$$

Calcul du chevêtre

Le chevêtre sera calculé selon les recommandations du S.E.T.R.A pp 73 N° 1.2.2

a/ Poids Propre:

$$G = 2 \times 2,5 \times 5 = 5 \text{ t}$$

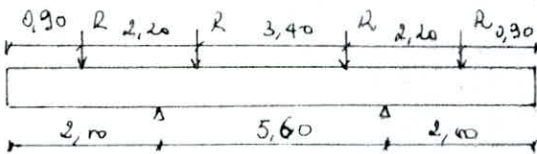
S: section totale du chevêtre

2: coefficient tenant compte du poids moyen de la poche du tablier située au droit du chevêtre au moment de la construction.

b/ Tablier

Dans notre cas le chevêtre est porteur puisque les points d'appui

ne sont pas disposés en face des colonnes.



c/ Verins de soulèvement du tablier:

les verins étant généralement placés à côté

des appareils d'appuis, ce cas est moins défavorable que la charge totale du tablier avec surcharges du haut et du bas. On ne considère que le tablier surchargé pour le ferrailage du chevêtre.

Moments de flexion et efforts tranchants:

Poids propre:

$$G = 5 \times 4,80 \times 3,00 = 27,00 \text{ t/ml}$$

Moment sur appui: $M = - G \cdot \frac{a^2}{2} = - 54 \text{ tm}$

Moment au travée: $M_t = G \cdot \left(\frac{l^2}{8} - \frac{a^2}{2} \right) = G \cdot \left(\frac{5,60^2}{8} - \frac{2^2}{2} \right) = 51,84 \text{ tm}$

Effort tranchant max: $T_{max} = 75,6 \text{ t}$

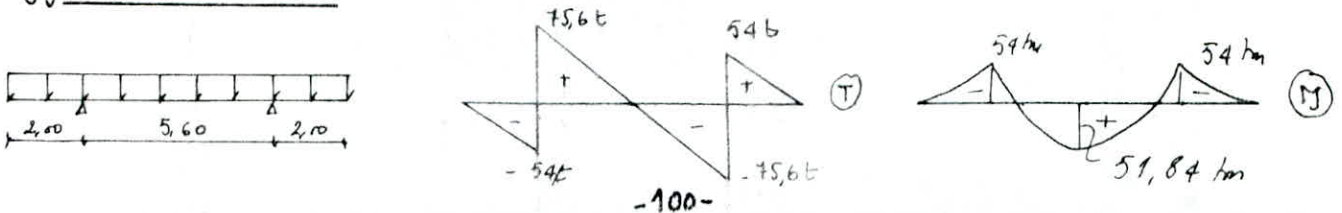


tableau:

les valeurs qui suivent sont des valeurs forfaitaires dans lesquelles
R désigne la réaction d'appui maximale sur un appui d'appui. $R = 516,28 \text{ t}$.

Moment sur appui:

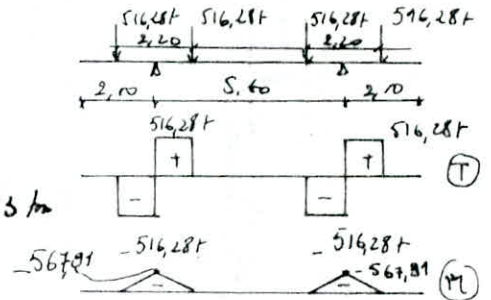
$$M = -516,28 \times 1,10 = -567,91 \text{ tm}$$

Moment en travée:

plus égal à $M_t = 0,2 \cdot R \cdot e = 0,2 \times 516,28 \times 5,6 = 578,23 \text{ tm}$

Effort tranchant max:

$$T_{\max} = 516,28 \text{ t}$$



Moments de flexion totaux pour 2 tabliers:

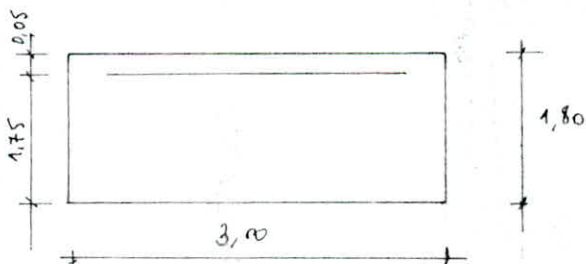
sur appui: $M_{\text{app}} = -621,91 \text{ tm}$

en travée: $M_t = 630,07 \text{ tm}$

effort tranchant max: $T_{\max} = 591,88 \text{ t}$

Ferraillage du chevet en flexion simple:

schéma de section de calcul:



$$b = 3,00 \text{ m}$$

$$h_t = 1,80 \text{ m}$$

$$h = 1,75 \text{ m}$$

$$d = 0,05 \text{ m}$$

Sur appui:

$$\bar{M}_{rb} = \bar{k} b h^2 = 29,26 \times 3,00 \times 1,75^2 = 268,83 \cdot 10^6 \text{ kg} \cdot \text{cm} > 621,91 \cdot 10^5 \text{ kg} \cdot \text{cm}$$

donc les armatures comprimées ne sont pas nécessaires.

Armatures tendues:

$$A: \frac{M}{\sigma_s \bar{\sigma}_a} = \frac{621,91 \cdot 10^5}{\frac{7}{8} \times 175 \times 2666,67} = 152,30 \text{ cm}^2 \text{ soit } 50,77 \text{ cm}^2 \text{ par mètre de largeur}$$

on prend 7 T25 et 7 T20 fml = $56,28 \text{ cm}^2 \text{ fml}$.

Verifications:

- non fissuration: $\text{Max}(\sigma_1, \sigma_2) = 2701,23 \text{ kg/cm}^2 > \bar{\sigma}_t = 2667,67 \text{ kg/cm}^2$

- non fragilité: $B_f \frac{\bar{\sigma}_t}{\bar{\sigma}_{cm}} = 3000 \times \frac{25,5}{4000} = 19,13 \text{ cm}^2 < A = 168,84 \text{ cm}^2$.

En outre:

Armatures requises:

$$A = \frac{M}{\sigma_s \cdot \bar{\sigma}_t} = \frac{630,07 \cdot 10^5}{175 \times 2666,67} = 154,30 \text{ cm}^2$$

On adoptera 7T25 et 7T20/ml soit $56,28 \text{ cm}^2/\text{ml}$.

Armatures comprimées:

$$M_{2b} = 268,83 \cdot 10^6 \text{ kg.cm} > 630,07 \cdot 10^5 \text{ kg.cm}$$

donc $A' = 0$.

Effort tranchant:

$$\tau_b^{\text{max}} = \frac{T_{\text{max}}}{b \cdot z} = \frac{591,88 \cdot 10^3}{175 \times 300} = 12,88 \text{ kg/cm}^2$$

$$\sigma'_b = \frac{M}{I} x = \frac{621,91 \cdot 10^5}{51845427,29} \times 46,55 = 55,84 \text{ kg/cm}^2$$

$$\sigma'_b = 55,84 < \bar{\sigma}'_{b0} = 76,5 \text{ kg/cm}^2 \text{ donc } \bar{\tau}_b = 3,5 \bar{\sigma}'_b = 22,05 \text{ kg/cm}^2$$

$$\text{on a: } \tau_b^{\text{max}} = 12,88 \text{ kg/cm}^2 < \bar{\tau}_b = 22,06 \text{ kg/cm}^2 \text{ vérifié.}$$

On prévoit des armatures transversales formées d'un cadre T10 et de 5 chevilles T10.

leurs espacements sont donnés par: $t = \frac{z \cdot \bar{\sigma}_t}{T} A_t$ avec $t \leq \max \left\{ \begin{array}{l} 92 \text{ h} \\ h(1 - 0,2 \frac{\tau_b}{\sigma'_b}) \end{array} \right.$

calcul de t:

$$\sigma_{\text{at}} = \int_{\text{at}} \sigma_{cm} = (1 - \frac{\tau_b}{9 \bar{\sigma}'_b}) \bar{\sigma}_{cm} = 0,77 \times 4200 = 3245,93 \text{ kg/cm}^2$$

$$t = 7,86 \text{ cm} < \bar{t} \text{ vérifié}$$

Verification de la section sur appui:

$$\text{on doit avoir: } A \cdot \bar{\sigma}_a \geq T + \frac{M}{z}$$

$$A = 168,72 \text{ cm}^2 \quad A \bar{\sigma}_a = 168,72 \times 2666,67 = 449,92 \text{ t} > T + \frac{M}{z} = 591,88 - \frac{621,91}{175} = 185,73$$

la condition est vérifiée.

Ferrailage du fût:

Le fût sera ferrillé en flexion-composée, il est de forme circulaire évidée.

1. Vérification du fût au séisme:

$$E_H = 10\% \quad ; \quad E_V = 7\%$$

- Composante horizontale:

$$H = G \cdot E_H = 1191,25 \times 10\% = 119,13 \text{ t}$$

- Composante verticale:

$$V = \pm 0,07 (G + 0,5 P) = \pm 0,07 (1191,25 + 0,5 \times 534,70)$$

$$V = \pm 102,11 \text{ t.}$$

- Moments dus à ces forces:

$$M_H = 1262,22 \text{ t.m} \quad ; \quad M_V = \pm 5,77 \text{ t.m}$$

- Combinaisons:

La combinaison qui donne l'effet le plus défavorable est:

$$C = G + P_{\min} + T + SI \uparrow$$

$$N = 1191,25 - 54,30 - 98,20 - 156,35 = 882,40 \text{ t.}$$

$$M = 43,29 - 279,31 + 24,25 + 1256,45 = 1044,68 \text{ t.m}$$

$$H = 119,13 + 18,20 = 137,33 \text{ t.}$$

Pour un fût:

$$N = 441,20 \text{ t}$$

$$H = 137,33 \text{ t}$$

$$M = 522,34 \text{ t.m}$$

Nota: Sous sollicitations de 1^{er} genre, on a $M = 819,35 \text{ t.m}$

" " 2^{ème} genre, on a $M = 522,34 \text{ t.m}$

$$\text{On a donc: } \frac{M_{1^{\text{er}} \text{ genre}}}{M_{2^{\text{ème}} \text{ genre}}} = \frac{819,35}{522,34} = 1,57 > 0,67$$

Remarque: il n'est pas nécessaire de dimensionner le fût aux séismes, le ferrailage se fera sous sollicitations de 1^{er} genre.

Ferraillage du fût:

Le fût sera calculé en flexion composée avec les sollicitations suivantes:

$$N = 453,33 \text{ t.}$$

$$H = 89,70 \text{ t.}$$

$$M = 819,35 \text{ tm.}$$

1. calcul de l'excentricité:

$$\text{On a: } e = \frac{M}{N} = \frac{819,35}{453,33} = 1,81 \text{ m.}$$

2. calcul de l'excentricité supplémentaire f_{1c} :

$$\lambda = \frac{l_0}{i} \quad i = \sqrt{\frac{I}{B}} = \left(\frac{0,9 \cdot d^4}{16(d^2 - d'^2)} \right)^{1/2} = 0,80$$

$$\lambda = \frac{l_0}{i} = \frac{2 \times 18,80}{0,80} = 47,00 \quad \text{donc } 35 < \lambda < 50, \text{ d'après l'art 33.22 du}$$

c.c.B.A 68, on doit tenir d'une excentricité complémentaire, prise égale à:

$$f_{1c} = 0,16 (\lambda - 35) e = 0,16 (47 - 35) \times 1,81 = 3,48 \text{ m}$$

$$\text{d'où finalement: } e_0 = e + f_{1c} = 1,81 + 3,48 = 5,29 \text{ m}$$

3. Etat de contraintes dans la section:

- calcul de l'excentricité du noyau central e :

$$e = \frac{d^4 - d'^4}{8(d^2 - d'^2) \cdot d} = 0,51 \text{ m} \quad ; \quad \text{on a } e_0 = 5,29 \text{ m} > e = 0,51 \text{ m}, \text{ la section est}$$

partiellement comprimée. l'étude se fera d'après la méthode de Pierre Chermi.

$$\eta = \frac{e_0}{2r} = \frac{5,29}{2 \times 1,25} = 2,11 \quad ; \quad B = 2\pi \times 1,25 \times 0,25 = 1,96 \text{ m}^2$$

$$\text{soit } \sigma'_b = 79,60 \text{ kg/cm}^2 < \bar{\sigma}'_b = 153 \text{ kg/cm}^2 \quad \text{car } e_0 = 5,29 \text{ m} > r' = 1,25 \text{ m.}$$

- calcul de μ' :

$$\mu' = \frac{M}{2 \times B \times r' \times \sigma'_b} = \frac{N \cdot e_0 = 2398,18}{2 \times 1,96 \times 1,25 \times 79,60} = 0,76$$

d'après les abaques de H^e Pierre Chermi, on ne peut pas lire ces valeurs.

La section ainsi dimensionnée ne peut pas être ferrillée, On augmente pour cela le diamètre extérieur de 40 cm, il passe donc de 2,50 m à 2,80 m. Sans que cela affecte la vérification au flambement et n'induit qu'une erreur relative de 1% dans le calcul de la semelle.

Reprise des calculs :

1- Nouvelles sollicitations :

$$N = 453,33 \text{ t} + \frac{\pi (2,8^2 - 2,5^2)}{4} \cdot 17 \cdot 2,5 \Rightarrow N = 506,40 \text{ t}$$

$$H = 89,70 \text{ t}$$

$$M = 219,35 \text{ t.m}$$

2- Calcul de l'excentricité :

$$\text{On a } \frac{M}{N} = e_1 \Rightarrow e_1 = \frac{219,35}{506,40} = 1,62 \text{ m.}$$

3- Calcul de l'excentricité supplémentaire :

$$\lambda = \frac{l_0}{i} \quad \text{avec } i = \sqrt{\frac{I'}{S}} = \left(\frac{D^4 - d^4}{16(D^2 - d^2)} \right)^{1/2} = 0,86$$

$$\lambda = \frac{2l_0}{i} = \frac{2 \cdot 18,70}{0,86} = 43,71 \quad \text{toujours comprise entre 35 et 50}$$

D'où le calcul de l'excentricité complémentaire s'impose. (art. 33.22 C.C.B.E.).

$$f_{ic} = 0,16 (\lambda - 35) e_1 = 0,16 (43,71 - 35) \cdot 1,62 \Rightarrow f_{ic} = 2,26 \text{ m.}$$

$$\text{d'où finalement : } e_0 = e_1 + f_{ic} = 1,62 + 2,26 = 3,88 \text{ m.}$$

4- Etat de contraintes dans la section :

$$e_0 = 3,88 \text{ m} > e = 0,51 \text{ m} \Rightarrow \text{la section est tj. partiellement comprimée.}$$

la méthode de M^r Pierre Charon impose le calcul de η et μ' .

$$\eta = \frac{e_0}{2r} = \frac{3,88}{2 \cdot 1,35} = 1,44$$

$$\mu' = \frac{M}{2 \cdot B \cdot r \cdot \bar{\sigma}'_b} = \frac{N \cdot e_0}{2 \cdot B \cdot r \cdot \bar{\sigma}'_b} = \frac{506,40 \cdot 3,88 \cdot 10^5}{2 \cdot 3,62 \cdot 10^4 \cdot 135 \cdot 105} = 0,23$$

Remq: La contrainte de travail est prise égale à 105 kg/cm².

D'après les abaques de M^r Pierre Charon $K = 24$ et $\omega = 2,34$

5. Calcul des armatures:

$$A = \omega \cdot \frac{B}{100} = 2,34 \cdot \frac{3,02 \cdot 10^4}{100} = 706,68 \text{ cm}^2 \text{ on prend } 57 \phi 40 \text{ soit } 715,35 \text{ cm}^2$$

• Vérification de la distance entre deux barres:

$$C > \phi_{\max} = 4 \text{ cm} \quad C = (2\pi \cdot r - 57 \cdot 4) / 56 = 11,08 \text{ cm} > \phi_{\max}$$

• Vérification des contraintes:

$$e_0 = 3,88 \text{ m} > r = 1,35 \text{ m} \text{ donc } \bar{\sigma}'_b = 2 \bar{\sigma}'_{b_0} = 153 \text{ kg/cm}^2$$

$$- \bar{\sigma}_a = K \cdot \bar{\sigma}'_b = 24 \cdot 105 = 2520 \text{ kg/cm}^2 < \bar{\sigma}_a = 2667 \text{ kg/cm}^2$$

$$- \bar{\sigma}'_b = 105 \text{ kg/cm}^2 < \bar{\sigma}'_b = 153 \text{ kg/cm}^2$$

$$- \bar{\sigma}'_a = n \cdot \bar{\sigma}'_b = 15 \cdot 105 = 1575 \text{ kg/cm}^2 < \bar{\sigma}'_a = 2667 \text{ kg/cm}^2$$

Armatures transversales: Il faut que $\phi_t \geq 0,30 \phi_t = 12 \text{ mm}$ on prendra donc 12.

Espacement des cercles:

$$- \text{Zone Courante: } t = \min \begin{cases} (100 \phi_t - 15 \phi_{t,\max}) (2 - \frac{\bar{\sigma}'_b}{\bar{\sigma}'_{b_0}}) = 88 \\ 15 (2 - \frac{\bar{\sigma}'_b}{\bar{\sigma}'_{b_0}}) \phi_{t,\min} = 77 \text{ cm} \\ D = 2,5 \text{ m} \end{cases}$$

On prend $t = 35 \text{ cm}$.

$$- \text{Zone de recouvrement: } \nu = \text{nb. de Courts} \begin{cases} \nu \geq 0,4 \cdot \frac{\phi_t^2 \cdot \text{long. des}}{\phi_t \cdot \text{long.}} \\ \nu \geq 3 \end{cases}$$

$$l_r = \text{longueur de recouvrement} = 0,6 l'd = 0,6 \cdot 150,5 = 90,3 \text{ cm} \text{ soit } l_r = 90 \text{ cm}$$

$$t_r = l_r / \nu = 90 / 5 = 18 \text{ cm} \text{ on prend } t_r = 15 \text{ cm}$$

- verification du fût au flambement:

Le fût est supposé encasté sur un côté et libre de l'autre.

$$l_c = 2l_0 = 2 \times 18,80 = 37,6 \text{ m.}$$

On doit vérifier : $\frac{l_c}{D} < 17,7$ avec $D = 2,40 \text{ m}$

$$\frac{l_c}{D} = \frac{37,6}{2,40} = 15,67 < 17,7, \text{ le fût ne risque pas de flamber.}$$

- verification de la stabilité en creux: Béton : $\bar{\sigma} = 15 \text{ t/m}^2$; remblai : $\bar{\sigma} = 11 \text{ t/m}^2$

- Pds de la pile : $\bar{\pi} (2,5^2 - 2^2) \times \frac{1}{4} [15 \times 2,5 + 2 \times 15] = 71,57 \text{ t}$ (fût)

- Pds du remblai : $437,20 \times 1,1/1,8 = 267,18 \text{ t}$.

- Socle + semelle : $252,00 \times \frac{1,5}{2,5} + 522,90 \times \frac{1,5}{2,5} = 464,94 \text{ t}$

les efforts sont:

$$N = 1635,56 \text{ t}$$

$$H = 109,70 \text{ t}$$

$$M_x = 1529,33 \text{ tm}$$

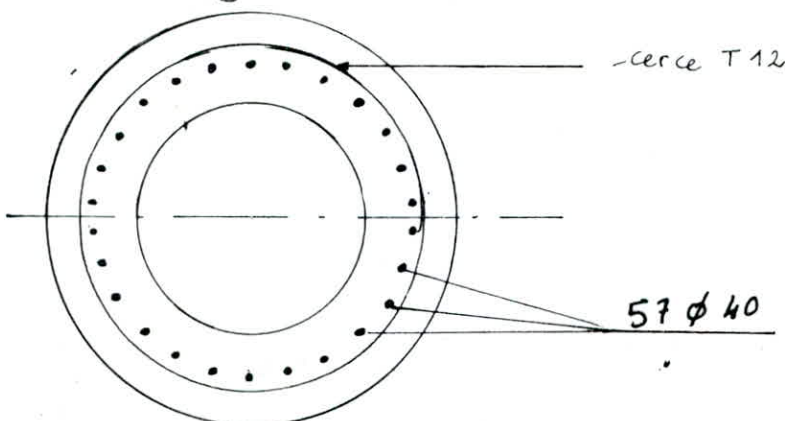
$$M_y = 1017,62 \text{ tm}$$

* Vérification au glissement : $\frac{1635,56}{109,70} = 14,91 \gg 1,75$ vérifié.

* Vérification des contraintes : $\bar{\sigma}_{\max} = 22,26 \text{ kg/cm}^2 < \bar{\sigma}_s = 50 \text{ t/m}^2$ - vérifié.

$$\bar{\sigma}_{\min} = 1,19 \text{ kg/cm}^2 \geq 0 \text{ vérifié.}$$

Ferrellage (Schéma)



Ferraillage de la Semelle

- caractéristiques géométriques:

$$L = 16,80 \text{ m}$$

$$l = 8,30 \text{ m}$$

$$h = 1,50 \text{ m}$$

- Armatures longitudinales:

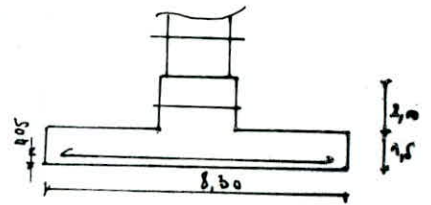
Le ferraillage de la semelle, considérée comme une double console encastée au socle est calculé avec le moment:

$$M_s = 6 \cdot L \cdot \frac{(l-b)^2}{8}; \quad A_s = \frac{M_s}{3,5 \bar{\sigma}_a}$$

$$A_s = \frac{6 \cdot L \cdot (l-b)^2}{7 \cdot h \cdot \bar{\sigma}_a} = \frac{(25,92 \cdot 10^{-1}) \times (16,80 \cdot 10^4) \times (830-300)^2}{7 \times 150 \times 2666,67}$$

$$A_s = 436,86 \text{ cm}^2 \text{ soit } 26,10 \text{ cm}^2/\text{ml.}$$

$$\text{On prend } 6 \text{ HA } 25/\text{ml} = 23,40 \text{ cm}^2/\text{ml.}$$



- Armatures supérieures:

D'après les bulletins S.E.T.R.A, les armatures de répartition

sont prises égales au tiers des armatures inférieures.

$$A'_r = \frac{1}{3} \cdot A_s = \frac{1}{3} \times 436,86 = 145,62 \text{ cm}^2 \text{ soit } 8,67 \text{ cm}^2/\text{ml.}$$

on prend 6 HA 14 / ml.

- Vérification de l'effort tranchant:

$$T_{\max} = 6 \cdot L \cdot \frac{(l-b)}{2} = 2,592 \cdot \frac{(830-300)}{2} = 686,88 \text{ kg/cm.} = 68,688 \text{ t/ml.}$$

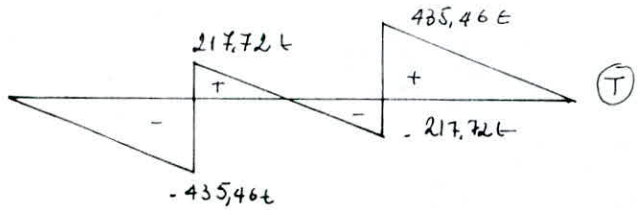
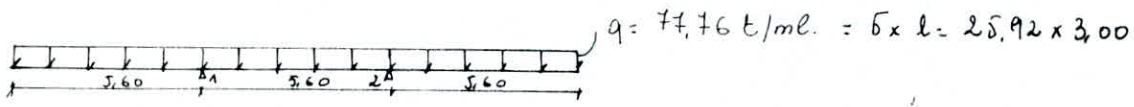
$$T_{\max} = \frac{T_{\max}}{b \cdot \frac{3}{8}} = \frac{686,88 \cdot 10^2}{100 \times \frac{3}{8} \cdot 145} = 5,41 \text{ kg/cm}^2 < 3,5 \bar{\sigma}_b = 22,05 \text{ kg/cm}^2$$

- Armatures dans le sens transversal:

les armatures transversales deviennent à

la nervure (console) qui se calcule comme une poutre sur deux appuis (fûts)

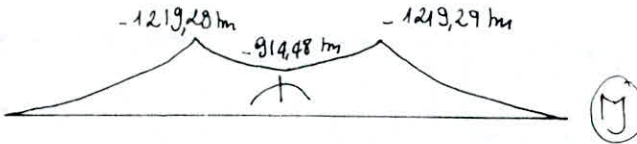
soumise à une charge uniformément répartie (reaction du sol).



$$R_1 = R_2 = \frac{qL}{2} = 653,18 \text{ t.}$$

Moment sur appui: $M = -1219,29 \text{ tm.}$

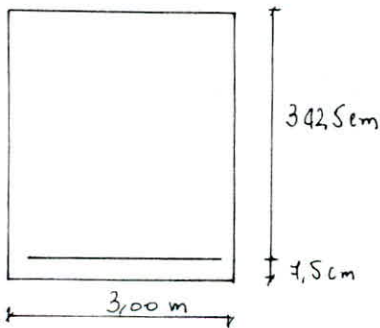
Moment en travée: $M = -914,48 \text{ tm.}$



Ferrailage:

Données: $M = -1219,29 \text{ tm}$; $\bar{\sigma}_a = 2666,67 \text{ kg/cm}^2$
 $T_{\max} = 435,46 \text{ t}$; $\bar{\sigma}'_b = 153 \text{ kg/cm}^2$.

Schema de la section de calcul:



$h_t = 350 \text{ cm}$; $h = 342,5 \text{ cm}$; $d = 7,5 \text{ cm}$; $b = 3,00 \text{ m}$

Armes comprimées:

$\bar{M}_{ub} = 1,05 \cdot 10^9 \text{ kg.cm} = 1,05 \cdot 10^4 \text{ tm}$
 $\bar{M}_{ub} = 1,05 \cdot 10^4 \text{ tm} > M = 1219,29 \text{ tm} \Rightarrow A'_s = 0$

Armes tendues:

$A_s = \frac{M}{3 \cdot \bar{\sigma}_a} = 152,57 \text{ cm}^2$ soit $50,86 \text{ cm}^2/\text{ml}$.

On prend 7 HA 32/ml soit $56,29 \text{ cm}^2/\text{ml}$.

Verifications:

* non fissurée: $\sigma_1 = 4943,46 \text{ kg/cm}^2 > \bar{\sigma}_a = 2666,67 \text{ kg/cm}^2$ vérifiée.

* effort tranchant:

$\bar{\tau}_{\max} = \frac{435,46 \cdot 10^3}{300 \times \frac{7}{8} \times 342,5} = 4,81 \text{ kg/cm}^2$; $\bar{\sigma}'_b = 36,28 \text{ kg/cm}^2$

$\bar{\tau}_b = 3,5 \bar{\sigma}'_b = 22,05 \text{ kg/cm}^2$, on a $\tau_{\max} = 4,81 \text{ kg/cm}^2 < \bar{\tau}_b = 22,05 \text{ kg/cm}^2$.

Armes de répartition:

$A'_r = \frac{1}{3} \times 168,87 = 56,29 \text{ cm}^2$ soit 7 HA 20/ml: $21,89 \text{ cm}^2/\text{ml}$.

Étude de la culée

Rôle:

Les culées sont des appuis extrêmes d'un pont qui servent à soutenir les remblais d'accès au pont d'une part et d'appui du tablier dans l'autre part.

Prédimensionnement de la culée:

épaisseur du fût:

$$a \geq \frac{h_f}{12} = \frac{13,59}{12} = 1,13 \text{ m}$$

- on prend $a = 2,50 \text{ m}$ pour des raisons de résistance.

- La longueur du chevet est $L_1 = 10,60 \text{ m}$.

- épaisseur du chevet: $e \geq a + 20 \text{ cm} = 2,70 \text{ m}$.

- hauteur du chevet: Pour des raisons de résistance: $h = 1,80 \text{ m}$.

- hauteur du mur garde grève: $h_{m44} = h_c + 23 \text{ cm} = 2,03 \text{ m}$.

- épaisseur du mur garde grève: $e = 30 \text{ cm}$ pour $h_{m44} > 2,00 \text{ m}$.

- longueur de la semelle: $L_s = (n - 0,2) e$

n : nbre de fûts = 2 ; e : entre axe des fûts = 4,50 m.

$$\text{ma: } L_s = (2 - 0,2) \times 4,50 = 8,10 \text{ m}$$

on prend $L_s = 16,80 \text{ m}$ pour des raisons de stabilité.

- largeur de la semelle: $B = B_0 + 1,2 \frac{F \cdot H}{Q}$

$$B_0 = \frac{R}{(\bar{q} - \frac{1}{2} H) L_s}$$

R : résultante des forces verticales maximale.

$$\bar{q}_2 = 2,1 \text{ t/m}^3 ; \bar{q} = 28 \text{ t/m}^2$$

$$L_s = 16,80 \text{ m} ; H: \text{hauteur de la culée.}$$

$$B_0 = \frac{221,76}{(28 - 2,1 \times 15,39) \times 16,80} = 3,06 \text{ m}$$

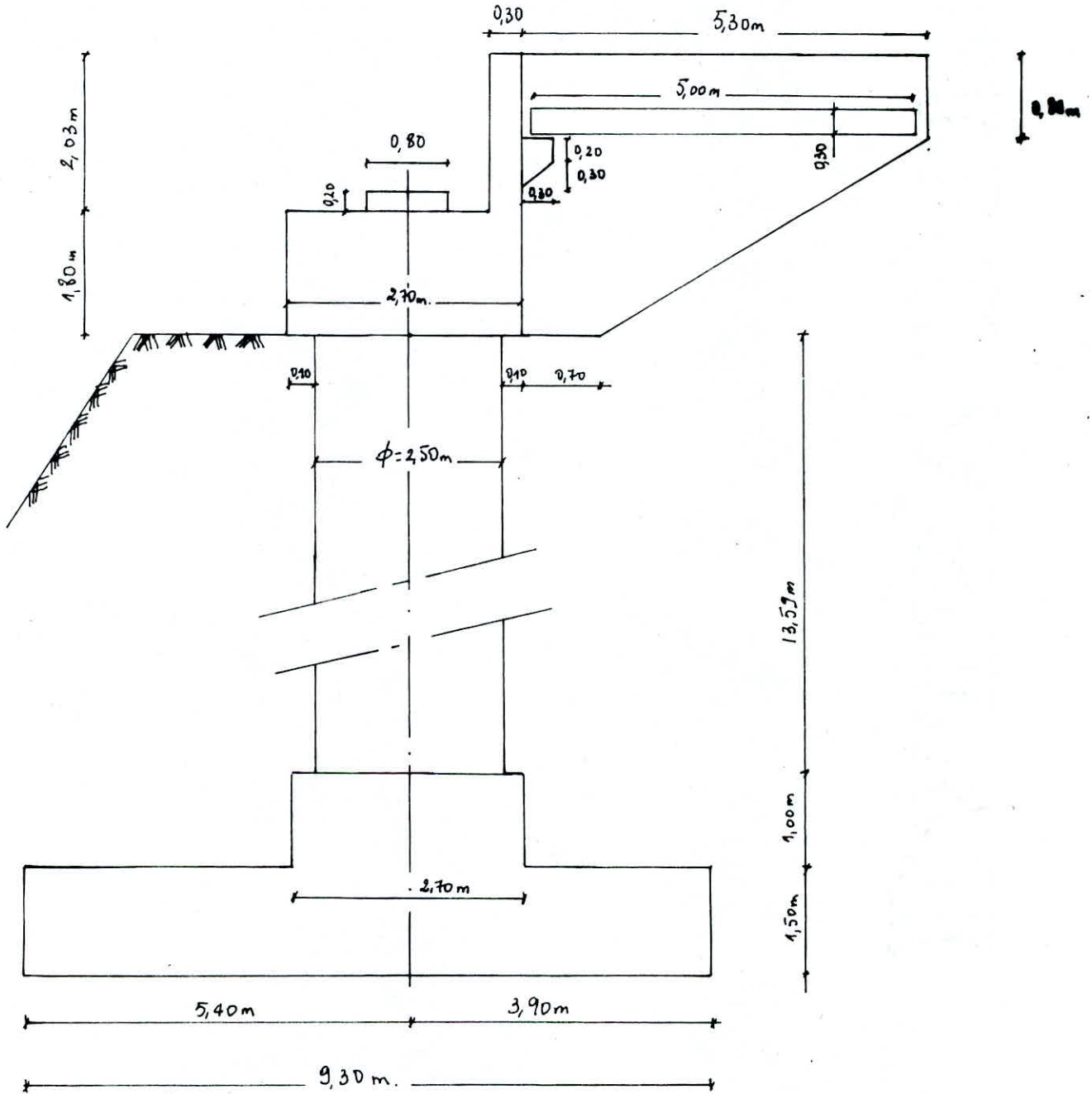
$$F: \text{force de ferraillage} = 41,21 \text{ t.} ; Q = \bar{q} B_0 L_s = 1439,46 \text{ t.}$$

$$B = 3,06 + 1,2 \frac{41,21 \times 15,39}{1439,42} = 3,59 \text{ m} \text{ on prend } \underline{B = 9,30 \text{ m}}$$

- hauteur de la semelle :

$$h_s = 1,50 \text{ m.}$$

schématiquement en euro :



Coupe transversale

- Calcul de la Culée

hypothèses de calcul:

$\bar{\gamma}_R$ = densité du remblai = $1,8 \text{ t/m}^3$.

$\bar{\gamma}_B$: densité du béton armé = $2,5 \text{ t/m}^3$.

φ : angle de frottement interne : 30°

du remblai

q : surcharge sur remblai = 1 t/m^2 (majoré $\bar{q} = 1,2 \text{ t/m}^2$).

parement vertical $\alpha = 0$

sur face du remblai horizontale $\beta = 0$

Angle de frottement sol-béton $\delta = 0$

penté du terrain naturel $p = 2/3$.

1. Calcul de la stabilité :

1.1 Calcul des paramètres:

$$* k = \left[(1 \pm E_v)^2 + E_H^2 \right]^{1/2}$$

$$* \theta = \arctg \left(\frac{E_H}{1 \pm E_v} \right)$$

$$* \lambda_{zh} = \frac{\cos^2(\varphi + \alpha - \theta) k}{-\cos^2 \alpha \left[1 + \left(\frac{\sin(\varphi + \delta) \sin(\varphi - \beta - \theta)}{\cos(\alpha - \beta) \cos(\delta - \alpha + \theta)} \right)^{1/2} \right]} \frac{\cos(\delta - \alpha)}{\cos(\delta - \alpha + \theta)}$$

Données: $E_H = 0,10$; $E_v = \pm 0,07$.

1) $E_H = 0$; $E_v = 0 \Rightarrow \theta = 0$; $k = 1$; $\lambda_{zh} = 0,333$.

2) $E_H = 0,10$; $E_v = -0,07 \Rightarrow \theta = 6^\circ 14$; $k = 0,9354$; $\lambda_{zh} = 0,3740$.

3) $E_H = 0,10$; $E_v = 0 \Rightarrow \theta = 5^\circ 71$; $k = 1,005$; $\lambda_{zh} = 0,3966$.

4) $E_H = 0,10$; $E_v = 0,07 \Rightarrow \theta = 5^\circ 34$; $k = 1,075$; $\lambda_{zh} = 0,4197$.

1.2 - Calcul des efforts :

- Effort horizontal de séisme : $H_s = E_H \times G$
- Effort vertical : $V = (1 \pm E_v) G$
- poussée des terres : $H_p = \frac{1}{2} \delta_2 \cdot h^2 \cdot \lambda \cdot h \cdot L$
- poussée des surcharges remblai : $H_q = q \times h \times \lambda \cdot h$

1.3 - Calcul des sollicitations :

Sollicitations Diagrammes	- Calcul	Effort Horizontal (t)	Effort Vertical (t)	bras de levier		M _R (t.m)	M _S (t.m)
				H(m)	V(m)		
Mur grande-zébre	1/ 0,3 x 2,05 x 10,60 x 2,5 x 1	—	16,139	—	6,60	—	106,52
	2/ " " " " x 0,93	1,614	15,003	18,91	"	30,521	99,059
	3/ " " " " x 1	"	16,139	"	"	"	106,52
	4/ " " " " x 1,07	"	17,269	"	"	"	113,975
Chevêtre	1/ 1,80 x 2,70 x 10,60 x 2,5 x 1	—	123,790	—	5,40	—	695,47
	2/ " " " " x 0,93	12,879	119,775	16,99	"	218,814	646,79
	3/ " " " " x 1	"	123,790	"	"	"	695,47
	4/ " " " " x 1,07	"	137,805	"	"	"	744,15
De d'effroi	1/ 4(0,8 x 1,00 x 0,20 x 2,5) x 1	—	1,600	—	5,40	—	8,64
	2/ " " " " x 0,93	0,16	1,488	17,99	"	2,878	8,04
	3/ " " " " x 1	"	1,600	"	"	"	8,64
	4/ " " " " x 1,07	"	1,712	"	"	"	9,24
Corbeau	1/ $\frac{0,5+0,2}{2} \times 0,30 \times 8,25 \times 2,5 \times 1$	—	2,166	—	6,93	—	15,010
	2/ " " " " x 0,93	0,217	2,014	18,93	"	4,108	13,957
	3/ " " " " x 1	"	2,166	"	"	"	15,010
	4/ " " " " x 1,07	"	2,317	"	"	"	16,058
Dalle de transition	1/ 5 x 0,30 x 8 x 2,5 x 1	—	30,000	—	9,40	—	282,00
	2/ " " " " x 0,93	3,000	27,900	19,27	"	57,810	262,26
	3/ " " " " x 1	"	30,000	"	"	"	282,00
	4/ " " " " x 1,07	"	32,100	"	"	"	301,74
fûts	1/ $\frac{2 \times (2,5^2 - 2,00^2)}{4} \times 13,59 \times 2,5 \times 1$	—	179,316	—	5,40	—	968,31
	2/ " " " " x 0,93	17,932	166,764	9,30	"	166,768	900,52
	3/ " " " " x 1	"	179,316	"	"	"	968,31
	4/ " " " " x 1,07	"	191,868	"	"	"	1036,09

Polliculaires Diagrames	- Calcul	Effort horizontal (E)	Effort vertical (T)	bras de levier		M _R (t.m)	M _S (t.m)
				H(m)	V(m)		
Mur en retour	1/ $5,30 \times 0,80 + \frac{97+5,30}{2} \times 3,03 \times 1,2$	—	26,660	—	10,19	—	271,67
	2/ " " " " $\times 0,93$	2,666	24,794	17,20	"	45,86	252,65
	3/ " " " " $\times 1,2$	"	26,660	"	"	"	271,67
	4/ " " " " $\times 1,07$	"	28,526	"	"	"	290,68
Socle de la Semelle	1/ $2,70 \times 1,00 \times 16,80 \times 2,5 \times 1$	—	113,400	—	5,40	—	612,36
	2/ " " " " $\times 0,93$	11,340	105,462	2,00	"	22,68	569,49
	3/ " " " " $\times 1$	"	113,400	"	"	"	612,36
	4/ " " " " $\times 1,07$	"	121,338	"	"	"	655,23
Semelle	1/ $9,30 \times 1,50 \times 16,80 \times 2,5 \times 1$	—	585,900	—	5,40	—	3163,86
	2/ " " " " $\times 0,93$	58,590	544,887	0,75	"	43,94	2942,39
	3/ " " " " $\times 1$	"	585,900	"	"	"	3163,86
	4/ " " " " $\times 1,07$	"	626,913	"	"	"	3385,33
Poids des terres entre les fils	1/ $13,59 \times 2,00 \times 2,50 \times 1,8 \times 1$	—	122,31	—	5,40	—	660,47
	2/ " " " " $\times 0,93$	12,231	113,748	9,80	"	113,75	614,24
	3/ " " " " $\times 1$	"	122,31	"	"	"	660,47
	4/ " " " " $\times 1,07$	"	130,872	"	"	"	706,71
Poids des terres sur la dalle de transition	1/ $0,70 \times 5,00 \times 8,00 \times 1,8 \times 1$	—	50,400	—	9,40	—	473,76
	2/ " " " " $\times 0,93$	5,040	46,872	19,67	"	99,14	440,60
	3/ " " " " $\times 1$	"	50,400	"	"	"	473,76
	4/ " " " " $\times 1,07$	"	53,928	"	"	"	506,92
Poids des surcharges	1/ $18,42 \times 2,65 \times 1,2 \times 1$	—	58,576	—	8,03	—	470,37
	2/ " " " " $\times 1 \times 0,93$	5,858	45,396	9,96	"	58,35	437,44
	3/ " " " " $\times 1$	"	48,813	"	"	"	470,37
	4/ " " " " $\times 1,07$	"	52,230	"	"	"	503,29
Poids des terres derrière la dalle.	1/ $(17,62 \times 10,60 - \frac{0,5+0,93}{2}) \times 1,8$	—	336,001	—	7,98	—	2681,29
	2/ " " " " $\times 0,93$	33,600	312,481	10,31	"	346,42	2493,60
	3/ " " " " $\times 1$	"	336,001	"	"	"	2681,29
	4/ " " " " $\times 1,07$	"	359,521	"	"	"	2868,98
Poids des terres sur le pavé avant	1/ $14,59 \times 4,15 \times 16,80 \times 1,8 \times 1$	—	1830,987	—	2,08	—	3808,45
	2/ " " " " $\times 0,93$	183,099	1702,818	8,80	"	1641,27	3541,86
	3/ " " " " $\times 1$	"	1830,987	"	"	"	3808,45
	4/ " " " " $\times 1,07$	"	1959,156	"	"	"	4075,04

Sollleistungen Anzahl		- Calcul	Effnt horizontal (t)	Effnt vertical (t)	Bras de levier		M _e (t.m)	M _s (t.m)	
					H(m)	V(m)			
poussee des terres.	Mur gauche grevé	1) $\frac{1}{2} \times 1,8 \times 2,03 \times 10,2 \times 0,333$	12,60	/	/	/	/	233,98	
		2) " " " " $\times 0,374$	14,15					262,79	
		3) " " " " $\times 0,3966$	15,01					278,67	
		4) " " " " $\times 0,4197$	15,88					294,90	
	chevêche	1) $5,27 \times 1,8 \times 10,2 \times 0,333$	32,23	/	/	/	/	544,69	
		2) " " " " $\times 0,374$	36,20					614,75	
		3) " " " " $\times 0,3966$	38,39					648,72	
		4) " " " " $\times 0,4197$	40,62					686,50	
	fut	1) $2 \times \frac{1}{2} \times 38,23 \times 13,59 \times 2,5 \times 0,333$	432,52	/	/	/	/	3395,28	
		2) " " " " $\times 0,374$	485,78					3845,37	
		3) " " " " $\times 0,3966$	515,13					4043,81	
		4) " " " " $\times 0,4197$	545,13					4279,34	
	Socle	1) $\frac{1}{2} \times 64,67 \times 1,00 \times 16,80 \times 0,333$	180,89	/	/	/	/	361,78	
		2) " " " " $\times 0,374$	203,17					406,34	
		3) " " " " $\times 0,3966$	215,44					430,88	
		4) " " " " $\times 0,4197$	227,99					455,98	
Semelle	1) $\frac{1}{2} \times 69,37 \times 1,5 \times 16,80 \times 0,333$	291,06	/	/	/	/	215,38		
	2) " " " " $\times 0,374$	326,90					241,91		
	3) " " " " $\times 0,3966$	346,65					256,52		
	4) " " " " $\times 0,4197$	366,84					271,46		
poussee des surcharges.	Mur gauche grevé	1) $1,2 \times 1,2 \times 2,03 \times 10,2 \times 0,333$	9,93	/	/	/	/	187,78	
		2) $1,2 \times 1 \times " " \times 0,374$	9,29					175,67	
		3) $1,2 \times 1 \times " " \times 0,3966$	9,85					186,26	
		4) $1,2 \times 1 \times " " \times 0,4197$	10,43					197,23	
	chevêche	1) $1,2 \times 1,2 \times 1,80 \times 10,2 \times 0,333$	8,80	/	/	/	/	149,60	
		2) $1,2 \times 1 \times " " \times 0,374$	8,24					140,08	
		3) $1,2 \times 1 \times " " \times 0,3966$	8,74					148,58	
		4) $1,2 \times 1 \times " " \times 0,4197$	9,25					157,25	
	fut	1) $1,2 \times 1,2 \times 13,59 \times 5,00 \times 0,333$	32,58	/	/	/	/	303,00	
		2) $1,2 \times 1 \times " " \times 0,374$	30,50					283,65	
		3) $1,2 \times " " \times " " \times 0,3966$	32,34					300,72	
		4) $1,2 \times " " \times " " \times 0,4197$	34,22					317,25	
	Socle et Semelle	1) $1,2 \times 1,2 \times 1,00 \times 16,80 \times 0,333$	8,06	12,09	2,00	0,75	16,12	9,07	
		2) $1,2 \times 1 \times " " \times 0,374$	7,54	11,31	"	"	15,08	8,48	
		3) $1,2 \times " " \times " " \times 0,3966$	8,00	12,00	"	"	16,00	9,00	
		4) $1,2 \times " " \times " " \times 0,4197$	8,46	12,69	"	"	16,92	9,52	
		Socle	Semelle	Socle	Semelle	Socle	Semelle		

Sollécitations des éléments	Calcul	Effort horizontal (t)	Effort vertical (t)	Bras de levier		M _R (t.m)	M _S (t.m)
				H(m)	V(m)		
Poids des terres sur le pavé arrière	1/ 14,59 x 2,65 x 6,20 x 1,8 x 1	—	431,48	—	8,03	—	3464,78
	2/ " " " " x 0,93	43,15	401,28	8,05	"	347,36	3222,25
	3/ " " " " x 1	"	431,48	"	"	"	3464,78
	4/ " " " " x 1,07	"	461,69	"	"	"	3707,32
Poussée des terres sur fut (remblai avant)	1/ $2 \times \frac{1}{2} \times 1,8 \times 13,59^2 \times 8,10 \times 0,333$	553,51	—	7,03	—	—	3891,18
	2/ " " " " x 0,374	621,66	—	"	—	—	4370,27
	3/ " " " " x 0,376	659,23	—	"	—	—	4634,39
	4/ " " " " x 0,4197	697,62	—	"	—	—	4904,27
Poussée des terres sur le socle (remblai avant)	1/ $(\frac{26,26+24,46}{2}) \times 1 \times 16,80 \times 0,333$	141,87	—	2,10	—	—	283,74
	2/ " " " " x 0,374	159,34	—	"	—	—	318,68
	3/ " " " " x 0,376	168,97	—	"	—	—	337,94
	4/ " " " " x 0,4197	178,81	—	"	—	—	357,62
Poussée des terres sur la semelle (remblai avant)	1/ $(\frac{26,26+28,96}{2}) \times 1,5 \times 16,80 \times 0,333$	231,69	—	0,75	—	—	173,77
	2/ " " " " x 0,374	260,22	—	"	—	—	195,17
	3/ " " " " x 0,376	275,94	—	"	—	—	206,96
	4/ " " " " x 0,4197	292,02	—	"	—	—	219,02
Total		93,69	3913,73			5416,68	22031,65
		404,36	3639,76			9253,27	21329,27
		409,91	3913,73			9620,89	22862,21
		415,58	4187,69			9996,64	24401,68

1.4 Vérifications :

* Glissement : $J = \frac{V \cdot \lg \varphi}{H}$ $\varphi = 30^\circ \Rightarrow \lg \varphi = 0,58$

1/ $J_1 = \frac{3913,73 \times 0,58}{93,69} = 24,34 > 1,5.$

2/ $J_2 = \frac{3639,76 \times 0,58}{404,36} = 5,22 > 1.$

2/ $J_3 = \frac{3913,73 \times 0,58}{409,91} = 5,54 > 1.$

4/ $J_4 = \frac{4187,69 \times 0,58}{415,58} = 5,84 > 1.$

pas de risque de glissement.

* Excentricités : $e = \frac{\Sigma M_D - \Sigma M_R}{Y}$

1/ $e_1 = \frac{22081,65 - 5414,68}{3913,73} = 4,25 \text{ m} > \frac{A}{5} = \frac{9,30}{5} = 1,86 \text{ m}$

2/ $e_2 = \frac{21329,27 - 9253,27}{3639,76} = 3,32 \text{ m} > \frac{A}{4} = \frac{9,30}{4} = 2,33 \text{ m}$

3/ $e_3 = \frac{22864,21 - 9620,89}{3913,73} = 3,38 \text{ m} > \frac{A}{4} = 2,33 \text{ m}$

4/ $e_4 = \frac{24401,68 - 9996,64}{4187,69} = 3,44 \text{ m} > \frac{A}{4} = 2,33 \text{ m}$

* Contraintes : $\bar{\sigma} = \frac{V}{S} \pm \frac{M_G}{I} \cdot y$; $S = 9,30 \times 16,80 = 156,24 \text{ m}^2$

1/ $\bar{\sigma}_1 = \frac{3913,73}{156,24} + \frac{497,502}{1126,10} \times 4,65$; $I = \frac{16,80 \times 9,30^3}{12} = 1126,10 \text{ m}^4$
 $\bar{\sigma}_2 = \frac{3913,73}{156,24} - \frac{497,502}{1126,10} \times 4,65 = 23,10 \text{ t/m}^2$
 $y = \frac{9,30}{2} = 4,65 \text{ m}$

$\bar{\sigma}_1 = 27,10 \text{ t/m}^2$

$\bar{\sigma}_2 = \frac{3913,73}{156,24} - \frac{497,502}{1126,10} \times 4,65 = 23,10 \text{ t/m}^2$

2/ $\bar{\sigma}_1 = \frac{3639,76}{156,24} + \frac{2870,69}{1126,10} \times 4,65 = 35,15 \text{ t/m}^2$

$\bar{\sigma}_2 = \frac{3639,76}{156,24} - \frac{2870,69}{1126,10} \times 4,65 = 11,44 \text{ t/m}^2$

3/ $\bar{\sigma}_1 = \frac{3913,73}{156,24} + \frac{3072,73}{1126,10} \times 4,65 = 37,74 \text{ t/m}^2$

$\bar{\sigma}_2 = \frac{3913,73}{156,24} - \frac{3072,73}{1126,10} \times 4,65 = 12,36 \text{ t/m}^2$

4/ $\bar{\sigma}_1 = \frac{4187,69}{156,24} + \frac{3243,48}{1126,10} \times 4,65 = 40,20 \text{ t/m}^2$

$\bar{\sigma}_2 = \frac{4187,69}{156,24} - \frac{3243,48}{1126,10} \times 4,65 = 13,41 \text{ t/m}^2$

Sans séisme :

$\bar{\sigma}_{1 \text{ max}} = 27,10 \text{ t/m}^2 \leq \bar{\sigma} = 50 \text{ t/m}^2$

$\bar{\sigma}_{1 \text{ min}} = 23,10 \text{ t/m}^2 \geq 0$

avec séisme :

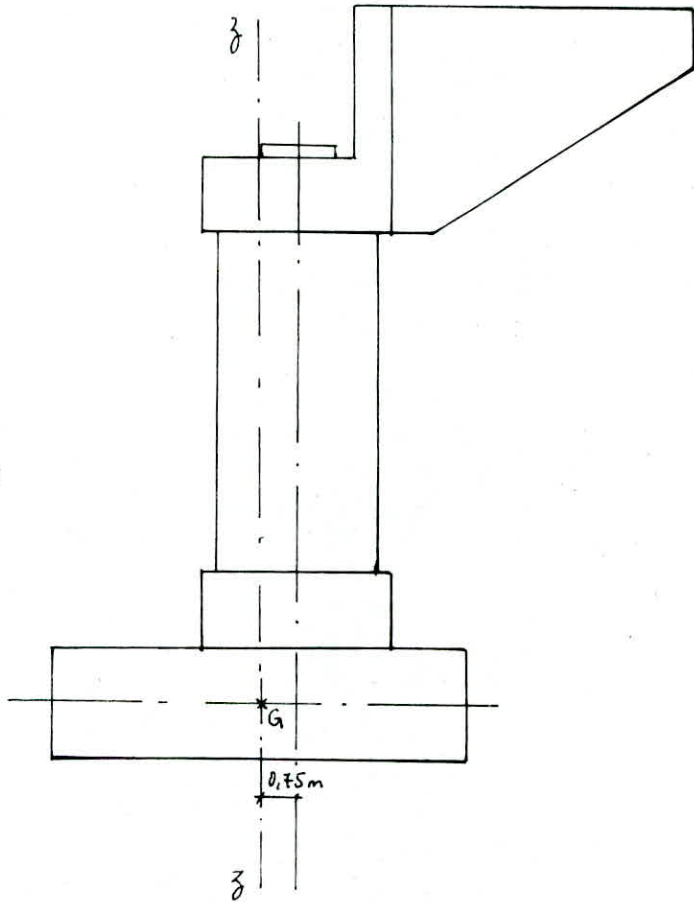
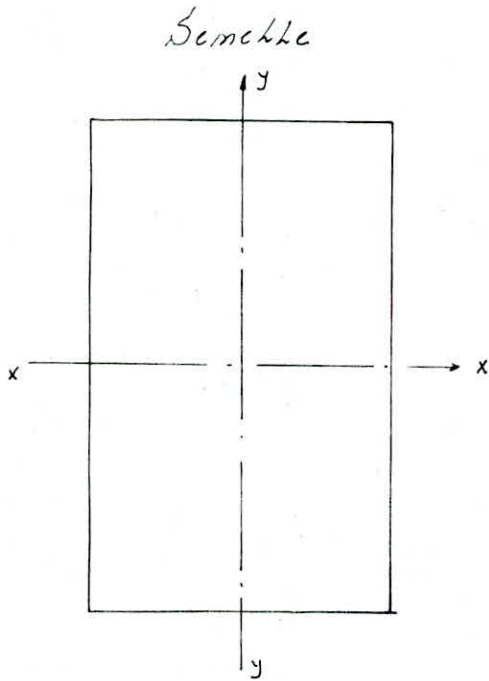
$\bar{\sigma}_{1 \text{ max}} = 40,20 \text{ t/m}^2 \leq 1,5 \bar{\sigma} = 75 \text{ t/m}^2$

$\bar{\sigma}_{1 \text{ min}} = 11,44 \text{ t/m}^2 \geq 0$

2. Calcul des efforts dus au tablier :

a) charges permanentes :

- Schéma de calcul



Effort	N(t)	e_x (m)	e_y (m)	M_x (t.m)	M_y (t.m)
Lw 02 tabliers (02 cave #es)	201,44	0,75	0	0	151,08
Dénivellation aller	-126,72	0,75	0	0	-95,04
Dénivellation retour	144,84	0,75	0	0	108,63
retrait + ΔT	-98,20	0,75	0	0	-73,65
totaux	121,36				91,02

b/ Surcharges:

b.1. Efforts verticaux:

Efforts		N (t)	e _x (m)	e _y (m)	M _x (t.m)	M _y (t.m)
Surcharge du train	une voie chargée	191,92	0,75	2,10	± 403,03	143,94
	chargée	-24,32	0,75	2,10	± 51,07	-18,24
	deux (02) voies chargées	383,84	0,75	0	0	287,88
	chargées	-48,64	0,75	0	0	-36,48
Surcharge de trottoir	01 trottoir chargé	7,66	0,75	2,10	± 16,09	5,75
	02 trottoirs chargés	15,32	0,75	0	0	11,49

b.2 Efforts horizontaux:

Efforts		H (t)	e _x (m)	e _y (m)	M _y (t.m)	M _x (t.m)
Freinage	sur 01 voie	41,92	2,10	17,34	714,58	86,54
	sur 02 voies	82,42	0	17,34	1429,16	0

2.2 Sollicitations:

Cas ① $N = 121,36 + 383,84 + 15,32 = 520,52 \text{ t.}$ $H = 82,42 \text{ t.}$

$M_y = 91,02 + 287,88 + 1429,16 + 11,49 = 1819,55 \text{ t.m.}$

Cas ② $N = \left(121,36 + \frac{383,84 + 15,32}{1,2} \right) \times 0,93 = 430,71 \text{ t.}$

$H = 0,10 \times 6 = 0,10 \times 453,99 = 45,40 \text{ t.}$

$M_y = 45,40 \times 17,34 + 430,71 \times 0,75 = 1110,27 \text{ t.m.}$

Cas ③ $N = 453,99 \text{ t.} ; \quad H = 45,40 \text{ t.}$

$M_y = 45,40 \times 17,34 + 453,99 \times 0,75 = 1127,73 \text{ t.m.}$

Cas ① $N = 485,77 \text{ t}$ ($453,99 \times 1,07$) $H = 45,40 \text{ t}$

$M_G = 45,40 \times 17,34 + 485,77 \times 0,75 = 1151,56 \text{ t.m.}$

2.3 Verifications:

* Glissement: Le cas ② est le plus defavorable, en effet seisme ascendant (SIF) soulage la structure donc favorise le glissement.

$\gamma_2 = \frac{(430,71 + 3639,76) \times 0,58}{404,36 + 45,40} = 5,25 > 1$. donc le glissement est verifie.

* Contraintes:

Cas ① $\sigma_1 = 27,10 + \frac{520,52}{156,24} + \frac{1819,55}{1126,10} \times 4,65 = 37,95 \text{ t/m}^2$

$\sigma_2 = 23,00 + \frac{520,52}{156,24} - \frac{1819,55}{1126,10} \times 4,65 = 18,82 \text{ t/m}^2$

Cas ② $\sigma_1 = 35,15 + \frac{430,71}{156,24} + \frac{1110,27}{1126,10} \times 4,65 = 42,50 \text{ t/m}^2$

$\sigma_2 = 11,44 + \frac{430,71}{156,24} - \frac{1110,27}{1126,10} \times 4,65 = 9,61 \text{ t/m}^2$

Cas ③ $\sigma_1 = 37,74 + \frac{453,99}{156,24} + \frac{1127,73}{1126,10} \times 4,65 = 45,30 \text{ t/m}^2$

$\sigma_2 = 12,36 + \frac{453,99}{156,24} - \frac{1127,73}{1126,10} \times 4,65 = 10,61 \text{ t/m}^2$

Cas ④ $\sigma_1 = 40,20 + \frac{485,77}{156,24} + \frac{1151,56}{1126,10} \times 4,65 = 48,06 \text{ t/m}^2$

$\sigma_2 = 13,41 + \frac{485,77}{156,24} - \frac{1151,56}{1126,10} \times 4,65 = 11,76 \text{ t/m}^2$

Sans seisme:

avec seisme:

$\sigma_{1 \max} = 37,95 \text{ t/m}^2 \leq \bar{\sigma} = 50 \text{ t/m}^2$; $\sigma_{1 \max} = 48,06 \text{ t/m}^2 \leq 1,5 \bar{\sigma} = 75 \text{ t/m}^2$

$\sigma_{1 \min} = 18,82 \text{ t/m}^2 \geq 0$

$\sigma_{1 \min} = 9,61 \text{ t/m}^2 \geq 0$

Les contraintes sont verifiees.

Calcul du chevêtre

charge sollicitant le chevêtre :

Pds propre du chevêtre : 12,15 t/ml.

Pds propre du mur garde : 1,52 t/ml.
grève

Pds propre du corbeau : 0,26 t/ml.

tablier : CP + surcharges : 173,72 t/poutre.

Dette de transition : 5,45 t/ml.

Dé d'appui : 0,4 t/dé d'appui

Mur en retour : 13,33 t.

Schéma de calcul :

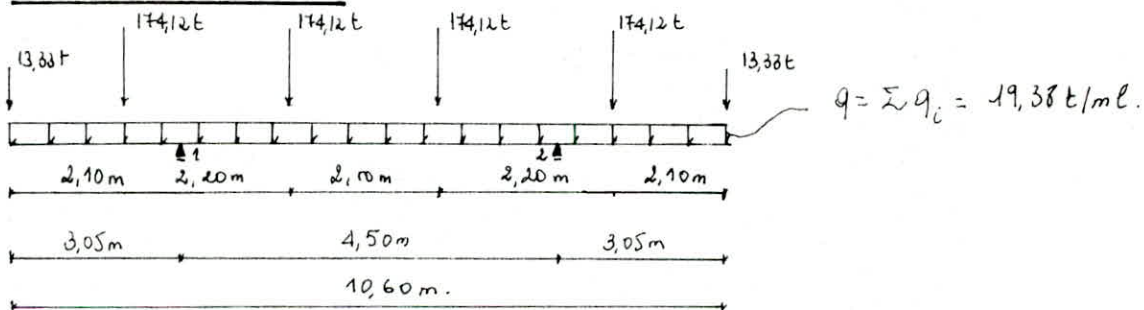
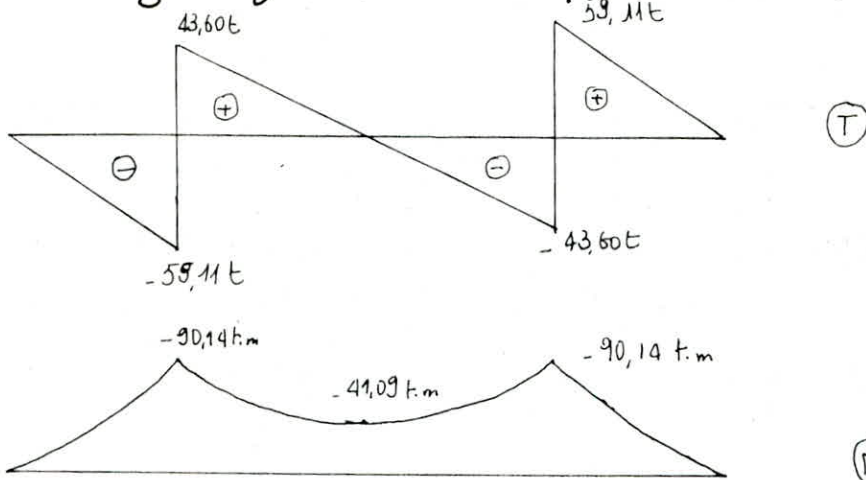


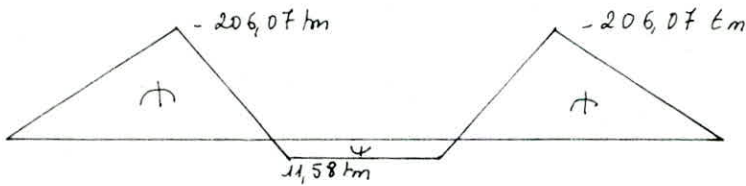
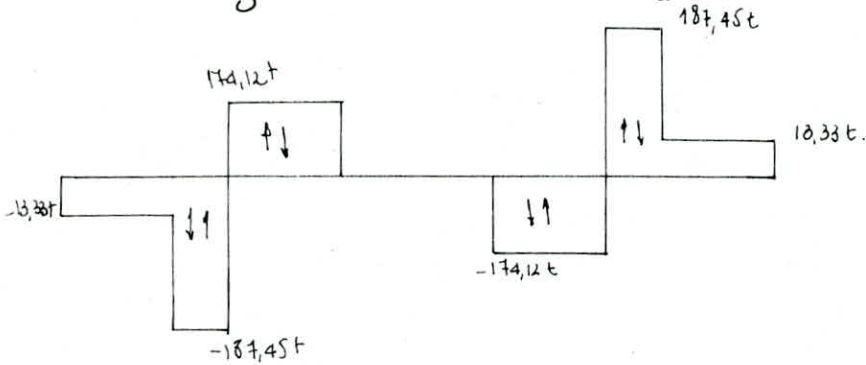
Diagramme des éléments de réduction M et T :

1/ charge unif^{te} répartie : $q = 19,38 \text{ t/ml}$; $R_1 = R_2 = 402,71 \text{ t}$ (↑).



$$M_{app} = -90,14 \text{ t.m} \quad ; \quad M_c = -41,09 \text{ t.m} \quad ; \quad T_{app} = 59,11 \text{ t.}$$

2/ charges concentrées : $R_1 = R_2 = 361,57 \text{ t.}$ (↑)



$$M_{app} = -206,07 \text{ t.m} \quad ; \quad M_c = 11,58 \text{ t.m} \quad ; \quad T_{app} = 187,45 \text{ t.}$$

Les efforts maximaux :

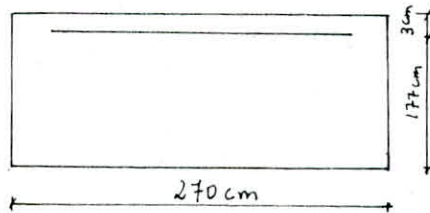
$$M_{app} = -90,14 - 206,07 = -296,21 \text{ t.m}$$

$$M_c = 11,58 - 41,09 = -29,51 \text{ t.m}$$

$$T_{max} = 59,11 + 187,45 = 246,56 \text{ t.}$$

Ferraillage :

sur appui :



$$M_{app} = -296,21 \text{ t.m.}$$

$$\bar{\alpha} = 0,45 \quad ; \quad \bar{\delta} = 0,85 \quad ; \quad \bar{k} = 29,26 \text{ kg/cm}^2 \quad \text{d'où } \bar{M}_{yb} = \bar{k} b h^2$$

$$\bar{M}_{yb} = 29,26 \times 270 \times 147^2 = 2,475 \cdot 10^3 \text{ t.m.} > 296,21 \text{ t.m} \Rightarrow A' = 0.$$

Calcul des armatures tendues :

$$A = \frac{M_{app}}{\bar{\delta} \times \bar{k} \times \bar{\alpha}} = \frac{296,21 \cdot 10^5}{0,85 \times 29,26 \times 270} = 70,32 \text{ cm}^2 \quad \text{soit : } 23 \text{ HA } 20 = 72,22 \text{ cm}^2.$$

Verification de la condition de non fissuration:

$$\bar{\sigma}_1 = \frac{k\eta}{\phi} \frac{\tilde{\omega}f}{1+10\tilde{\omega}f} = \frac{1,5 \cdot 10^6 \times 1,6}{20} \times \frac{0,027}{1+0,27} = 2551,18 \text{ kg/cm}^2$$

$$\bar{\sigma}_2 = 2,4 \left(\frac{k\eta}{\phi} \bar{\sigma}_b \right)^{1/2} = 2,4 \left(\frac{1,5 \cdot 10^6 \times 1,6}{20} \times 6,3 \right)^{1/2} = 2086,76 \text{ kg/cm}^2$$

$\max(\bar{\sigma}_1, \bar{\sigma}_2) = \bar{\sigma}_1 < \bar{\sigma}_a = 2800 \text{ kg/cm}^2$, La condition n'est pas vérifiée.

Soit la nouvelle contrainte admissible de l'acier, $\bar{\sigma}_a = \bar{\sigma}_1 = 2551,18 \text{ kg/cm}^2$.

$$\alpha = 0,47 ; \delta = 0,84 \quad \text{d'où } A = \frac{296,21 \cdot 10^5}{0,84 \times 1,77 \times 2551,18} = 78,09 \text{ cm}^2$$

$$\text{Soit } A = 25 \text{ HA } 20 = 78,50 \text{ cm}^2$$

$$\bar{\sigma}_1 = \frac{1,5 \cdot 10^6 \times 1,6}{20} \times \frac{0,029}{1+0,29} = 2697,67 \text{ kg/cm}^2$$

$$\max(\bar{\sigma}_1, \bar{\sigma}_2) = \bar{\sigma}_1 > \bar{\sigma}_a = 2551,18 \text{ kg/cm}^2$$

$$\bar{\sigma}_2 = 2086,76 \text{ kg/cm}^2$$

Verification de la non fragilité:

$$A \geq B_f \frac{\bar{\sigma}_s}{\bar{\sigma}_{en}} = 2700 \times \frac{25,5}{4200} = 16,39 \text{ cm}^2 \quad 78,09 \text{ cm}^2 > 16,39 \text{ cm}^2 \text{ vérifiée.}$$

Verification de l'effort tranchant:

$$\bar{\tau}_b^{\max} = \frac{T_{\max}}{b \cdot z} = \frac{246,56 \cdot 10^3}{8 \times 177 \times 270} = 5,90 \text{ kg/cm}^2$$

$$\bar{\tau}_b^{\max} \leq 2,5 \bar{\sigma}_b = 2,5 \times 6,3 = 15,75 \text{ kg/cm}^2 \quad \text{"Le calcul de } \bar{\sigma}'_b \text{ est inutile"}$$

$$\bar{\tau}_b = 3,5 \bar{\sigma}_b = 3,5 \times 6,3 = 22,05 \text{ kg/cm}^2 \quad \text{nous avons } \bar{\tau}_b^{\max} = 5,90 \text{ kg/cm}^2 < \bar{\tau}_b = 22,05 \text{ kg/cm}^2$$

En travée:

$$M_t = -29,51 \text{ tm}$$

$$\bar{\alpha} = 0,45 ; \bar{\delta} = 0,85 ; \bar{e} = 29,26 ; \bar{M}_{rb} = 2,475 \cdot 10^3 \text{ t.m} > 296,21 \text{ tm} \Rightarrow A' = 0.$$

Calcul des armatures tendues:

$$A = \frac{29,51 \cdot 10^5}{0,85 \times 1,77 \times 2800} = 7,01 \text{ cm}^2 \quad \text{soit } 3 \text{ HA } 20 = 9,42 \text{ cm}^2$$

Condition de non fragilité:

$$A \geq B_f \frac{\sigma_{27}}{\sigma_{cu}} = 2700 \times \frac{25,5}{4200} = 16,39 \text{ cm}^2$$

donc note section d'armatures en trevée sera égale à 6HA20 = 18,84 cm².

Condition de non fissuration:

$$\sigma_1 = 788,05 \text{ kg/cm}^2$$

$$\text{soit } \bar{\sigma}_a = 2086,76 \text{ kg/cm}^2 \quad A = 9,63 \text{ cm}^2 < 18,84 \text{ cm}^2.$$

$$\sigma_2 = 2086,76 \text{ kg/cm}^2$$

Conclusion: nous adopterons 6HA20 pour la section en trevée.

Etude de la torsion du chevêtre

Moments de torsion en conditions normales et sismiques:

Designation	Efforts		z (cm)	M (t.m) C.N	M (t.m) C.S
	V(H)	H(H)			
t=blivi	121,36	23,65	0 2,00	0	47,30
Surcharge	399,46	0	0	0	0
Mur en retour	26,66	2,67	4,79 0,26	-127,70	-136,64 0,56
Mur garde grève	18,87	1,89	1,20 1,92	-22,64	-24,22 3,63
Dalle de transition	43,6	4,36	1,5 2,28	-65,40	-69,98 9,94
Poussée des terres	—	32,23 40,62	0,38	12,25	15,44
Poussée des arches	—	8,80 9,25	1,02	8,98	9,44
Freinage	—	41,21	1,1	-45,33	-45,33
Variation linéaire	—	12,77	1,1	-14,05	-14,05
Σ				-253,89	-203,91

NB: le moment de torsion le plus défavorable est celui trouvé dans les conditions

normales : soit par mètre linéaire : $\frac{253,89}{10,60} = 23,95 \text{ tm/ml.}$

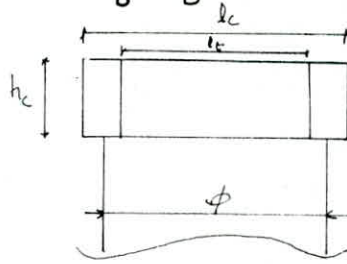
Ferraillage:

Le ferraillage se fera selm les documents "SETRA".

On considère une section en forme de rectangle ayant la hauteur du cheville et dont la longueur l_f est limitée par :

$$l_f = l_c \quad \text{si } l_c \leq \phi + h_c$$

$$l_f = \phi + l_c \quad \text{si } l_c \geq \phi + h_c$$

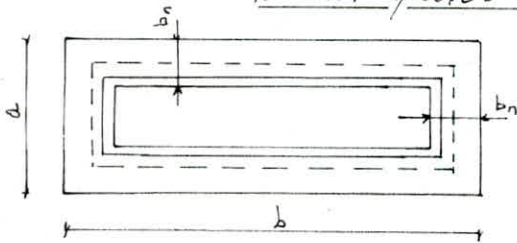


$$l_f = l_c = 2,70 \text{ m} \quad \text{car } l_c = 2,70 \text{ m} \leq 2,5 + 1,8 = 4,3 \text{ m.}$$

Calcul des contraintes tangentes dues à la torsion:

On applique les règles de calcul figurant dans les nouveaux règlements de calcul (I.P.2)

Section équivalente



$$\tau_b = \frac{c}{2 \Omega b_n}$$

c : Moment de torsion.

b_n : Épaisseur de la paroi.

Ω : Aire du contour tracé à mi-épaisseur des parois.

$$a = h_c = 1,80 \text{ m}$$

$$b = l_c = 2,70 \text{ m}$$

$$b_n = \frac{a}{6} = \frac{1,80}{6} = 0,30 \text{ m}$$

$$\Omega = (1,80 - 0,30) (2,70 - 0,30) = 3,60 \text{ m}^2$$

Calcul de $\bar{\tau}_b$:

$$\bar{\tau}_b = \frac{23,95 \cdot 10^5}{2 \times 3,60 \times 30 \cdot 10^4} = 1,11 \text{ kg/cm}^2.$$

Armatures longitudinales:

$$\omega_L = \frac{c \cdot P}{\bar{\sigma}_a \times 2 \times \Omega}$$

c : M_{\max}

P : périmètre du contour extérieur

$$P = 2(1,8 + 2,7) = 9 \text{ m}$$

$$\omega_L = \frac{23,95 \cdot 10^5 \times 9 \text{ m}}{2800 \times 2 \times 3,60 \cdot 10^4} = 10,69 \text{ cm}^2/\text{ml} \text{ soit: } 4 \text{ HA } 20 = 15,70 \text{ cm}^2/\text{ml}.$$

Les armatures long sont disposées aux 4 angles des faces latérales et viennent s'ajouter aux armatures de flexion déjà calculées.

Armatures transversales:

$$A_t = \frac{t \times M}{2 \bar{\sigma}_a \alpha} \quad \text{avec } t \leq 35 \text{ cm}$$

A_t : section d'un cadre

$$A_t = \frac{35 \times 23,95 \cdot 10^5}{2 \times 2800 \times 3,60 \cdot 10^4} = 0,42 \text{ cm}^2, \text{ on prend des cadres T 10} = 0,78 \text{ cm}^2 \text{ espacés de } 35 \text{ cm.}$$

Ferailage complémentaire:

Il est à prévoir: - Au droit des colonnes pour reprendre la flexion transversale (renforcement des cadres)

- Dans la zone des appareils d'appui (poutrage).

- Calcul du mur garde - grève

1/ Actions:

Le mur garde grève est soumis essentiellement à l'action des forces horizontales sur la face arrière. Les forces verticales s'orient n'engendrent pas de flexion (cas du poids propre qui est centré) s'orient elles engendrent des moments qui viennent en déduction du moment de flexion engendré par les forces horizontales. (Cas des charges directement en contact avec le mur garde grève).

2/ Évaluation des efforts:

a/ M_T : Moment dû à la poussée des terres:

$$M_T = \frac{\bar{\sigma}_e \cdot \lambda \cdot h^3}{6} \quad \lambda = 0,333$$

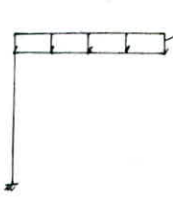
$$h = 2,03 \text{ m}$$

$$\bar{\sigma}_e = 1,8 \text{ t/m}^3$$

$$\text{d'où } M_T = \frac{1,8 \times 0,333 \times 2,03^3}{6} = 0,84 \text{ tm/ml.}$$

b/ M_p : Moment dû à la poussée de la surcharge locale située en arrière du mur garde grève:

schéma de calcul d'après Les N.G.F.E 9 C1 N° 2.



$$q = 3,6 \text{ t/m}^2$$

$$Q = 2 \cdot q \cdot h = 0,333 \times 3,6 \times 2,03 = 2,43 \text{ t/ml.}$$

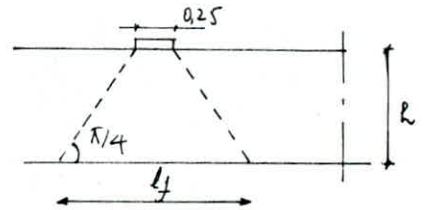
$$M_p = Q \cdot h/2 = 2,43 \times 2,03 \times 0,5 = 2,47 \text{ tm/ml.}$$

c/ M_f : Moment dû à la force de freinage:

On considère un essieu du blochet de $0,25 \times 0,40$ cm contact du mur garde grève, lors du renouvellement de la voie et l'on néglige l'effet de l'essieu situé à $1,60$ m en arrière.

$$M_f = \frac{12,5 \cdot h}{0,25 + 2h} \times \delta$$

$$M_f = \frac{12,5 \times 2,03}{0,25 + 2 \times 2,03} \times 1,2 = 7,06 \text{ tm/ml}$$



$$l_f = 0,25 + 2h$$

12,5 t: essieu de blochet.

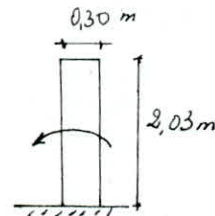
Le moment total est: $M_T = \Sigma M = 10,37 \text{ tm/ml.}$

Ferraillage:

$$M_{\max} = 10,37 \text{ tm/ml}$$

$$b = 100 \text{ cm}$$

$$h_f = 30 \text{ cm} \rightarrow h = 27 \text{ cm.}$$



a/ Ferraillage vertical: Face arrière

$$\bar{\alpha} = 0,45; \quad \bar{\delta} = 0,85; \quad \bar{k} = 29,26 \text{ kN/m}^2 \rightarrow \bar{M}_{r_b} = 21,331 \text{ tm/ml} > 10,37 \text{ tm/ml}$$

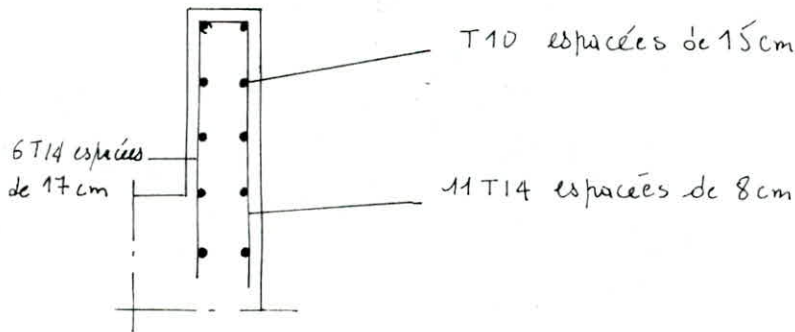
Les armatures comprimées ne sont pas nécessaires.

$$A = \frac{10,37 \cdot 10^5}{0,85 \times 27 \times 280} = 16,14 \text{ cm}^2/\text{ml} \quad \text{soit: } A_{HA14} = 16,94 \text{ cm}^2/\text{ml.}$$

Face avant: selon les documents SETRA le moment dans le sens opposé est évalué à $M_{\min} = 3,2 \text{ tm/ml}$ et ceci quelle que soit la hauteur du mur. On adoptera 6T14.

Ferraillage horizontal : (selon SETRA)

On prévoit des T10 tous les 15 cm.



Ferraillage du corbeau :

L'effort vertical repris par le corbeau :

Poids de la dalle : 1,875 t/ml.

Pds des fûtes : 2,25 t/ml.

Pds des surcharges : 1,5 t/ml.

Pds propre du corbeau : 0,263 t/ml.

$$T = \sum R_i = 1,875 + 2,25 + 1,5 + 0,263 = 5,888 \text{ t/ml}$$

$$M = \sum R_i \times 0,18 = 1,06 \text{ tm/ml.}$$

Dimensions longitudinales :

$$A_L = \frac{M}{\bar{\sigma}_s} = \frac{1,06 \cdot 10^5}{2800 \times \frac{7}{8} \times 32} = 1,35 \text{ cm}^2 \rightarrow \text{crit: } 2 \text{ HA } 10 / \text{ml} = 1,56 \text{ cm}^2 / \text{ml.}$$

$$\bar{M}_y = 29,26 \times 100 \times 32^2 = 29,96 \text{ tm/ml} > M = 1,06 \text{ tm/ml} \Rightarrow A' = 0$$

Vérification de l'effort tranchant :

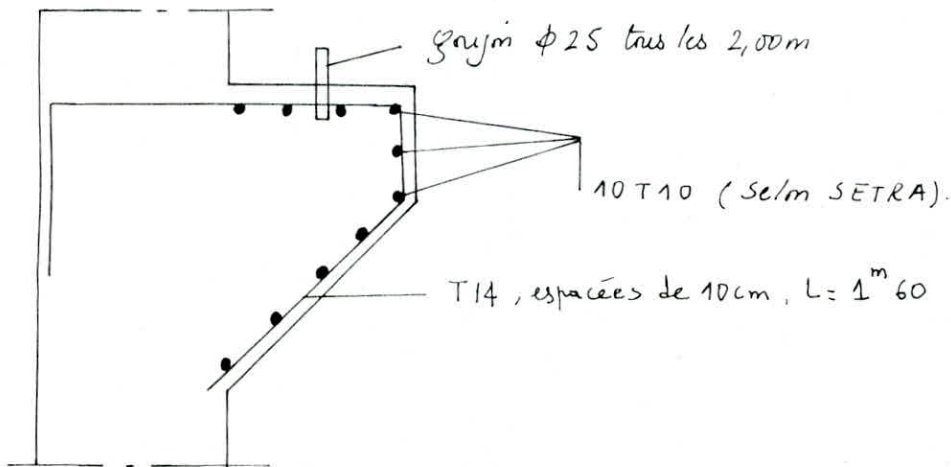
$$\tau_h^{\max} = \frac{T}{b \cdot z} = \frac{5,888 \cdot 10^3}{100 \times \frac{7}{8} \times 32} = 2,103 \text{ kg/cm}^2 < \bar{\tau}_h = 3,5 \bar{\sigma}_s = 22,05 \text{ kg/cm}^2.$$

pas de risque de cisaillement.

Section transversale d'armature :

$$A_t = \frac{T}{\bar{\sigma}_{a_t}} ; T = 5,888 \text{ t} ; \bar{\sigma}_{a_t} = 0,96 \times \bar{\sigma}_{cu} = 0,96 \times 4200 = 4032 \text{ kg/cm}^2$$

$$A_t = \frac{5,888 \cdot 10^3}{4002} = 1,46 \text{ cm}^2/\text{ml} \quad \text{soit } 1 \text{ T14/ml} = 1,54 \text{ cm}^2/\text{ml}.$$



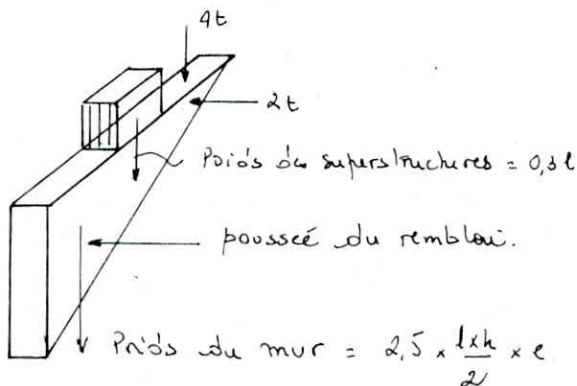
Mur en retour

1/ Actions et sollicitations:

Les bulletins SETRA définissent le chargement appliqué sur le mur en retour comme suit:

- Poids propre du mur y compris la superstructure.
- Poussee horizontale répartie
- charges concentrées vers l'extrémité du mur: appliquées à 1m de l'extrémité.

schéma de calcul:



Evaluation des efforts:

* verticalement: - Poids du mur : $p_1 = 2,5 \times \frac{l \times h}{2} \times e = 2,5 \times \frac{6,80 \times 3,83}{2} \times 0,40$

$$p_1 = 13,02 \text{ t.}$$

- Poids des superstructures : $p_2 = 0,3 \times l = 0,3 \times 6,80 = 2,04 \text{ t.}$

- Pds de la charge concentrée : $p_3 = 4 \text{ t}$.

Effort tranchant :

$$T_v = p_1 + p_2 + p_3 = 13,02 + 2,04 + 4 = 19,06 \text{ t}$$

Moment d'axe horizontal :

$$M_v = 2,5 \frac{l^2 \times h \times c}{6} + 0,3 \frac{l^2}{2} + 4(l-1) = 59,65 \text{ tm}$$

+ horizontalement :

Effort tranchant :

$$T_H = \left(\frac{h}{3} + 0,5\right) \frac{l \cdot h}{2} + 2$$

$$T_H = \left(\frac{3,23}{3} + 0,5\right) \times \frac{480 \times 383}{2} + 2 = 25,14 \text{ t}$$

Moment d'axe vertical :

$$M_H = \left(\frac{h}{3} + 0,5\right) \frac{l^2 h}{6} + 2(l-1) = 64,04 \text{ tm}$$

Fermeture :

Axe horizontal :

$$\bar{\alpha} = 0,45 ; \bar{\beta} = 0,85 ; \bar{E} = 29,26 \text{ kg/cm}^2$$

$$\bar{M}_{Ry} = 29,26 \times 40 \times 380^2 = 1,63 \cdot 10^8 \text{ tm} > M_v = 59,65 \text{ tm} \Rightarrow A' = 0$$

$$A = \frac{59,65 \cdot 10^5}{\frac{7}{8} \times 380 \times 280} = 6,41 \text{ cm}^2 \text{ soit } 3 \text{ HA } 20 = 9,42 \text{ cm}^2$$

Vérification de la condition de non fissuration :

$$\sigma_1 = \frac{1,5 \cdot 10^6 \times 1,6}{20} \times \frac{0,024}{1+0,24} = 2322,58 \text{ kg/cm}^2$$

$$\sigma_2 = 2086,76 \text{ kg/cm}^2$$

La condition n'est pas vérifiée, soit $\bar{\sigma}_a = 2322,58 \text{ kg/cm}^2$

$$A = \frac{59,65 \cdot 10^5}{\frac{7}{8} \times 380 \times 2322,58} = 7,73 \text{ cm}^2 \text{ soit toujours } 3 \text{ HA } 20 = 9,42 \text{ cm}^2$$

recalculons le moment résistant du béton puisque les aciers ne travaillent pas

$$\bar{\sigma}_a = 2800 \text{ kg/cm}^2 ; \bar{M}_{Ry} = 0,50 \times 1,5 \times 153 \times 40 \times 380^2 = 1,934 \cdot 10^8 \text{ tm} > M_v$$

donc $A' = 0$ toujours.

Verification de la non fragilité:

$$B_f \frac{\bar{\sigma}_s}{\bar{\sigma}_{cu}} = 4000 \times \frac{26,5}{4200} = 2,43 \text{ cm}^2 \quad A = 3,42 \text{ cm}^2 > 2,43 \text{ cm}^2$$

La condition est vérifiée.

Axe vertical:

$$M_H = 64,04 \text{ tm} \quad \bar{M}_{u_b} = 29,26 \times 383 \times 37^2 = 153,42 \text{ tm} > M_H = 64,04 \text{ tm} \Rightarrow A_s = 0$$

$$A = \frac{64,04 \cdot 10^5}{\frac{4}{8} \times 37 \times 2800} = 70,64 \text{ cm}^2 \text{ soit: } 23 \text{ HA } 20 = 72,22 \text{ cm}^2$$

Condition de non fissuration:

$$\bar{\sigma}_1 = \frac{1,5 \cdot 10^6 \times 1,6}{20} \times \frac{1,89 \cdot 10^{-2}}{1 + 1,89 \cdot 10^{-1}} = 1903,78 \text{ kg/cm}^2$$

$$\bar{\sigma}_2 = 2086,76 \text{ kg/cm}^2$$

$\text{Max}(\bar{\sigma}_1, \bar{\sigma}_2) = \bar{\sigma}_w = 2086,76 \text{ kg/cm}^2 < \bar{\sigma}_a = 2800 \text{ kg/cm}^2$ La condition n'est pas vérifiée.

$$\text{Soit } \bar{\sigma}_2 = \bar{\sigma}_w = 2086,76 \text{ kg/cm}^2 \text{ d'où } A = \frac{64,04 \cdot 10^5}{\frac{4}{8} \times 37 \times 2086,76} = 94,79 \text{ cm}^2$$

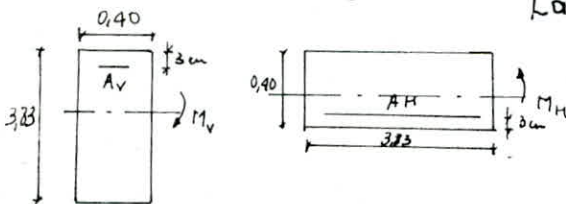
$$\text{Soit } 31 \text{ HA } 20 = 97,34 \text{ cm}^2$$

$$\bar{\sigma}_1 = 2431,78 \text{ kg/cm}^2$$

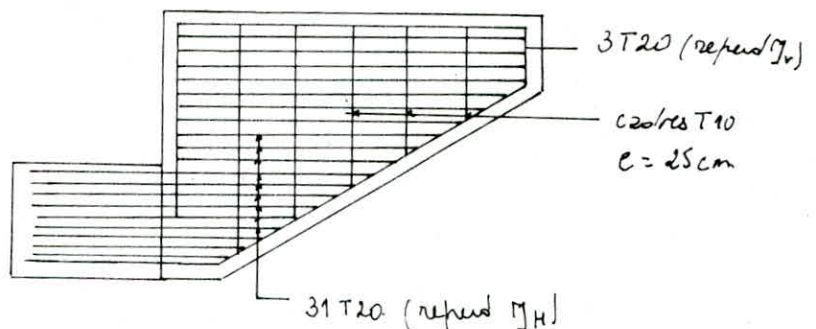
$$\bar{\sigma}_2 = 2086,76 \text{ kg/cm}^2$$

$$\text{Max}(\bar{\sigma}_1, \bar{\sigma}_2) = 2431,78 \text{ kg/cm}^2 > 2086,76 \text{ kg/cm}^2 = \bar{\sigma}_a$$

La condition de non fissuration est vérifiée.



Disposition des armatures



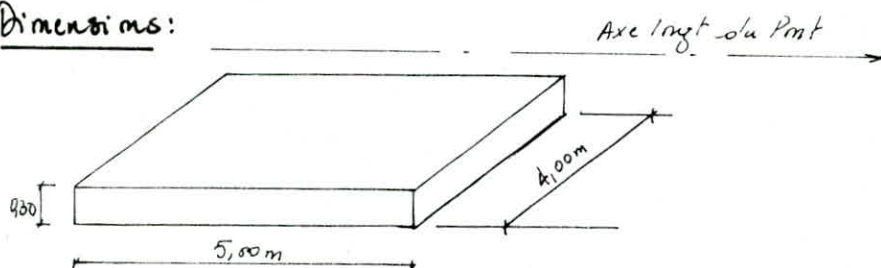
Dalle de transition

Rôle:

Elle empêche la déviation éventuelle qui peut se produire entre la chaussée courante et le tablier de l'ouvrage d'art. Cette déviation est due au mauvais compactage du remblai à proximité immédiate de la culée.

NB: La dalle est considérée comme poutre encastrée, simplement appuyée sur la culée et de l'autre côté sur le terrain.

Dimensions:



Sollicitations:

Pds propre : $2,5 \times 0,3 = 0,75 \text{ t/m}^2$

Pds du remblai : $1,8 \times 0,5 = 0,9 \text{ t/m}^2$

Surcharges : $1 \times 1,2 = 1,2 \text{ t/m}^2$

Pds total : $= 2,85 \text{ t/m}^2$

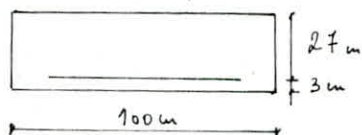
Calcul du moment flechissant:

$$M = q \frac{l^2}{8} = 2,85 \times \frac{5,00^2}{8} = 8,91 \text{ tm/ml.}$$

Calcul de l'effort tranchant:

$$T = q \frac{l}{2} = 2,85 \times \frac{5}{2} = 7,13 \text{ t/ml.}$$

Ferraillage:



$$\bar{M}_{yb} = 29,26 \times 100 \times 27^2 = 21,33 \text{ tm/ml} > 8,91 \text{ tm/ml} \Rightarrow A' = 0$$

$$A = \frac{8,91 \cdot 10^5}{\frac{7}{8} \times 27 \times 0,85 \times 2800} = 15,85 \text{ cm}^2/\text{ml} \text{ soit } 6HA20 = 18,84 \text{ cm}^2.$$

Condition de non fissuration:

$$\sigma_1 = 1902,39 \text{ kg/cm}^2$$

$$\sigma_2 = 2086,76 \text{ kg/cm}^2$$

$$M_{2x}(\sigma_1, \sigma_2) = \sigma_2 < \bar{\sigma}_a \text{ la condition n'est pas vérifiée}$$

$$\text{sit } \bar{\sigma}_a = \bar{\sigma}_2 = 2086,76 \text{ kg/cm}^2$$

$$A_s = \frac{8,91 \cdot 10^5}{7/8 \times 27 \times 985 \times 2086,76} = 21,26 \text{ cm}^2/\text{ml} \quad \text{sit } 7\text{HA}20 = 21,98 \text{ cm}^2$$

$$\bar{\sigma}_1 = 2000 \text{ kg/cm}^2 ; \quad \bar{\sigma}_2 = 2086,76 \text{ kg/cm}^2 \quad \text{Max}(\bar{\sigma}_1, \bar{\sigma}_2) = \bar{\sigma}_2 \leq \bar{\sigma}_a = 2086,76 \text{ kg/cm}^2$$

Condition de non fragilité:

$$A \geq B_f \frac{\bar{\sigma}_2}{\bar{\sigma}_{cu}} = 1000 \times \frac{2,5}{4200} = 0,60 \text{ cm}^2 \quad A = 21,98 \text{ cm}^2 > 0,60 \text{ cm}^2$$

la condition est vérifiée.

Vérification de l'effort tranchant:

$$\bar{\tau}_b^{\text{max}} = \frac{T}{b \cdot z} = \frac{713 \cdot 10^3}{100 \times 7,27} = 3,02 \text{ kg/cm}^2 < \bar{\tau}_b = 1,15 \times \bar{\sigma}_2 = 7,25 \text{ kg/cm}^2$$

La contrainte de cisaillement est vérifiée.

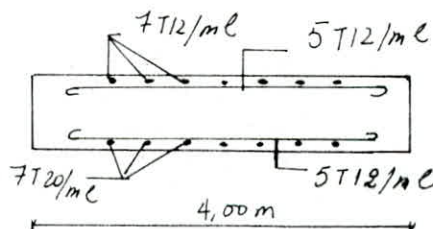
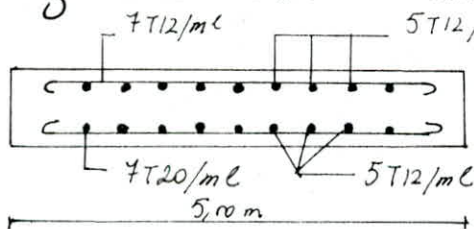
Dans l'autre sens nous prenons des armatures de répartition:

$$A_r = \frac{A}{4} = \frac{21,98}{4} = 5,48 \text{ cm}^2/\text{ml} ; \quad \text{sit } 5\text{HA}12 = 5,65 \text{ cm}^2/\text{ml}$$

Armatures de répartition:

transversalement: 5 HA 12 / ml

longitudinalement: 7 HA 12 / ml.



* Vérification de l'effort tranchant pour le mur en retour:

$$\bar{\tau}_b^v = \frac{T_v}{b \cdot z} = 1,43 \text{ kg/cm}^2 ; \quad \bar{\tau}_b^H = \frac{T_H}{b \cdot z} = 2,03 \text{ kg/cm}^2$$

$$\bar{\tau}_b = (\bar{\tau}_b^v^2 + \bar{\tau}_b^H^2)^{1/2} = 2,48 \text{ kg/cm}^2 < 1,15 \bar{\sigma}_2 = 7,25 \text{ kg/cm}^2$$

le cisaillement est vérifié.

Etude du fût

Noie - culée - comporte 2 fûts circulaires vides qui transmettent les charges permanentes et les surcharges aux fondations

Détermination des efforts à la base du fût :

Conditions normales				
Efforts Designations	N (t)	H (t)	z (m)	P (tm)
Mur garde grève + corbeau	18,87		1,20	22,64
Dalle de transition	43,60		1,50	65,40
- cheville	128,79		0	0
fûts	179,32		0	0
Mur en retour (deux)	26,66		4,79	127,70
De d'2 Hui (quatre)	4,60		0	0
tableau	121,36		0	0
Surcharges	399,16		0	0
Poussée des terres (sur cheville)		32,23	14,87	-479,26
Poussée des surcharges		51,31	8,71	-446,91
Variations linéaires		12,77	15,59	-199,08
Frenage		41,21	15,59	-642,46
Σ	919,36	137,52		-1551,97

Conditions Sismiques.

Efforts Designations	N (t)	H (t)	z (m)	M (t.m)
Mur garde corps + corbeau	20,19	1,89	16,41	-31,01
			1,20	+24,23
Dalle de transition	46,65	4,36	16,77	-73,12
			1,50	+69,98
-chevêtre	137,81	12,88	14,49	-186,63
			0	0
fûts	191,87	17,93	6,80	-121,92
			0	0
Mur en retour	28,53	2,67	14,75	-39,38
			4,73	136,66
tableau	129,79	23,65	16,43	-389,99
			0	0
Surcharges	399,16	0	0	0
Poussée des ferres		40,62	14,87	-640,02
Poussée des surcharges		17,95	8,71	-156,34
Variations linéaires		12,77	15,59	-199,08
Freinage		41,21	15,59	-642,42
Σ				-2249,04

on a : $\frac{M_{c.s}}{M_{c.N}} = \frac{224904}{1551,97} = 1,45 < 1,50$ donc le ferrailage du

fût se fera en conditions normales.

Pour un fût: $N = 459,68 \text{ t}$

$H = 68,76 \text{ t}$

$M = 775,99 \text{ tm}$

Ferraillage du fût :

1. Calcul de l'excentricité : $e_1 = \frac{\pi}{N} = \frac{755,99}{459,68} = 1,64 \text{ m.}$

2. Calcul de l'excentricité supplémentaire : f_c :

$$\lambda = \frac{2 \cdot 15,39}{0,10} = 38,48 \quad \text{on a } 35 < \lambda < 50$$

$$f_c = 0,16(\lambda - 35) e_1 = 0,16(38,48 - 35) 1,64 = 0,91 \text{ m}$$

finalment $e_0 = e_1 + f_c = 1,64 + 0,91 = 2,55 \text{ m.}$

3. État de Contraintes de la section :

On a e : la limite de noyau central : $e = 0,51 \text{ m.}$

$e_0 = 2,55 \text{ m} > e = 0,51 \text{ m} \Rightarrow$ la section est partiellement comprimée.

$$\eta = \frac{e_0}{2r} = \frac{2,55}{2 \cdot 1,20} = 1,06 \quad ; \quad \text{section du béton } B = \frac{\pi(0^2 - d^2)}{4} = 17671,6 \text{ cm}^2$$

$$\mu' = \frac{N \cdot e}{\sigma_{st} \cdot B} = \frac{459,68 \cdot 2,55 \cdot 10^5}{2 \cdot 17671,6 \cdot 120 \cdot 115} = 0,24$$

$\mu' = 0,24$	$\xrightarrow{\text{abaques de Paire}}$	$K = 19,5$
$\eta = 1,06$	$\xrightarrow{\text{Charon}}$	$\omega = 2,78$

4. Calcul des armatures

$$A = \hat{\omega} \cdot \frac{B}{100} = 2,78 \cdot \frac{17671,6}{100} = 491,27 \text{ cm}^2 \quad \text{on prend } 62 \phi 32 \text{ soit } 498,48 \text{ cm}^2.$$

• Vérification de la distance entre deux barres :

$$C \geq \phi_{\max} = 4 \text{ cm} \quad C = (27r - 62 \cdot 3,2) / 61 = 9,10 \text{ cm} > 4 \text{ cm} \quad \text{Vérifiée.}$$

• Vérification des Contraintes :

$$- \sigma'_b = 115 \text{ Kg/cm}^2 < \bar{\sigma}'_b = 153 \text{ Kg/cm}^2.$$

$$- \sigma_a = K \sigma'_b = 19,5 \cdot 115 = 2242,5 \text{ Kg/cm}^2 < \bar{\sigma}_a = 2667 \text{ Kg/cm}^2.$$

$$- \sigma'_a = n \cdot \sigma'_b = 15 \cdot 115 = 1725 \text{ Kg/cm}^2 < \bar{\sigma}'_a = 2667 \text{ Kg/cm}^2. \quad \text{Vérifiée.}$$

- Armatures transversales :

$$\phi_t > 0,30 \phi_2 = 0,30 \cdot 3,2 = 9,6 \text{ mm} \quad \text{On prendra des T12.}$$

- Espacement des Cercles :

- Zone Courante :

$$t = \min \left\{ \begin{array}{l} (100\phi_t - 15\phi_2) \left(2 - \frac{\sqrt{b'_0}}{\sqrt{b_0}}\right) = 35,7 \text{ cm} \\ 15 \left(2 - \frac{\sqrt{b'_0}}{\sqrt{b_0}}\right) \phi_{t, \min} = 23,7 \text{ cm} \end{array} \right.$$

On prend 20 cm.

- Zone de recouvrement :

$$v \geq \max \left\{ \begin{array}{l} 0,4 \frac{\phi_t^2 \cdot F_{eak}}{\phi_2^2 \cdot F_{ent}} = 2,84 \\ 3 \end{array} \right. \quad \text{On prend } v = 4$$

$$l_7 = 0,6 l'_d = 90,3 \text{ cm} \text{ soit } l_7 = 90 \text{ cm} ; \quad l_7 = l_{7/y} = 22,5 \text{ cm}$$

On prend $l_7 = 20 \text{ cm}$.

Verification au flambement :

$$l_c = 2l_0 = 2 \cdot 15,39 = 30,78 \text{ m} ; \quad D = 2,40 \text{ m.}$$

$$\frac{l_c}{D} = \frac{30,78}{2,40} = 12,73 < 17,7 ; \quad \text{le fût ne risque pas de flamber.}$$

Condition de non fragilité :

$$A \geq B_f \cdot \frac{\sqrt{\sigma_s}}{\sigma_{en}} = 112,66 \text{ cm}^2$$

$$A = 491,27 \text{ cm}^2 > 112,66 \text{ cm}^2 \quad \text{Vérifiée.}$$

Ferraillage de la semelle

Nota:

la même méthode que celle utilisée pour la pile sera suivie.

- caractéristiques géométriques:

$$L = 16,80 \text{ m} ; l = 9,30 \text{ m} ; h = 1,50 \text{ m}$$

Armatures longitudinales: (ferraillage de la semelle) $\bar{\sigma} = 37,96 \text{ t/m}^2$.

$$M_s = \frac{6 \cdot 4,05^2}{2} \times L \quad \text{et} \quad A_s = \frac{6 \times 4,05^2 \times 4 \times 16,80 \times 10^2}{7 \times 150 \times 2666,67} = 1493,94 \text{ cm}^2$$

soit: $88,93 \text{ cm}^2/\text{ml}$, on prend 12 HA 32 / ml = $96,48 \text{ cm}^2/\text{ml}$.

Armatures supérieures:

D'après S.E.T.R.A. $A'_r = \frac{1}{3} A_s = 497,98 \text{ cm}^2$.

soit $29,64 \text{ cm}^2/\text{ml}$, on prend 12 HA 20 / ml = $37,68 \text{ cm}^2/\text{ml}$.

- verification de l'effort tranchant:

$$T_{\text{max}} = \bar{\sigma} \cdot 4,05 = 3,795 \times 4,05 \times 10^2 = 1536,98 \text{ kg/cm} = 153,7 \text{ t/ml}$$

$$\bar{\tau}_{\text{max}} = \frac{153,7 \cdot 10^3}{100 \times \frac{7}{8} \times 145} = 12,11 \text{ kg/cm}^2 < 3,5 \bar{\sigma}_b = 22,05 \text{ kg/cm}^2$$

- Armatures dans le sens transversal: (socle)

$$\text{Données: } M = -1937,83 \text{ t.m} ; \bar{\sigma}_a = 2666,67 \text{ kg/cm}^2$$

$$T_{\text{max}} = 630,19 \text{ t} ; \bar{\sigma}'_b = 153 \text{ kg/cm}^2$$

* Armatures tendues:

$$A = \frac{M}{3 \cdot \bar{\sigma}_a} = 316,38 \text{ cm}^2 \quad \text{soit: } 117,18 \text{ cm}^2/\text{ml}$$

on prend 15 HA 32 / ml = $120,6 \text{ cm}^2/\text{ml}$

* Armatures comprimées: $M_{\text{ub}} = 5,56 \cdot 10^8 \text{ kg.cm} = 5,56 \cdot 10^3 \text{ tm} > M_{\text{ex}} = 1,93783 \cdot 10^3 \text{ tm}$

donc $A' = 0$

* Effort tranchant:

$$\bar{\tau}_{\text{max}} = 10,16 \text{ kg/cm}^2 < \bar{\tau}_b = 22,05 \text{ kg/cm}^2$$

* Armatures de répartition:

$$A'_r = 15 \text{ HA 20 / ml} = 47,10 \text{ cm}^2/\text{ml}$$

BIBLIOGRAPHIE

Ouvrages	Auteurs
Cours de l'E.N.P.	
Regles CCBA 68.	
C.P.C. fascicule 61; titre I et V.	
P.P. 73.	S.E.T.R.A
Reglements OM 66.	
Fond 72. (S.E.T.R.A
Reglements de l'U.I.C.	
Constructions métalliques Conception des structures. tome I et II	F. Giolina.
Cours pratique de mécanique des sols.	J. COSTET.
Fondations et ouvrages en terre.	G. Philipponnat.
Calcul pratique des sections en béton armé.	P. Charon.
Appareils d'appui	S.E.T.R.A



وزارة التعليم و البحث العلمي
MINISTERE DE L'ENSEIGNEMENT ET DE LA RECHERCHE SCIENTIFIQUE

ECOLE NATIONALE POLYTECHNIQUE

DEPARTEMENT : GENIE CIVIL



PROJET DE FIN D'ETUDES

SUJET

ETUDE D'UN PONT
RAIL MIXTE

TRAVEE ISOSTATIQUE

5 PLANCHES

Proposé Par :

Etudié par :

Dirigé par :

SAPTA

TITOUCHE NE,
AOUN K.

M^r ZOUKH

PROMOTION : JUIN 87

المدرسة الوطنية المتعددة التقنيات
BIBLIOTHEQUE — المكتبة
Ecole Nationale Polytechnique

PARTIE ISOSTATIQUE

Travée Isostatique

Remarque Importante: Dans les différents calculs qui concernent les éléments de la poutre isostatique, on s'est inspiré des résultats obtenus de la travée hyperstatique et qui sont communs.

Repartition des efforts sur les deux poutre :

- Repartition des cp. $\left\{ \begin{array}{l} \text{poutre 1} \quad \psi_1 = 0,71 \\ \text{poutre 2} \quad \psi_2 = 0,29 \end{array} \right.$
- Repartition des ccp. $\left\{ \begin{array}{l} \text{poutre 1} \quad \psi_1 = 0,70 \\ \text{poutre 2} \quad \psi_2 = 0,30 \end{array} \right.$
- Repartition des surch. UTC $\left\{ \begin{array}{l} \text{poutre 1} \quad \psi_1 = 0,50 \\ \text{poutre 2} \quad \psi_2 = 0,50 \end{array} \right.$
- Repartition des surch. de retrait $\left\{ \begin{array}{l} \text{poutre 1} \quad \psi_1 = 1,75 \\ \text{poutre 2} \quad \psi_2 = -0,75 \end{array} \right.$

Coefficients de pondération :

- $\alpha = 1,32$ Pour les charge de longue durée (cp, ccp, retrait)
 $\alpha = 1,5$ " " " " Courte durée (surcharge ; ΔT).

Coefficients de majoration dynamique :

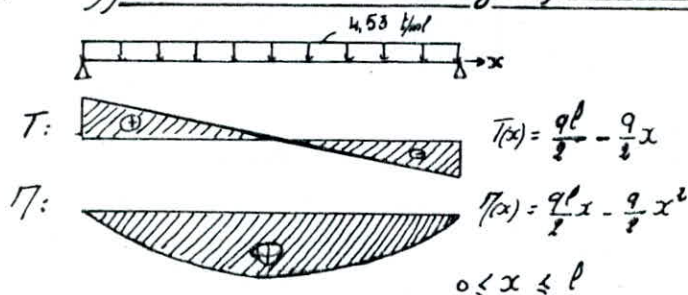
- Pour le moment flechissant $\phi_3 = \frac{2,16}{\sqrt{L}-0,2} + 0,73 = 1,16$.
Pour l'effort tranchant $\phi_2 = \frac{1,44}{\sqrt{L}-0,2} + 0,82 = 1,11$.

ETUDE DE LA
POUTRE

Remarque : L'étude détaillée de la poutre a déjà été faite. On ne fait donc que reprendre pour cette partie isostatique les calculs et les différentes vérifications.

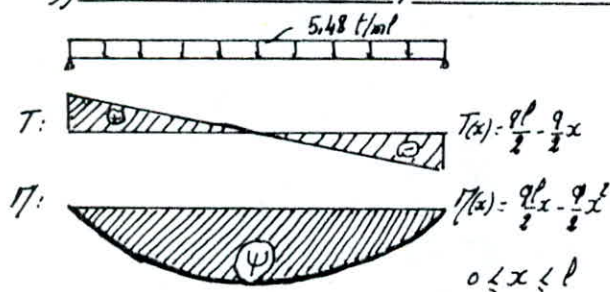
I. Calcul des efforts dans les différentes sections de la travée:

1) Efforts dus aux charges permanentes (c.p.) : $c_p = 4,53 \text{ t/ml}$.



Section	0	1	2	3	4	milieu
x (m)	0	3	6	9	12	13,5
T (t)	61,16	47,57	33,80	20,39	6,80	0
M (t.m)	0	163,08	285,39	366,93	407,70	448,80

2) Efforts dus aux compléments des charges permanentes (ccp) : $c_{cp} = 5,48 \text{ t/ml}$



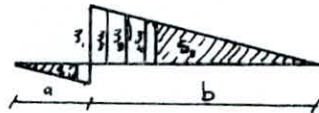
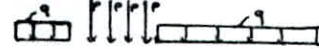
Section	0	1	2	3	4	milieu
x (m)	0	3	6	9	12	13,5
T (t)	73,98	57,54	41,10	24,66	8,22	0
M (t.m)	0	197,20	345,24	443,88	493,20	499,37

3) Efforts dus aux surcharges U.I.C. : les surcharges U.I.C. n'étant pas linéaires et non statiques, elles nous obligent à tracer les lignes d'influences pour les différentes sections et de charger la travée en tenant compte des inégalités permettant de déterminer la charge à placer au droit de la section

en occurrence celle qui donne l'effort maximal. Ces inégalités sont :

- Pour le moment flechissant : $\frac{\sum_{a=1}^i P_i \alpha_i}{a} > \frac{\sum_{a=1}^n P_i \alpha_i}{b}$ et $\frac{\sum_{a=1}^n P_i \alpha_i}{a} < \frac{\sum_{a=1}^n P_i \alpha_i}{b}$ avec $\eta_{max} = \sum P_i \gamma_i$

- Pour l'effort tranchant : $T_{max} = - \sum_{i=1}^j P_i \beta_i + \sum_{i=h}^n P_i \beta_i \pm \sum_{i=1}^k q S_i$



Calcul des efforts dans les différentes sections :

Section "0" - x = 0m.

	<p><u>Données</u></p> <p>$\beta_1 = 1$ $\beta_2 = 0,94$ $\beta_3 = 0,88$ $\beta_4 = 0,82$ $S = 1,48$</p>	<p>$T(x=0) = T_{max} = 158,86t$</p> <hr/> <p>$\eta(x=0) = \eta_{min} = 0$</p>
--	-------------------------------------------------------------------------------------------------------------------------------------------------------------------------------------	-----------------------------------------------------------------------------------------------------

Section "1" - x = 3m

	<p><u>Données</u></p> <p>$\beta_1 = 0,89$ $\beta_2 = 0,83$ $\beta_3 = 0,77$ $\beta_4 = 0,71$ $S_1 = 0,09 ; S_2 = 6,27$</p>	<p>$T(x=3m) = 129,44t$</p>
	<p>$\gamma_1 = 2,67$ $\gamma_2 = 2,49$ $\gamma_3 = 2,31$ $\gamma_4 = 2,13$ $S_1 = 2,15$ $S_2 = 17,81$</p>	<p>$\eta(x=3m) = 407,68 t.m$</p>

Section 2° - x = 6m

<p>The diagram shows a beam of length 6m with a triangular load increasing from 0 t/m at the left end to 25 t/m at the right end. The load is divided into four segments of 1.5m each. Below the beam is a shear force diagram (S) that is a downward-sloping triangle, starting at 0 t at the left end and ending at -100.12 t at the right end. The shear force is divided into four segments labeled S1, S2, S3, and S4.</p>	<p><u>Ordonnées</u></p> $\begin{aligned} z_1 &= 0,78 \\ z_2 &= 0,72 \\ z_3 &= 0,66 \\ z_4 &= 0,60 \\ S_1 &= 0,50 \\ S_2 &= 4,39 \end{aligned}$	$T(x=6m) = 100,12 \text{ t}$
<p>The diagram shows the same beam and load as above. Below it is a bending moment diagram (M) that is a downward-opening parabola, starting at 0 t.m at the left end and ending at -708.17 t.m at the right end. The bending moment is divided into four segments labeled M1, M2, M3, and M4.</p>	$\begin{aligned} \gamma_1 &= 4,67 \\ \gamma_2 &= 4,31 \\ \gamma_3 &= 3,96 \\ \gamma_4 &= 3,60 \\ S_1 &= 10,50 \\ S_2 &= 26,33 \end{aligned}$	$M(x=6m) = 708,17 \text{ t.m}$

Section 3° - x = 9m

<p>The diagram shows a beam of length 9m with a triangular load increasing from 0 t/m at the left end to 25 t/m at the right end. The load is divided into four segments of 2.25m each. Below the beam is a shear force diagram (S) that is a downward-sloping triangle, starting at 0 t at the left end and ending at -71.12 t at the right end. The shear force is divided into four segments labeled S1, S2, S3, and S4.</p>	<p><u>Ordonnées</u></p> $\begin{aligned} z_1 &= 0,67 \\ z_2 &= 0,61 \\ z_3 &= 0,55 \\ z_4 &= 0,49 \\ S_1 &= 1,25 \\ S_2 &= 2,19 \end{aligned}$	$T(x=9m) = 71,12 \text{ t}$
<p>The diagram shows the same beam and load as above. Below it is a bending moment diagram (M) that is a downward-opening parabola, starting at 0 t.m at the left end and ending at -910.77 t.m at the right end. The bending moment is divided into four segments labeled M1, M2, M3, and M4.</p>	$\begin{aligned} \gamma_1 &= 4,93 \\ \gamma_2 &= 6,00 \\ \gamma_3 &= 5,47 \\ \gamma_4 &= 4,93 \\ S_1 &= 14,52 \\ S_2 &= 32,67 \end{aligned}$	$M(x=9m) = 910,77 \text{ t.m}$

Section 4'' - $x = 12m$

	<p><u>Données</u></p> $\begin{aligned} z_1 &= 0,56 \\ z_2 &= 0,60 \\ z_3 &= 0,44 \\ z_4 &= 0,38 \\ S_1 &= 2,32 \\ S_2 &= 1,64 \end{aligned}$	$T(x=12m) = 41,56^t$
	$\begin{aligned} Y_1 &= 5,78 \\ Y_2 &= 6,67 \\ Y_3 &= 5,96 \\ Y_4 &= 5,24 \\ S_1 &= 25,60 \\ S_2 &= 26,89 \end{aligned}$	$V(x=12m) = 1011,02 \text{ t.m}$

Section du milieu - $x = 13,5m$

	<p><u>Données</u></p> $\begin{aligned} z_1 &= 0,50 \\ z_2 &= 0,44 \\ z_3 &= 0,38 \\ z_4 &= 0,32 \\ S_1 &= 2,99 \\ S_2 &= 1,16 \end{aligned}$	$T_{min} = T_{milieu} = 26,36^t$
	$\begin{aligned} Y_1 &= 5,95 \\ Y_2 &= 6,75 \\ Y_3 &= 5,95 \\ Y_4 &= 5,15 \\ S_1 &= 30,80 \\ S_2 &= 22,56 \end{aligned}$	$V_{max} = V_{milieu} = 1021,88 \text{ t.m}$

Tableau récapitulatif:

Section	0	1	2	3	4	milieu
X [m]	0	3	6	9	12	15,5
T (t)	157,15	129,44	100,12	71,12	41,56	26,36
η (t.m)	0	407,68	708,17	910,77	1011,02	1021,87

II. Prédimensionnement de la Poutre :

Remarque : On dimensionnera la poutre n°1 qui est la plus chargée.

1. la hauteur de la poutre : la hauteur de la poutre "b" est donnée par les courbes de η Ciolina en fonction de la portée "l". Dans notre cas "l" = 27m, ce qui donne b = h = 1,7m

2. Semelle supérieure : la section de la semelle supérieure est calculée à partir de la formule suivante :

$$\Omega_s \geq 1,125 \cdot \frac{\eta_s}{\sigma_c \cdot b} \quad \text{avec} \quad \left\{ \begin{array}{l} \eta_s = \eta_{cp} \text{ (pondérés, réparti)} \\ = \alpha \cdot \psi \cdot \eta_{cp} = 1,32 \cdot 0,31 \cdot 418,20 = 386,81 \text{ kN} \\ \sigma_c = 24 \text{ kg/mm}^2 \\ b = 1700 \text{ mm} \end{array} \right.$$

$$\underline{\underline{\Omega_s \geq 105,06 \text{ cm}^2}}$$

3. Semelle inférieure : la section de la semelle inférieure est calculée comme suit :

$$\Omega_i \geq \frac{5}{6} \cdot \frac{\eta_i}{\sigma_c \cdot b} \quad \text{avec} \quad \left\{ \begin{array}{l} \eta_i = \eta_{cp} + \eta_{exp} + \eta_{surch} \text{ (pondérés, réparti)} \\ = 381,01 + 1,32 \cdot 0,70 \cdot 499,37 + 1,5 \cdot 416 \cdot 0,5 \cdot 1021,87 \\ = 1731,47 \text{ t.m.} \end{array} \right.$$

$$\underline{\underline{\Omega_i \geq 353,65 \text{ cm}^2}}$$

4. L'âme : la section de l'âme est donnée par : $\Omega_w \geq 1,2 \cdot \Omega_i$

$$\Rightarrow \underline{\underline{\Omega_w \geq 424,38 \text{ cm}^2}}$$

Reprise des calculs pour les différentes sections :

1. Semelle supérieure :

Section	0	1	2	3	4	milieu
x [m]	0	3	6	9	12	13,5
Γ_s (cm)	0	152,84	267,47	343,89	382,10	386,88
Ω_s (th) = $1,25 \frac{\Gamma_s}{f_e \cdot b}$ [cm ²]	0	42,14	73,75	94,82	105,36	106,68
Ω_s (rectle) (cm ²)	180	180	180	300	300	300

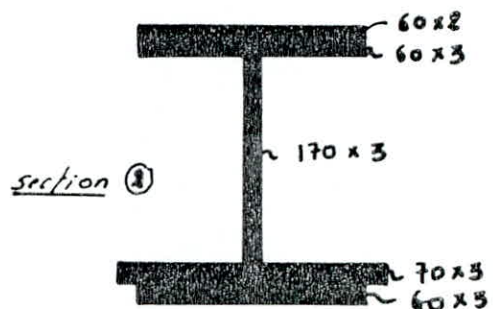
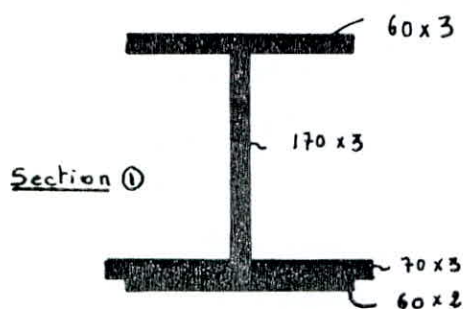
2. Semelle inférieure :

Section	0	1	2	3	4	milieu
x [m]	0	3	6	9	12	13,5
Γ_i (cm)	0	689,81	1202,58	1546,41	1717,40	1737,33
Ω_i (th) = $\frac{\Gamma_i}{f_e \cdot b}$ [cm ²]	0	140,89	245,63	315,85	350,78	354,85
Ω_i (rectle) (cm ²)	330	330	330	390	390	390

3. Âme : $\Omega_w \geq 1,2 \cdot \Omega_i = 425,82 \text{ cm}^2$

On prend $\underline{\underline{\Omega_w = 170 \cdot 3 = 510 \text{ cm}^2}} > 425,82 \text{ cm}^2$.

Conclusion: On aura à vérifier deux sections différentes :

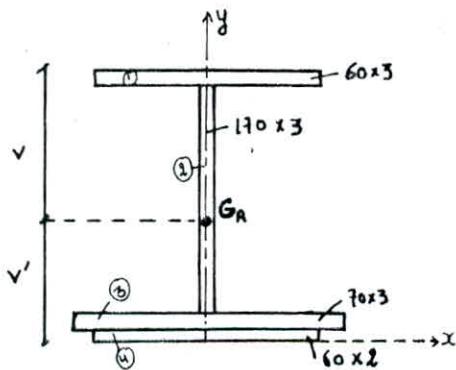


III. Caractéristiques Géométriques

III.1 Caractéristiques géométriques du P.R.S. : On calculera et On resumera dans un tableau les Caractéristiques géométriques du P.R.S. et qui sont :

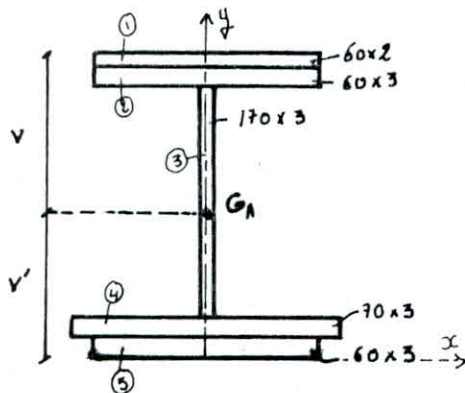
- La position du c.d.g. de la section : $Y_{GA} = \frac{\sum S_i y_i}{\sum S_i}$
- Les distances entre le c.d.g. de la section et des différents éléments : $d_i = |y_i - Y_{GA}|$
- Le moment d'inertie de la section : $I_{Si/GA} = I_{Si/Gi} + S_i d_i^2$

III-1.1 Caractéristiques géométriques de la section ① :



Section	S_i [cm ²]	y_i [cm]	$S_i y_i$ [cm ³]	Y_{GA} [cm]	d_i [cm]	$I_{Si/Gi}$ [cm ⁴]	$I_{Si/GA}$ [cm ⁴]
①	180	176,5	31770	80	95,5	135	1676340
②	510	90	45900	80	10	1222250	1279450
③	210	3,5	735	80	76,5	157,5	1229130
④	120	1,0	120	80	79	40	748960
Somme	1020		78525				4933680

III-1.2 Caractéristiques géométriques de la section ② :



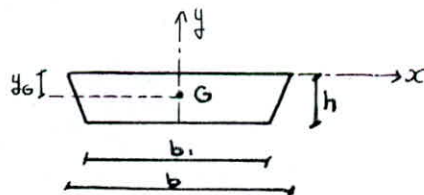
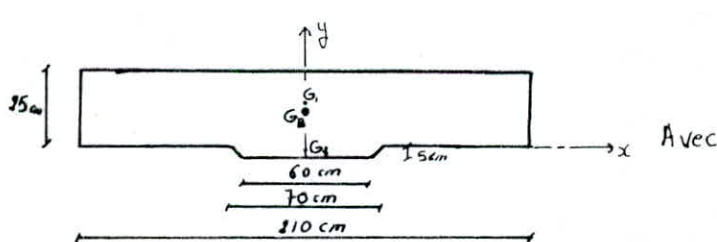
Section	S_i [cm ²]	y_i [cm]	$S_i y_i$ [cm ³]	Y_{GA} [cm]	d_i [cm]	$I_{Si/Gi}$ [cm ⁴]	$I_{Si/GA}$ [cm ⁴]
①	120	180	21600	83,6	96,4	40	1116195,2
②	180	177,5	31950	83,6	93,9	135	1257232,8
③	510	91	46410	83,6	7,4	1222250	1256177,6
④	210	4,5	90	83,6	79,1	157,5	1214087,6
⑤	180	1,5	270	83,6	82,1	135	1213408,8
Somme	1200		100320				6486102

III.2 Caractéristiques géométriques de la section du béton

Remarque: La largeur de la dalle participante est égale à : $L = 2,10$ m définie dans l'art. 23.3. CCBA68 (la condition la plus stricte est qu'il ne faut pas attribuer la même zone à deux poutres différentes). Pour plus de détails voir la partie hyperstatique.

Les caractéristiques sont :

- Position du C.D.G. du béton : $Y_{G_B} = \frac{\sum S_i y_i}{\sum S_i}$
- Distance entre le C.D.G. de la section totale et les C.D.G. des différents éléments : $d_i = |y_{G_i} - y_{G_B}|$
- Moment d'inertie de chaque élément :
 - Pour la dalle : $I_{S_i/G_i} = \frac{bh^3}{12}$
 - " le gousset : $I_{S_i/G_i} = \frac{h^3(b^2 + 4bb_1 + b_1^2)}{36(b+b_1)}$



$$y_G = \frac{2b_1 + b}{3(b_1 + b)} \cdot h = -2,44 \text{ cm}$$

Section	S_i [cm ²]	y_i [cm]	$S_i y_i$ [cm ³]	Y_{G_B} [cm]	d_i [cm]	I_{S_i/G_i} [cm ⁴]	I_{S_i/G_B} [cm ⁴]
Dalle	5260	12,5	65625	11,63	0,87	273437,5	277411,23
Gousset	325	-2,44	-791,67	11,63	14,07	675,75	65014,34
Somme	5575		64833,33				342425,57

III.3 Caractéristiques géométriques de la section mixte

Les caractéristiques géométriques peuvent être déterminées connaissant les paramètres a, b et c tels que :

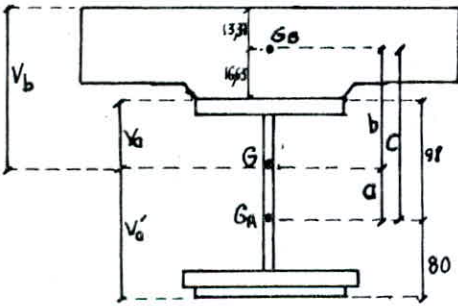
$$a = \frac{S_b \cdot c}{n \cdot S} \quad \text{Avec} \quad \begin{cases} S_b = \text{Section du béton} \\ S_a = \text{'' de l'acier.} \\ S = \text{Section totale} = S_a + \frac{S_b}{n} \\ n = \frac{E_s}{E_b} \text{ Varie selon le mode de chargement} \end{cases}$$

$$b = \frac{S_a \cdot c}{S}$$

$$a + b = c$$

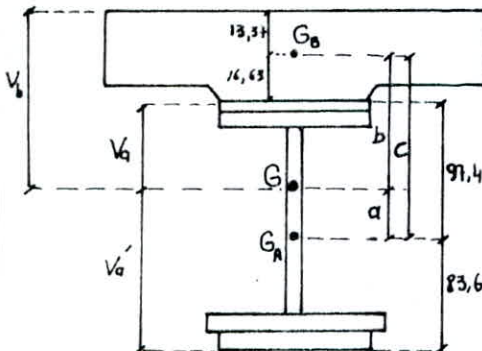
$$I = I_A + \frac{I_B}{n} + a \cdot b \cdot S$$

III.3.1 Caractéristiques géométriques de la 1^{ère} section mixte



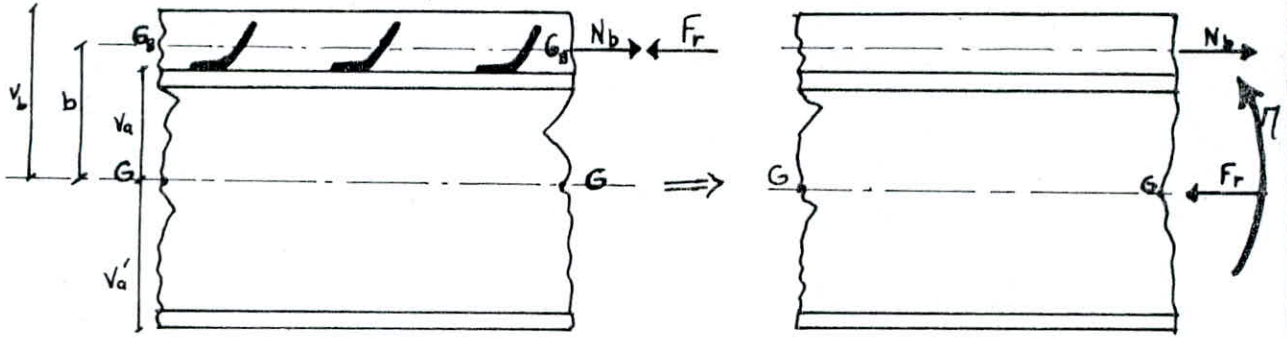
n	c [cm]	a [cm]	b [cm]	S [cm ²]	I [cm ⁴]	V _a [cm]	V _{a'} [cm]	V _b [cm]	W _a = I/V _a [cm ³]	W _{a'} = I/V _{a'} [cm ³]	W _b = I/nV _b [cm ³]
∞	114,63	0	114,63	1020	4933680	97	80	—	503749,67	61671	—
18	114,63	5,52	91,11	1329,72	8125572,14	74,48	103,52	104,148	108993,97	77492,78	77771,56
15	114,63	7,11	71,52	1391,67	753705,55	70,89	107,11	100,19	121055,44	70086,60	85021,04
6	114,63	50,04	64,61	1949,17	118754139	47,98	80,02	77,98	24255,06	17077,98	14244,08

III.3.2 Caractéristiques géométriques de la 2^{ème} section mixte



n	c [cm]	a [cm]	b [cm]	S [cm ²]	I [cm ⁴]	V _a [cm]	V _{a'} [cm]	V _b [cm]	W _a = I/V _a [cm ³]	W _{a'} = I/V _{a'} [cm ³]	W _b = I/nV _b [cm ³]
∞	114,63	0	114,63	1200	6486108	97,4	83,60	—	6699242	77574,95	—
18	114,63	23,39	90,64	1509,72	100292797	74,01	106,99	104,01	13551194	93739,99	96425,72
15	114,63	26,57	87,06	1571,67	10517721,62	70,45	110,57	100,45	14955144	95132,69	104787,84
6	114,63	49,76	64,87	2129,17	136377737	47,64	133,26	77,64	28626720	102862,80	175659,36

IV. Effet du retrait : le raccourcissement empêché du béton en liaison avec la poutre par le biais des connecteurs crée un état de contrainte interne dans la section mixte.



Le béton par son raccourcissement crée une force (résultante de contraintes) F_r appliquée au C.O.G. du béton et ayant pour valeur $F_r = -N_b$ avec N_b la réaction des connecteurs sur le béton.

Remarque: N_b est appliquée uniquement au béton.

F_r est appliquée à la section mixte et du fait de son excentricité par rapport au C.O.G. de cette section, elle provoque un effort normal F_r appliqué à "G" plus un moment " π " avec :

$$F_r = \bar{\sigma}_{br} \cdot S_b = \epsilon_r \cdot E_b \cdot S_b$$

$$\pi = F_r \cdot b = \epsilon_r \cdot E_b \cdot S_b \cdot b$$

On obtiendra ainsi pour les fibres, les plus sollicitées les valeurs suivantes de contraintes :

$$\text{Dans le béton} \quad \bar{\sigma}_{br} = \frac{N_b}{S_b} - \frac{F_r}{nS} - \frac{\pi}{nW_b} \equiv (\epsilon_r E_b) \frac{A}{S} \cdot \left(1 - b \frac{a \cdot S}{I}\right) - \frac{\pi}{nW_b}$$

$$\text{Dans la semelle supérieure} \quad \bar{\sigma}_{sr} = -\frac{F_r}{S} - \frac{\pi}{W_a} \equiv -\epsilon_r E_b \frac{B}{S} \frac{(I_a + bsd)}{I} - \frac{\pi}{W_a}$$

$$\text{Dans la semelle inférieure} \quad \bar{\sigma}_{ir} = -\frac{F_r}{S} + \frac{\pi}{W_a'} \equiv \epsilon_r E_b \frac{B}{S} \frac{(bsd' - I_a)}{I} + \frac{\pi}{W_a'}$$

V. Effet de différence de température : l'état de contrainte dans la section et dans ce cas identique à celui du retrait sauf que la déformation relative change de valeur c.à.d. On remplace ϵ_r par ϵ_t dans ce qui précède.

VI. Calcul du retrait et de la différence de température

VI-1. Calcul pour la section ① :

Caractéristiques de cette section : $A = 1020 \text{ cm}^2$; $B = 5575 \text{ cm}^2$; $S = 1391,67 \text{ cm}^2$
 $b = 17,52 \text{ cm}$; $a = 27,11 \text{ cm}$; $d = 98 \text{ cm}$
 $d' = 80 \text{ cm}$; $W_b = 15024,04 \text{ cm}^3$; $W_a = 121005,44 \text{ cm}^3$
 $W'_a = 80086,6$; $I_a = 4933680 \text{ cm}^4$; $I = 8578075,33 \text{ cm}^4$

Sachant aussi que : $n = 15$; $E_r = 4 \cdot 10^4$; $E_t = \pm 10^4$; $E_b = 140000 \text{ Kg/cm}^2$

On calcule le moment :

- dû au retrait : $M_r = E_r \cdot E_b \cdot S_b \cdot b = 273,24 \text{ tm.}$

- dû à ΔT : $M_t = E_t \cdot E_b \cdot S_b \cdot b = \pm 68,31 \text{ tm.}$

Après pondération par $\alpha = 1,32$ On aura :

- Moment dû au retrait : $M_r = 360,68 \text{ tm.}$

- Moment dû à ΔT : $M_t = \pm 102,46 \text{ tm.}$

On calcule finalement à partir des formules citées précédemment les contraintes dans les fibres les plus sollicitées

VI-1-1. Retrait + ΔT : c.à.d. $M = M_r + M_t = 463,14 \text{ t.m}$

Nous obtenons pour cela :

$$\sigma_b = -11,07 \text{ Kg/cm}^2$$

$$\sigma_s = -823,92 \text{ Kg/cm}^2$$

$$\sigma_i = 704,10 \text{ Kg/cm}^2$$

VI-1-2 Retrait - ΔT : c.à.d. $M = M_r - M_t = 258,22 \text{ t.m}$

Cela nous donne :

$$\sigma_b = 5,00 \text{ Kg/cm}^2$$

$$\sigma_s = -654,58 \text{ Kg/cm}^2$$

$$\sigma_i = 448,22 \text{ Kg/cm}^2$$

VI.2. Calcul pour la section ② :

Caractéristiques de la section : $A = 1200 \text{ cm}^2$; $B = 5575 \text{ cm}^2$; $S = 1571,67 \text{ cm}^3$
 $b = 87,06 \text{ cm}$; $a = 26,91 \text{ cm}$; $d = 97,4 \text{ cm}$
 $d' = 83,6 \text{ cm}$; $W_b = 104737,16 \text{ cm}^3$
 $W_a = 149351,44 \text{ cm}^3$; $W'_a = 95132,69 \text{ cm}^3$
 $I_a = 6486102 \text{ cm}^4$; $I = 10518821,62 \text{ cm}^4$

Sachant aussi que : $n = 15$; $E_r = 4 \cdot 10^4$; $E_t = 1 \cdot 10^4$; $E_b = 140000 \text{ kg/cm}^2$

On calcule le moment :

- dû au retrait : $\sigma_r = E_r \cdot E_b \cdot S_b \cdot b = 971,80 \text{ t.m}$
- dû à DT : $\sigma_t = E_t \cdot E_b \cdot S_b \cdot b = 67,95 \text{ t.m}$

Après pondération par $d = 1,32$ on obtient :

- Moment dû au retrait : $\sigma_r = 358,78 \text{ t.m}$
- Moment dû à DT : $\sigma_t = 101,93 \text{ t.m}$

De la même manière que pour la section ① et à l'aide des mêmes formules on calcule les contraintes dans les fibres les plus sollicitées :

VI.2.1 Retrait + DT : Soit $\sigma_g = \sigma_r + \sigma_t = 460,71 \text{ t.m}$

Nous obtenons :

$$\sigma_b = -1,56 \text{ Kg/cm}^2$$

$$\sigma_s = -682,64 \text{ Kg/cm}^2$$

$$\sigma_i = 577,81 \text{ Kg/cm}^2$$

VI.2.2 Retrait - DT : Soit $\sigma_g = \sigma_r - \sigma_t = 256,85 \text{ t.m}$

Nous obtenons :

$$\sigma_b = 11,41 \text{ Kg/cm}^2$$

$$\sigma_s = -546,14 \text{ Kg/cm}^2$$

$$\sigma_i = 363,52 \text{ Kg/cm}^2$$

* Tableau donnant le moment flechissant, Pondère, Majoré et Réparti [tm]

Designation	Coefficients			Sections					
				0	1	2	3	4	milieu
	α	ψ	ϕ	0m	3m	6m	9m	12m	15,5m
CP	1,32	0,71	/	0	152,84	267,47	343,89	382,10	386,88
CCP	1,32	0,70	/	0	182,29	319,00	410,15	455,72	461,48
Retrait + DT	μ 1,32	ΔT 1,5	/	463,14	463,14	463,14	460,71	460,71	460,71
Retrait - DT	μ 1,32	ΔT 1,5	/	258,22	258,22	258,22	256,85	256,85	256,85
Surcharges USC	1,5	0,5	1,16	0	354,68	616,11	792,37	879,59	889,04

* Tableau donnant l'effort tranchant, Pondère, Majoré et Réparti [t]

Designation	Coefficients			Sections					
				0	1	2	3	4	milieu
	α	ψ	ϕ	0m	3m	6m	9m	12m	15,5m
CP	1,32	0,71	/	57,32	44,58	31,68	19,11	6,37	0
CCP	1,32	0,70	/	68,36	53,17	37,98	22,79	7,60	0
Surcharges USC	1,5	0,50	1,11	132,24	107,76	83,35	59,21	34,60	21,94

VII. Verification des Contraintes

Remarque: Dans ce qui suit les signes (-) et (+) désignent respectivement les compressions et les tractions.

1. Section "0" Dans cette section, on n'a que la contrainte due au retrait \pm DT.

$$\bar{\sigma}'_b = -11,07 \text{ Kg/cm}^2 < \bar{\sigma}_b = 153 \text{ Kg/cm}^2.$$

$$\bar{\sigma}'_s = -723,93 \text{ Kg/cm}^2 < \bar{\sigma}'_a = 2400 \text{ Kg/cm}^2.$$

$$\bar{\sigma}'_i = +704,10 \text{ Kg/cm}^2 < \bar{\sigma}_a = 2400 \text{ Kg/cm}^2.$$

2. Section ②

phases	solicitation	moment [tm]	$\bar{v}_b = \frac{\pi}{n w_b}$ [kg/cm ²]	$\bar{v}_s = \frac{\pi}{w_a}$ [kg/m ²]	$\bar{v}_i = \frac{\pi}{w_a}$ [kg/m ²]
n = ∞	cp	152,84	0	-3,4	+2,48
\bar{v}_1	—	—	0	-3,04 < \bar{v}_e	+2,48 < \bar{v}_e
n = 18	ccp	182,29	-13,02	-1,67	+2,34
\bar{v}_2	—	—	-13,02 < \bar{v}'_b	-1,71 < \bar{v}_e	+2,34 < \bar{v}_e
n = 15	Retrait + DT	—	-11,07	-8,24	+7,04
	Retrait - DT	—	+5,00	-6,55	+4,48
\bar{v}_3	+DT	—	-24,09 < \bar{v}'_b	-12,95 < \bar{v}_e	+11,86 < \bar{v}_e
\bar{v}'_3	-DT	—	-8,02 < \bar{v}'_b	-11,25 < \bar{v}_e	+9,30 < \bar{v}_e
n = 6	Surcharges	354,68	-39,8	-1,47	+3,98
\bar{v}_4	+DT	—	-63,89 < \bar{v}'_b	-14,48 < \bar{v}_e	+15,85 < \bar{v}_e
\bar{v}'_4	-DT	—	-47,82 < \bar{v}'_b	-12,72 < \bar{v}_e	+13,29 < \bar{v}_e

3. Section ②

phases	solicitation	moment [tm]	$\bar{v}_b = \frac{\pi}{n w_b}$ [kg/cm ²]	$\bar{v}_s = \frac{\pi}{w_a}$ [kg/m ²]	$\bar{v}_i = \frac{\pi}{w_a}$ [kg/m ²]
n = ∞	cp	267,47	0	-5,31	+4,34
\bar{v}_1	—	—	0	-5,31 < \bar{v}_e	+4,34 < \bar{v}_e
n = 18	ccp	319,00	-22,79	-2,92	+4,06
\bar{v}_2	—	—	-22,79 < \bar{v}'_b	-2,94 < \bar{v}_e	+4,06 < \bar{v}_e
n = 15	Retrait + DT	—	-11,07	-8,24	+7,04
	Retrait - DT	—	5,00	-6,55	+4,48
\bar{v}_3	+DT	—	-33,86 < \bar{v}'_b	-16,48 < \bar{v}_e	+15,44 < \bar{v}_e
\bar{v}'_3	-DT	—	-17,79 < \bar{v}'_b	-14,78 < \bar{v}_e	+12,88 < \bar{v}_e
n = 6	Surcharges	616,11	-69,18	-5,65	+7,85
\bar{v}_4	+DT	—	-103,44 < \bar{v}'_b	-22,12 < \bar{v}_e	+23,29 < \bar{v}_e
\bar{v}'_4	-DT	—	-86,97 < \bar{v}'_b	-20,43 < \bar{v}_e	+20,73 < \bar{v}_e

Nota: Pour la deuxième partie de la poutre (c.à.d. $A = 1200 \text{ cm}^2$) On ne vérifie que la dernière section soit celle du milieu car c'est la plus sollicitée. Sans omettre de noter que la contrainte de traction développée par le retrait $-\Delta T$ est largement inférieure à la plus petite des contraintes de compression engendrée par cp , Donc On n'a pas de traction dans le béton.

3. Section du milieu :

phases	sollicitations	moment [t.m]	$\bar{\sigma}_b = \frac{M}{n \cdot W_b}$ [kg/cm ²]	$\bar{\sigma}_s = \frac{M}{W_a}$ [kg/cm ²]	$\bar{\sigma}_c = \frac{M}{W'_a}$ [kg/cm ²]
$n = \infty$	cp	386,88	0	-5,81	+4,99
$\bar{\sigma}_1$	—	—	0	-5,81 < $\bar{\sigma}_c$	+4,99 < $\bar{\sigma}_c$
$n = 18$	cpo	461,42	-26,58	-3,41	+4,32
$\bar{\sigma}_2$	—	—	-26,58 < $\bar{\sigma}'_b$	-9,22 < $\bar{\sigma}_c$	+9,91 < $\bar{\sigma}_c$
$n = 15$	Retrait + ΔT	—	-1,56	-6,83	+5,78
	Retrait - ΔT	—	11,41	-5,46	+3,64
$\bar{\sigma}_3$	+ ΔT	—	-27,14 < $\bar{\sigma}'_b$	-16,04 < $\bar{\sigma}_c$	+15,69 < $\bar{\sigma}_c$
$\bar{\sigma}'_3$	- ΔT	—	-15,17 < $\bar{\sigma}'_b$	-14,68 < $\bar{\sigma}_c$	-13,54 < $\bar{\sigma}_c$
$n = 6$	surcharge UIC	889,04	-84,36	-3,11	+3,69
$\bar{\sigma}_4$	+ ΔT	—	-112,5 < $\bar{\sigma}'_b$	-19,15 < $\bar{\sigma}_c$	24,38 > $\bar{\sigma}_c$
$\bar{\sigma}'_4$	- ΔT	—	-99,63 < $\bar{\sigma}'_b$	-17,78 < $\bar{\sigma}_c$	22,24 < $\bar{\sigma}_c$

Interprétation des résultats : Toutes les contraintes développées par les différentes sollicitations dans les différentes sections restent inférieures à l'admissible, sauf dans la section du milieu où la contrainte de traction dans la semelle inférieure est légèrement supérieure à l'admissible (cette différence peut être négligée) mais on peut disposer d'une tôle additionnelle qui paiera à cela.

Remarque : On a vérifié nos sections pour les différentes phases de réalisation, car en aucun cas, notre ouvrage ne devra être affecté au cours et à la fin de réalisation.

VIII - Justification à l'effort tranchant : La section d'appui étant la plus sollicitée, sera donc vérifiée vis à vis de l'effort tranchant.

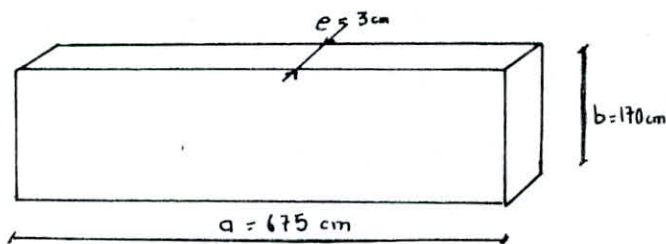
$$T_{max} = T(x=0) = T_{cp} + T_{cep} + T_{such} = 257,92 \text{ t.}$$

On vérifie : $\tau_{max} = \frac{T_{max}}{A_{ame}} < \bar{\tau} = 0,6 \sigma_e$

$$\tau_{max} = \frac{T_{max}}{A_{ame}} = \frac{257,92 \cdot 10^3}{510} = 505,73 \text{ kg/cm}^2 < 0,6 \cdot \sigma_e = 0,6 \cdot 2400 = 1440 \text{ kg/cm}^2$$

Notre poutre est donc vérifiée à l'effort tranchant.

IX - Etude du Voilement :



On doit vérifier

$$\left(\delta_v \frac{\sigma}{\sigma^*} \right)^2 + \left(\frac{\tau}{\tau^*} \right)^2 \leq 1,8 \quad \text{Art. 18.3. du Titre V du CPC.}$$

Avec : σ : contrainte de Compression = $\frac{\pi}{\sqrt{a}}$ calculée au milieu du panneau.
 τ : " " cisaillement = $\frac{T}{A_{ame}}$ " " " " " "

$$\sigma^* : \text{contrainte normale critique de voilement} = \sigma_c \cdot K_\sigma = \frac{\pi^2 E}{12(1-\nu^2)} \cdot \left(\frac{e}{b}\right)^2 K_\sigma$$

$$\tau^* : \text{" " Le cisaillement critique de voilement} = \sigma_c \cdot K_\tau$$

δ_v : est une ft des diagrammes des contraintes

Nota : Pour plus de détails voir la partie hyperstatique.

Remarque : Les moments sollicitant nos panneaux sont positifs, la position des raidisseurs sera donc du côté supérieur si les calculs les recommandent.

Calcul des moments et efforts tranchants pour les deux sections
du milieu des deux panneaux : tous les calculs sont résumés dans
 le tableau ci-dessous.

n° du panneau	abscisse x [m]	Effort	Solllicitations			Après pondération et répartition		
			cp	ccp	U.I.C.	cp	ccp	U.I.C.
Panneau ①	3,375	Moment "M"	180,60	218,47	450,97	169,26	201,87	374,31
		Effort tranchant "T"	45,87	55,49	126,14	42,99	51,87	105,01
Panneau ②	10,125	Moment "M"	387	468,15	942,37	362,70	432,57	782,17
		Effort tranchant "T"	15,29	18,50	59,96	14,33	17,69	49,92

Vérification des deux sections : Comme précédemment les calculs
 sont résumés dans un tableau.

Panneau	τ (kg/cm ²)	E (kg/cm ²)	$\alpha = \frac{a}{b}$	K_T	$E^* = E \cdot K_T$	Z/T^*	$(\tau/T^*)^2$	\sqrt{S} (kg/cm ²)	$\sqrt{I_c}$ (kg/cm ²)	$\psi = \frac{\sqrt{I_c}}{\sqrt{S}}$	δ_σ	$i K_T$	$\sigma^* = E \cdot \epsilon$	$\frac{\sigma_{lim}}{\sigma^*}$	$(\delta_\sigma \frac{\sigma}{\sigma^*})^2$
①	390,73	591,07	3,97	6,59	3306,28	0,12	0,0144	-1500,33	1320,50	-0,92	1,032	21,86	12920,73	-0,12	0,014
②	159,49	591,07	3,97	6,59	3306,28	0,05	0,0025	-1819,74	2271,62	-1,25	1	23,9	14126,57	-0,15	0,017

finalément on obtient :

- Pour le panneau ① : $(\delta_\sigma \frac{\sigma}{\sigma^*})^2 + (\frac{\tau}{T^*})^2 = 0,028 \ll 1,8$

- Pour le panneau ② : $(\delta_\sigma \frac{\sigma}{\sigma^*})^2 + (\frac{\tau}{T^*})^2 = 0,019 \ll 1,8$

Conclusion : Les deux panneaux sont vérifiés au voilement donc
 toute la poutre l'est aussi, ce qui revient à dire que
 les raidisseurs ne sont pas nécessaires.

X. Verification de la poutre au deversement :

Comme pour la partie hyperstatique, on verifie le deversement en s'inspirant de l'art. 19 du titre V du CPC. Soit à verifier que :

$$\sigma_f \leq f(\sigma_f^*) \quad \text{avec} \quad f(\sigma_f^*) = \begin{cases} \sigma_e (1 - 0,375 \frac{\sigma_e}{\sigma_f^*}) & \text{si } \sigma_f^* \geq 0,75 \sigma_e \\ 0,66 \sigma_f^* & \text{si } \sigma_f^* < 0,75 \sigma_e \end{cases}$$

σ_f : La contrainte de flexion maximale.

σ_f^* : La contrainte critique de deversement = $\frac{\pi^2 E}{\lambda^2}$

Calcul de σ_f^* :

$$\sigma_f^* = \frac{\pi^2 E}{\lambda^2} \quad \text{avec} \quad \begin{cases} E = 2,1 \cdot 10^6 \text{ Kg/cm}^2 \\ \lambda = \frac{l_c}{i} = \frac{l_0}{2i} = \frac{l_0}{\sqrt{\frac{I_x}{A}}} = \frac{2,675}{\sqrt{170/12}} = 6,88 \\ \pi = 3,14 \end{cases}$$
$$\sigma_f^* = \underline{4,35 \cdot 10^5 \text{ Kg/cm}^2}$$

Calcul de $f(\sigma_f^*)$:

$$\sigma_f^* = 4,35 \cdot 10^5 > 0,75 \sigma_e$$
$$\Rightarrow f(\sigma_f^*) = \sigma_e (1 - 0,375 \frac{\sigma_e}{\sigma_f^*}) \Rightarrow \underline{f(\sigma_f^*) = 2386,86 \text{ Kg/cm}^2}$$

Calcul de σ_f :

$$\sigma_f = \frac{\pi}{W_s} = -580,97 \text{ Kg/cm}^2$$

Remarque : W_s : moment statique de la section supérieure susceptible de deverser et cela quand le béton ne participe à la résistance ($n = \infty$).

π : moment dû aux c.p. seules, au niveau de la section du milieu. (la plus sollicitée).

finalement on obtient que $\sigma_f = -580,97 \text{ Kg/cm}^2 < f(\sigma_f^*) = 2386,86 \text{ Kg/cm}^2$.
Le deversement est ainsi verifié.

On vérifie aussi la condition: $\sigma^2 + 3\tau^2 \leq \sigma_e^2$

Avec σ : contrainte de compression. = σ_s
 τ : contrainte de cisaillement. = $\frac{T}{S_a}$

- Pour la section "0" $\sigma = -9,4 \text{ Kg/cm}^2$ $\tau = 0,56 \text{ Kg/mm}^2$ $\sigma^2 + 3\tau^2 = 62,21 < \sigma_e^2 = 54$

- Pour la section "1" $\sigma = -14,48 \text{ Kg/cm}^2$ $\tau = 0,44 \text{ Kg/mm}^2$ $\sigma^2 + 3\tau^2 = 208,13 < \sigma_e^2$

- Pour la section "2" $\sigma = -22,12 \text{ Kg/mm}^2$ $\tau = 0,31 \text{ Kg/mm}^2$ $\sigma^2 + 3\tau^2 = 479,39 < \sigma_e^2$

- Pour la section "3" $\sigma = -14,04 \text{ Kg/mm}^2$ $\tau = 0,16 \text{ Kg/mm}^2$ $\sigma^2 + 3\tau^2 = 197,15 < \sigma_e^2$

- Pour la section "4" $\sigma = -15,26 \text{ Kg/mm}^2$ $\tau = 0,05 \text{ Kg/mm}^2$ $\sigma^2 + 3\tau^2 = 232,77 < \sigma_e^2$

- Pour la section du milieu $\sigma = -19,15 \text{ Kg/mm}^2$ $\tau = 0$ $\sigma^2 + 3\tau^2 = 366,72 < \sigma_e^2$

Conclusion: la condition est satisfaite.

XI Calcul des Déformations de la poutre

XI.1. Calcul des flèches: la théorie étant exposée dans la partie hyperstatique, on ne retiendra que la flèche admissible donnée par la notice NGEF N°1 comme suit:

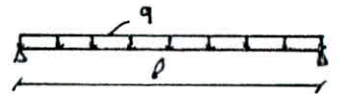
$$\frac{\bar{f}}{l} \leq 0,8 \cdot \min \left\{ \frac{0,8 \cdot l}{10000}; \frac{1}{500} \right\} \quad \text{Dans notre cas le min} = \frac{1}{500}$$

$$\Rightarrow \bar{f} \leq 0,8 \cdot \frac{l}{500} \Rightarrow \bar{f} = \underline{\underline{4,32 \text{ cm.}}}$$

Calcul des flèches dues aux différentes sollicitations:

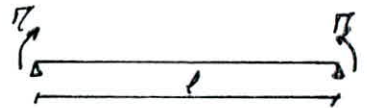
• Pour une charge uniformément répartie (cp; ccp)

$$f_{\max} = f\left(\frac{l}{2}\right) = \frac{5 q l^4}{384 E I_m}$$

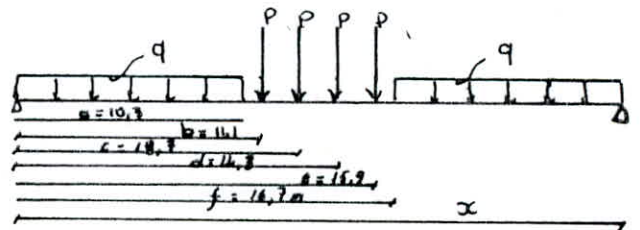


• Pour les moments aux appuis (retrait + DT)

$$f\left(\frac{l}{2}\right) = \frac{17 P^2}{8 E I_m}$$



• Pour la charge UIC



$$f\left(\frac{l}{2}\right) = \frac{24(9q+2P)l^3 + q[8(l-a)^4 - 8(l-f)^4 - 7l^4 - (l-2a)^4] + 8P[(l-2b)^3 + (l-2c)^3 - 4[(l-b)^3 + (l-c)^3 + (l-d)^3 + (l-e)^3]]}{384 E I_m}$$

Application numérique:

• Pour "cp" : $f_{cp} = \frac{5 \cdot 45,3 \cdot 2700^4}{384 \cdot 2,1 \cdot 10^6 \cdot 6486102} = 2,30 \text{ cm.}$

• Pour "ccp" : $f_{ccp} = \frac{5 \cdot 54,8 \cdot \overline{2700^4}}{384 \cdot 2,1 \cdot 10^6 \cdot 10029239,05} = 1,80 \text{ cm.}$

• Pour "surch. de trottoir" : $f_{s.T} = \frac{5 \cdot 3,6 \cdot \overline{2700^4}}{384 \cdot 2,1 \cdot 10^6 \cdot 13637773,34} = 0,08 \text{ cm.}$

• Pour "UIC" : $f_{usc} = 2,61 \text{ cm}$

• Pour "le retrait+DT" : $f_{r+DT} = \frac{460,71 \cdot 10^5 \cdot \overline{2700^2}}{8 \cdot 2,1 \cdot 10^6 \cdot 518921,62} = 1,90 \text{ cm.}$

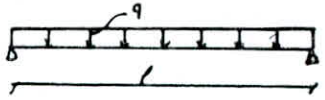
On remarque que les caractéristiques géométriques utilisées sont celles relatives à une seule section (soit d'une seule poutre) d'où et pour l'évaluation de la flèche totale on divisera la somme des flèches par deux afin de tenir compte des deux sections existantes.

$$f_{\text{tot}} = \frac{\sum f_i}{2} = \frac{2,30 + 1,80 + 0,08 + 1,90}{2} = 4,35 \text{ cm} \neq 4,32 \text{ cm.}$$


La flèche ainsi trouvée peut être admise sans avoir recours à la contre-flèche.

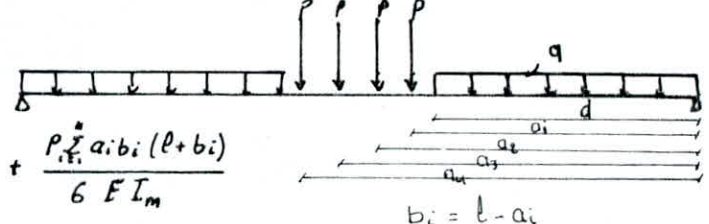
XI - 2. Calcul des Rotations : les rotations des appuis d'une poutre isostatique simplement appuyée sont données par les formules suivantes :

• Pour une charge uniformément répartie (cp; ccp) :



$$-\theta_G = +\theta_D = \frac{q l^3}{24 E I_m}$$

• Pour un moment (Retrait + ΔT) :  $-\theta_g = +\theta_d = \frac{M \cdot l}{2 E I_m}$

• Pour la charge UIC :  $-\theta_g = +\theta_d = \frac{q \cdot d^3 (3l - 2d)}{12 E I_m} + \frac{P_i \sum a_i b_i (l + b_i)}{6 E I_m}$
 $b_i = l - a_i$

Application numérique :

• Pour c_p : $\theta_{cp} = \frac{4,53 \cdot 10^4 \cdot (27 \cdot 10^3)^3}{24 \cdot 2,1 \cdot 10^6 \cdot 4933680} = 3,59 \cdot 10^{-3} \text{ rd.}$

• Pour c_{cp} : $\theta_{c_{cp}} = \frac{5,47 \cdot 10^4 \cdot (2700)^3}{24 \cdot 2,1 \cdot 10^6 \cdot 7125572,13} = 2,63 \cdot 10^{-3} \text{ rd.}$

• Pour la surch. de trottoir : $\theta_{st} = \frac{3,6 \cdot 2700^3}{24 \cdot 2,1 \cdot 10^6 \cdot 4575417,97} = 0,12 \cdot 10^{-3} \text{ rd.}$

• Pour le retrait + ΔT : $\theta_{r+\Delta T} = \frac{341,55 \cdot 10^5 \cdot 2700}{3 \cdot 2,1 \cdot 10^6 \cdot 8571075,33} = 2,56 \cdot 10^{-3} \text{ rd.}$

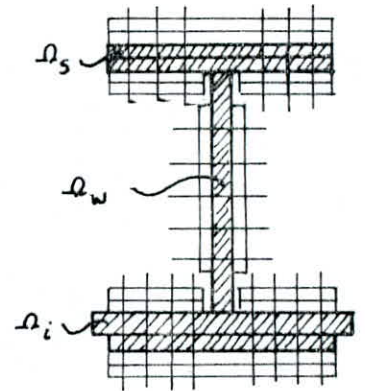
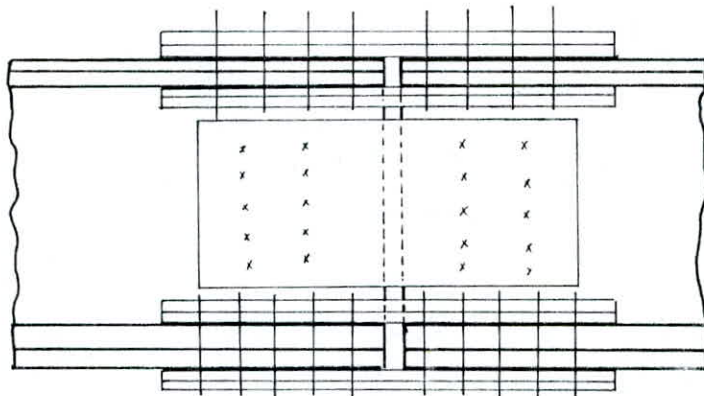
• Pour U.I.C. : $\theta_{UIC} = 1,84 \cdot 10^{-3} \text{ rd.}$

XII. Joints Boulonnés

Pour les mêmes raisons déjà citées dans la partie hyperstatique, un joint dans la partie isostatique s'impose. On exercera l'assemblage au niveau de la section "3" à 9m de l'appui. En pratique et pour des raisons de symétrie on réalise deux joints symétriques.

En ce qui concerne le calcul et la vérification de cet assemblage on s'inspire du titre V du CPC, qui suppose que le moment est supporté par les semelles et l'effort tranchant par l'âme.

- Présentation de l'assemblage :



Semelle supérieure : $\Omega_s = (20 + 30) \cdot (600) = \underline{30.000 \text{ mm}^2}$; $\sigma_s = \underline{14,04 \text{ Kg/mm}^2}$ (compression)

Semelle inférieure : $\Omega_i = 30 \cdot (600 + 700) = \underline{39.000 \text{ mm}^2}$; $\sigma_i = \underline{21,40 \text{ Kg/mm}^2}$ (traction)

Âme : $\Omega_w = 30 \cdot 1700 = \underline{51.000 \text{ mm}^2}$; $\tau = \underline{101,11 \text{ Kg/mm}^2}$ (cisaillement)

- * les boulons utilisés : On utilise des boulons HR1 \equiv HR10.9
 Sont les contraintes :
 - de la limite élastique = $90 \text{ Kg/mm}^2 = \sigma_e$
 - de la rupture = σ_r : $100 \leq \sigma_r \leq 149 \text{ Kg/mm}^2$

• L'effort repris par un boulon ayant une seule section qui travaille est égal :

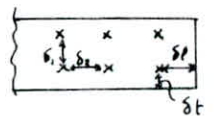
$F_r = 0,8 \psi \cdot \sigma_e \cdot \Omega$ Avec $\psi = 0,30$ - brossage à la brosse métallique.
 $\sigma_e = 90 \text{ Kg/mm}^2$
 $\Omega = 245 \text{ mm}^2$ pour un boulon de $\phi 20$.

$F_r = 5292 \text{ Kg}$

* les Couvres joints utilisés : Les dimensions des Couvres joints sont déterminées par les conditions de distance d'un côté et par leurs résistances d'un autre côté.

• Les conditions de distance st données par le CPC comme suit :

δ : entraxe des boulons , $\delta = \delta_1 = \delta_2$ avec $3d \leq \delta \leq 5d$
 δ_t : Pince transversale $1,5d \leq \delta_t \leq 2,5d$
 δ_l : " longitudinale $2d \leq \delta_l \leq 2,6d$



Ω_{cs} : Section du Courre joint superieur = 600×10
 Ω_{ci} : " " " " inferieur = $(600 - 30 - 2 \cdot (10)) \times 10$

• Verification du Courre joint superieur :

$$\sigma = \frac{F_s/2}{2 \cdot \Omega_{cs}} = \frac{F_s}{4 \cdot \Omega_{cs}} = \frac{421200}{4 \cdot 600 \cdot 10} = 17,55 \text{ Kg/mm}^2 < \sigma_e.$$

• Verification du Courre joint inferieur :

$$\sigma = \frac{F_s/2}{2 \cdot \Omega_{ci}} = \frac{F_s}{4 \cdot \Omega_{ci}} = \frac{421200}{4 \cdot [600 - 30 - 2 \cdot (10)] \cdot 10} = 19,15 \text{ Kg/mm}^2 < \sigma_e.$$

Conclusion : la semelle superieure et ainsi assemblee et l'assemblage est verifie de tout point de vue.

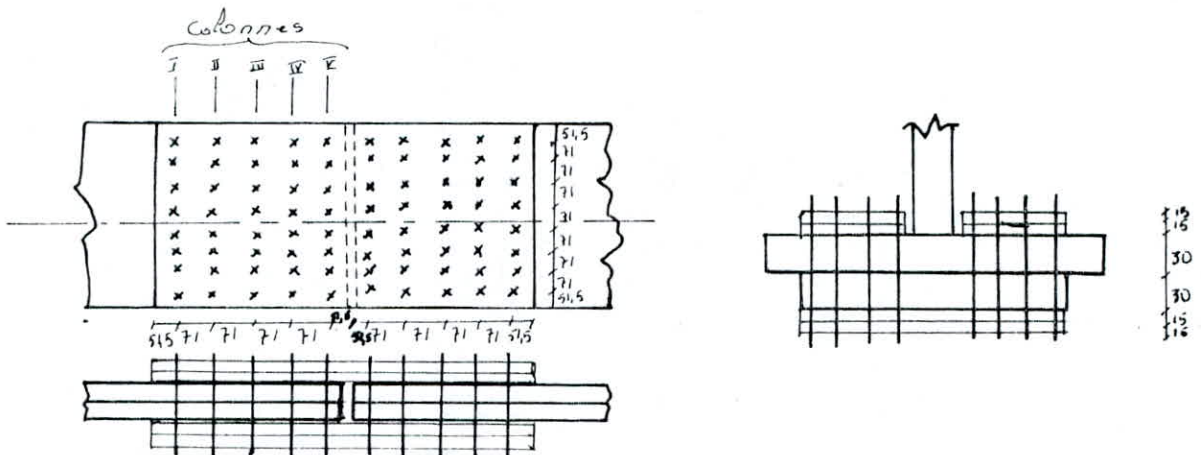
II. Verification de la semelle inferieure : (Solicitee en traction)

1°) L'effort repris par cette semelle : $F_i = \sigma_i \cdot \Omega_i = 21,40 \cdot 39000 = 834600 \text{ Kg}$

2°) Le nb. de boulons necessaire : $n \geq \frac{F_i}{4 F_r} = \frac{834600}{4 \cdot 5292} = 39,43$ on prend $n = 40$

3°) Disposition

On prend $\delta = 71 \text{ mm}$ qui verifient $63 \leq \delta \leq 105$
 $\delta_f = 51,5 \text{ mm}$ $51,5 \leq \delta_f \leq 52,5$
 $\delta_l = 51,5 \text{ mm}$ $42 \leq \delta_l \leq 52,5$



Les Courre joints auront les dimensions suivantes :

- Le Courre joint inferieur : $774 \times 600 \times 30 \approx 770 \times 600 \times 30$.
- " " " superieur : $(600 - 30 - 2 \cdot 10) \cdot 30$.

4°) Vérification des contraintes : Pour cette semelle on doit vérifier

que $\frac{F_A + 0,6 F_B}{S_n} \leq \sigma_e$ avec F_A et F_B définies précédemment.

S_n = Section nette = Section brute - n.d.e
 et n = nb. de boulons au niveau de la section.
 d = diamètre du trou
 e = épaisseur de la pièce traversée.

- Les sections brutes : - La pièce assemblée : $\Omega_i = 39.000 \text{ mm}^2$
 - Le couvre joint sup. : $\Omega_{cs} = (600 - 30 - 2 \cdot 10) \cdot 30 = 14600$
 - " " " inf. : $\Omega_{ci} = (600) \cdot 30 = 18000$

- On résumera les résultats pour les différentes sections qui correspondent aux différentes colonnes de boulons dans un tableau.

- Les sections nettes : - La pièce assemblée $S_{ni} = \Omega_i - n \cdot d \cdot e_i = 28920 \text{ mm}^2$
 - Le couvre joints sup. $S_{ncs} = \Omega_{cs} - n \cdot d \cdot e_{cs} = 11460 \text{ mm}^2$
 - " " " inf. $S_{nci} = \Omega_{ci} - n \cdot d \cdot e_{ci} = 12960 \text{ mm}^2$

Avec $n = 8$; $e_i = 60$; $e_{cs} = 2 \cdot 15 = e_{ci} = 30$; $d = 21$.

Rmq : Les couvre joints sont des tôles d'épaisseur 15mm disposées en paire de part et d'autre de la semelle.

Rappel : F_i = l'effort repris par la semelle inférieure = 834600 kg.

Section efforts		I	II	III	IV	V
		F_A (kg)	32 $F_i/40$	24 $F_i/40$	16 $F_i/40$	8 $F_i/40$
F_B "	8 $F_i/40$	8 $F_i/40$	8 $F_i/40$	8 $F_i/40$	8 $F_i/40$	
0,6 F_B "	4,8 $F_i/40$	4,8 $F_i/40$	4,8 $F_i/40$	4,8 $F_i/40$	4,8 $F_i/40$	
$F_A + 0,6 F_B$ "	36,8 $F_i/40$	28,8 $F_i/40$	20,8 $F_i/40$	12,8 $F_i/40$	4,8 $F_i/40$	
S_n (mm ²)	28920	28920	28920	28920	28920	
σ kg/mm ²	26,55	20,78	15,01	9,23	3,46	
Couvre joint supérieur	F_A	0	8 $F_i/40$	16 $F_i/40$	24 $F_i/40$	32 $F_i/40$
	F_B	8 $F_i/40$	8 $F_i/40$	8 $F_i/40$	8 $F_i/40$	8 $F_i/40$
	0,6 F_B	4,8 $F_i/40$	4,8 $F_i/40$	4,8 $F_i/40$	4,8 $F_i/40$	4,8 $F_i/40$
	$F_A + 0,6 F_B$	4,8 $F_i/40$	12,8 $F_i/40$	20,8 $F_i/40$	28,8 $F_i/40$	32,8 $F_i/40$
	$(F_A + 0,6 F_B)/2$	4,8 $F_i/80$	12,8 $F_i/80$	20,8 $F_i/80$	28,8 $F_i/80$	32,8 $F_i/80$
	S_n	11460	11460	11460	11460	11460
σ kg/cm ²	4,37	11,65	18,94	26,22	33,50	
Couvre joint inférieur	$(F_A + 0,6 F_B)/2$	4,8 $F_i/80$	12,8 $F_i/80$	20,8 $F_i/80$	28,8 $F_i/80$	32,8 $F_i/80$
	S_n	12960	12960	12960	12960	12960
	σ kg/cm ²	3,86	10,30	16,74	23,18	29,62

Conclusion: On remarque que la contrainte dans la pièce assemblée et pour la section I dépasse l'admissible élastique. Pour parer à cela on diminue le nombre de boulon par file (sans diminuer le nombre total de boulons) chose qui fait augmenter S_n et fait diminuer ainsi la contrainte. Il en est de même pour les couvre-joints et si cela ne suffit pas on augmente les épaisseurs de ces derniers. Et finalement on peut même changer la position du joint.

III. Verification de l'âme : "Cisaillement"

- 1°) L'effort repris par l'âme : $F_w = \tau \cdot \Omega_w = 1,01 \cdot 51000 = 51566,10 \text{ Kg.}$
- 2°) Le nombre de boulons nécessaires : $n \geq \frac{F_w}{2 \cdot F_r} = \frac{51566,10}{2 \cdot 5292} = 4,87$ boulons.
- 3°) Le nb. de boulons étant faible, ce nombre sera choisi par construction en vérifiant les conditions de distance, soient :
 - $\delta = 100 \text{ mm.}$
 - $\delta_f = 50 \text{ mm.}$
 - $\delta_e = 50 \text{ mm.}$

Nous savons que l'âme a une hauteur de 1700 mm \Rightarrow le nombre de boulons va être égal à :

$$n = \frac{1700 - 2 \cdot 50}{5} + 1 = 17 \text{ boulons par file.}$$

- 4°) Verification des contraintes : On doit vérifier que $\tau = \frac{F_w}{S_n} \leq 0,6 \sigma_e$

- Pour la pièce assemblée :
 - Section brute : $\Omega_w = 1700 \cdot 30 = 51000 \text{ mm}^2$
 - " des trous : $S_f = n \cdot d \cdot e = 17 \cdot 21 \cdot 30$
 - " nette : $S_n = \Omega_w - S_f = 40290$

$$\tau = \frac{F_w}{S_n} = \frac{51566,10}{40290} = 1,28 \text{ Kg/mm}^2 < 0,6 \sigma_e = 14,40 \text{ Kg/mm}^2$$

- Pour les couvre-joints :

On a deux couvre-joints, l'épaisseur de chacun est de 10 mm.

- Section brute : $S_b = 1600 \cdot 10 \cdot 2 = 32000 \text{ mm}^2$
- " des trous : $S_f = n \cdot d \cdot e = 17 \cdot 21 \cdot 20 = 7140 \text{ mm}^2$
- " nette : $S_n = S_b - S_f = 24860 \text{ mm}^2$

$$\tau = \frac{F_w}{S_n} = \frac{51566,10}{24860} = 2,07 \text{ Kg/mm}^2 < 0,6 \sigma_e = 14,40 \text{ Kg/mm}^2$$

Conclusion: La pièce assemblée ainsi que les couvre-joints sont largement vérifiés.

ETUDE DES
CONNECTEURS

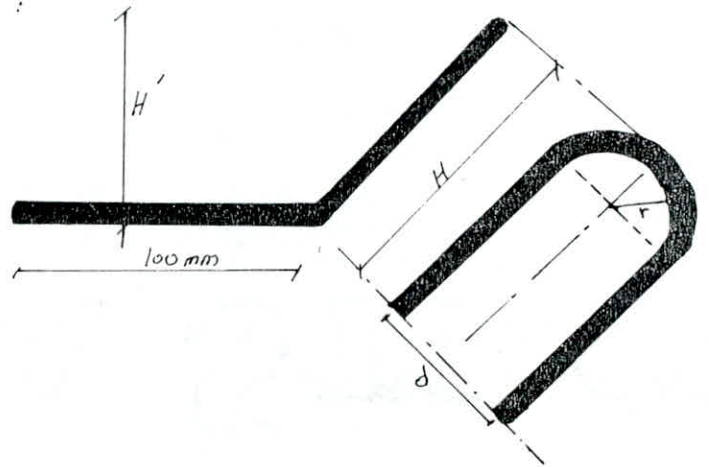
Remarque (1) : Les saisons d'utilisation des connecteurs sont déjà citées dans la partie hyperstatique.

Remarque (2) : Le type de connecteur utilisé est le même que celui de la partie hyperstatique. Soit "l'encrochage type B".

Rappel : Les caractéristiques du connecteur utilisé dans la partie hyperstatique sont :

$$\begin{aligned} \phi &= 20 \text{ mm} \\ \bar{V}_a &= 24 \text{ Kg/mm}^2 \end{aligned}$$

$$\begin{aligned} r &= 80 \text{ mm} \\ d &= 2r = 160 \text{ mm} \\ H &= \frac{H'}{\sin \alpha} = 280 \text{ mm} \\ H' &= 200 \text{ mm} \\ \alpha &= 45^\circ \end{aligned}$$



L'effort de glissement que peut reprendre un connecteur :

$$G = 0,7 \cdot \sqrt{2} \cdot \bar{F} = 0,7 \cdot \sqrt{2} \cdot \bar{V}_a \cdot 2S_T = 0,7 \cdot \sqrt{2} \cdot \bar{V}_a \cdot 2 \pi \frac{\phi^2}{4} = \underline{\underline{14928,09 \text{ Kg/mm}^2}}$$

Les sollicitations: Le calcul de l'effort unitaire (par ml) maximal de glissement dans les différentes parties de la partie de la poutre - qu'on considèrera plus tard - se fait avec les combinaisons suivantes :

- a - ccp + surcharge USC + retrait partiel.
- b - ccp + retrait total.
- c - ccp + surcharge USC + retrait total.

Cet effort est égal à :

$$F = T \frac{m}{I_n} \text{ Kg/ml}$$

Avec : T : effort tranchant dans la section considérée.
 m : moment statique du béton à la section mixte. $m = \frac{B \cdot b}{n}$
 I_n : " d'inertie de la section mixte.

B : section du béton = 5575 cm².

b : bras de levier entre le C.D.G. de la section du béton et celui de la section mixte f(n).

Determination de F :

1. Retrait : Voir toute la théorie dans la partie hyperstatique. On établira ainsi directement la formule permettant de déterminer l'effort dû au retrait.

$$G_R = - \frac{F}{l_r} = - \frac{\sigma_{br} \cdot S_b}{l_r} = - \frac{E_r \cdot E_b \cdot S_b}{l_r} = - \frac{E_r \cdot E_a \cdot S_b}{n \cdot l_r} = \boxed{\frac{5 \cdot E_r \cdot E_a \cdot S_b}{n \cdot l}}$$

Avec E_r : allongement relatif unitaire dû au retrait.
 E_a : Coef. d'élasticité de l'acier = $2,1 \cdot 10^6 \text{ Kg/cm}^2$.
 S_b : section du béton = 5575 cm^2 .
 n : Coef. d'équivalence = 15 pour le retrait.
 l_r : longueur supposée reprendre sur les deux extrémités de la poutre = $\frac{l}{2} = 540 \text{ cm}$.

Retrait partiel : $E_r = 1,5 \cdot 10^{-4}$

$$G_R = - \frac{5 \cdot 1,5 \cdot 10^{-4} \cdot 2,1 \cdot 10^6 \cdot 5575}{15 \cdot 2700} = - 216,81 \text{ Kg/cm} = \underline{\underline{- 216,81 \text{ Kg/ml}}}$$

Retrait total : $E_r = 4 \cdot 10^{-4}$

$$G_R = - \frac{5 \cdot 4 \cdot 10^{-4} \cdot 2,1 \cdot 10^6 \cdot 5575}{15 \cdot 2700} = - 578,15 \text{ Kg/cm} = \underline{\underline{- 578,15 \text{ Kg/ml}}}$$

2. CCP et surcharges :

Le calcul de F, pour ces charges et surcharges se fera pour les zones énumérées ci-dessous et les résultats seront résumés dans un tableau.

Zone 1 de 0 à 6m soit de la section 0 à la section 2.

Zone 2 de 6m à 9m " " " " 2 " " 3.

Zone 3 de 9 à 13,5m " " " " 3 " " " du milieu.

Et par symétrie on disposera dans l'autre moitié de la travée des connecteurs identiques avec des espacements identiques.

n	Designation	Zone			
		1	2	3	
18	ccp	T_{ccp} (Kg)	68360	37980	22790
	moment statique	$m = \frac{B \cdot b}{n}$ (cm ³)	28218,79	28218,79	28073,22
	moment d'inertie	I_m (cm ⁴)	8125572,13	8125572,13	10029239,05
	F_{ccp}	$F = \frac{T \cdot m}{I_m} \cdot 100$ (Kg/m)	23740,32	13189,84	6379,23
6	Surcharges	T_s (Kg)	132240	83350	59210
	moment statique	$m = \frac{B \cdot b}{n}$ (cm ³)	60033,46	60033,46	59717,54
	moment d'inertie	I_m (cm ⁴)	11575417,97	11575417,94	13637743,34
	$F_{surcharge}$	$F = \frac{T \cdot m}{I_m} \cdot 100$ (Kg/m)	68583,48	43227,72	12790,57
15	Retrait	Retrait partiel (kg)	- 21681	0	0
		Retrait total (Kg)	- 57715	0	0
ccp + Surch + retrait partiel (Kg/ml)			70642,8	56417,56	19169,8
ccp + retrait total			- 34074,68	13189,84	6379,23
ccp + Surch + retrait total			34508,8	56417,56	19169,8
Cas defavorable		Positif	70642,8	56417,56	19169,80
		negatif	- 34074,68	—	—

Determination du nombre de Connecteurs :

Soient n et N respectivement le nb. de Connecteurs par metre lineaire et par zone Considerée!

Alors $n = \frac{F}{\bar{F}}$ et $N = n \cdot d$ avec

- F : effort de glissement le plus defav.
- \bar{F} : " admissible du connecteur.
- n : nb. de connecteurs/ml.
- d : l'etendue de la zone.
- e : espacement des connecteurs

Le tableau suivant contient tous les résultats:

Zone	F	\bar{F}	n/ml	e(m)	d(m)	N	Schema
1	70642,8	14928,09	5	20	6	30	
	-34074,68	"	3	33,33	6	18	
2	56417,56	"	4	25	9	36	
3	19169,80	"	2	50	4,5	9	

finalement : le nombre de connecteurs necessaires pour la travée isostatique est de $2 \cdot (2 \cdot (30 + 18 + 36 + 9)) = 372$ connecteurs (sur toute la longueur et pour les deux poutres).

ETUDE DES
APPAREILS D'APPUI

I. Evaluation des efforts et déformations:



Remq: Tous les calculs seront fait pour la poutre ①, la plus sollicitée.

1) Inventaire des forces verticales:

	Coefficients				Reactions non pondérées non réparties	Reactions pondérées réparties
	ψ	ϕ	α	α'	$R_G = R_0 \cdot \psi$	$R_G = R_0 \cdot [\alpha]$
cp	0,71	—	—	—	61,16	43,42
ccp	0,70	—	—	—	73,98	51,79
Retrait + ΔT	—	—	—	—	0	0
Surcharge U.I.C.	0,5	1,11	1,2	1,5	158,85	157,69
Surch. de trottoir	1,75	—	1,2	—	5,47	9,57
N						263,47 t

2) Force Horizontale de freinage:

• La force de freinage $F = \frac{1}{7} P$ avec $P =$ poids de la surch. U.I.C sur toute la travée isostatique.
 $\Rightarrow \underline{F = 37,83^t}$ $= 4 \cdot 25^t + 8(27 - 4 \cdot 1,6) = 264,8^t$

• La force de freinage revenant à chaque appui: $F_c = F_p = \frac{F}{2} = \underline{18,91^t}$

• " " " " " " " " appareil d'appui: $F_{ac} = F_{ap} = \frac{F}{4} = \underline{9,46^t}$

3) Evaluation des déplacements horizontaux dus au retrait et ΔT :

1. Différence de température: $\epsilon_T = \frac{\Delta t}{t} = 10^{-4}$

$$\Delta l_{surculée} = \Delta l_{surpile} = \pm \epsilon_T \cdot \frac{l}{2} = \pm 10^{-4} \cdot \frac{27 \cdot 10^3}{2} = \pm 1,35 \text{ mm.}$$

2. Action du retrait: $\epsilon_R = \frac{\Delta l}{l} = 4 \cdot 10^{-4}$

$$\Delta l_{surculée} = \Delta l_{surpile} = \pm \epsilon_R \cdot \frac{l}{2} = \pm 4 \cdot 10^{-4} \cdot \frac{27 \cdot 10^3}{2} = \pm 5,4 \text{ mm}$$

4) Evaluation des rotations d'appui:

	Coefficient				non pondérées " réparties	pondérées réparties
	ψ	ϕ	α	α'	$\theta_G = -\theta_d [10^{-3}]$	$\theta_G \cdot \theta_d [10^{-3}]$
cp	0,71	—	—	—	3,59	2,55
ccp	0,70	—	—	—	2,63	1,84
retrait + ΔT	—	—	—	—	2,56	2,56
trottoir	1,75	—	1,2	—	0,12	0,25
convoi U.I.C.	0,5	1,16	1,2	1,5	1,84	1,92
Total						8,27

II Dimensionnement de l'appareil d'appui

- Remarques :
- 1- Nous utilisons le même type d'appareil d'appui que celui de la partie hyperstatique. Le module de déformation transversale est égal à $G = 11,23 \text{ Kg/cm}^2$.
 - 2- Les faces de l'appareil d'appui en contact avec la structure sont les frettes métalliques.
 - 3- L'épaisseur d'une couche d'élastomère est égale à $t = 20 \text{ mm}$.
 - 4- Les appareils d'appui sur pile et sur culée sont les mêmes.

II-1 aire de l'appareil d'appui : Sachant que $\sqrt{\sigma} = \frac{N}{a \cdot b} \leq \bar{\sigma}$

$$\Rightarrow a \cdot b \geq \frac{N}{\bar{\sigma}} = \frac{263,47 \cdot 10^3}{153} \Rightarrow a \cdot b \geq 1722 \text{ cm}^2$$

On prend $a \times b = 40 \times 60 = 2400 \text{ cm}^2 > 1722 \text{ cm}^2$.

II-2 Dimensionnement en épaisseur : La condition de non flambement de l'appareil d'appui est utilisée pour délimiter son épaisseur.

$$T \leq \frac{a}{5} \quad \text{en plus} \quad T \geq \frac{a}{10}$$
$$\Rightarrow \frac{a}{10} \leq T = nt \leq \frac{a}{5} \Leftrightarrow 4 \leq n \cdot 2 \leq 8 \Leftrightarrow 2 \leq n \leq 4$$

On prend $n = 3$ couches.

On retiendra finalement les dimensions suivantes :

$a \times b$	$=$	$40 \times 60 = 2400 \text{ cm}^2$
t	$=$	20 mm
n	$=$	3
T	$=$	$60 \text{ mm} = 6 \text{ cm}$

III. Verifications Diverses:

III-1 Verification de la Compression:

$$\sqrt{m} = \frac{N}{a \cdot b} \leq \bar{\sigma}$$

$$\sqrt{m} = \frac{N}{a \cdot b} = \frac{263,47 \cdot 10^3}{2400} = 109,78 \text{ Kg/cm}^2$$

$$\bar{\sigma} = 153 \text{ Kg/cm}^2$$

La condition est Verifiée.

III-2 Verification du cisaillement:

$$\tau = \tau_N + \tau_H + \tau_\alpha + \tau_r \leq 5G$$

• Evaluation de τ_N : $\tau_N = \frac{1,5 \sqrt{m}}{\beta}$

$$\sqrt{m} = 109,78 \text{ Kg/cm}^2$$

$$\beta = \frac{a \cdot b}{2(a+b)t} = \frac{2400}{2(100)2} = 6$$

$$\tau_N = 27,4 \text{ Kg/cm}^2$$

• Evaluation de τ_H : $\tau_H = G \cdot \frac{U_1}{T} + \frac{H_2}{2 \cdot a \cdot b} = \tau_{H_1} + \tau_{H_2}$

$$G = 11,23 \text{ Kg/cm}^2$$

$$U_1 = \text{deformation lente due à } (R+DT) = 1,35 + 5,4 = 6,75 \text{ mm} = 0,675 \text{ cm}$$

$$T = nt = 3 \cdot 20 = 60 \text{ mm} = 6 \text{ cm}$$

$$H_2 = \text{effort de freinage} = 9,46 \text{ t} = 9,46 \cdot 10^3 \text{ Kg}$$

$$a \cdot b = 2400 \text{ cm}^2$$

$$\tau_{H_1} = G \cdot \frac{U_1}{T} = 1,26 \text{ Kg/cm}^2 < 0,5G \quad \text{O.K.}$$

$$\tau_{H_2} = \frac{H_2}{2 \cdot a \cdot b} = 1,97 \text{ Kg/cm}^2 < 0,7G \quad \text{O.K.}$$

$$\tau_H = 3,23 \text{ Kg/cm}^2$$

• Evaluation de τ_α : $\tau_\alpha = \frac{G}{2} \cdot \frac{\alpha^2}{t^2} \cdot \alpha_t$ Contrainte due à la rotation de l'appareil d'appui.

$$\alpha_t = \frac{d_T}{3} = \frac{\alpha + \alpha_0}{3} = \frac{(8,27 + 3) \cdot 10^{-3}}{3} \quad \text{avec } \alpha_0 = \text{rotation forfaitaire prise } = 3 \cdot 10^{-3} \text{ rad pour les tabliers Coulés sur place.}$$

$$\tau_\alpha = \frac{11,23}{2} \cdot \frac{40^2}{3^2} \cdot \frac{11,27 \cdot 10^{-3}}{3} \Rightarrow \tau_\alpha = 8,44 \text{ Kg/cm}^2$$

• Évaluation de τ_r : $\tau_r = G \cdot \frac{u}{T}$ contrainte due à la distorsion

C'est un effort dû à la distorsion (c.à.d. que la rotation du C.D.G. de la section mixte à l'appui engendre une rotation supplémentaire de l'appareil d'appui et cela à cause de l'excentrement du C.D.G.)

$$\tau = G \tan \gamma = G \cdot \frac{u}{T} = G \cdot \frac{v \cdot \theta}{T} \quad \text{avec } \theta = \text{rotation de l'appui.}$$

$v = \text{dist. entre le C.D.G. de la section mixte et la fibre inférieure de la poutre. } f(n).$

Voir tableau.

charges	n	θ (10^{-3})	v (cm)	$\theta \cdot v = u$ (10^{-3})	T (cm)	G (Kg/cm^2)	τ_r (Kg/cm^2)
cp	∞	2,55	80	204	6	11,23	0,38
ccp	17	4,84	103,52	198,48	6	"	0,36
Retrait+DT	15	2,56	107,11	274,20	6	"	0,51
Surch. de Maltbir	6	0,25	130,02	32,51	6	"	0,06
Convoi USC	6	1,92	130,02	249,64	6	"	0,47
Total							1,78

finalemnt $\tau = \tau_N + \tau_H + \tau_d + \tau_r < 5G$

$$= 27,4 + 3,23 + 8,44 + 1,78 < 5G$$

$$= 40,85 < 56,15 \text{ Kg/cm}^2$$

La condition est vérifiée

III-3 Condition de non cheminement

III-3-1. $\sigma_{\min} = \frac{N_{\min}}{a \cdot b} \geq 20 \text{ bars}$ Si $10 \leq \sigma_{\min} \leq 20 \text{ bars}$ on prévoit des dispositifs appropriés.

dans notre cas $\sigma_{\min} = \sigma_{\max} = 109,77 \text{ Kg/cm}^2$.

La Condition est vérifiée.

III-3-2. $H < f \cdot N = \left(0,12 + \frac{0,20}{\sigma_m}\right) \cdot N = 0,122 N$

$H = 9,46 \text{ t}$ = effort dû au freinage appliqué en même temps que N .

$f \cdot N = 0,122 \cdot 263,47 = 32,143 \text{ t}$

$9,46 < f \cdot N$ La condition est vérifiée.

III - 4 Condition de non soulèvement: $\alpha_f \leq \frac{3}{\beta} \cdot \frac{t^2}{a^2} \cdot \frac{\sqrt{m}}{G}$

$\alpha_f = \frac{\alpha_r}{n} = \frac{11,27 \cdot 10^{-3}}{3} = 3,76 \cdot 10^{-3} \text{ rd.}$

$\frac{3}{\beta} \cdot \frac{t^2}{a^2} \cdot \frac{\sqrt{m}}{G} = \frac{3}{6} \cdot \frac{2^2}{40^2} \cdot \frac{109,78}{11,23} = 12,22 \cdot 10^{-3} \text{ rd}$

La condition est vérifiée.

III - 5 Condition de non flambement: On a dimensionné avec cette condition donc la vérification est inutile.

Conclusion: Toutes les conditions sont vérifiées d'où on retient l'appareil ainsi dimensionné.

IV. Dimensionnement des frettes:

L'épaisseur des frettes est arrêtée par les deux conditions suivantes:

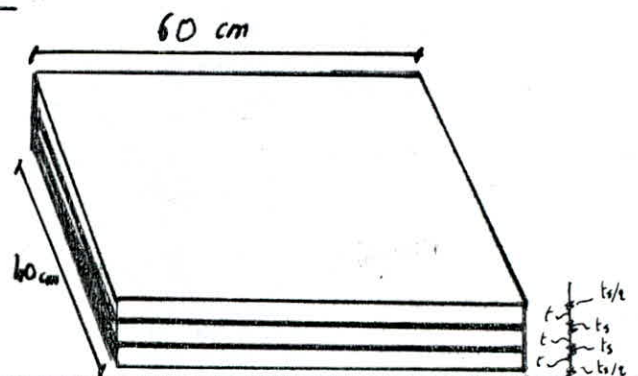
$t_s \geq \frac{a}{\beta} \cdot \frac{\sqrt{m}}{\sigma_c}$ et $t_s \geq 2 \text{ mm.}$

$\frac{a}{\beta} \cdot \frac{\sqrt{m}}{\sigma_c} = \frac{40}{6} \cdot \frac{109,78}{2400} = 0,305 \text{ cm} = 3,05 \text{ mm.}$

$t_s \geq 2 \text{ mm.}$

} on prend $t_s = 4 \text{ mm.}$

Schématiquement On aura:



Remarque importante : Etant donné qu'on dispose sous les deux poutres le même type d'appareil d'appui or la poutre ② est moins chargée, il revient donc à vérifier cet appareil pour les nouvelles charges appliquées.

- Effort normal revenant à la poutre ② : $0,29 \cdot 61,16 + 0,30 \cdot 73,98 + 158,69 - 0,75 \cdot 1,2 \cdot 5,47$
 $\Rightarrow N = 193,70t.$
- Effort horizontal au freinage : $F_{ac} = F_{ap} = 9,46t.$
- Effort dû au retrait ΔT : déplacement $u_r = 0,675 \text{ cm} \rightarrow \tau_H = G \cdot \frac{u_r}{l} = 1,26 \text{ kg/cm}^2$
- Les sollicitations dans cette poutre : $\alpha = 10^{-3} (0,29 \cdot 9,59 + 0,7 \cdot 2,63 + 1,71 - 0,11 + 1,98) = 7,70 \cdot 10^{-3}$

Verifications :

- Verification à la Compression : $\bar{\sigma}_m = \frac{N}{a \cdot b} = \frac{193,7 \cdot 10^3}{2400} = 80,71 \text{ kg/cm}^2 < \bar{\sigma} = 153. \text{ o.k.}$
- Verification au cisaillement : $\tau = \tau_N + \tau_H + \tau_\alpha + \tau_r < 5G.$
 - $\tau_N = \frac{1,5 \bar{\sigma}_m}{\beta} = \frac{1,5 \cdot 80,71}{6} = 20,18 \text{ kg/cm}^2.$
 - $\tau_H = \tau_{H1} + \frac{H_2}{2 \cdot a \cdot b} = 1,26 + 1,97 = 3,23 \text{ "}$
 - $\tau_\alpha = \frac{G}{2} \cdot \frac{a^2}{l^2} \left(\frac{\alpha + \alpha_0}{n} \right) = 7,70 \text{ kg/cm}^2.$
 - $\tau_r = \sum \tau_i = 1,26 \text{ kg/cm}^2.$

finalemment $\tau = 32,37 \text{ kg/cm}^2 < 5G = 56,15 \text{ kg/cm}^2 \text{ o.k.}$

- Condition de non glissement : $\bar{\sigma}_m = \frac{N}{a \cdot b} = 80,71 \text{ kg/cm}^2 > 20 \text{ bars o.k.}$
 $H = 9,49 < 0,122 \cdot 193,70 = 23,63 \text{ t o.k.}$
 (f) (N)
- Condition de non soulèvement : $\alpha_t \leq \frac{3}{\beta} \cdot \frac{l^2}{a^2} \cdot \frac{\bar{\sigma}_m}{G}$
 $\frac{\alpha + \alpha_0}{n} \leq \frac{3}{6} \cdot \frac{l^2}{4a^2} \cdot \frac{80,71}{11,23}$
 $\frac{(7,29 + 3) \cdot 10^3}{3} \leq 10 \cdot 10^3 \text{ rd} \Leftrightarrow 3,43 \cdot 10^3 \text{ rd} < 10 \cdot 10^3 \text{ rd} \text{ o.k.}$
- La condition de non flambement : est tj. vérifiée.

Conclusion : toutes les conditions sont vérifiées \Rightarrow on retiendra le même appareil sous la deuxième poutre.

V. Verification au Seisme : le seisme est parfois preponderant lors du dimensionnement des appareils d'appui :

Efforts dus au seisme :

- Effort horizontal : $H_{SS} = E_H \cdot G$ avec $E_H = 10\% \Rightarrow H_{SS} = 0,1 \cdot G$.
- Effort Normal : $V_{SS} = \pm E_v (G + 0,5P)$ avec $E_v = 7\% \Rightarrow V_{SS} = \pm 0,07 (G + 0,5P)$.

Sollicitation du Second genre de Calcul :

La stabilité et la résistance des ouvrages doivent être vérifiées sous la sollicitation définie par : $S_2'' = G + P + T + SI$.

V.1. Evaluation de la composante horizontale :

$$H_{max} = H_{SS} + H_f + H_{dil}$$

$$H_{SS} = \text{effort dû au seisme} = 0,1 G = 0,1 (c_p + c_{cp}) = 0,1 \frac{(61,16 + 73,98)}{2 \text{ (a. d'app.)}} = 6,76 \text{ t}$$

$$H_f = \text{ " " " freinage} = 9,49 \text{ t}$$

$$H_{dil} = \text{ " " à la dilatation} = T_H \cdot a \cdot b = 1,26 \cdot 40 \cdot 60 = 3,02 \text{ t}$$

$$\underline{H_{max} = 19,27 \text{ t}}$$

$$\underline{H_{min} = H_{SS} + H_{dil} = 9,78 \text{ t}}$$

V.2. Evaluation de la composante verticale :

$$N = G + P + SI$$

$$G = \text{effort dû au poids propre} = (c_p + c_{cp}) \text{ repartis} = 43,42 \text{ t} + 51,79 \text{ t} = 95,21 \text{ t}$$

$$P = \text{ " " à la surch. UTC} = 158,85 \cdot 1,11 \cdot 0,5 = 87,37 \text{ t}$$

$$SI = \text{ " " au Seisme} = \pm E_v (G + 0,5P) = \pm 0,07 \frac{[(61,16 + 73,98) + 0,5 \cdot 158,85]}{2 \text{ app. d'appui}} = \pm 7,51 \text{ t}$$

$$\underline{N_{max} = G + P + SI = 190,09 \text{ t}} \text{ — Calculé pour la poutre ①.}$$

$$\underline{N_{min} = G - SI = 37,14 \text{ t}} \text{ — Calculé pour la poutre ②.}$$

V.3. Verifications :

V. 3-1. Verification de la Compression: $\sigma_m = \frac{N_{max}}{a.b} = \frac{190,09 \cdot 10^3}{2400} = 79,20 < \bar{\sigma} = 120$ o.k.

V. 3-2. Verification au cisaillement: $\tau = \tau_N + \tau_H + \tau_a + \tau_r \leq 5G$.

$$\tau_N = 19,80 \text{ Kg/cm}^2$$

$$\tau_H = 5,27 \text{ "}$$

$$\tau_a = 8,44 \text{ "}$$

$$\tau_r = 1,78 \text{ "}$$

$$\Rightarrow \tau = 35,29 \text{ Kg/cm}^2 < 5G = 56,15 \text{ Kg/cm}^2$$
 o.k.

V. 3-3 Verification du non soulèvement: $\alpha_t \leq \frac{3}{\beta} \cdot \frac{t^2}{a^2} \cdot \frac{\sigma_m}{G}$
 $3,76 \cdot 10^3 < 8,82 \cdot 10^3 \text{ rd}$ Verifié

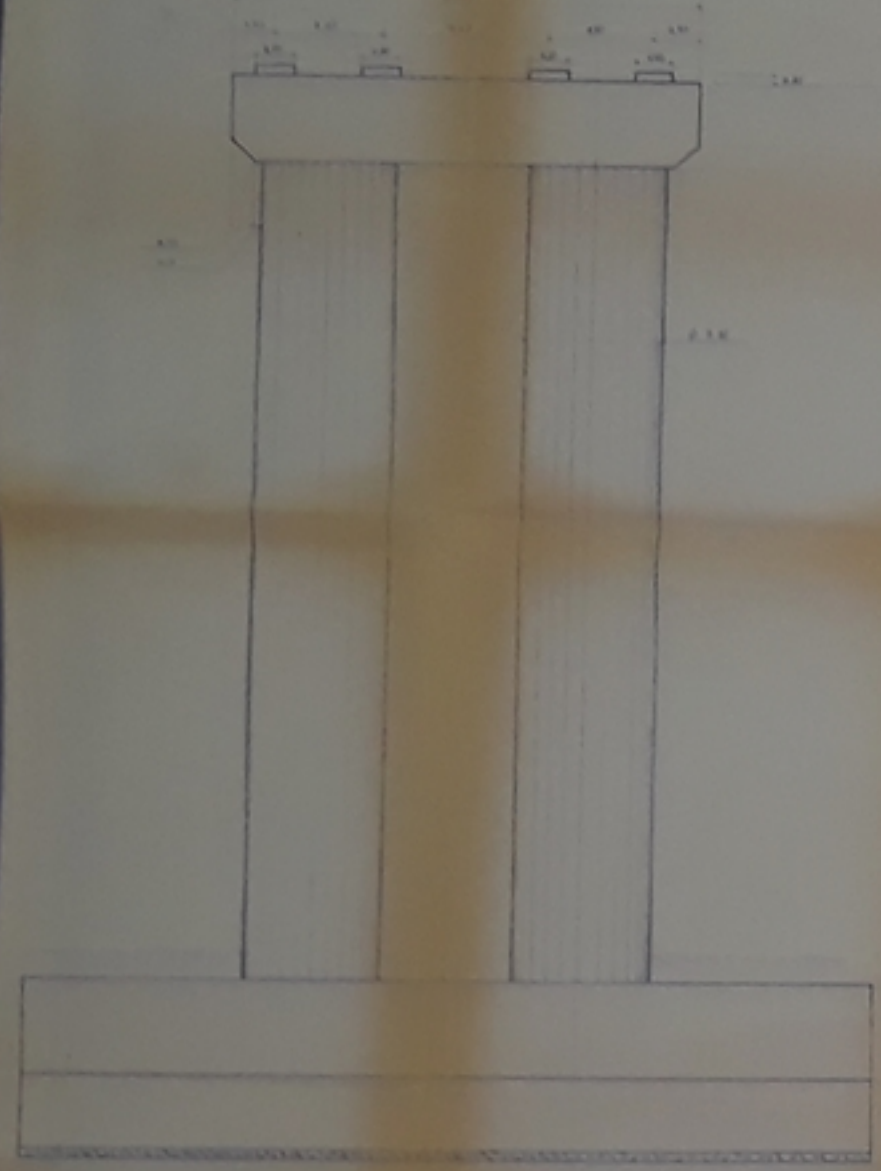
V. 3-4 Verification du non cheminement:

$$\sigma_{min} = \frac{N_{min}}{a.b} = 15,48 \text{ Kg/cm}^2 < 20 \text{ bars}$$
 non vérifié.

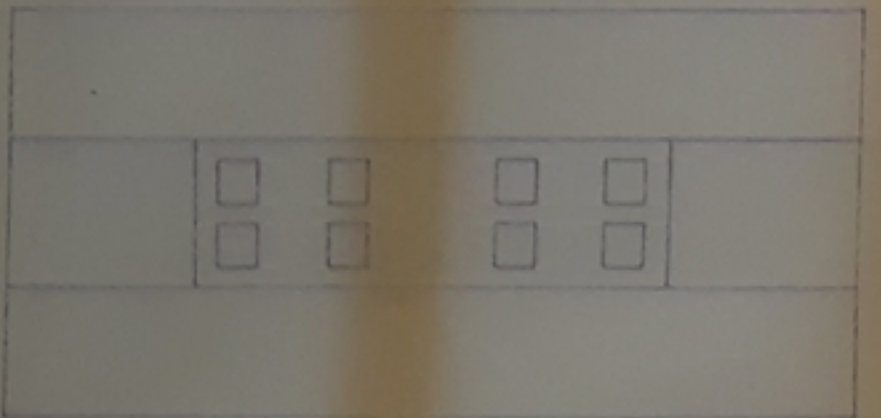
$$H_{max} = 19,27^t < f \cdot N_{max} = 0,122 \cdot 190,09^t = 23,19^t$$
 vérifié.

$$H_{min} = 9,78^t > f \cdot N_{min} = 0,122 \cdot 37,14^t = 4,53^t$$
 non vérifié.

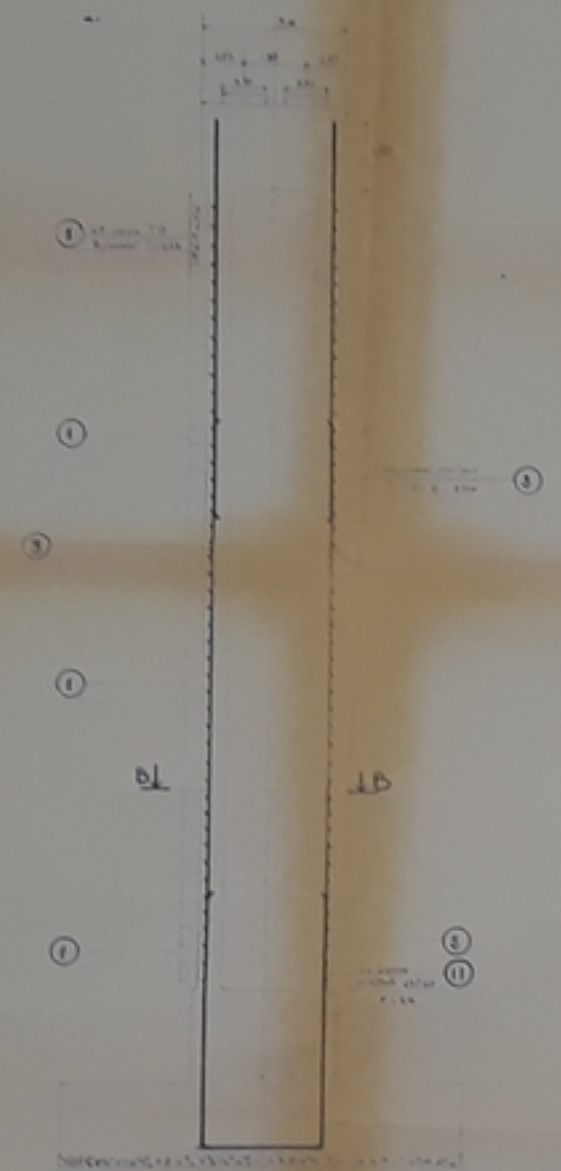
Conclusion: toutes les conditions sont satisfaites sauf les conditions de non cheminement et non glissement et pour les quelles on doit parer à l'aide d'un dispositif limitant les déplacements des appareils d'appui.



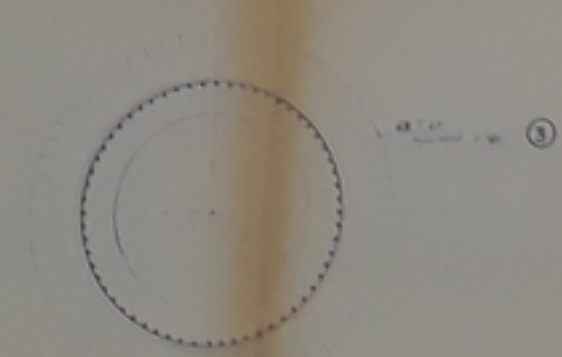
VUE EN ELEVATION DE LA PILE CHEVETRE



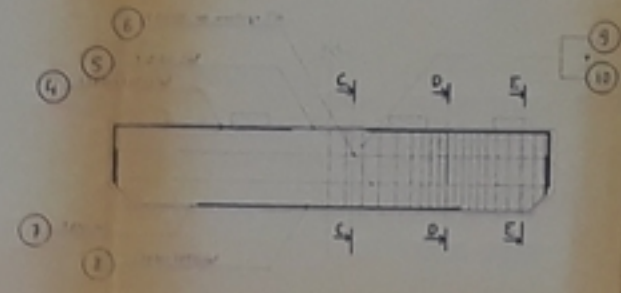
VUE EN PLAN DE LA PILE CHEVETRE



COUPE A-A
FERRAILLAGE DU FUT
EN ELEVATION ECH 1/50



COUPE BB ECH 1/25



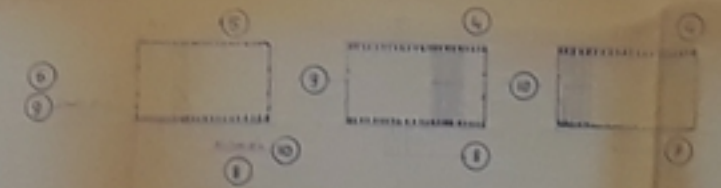
FERRAILLAGE DU CHEVETRE
EN ELEVATION ECH 1/50



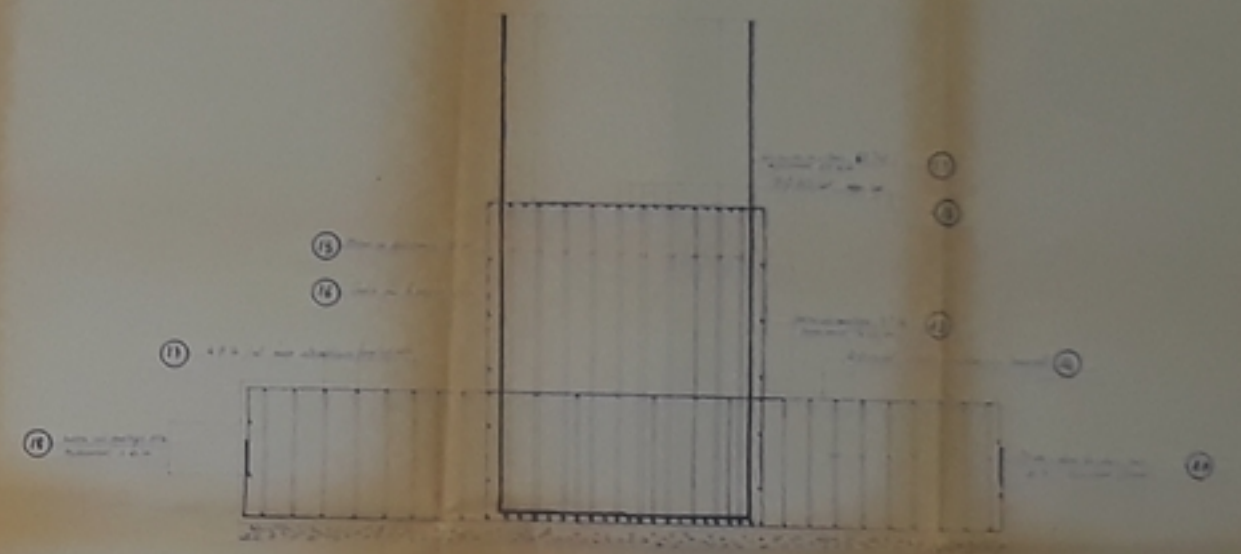
NAPPE SUPERIEURE ECH 1/50



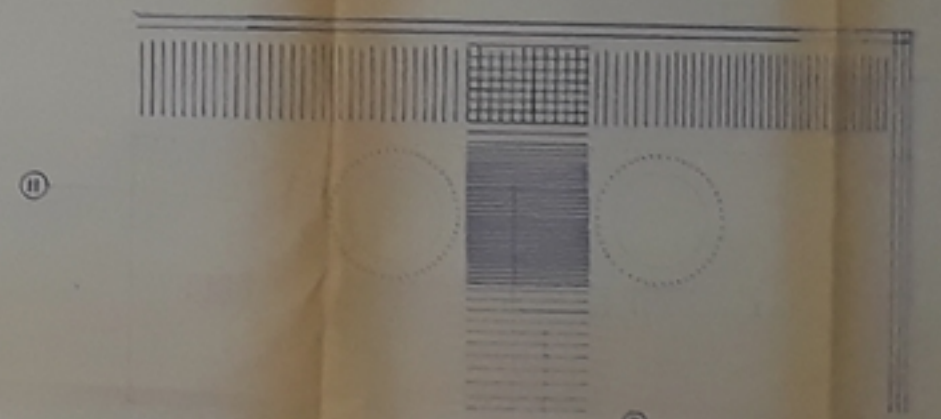
NAPPE INFERIEURE ECH 1/50



COUPE CC COUPE DD COUPE EE ECH 1/50



PLAN DE FERRAILLAGE DE LA SEMELLE
COUPE TRANSVERSALE ECH 1/25

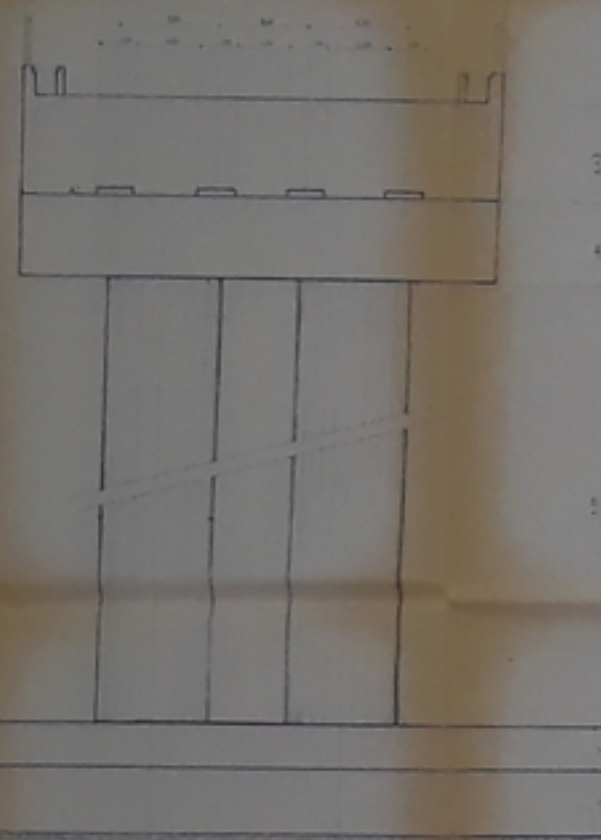


VUE EN PLAN DU FERRAILLAGE
SEMELLE NERVURE ECH 1/50

PONT FERROVIAIRE LIGNE AINTOUTA - MSILA	
COFFRAGE . FERRAILLAGE PILE CHEVETRE	
NOMS	FATOUKE KACERESS ADUR KHALID
ECHELLES	1/25

COFFRAGE CILÉE
ELEVATION

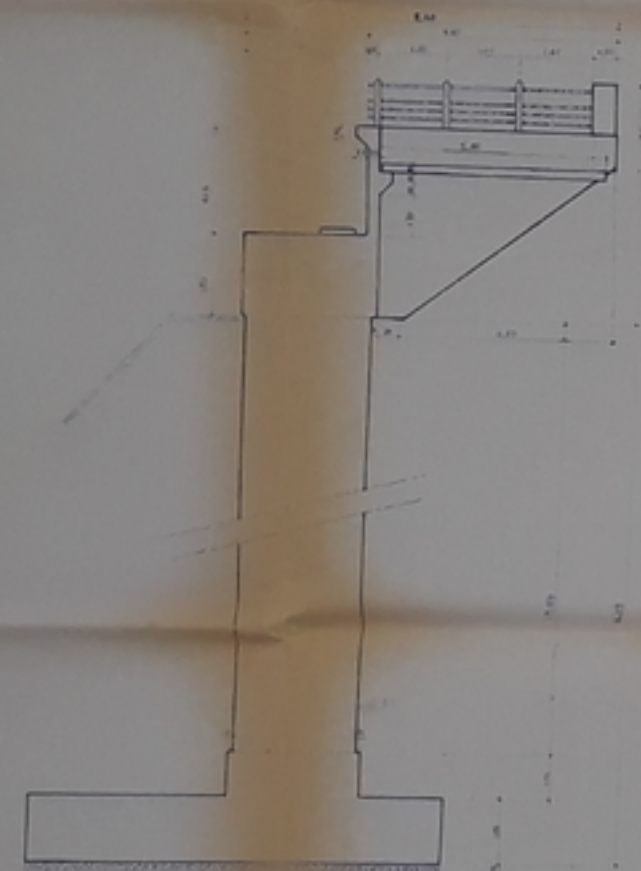
A



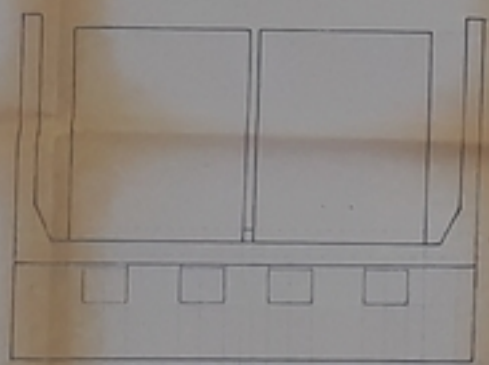
1
2
3
4
5

A

COUPE III

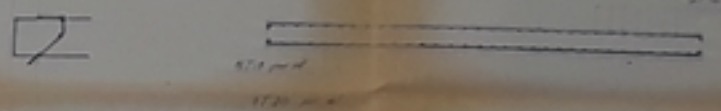


VUE EN PLAN

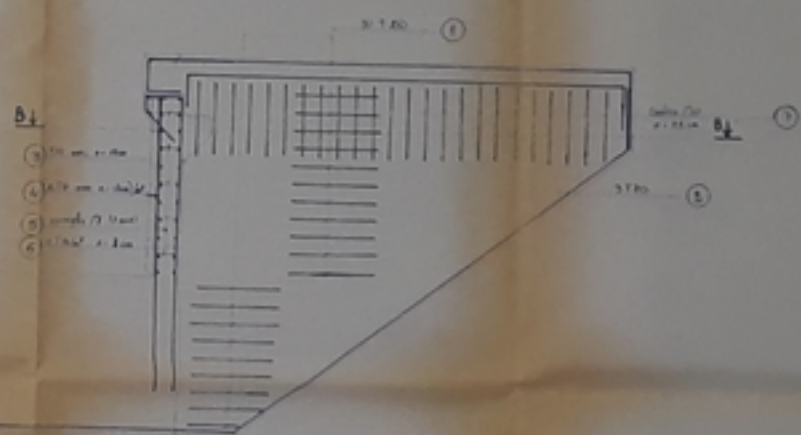


CORBEAU

DALLE DE TRANSITION

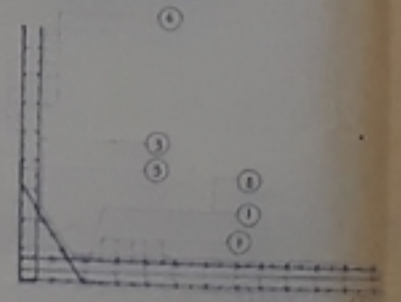


MUR EN RETOUR

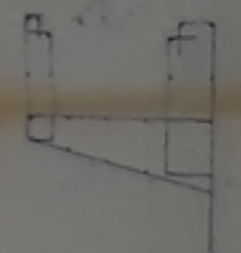


- 1) 10 cm de béton
- 2) 10 cm de mortier
- 3) 10 cm de béton
- 4) 10 cm de béton

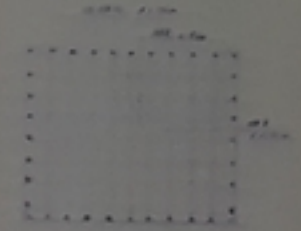
COUPE IIII



TROTTOIR



IDÉ



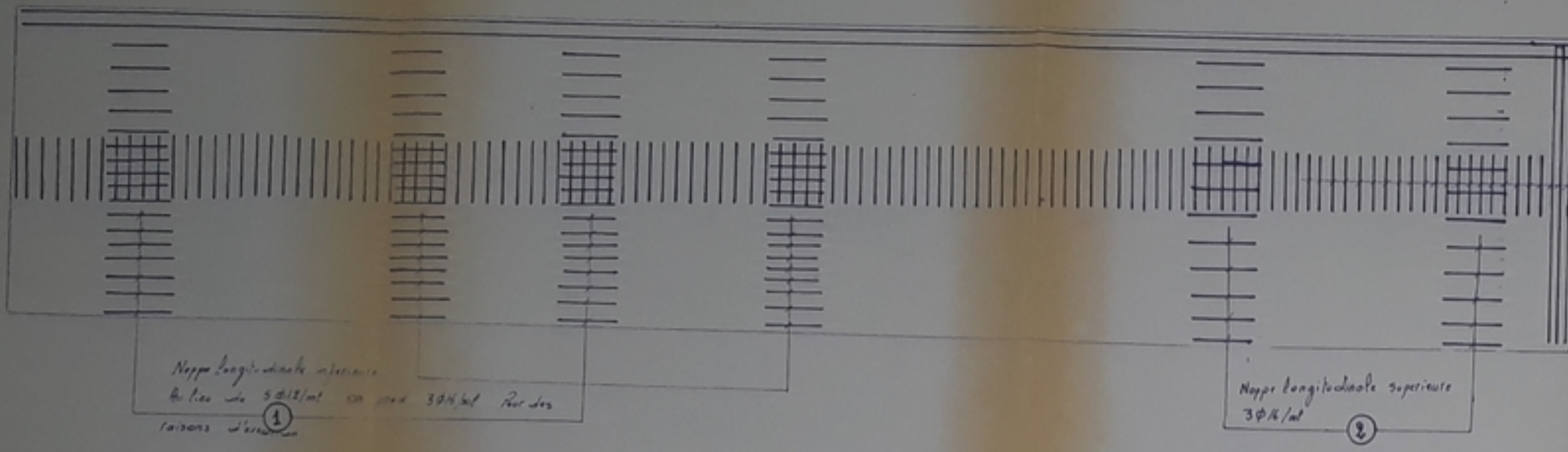
R. H. D. P.
M. E. S.

ÉCOLE NATIONALE
POLYTECHNIQUE

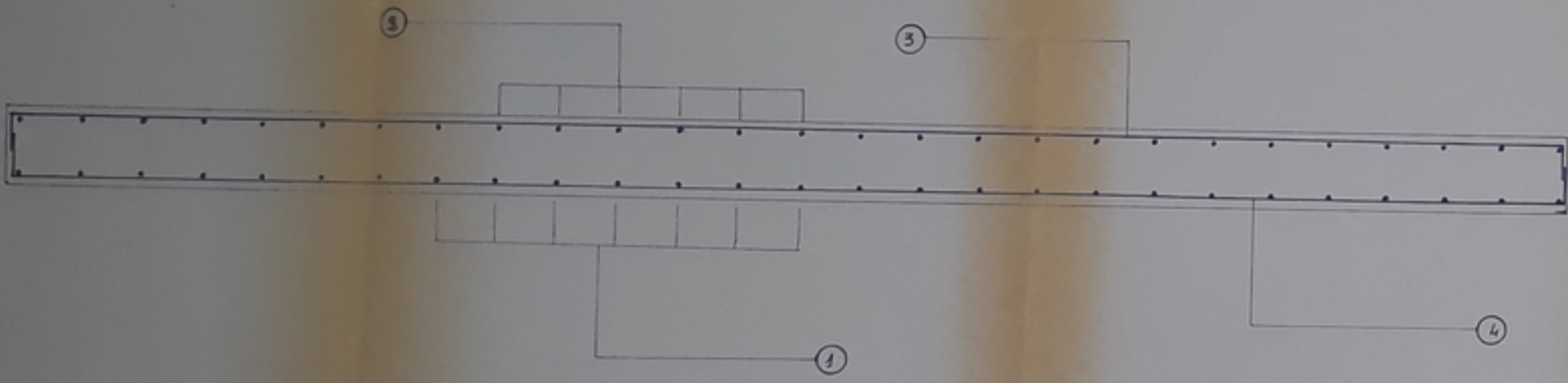
COFFRAGE - FERAILLAGE
CILÉE

NOMS	TITOUCHE AOUN	NACER EDDINE KHALED
ECH	1/50	1/25 • 1/30

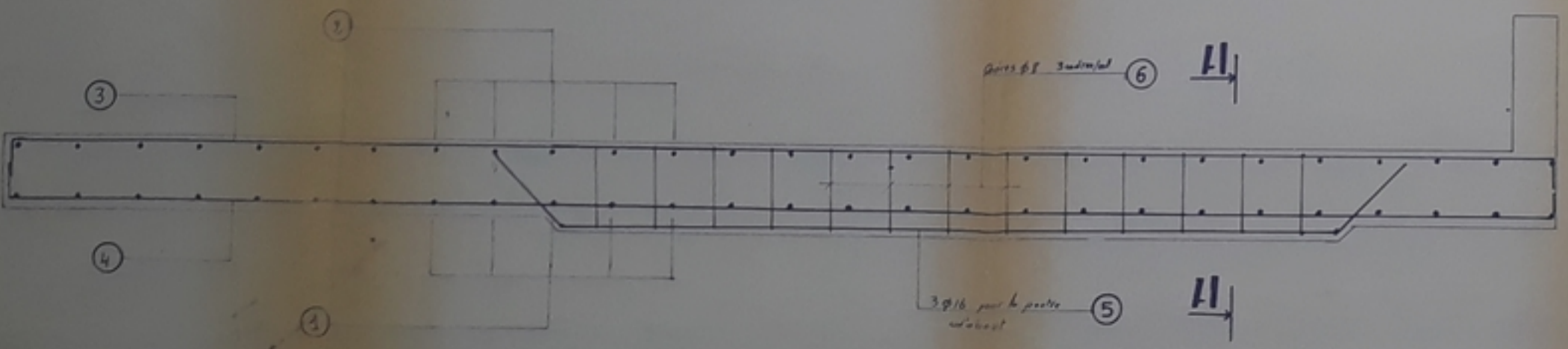
NAIPIES' INFERIEURE ET SUPERIEURE



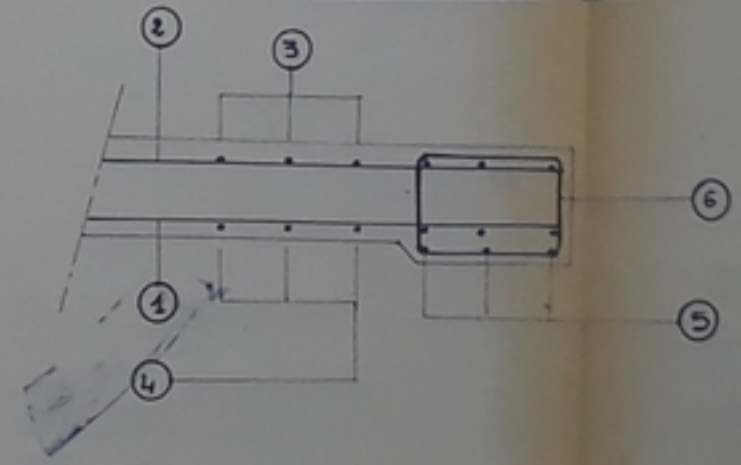
COUPE TRANSVERSALE



POUTRE D'ABOUT



COUPE A-A



Republique Algérienne Démocratique Populaire

Ministère de l'Enseignement Supérieur

ÉCOLE NATIONALE
POLYTECHNIQUE



FERRAILLAGE DE LA DALLE

NOMS	TITOUCHE	N.E.
	AOUN	K
ECH :	1/100	1/10

PB03987

-4-

